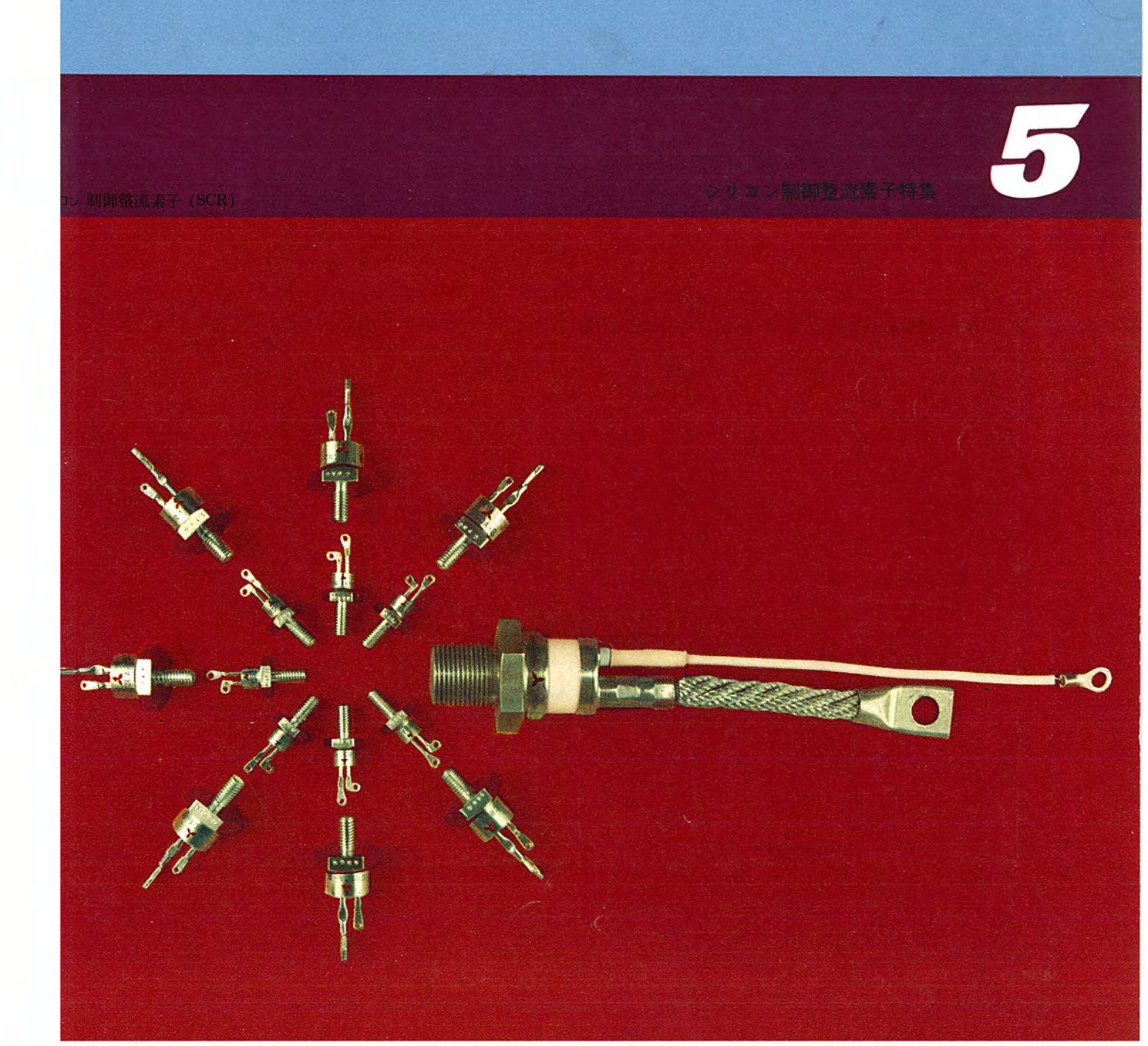
MITSUBISHI DENKI GIHO

Vol. 37 May 1963





三菱電機 スカイリング



- ①操作盤
- ② 論理回路およびリレー盤
- ③ 増幅器およびフィルタ部
- ① 電源盤

三菱電機スカイリング 広告ネオン塔 の ランダム点滅装置

東京銀座の夜を美しくいろどっている三菱電機 スカイリュク 広告 塔の点滅方式は、あらかじめ決められた順序どおりに、色と模様が変わる「プロクラム 点滅」と、つぎの時間に何色が点滅するかはまったく不規則である「ラュッムム 点滅」とを繰り返すという新しい方式がとられている。

「RANDOM・GENERATOR」は、この ランダム 点滅を指令、制御するもので、ランダム 信号源として一般に考えられる乱数発生や ホワイトノイズ ではなく、音声信号を用いている。広告塔の変化色は、赤青白黄の 4 色であり、これらを ランダム に点滅するのにこの装置ではつぎのように行なう。

プログラム 点滅の一周期が終ると、回転 ドラム は ランダム 時に移り、 点滅指令は「RANDOM・GENERATOR」に任される。 装置内ではこの瞬間、音声信号を サンプリング し、高低二つの帯域 フイルタ を 通して、高低二つの周波数成分をとりだす。 これに対応して、 独立に基準電圧を定めそれとの大小によりおのおの二つ、すなわち、合計 4 つに分類する。 結局、 音の状態はこの四つの状態のどれかに分類されることになる。 四つの出力 リレー がこれに対応しており、 そのうち一つが動作する。 一定時間そのまま持続し、 つぎのプログラム 点滅に移ると回路は リセット されつぎの ランダム 時に備える。 この装置は音声信号源として用いる ラジオ、レコードプレーヤ、マイクロホン とともに スカイリング の 6 階に展示されており、 出力 リレーが屋上の電力用 リレー に接続されている。

高低二つの周波数に対応する基準電圧値は、おのおの独立に可 変で、四つの状態の確率が等しくなるよう調整できるが、信号源 としてどんな音声がでているかにより、おのおのの確率が左右さ れその音源の性質を表わすことができる。四つに分類された音の 状態は、現在つぎの色に対応している。

- (1) 高い周波数成分が強く、かつ低い周波数成分も強い…青
- (2) 高い周波数成分が強く、かつ低い周波数成分が弱い… 黄
- (3) 高い周波数成分が弱く、かつ低い周波数成分が強い…赤
- (4) 高い周波数成分が弱く、かつ低い周波数成分も弱い…自以上のように、この装置は動作原型は简単で、装置自体も簡易であるが、雑音により誤動作しないよう考慮がはらわれ、昼間でも来館者のため室内 モニタ を点滅させる関係上、一種の オン・ライン 装置とみなし、故障対策などについても特別に考慮している.

使用電力 500 kW の広告塔を ランダム に点滅することは、いまだ他に例を見ない画期的なものであろう.



表紙説明

表紙説明
当社北伊丹製作所で製作している
トリスタ (SCR) の写真である。
内円状にならんでいるのが CR5A
(2SF260 シリーズ)
平均電流 5A (180 度通角),順電圧降下瞬時値 5A において
1.2 V 以下、セン頭逆耐圧 50~400 V
外円状に並んでいるのが CR20A
(2SF290 シリーズ)
平均電流 20 A (180 度通角)、順電圧降下瞬時値 20 A において
1.3 V 以下、セン頭順電圧 50~400 V
中央の大きな素子が CR100A
(2SF300 シリーズ)
平均電流 100 A (180 度通角)、順電圧降下瞬時値 100A において
1.3 V 以下、セン頭順電圧 50~400 V
中央の大きな素子が CR100A
(2SF300 シリーズ)
平均電流 100 A (180 度通角)、順電圧降下瞬時値 100A において
1.3 V 以下、セン頭逆耐圧 50~400 V
・ 1.3 V 以下、セン頭逆耐圧 50~400 V
・ 1.3 V 以下、セン頭逆耐圧 50~400 V
・ 1.3 V 以下、セン頭逆耐圧 50~400 V



昭和 38 年 第 37 巻 第 5 号 (シリコン制御整流素子特集)

目 次

| | _ |
|---|-----|
| SCR の原理と動作・・・・・・清水 潤 治・蒲 生 浩・・ | . 2 |
| SCR の特性と定格・・・・・・・・・・・・・・・・・・・・・・・・・・・・・・・・・・・・ | 10 |
| SCR の ゲート 回路 細 野 勇・岡 久 雄 … | 21 |
| SCR 応用回路の基礎 | |
| SCR の交流電動機制御への応用・・・・・・・・・・・・・・・・・・・・・・・・・・・・・・・・・・・・ | |
| SCR の交流発電機励磁回路への応用 | 40 |
| SCR による直流電動機の制御 | 45 |
| SCR の小容量直流電動機への応用・・・・・・・・・・・・・・・・・・・・・・・・・・・・・・・・・・・・ | |
| SCR のインバータへの応用 一河 合 正・岡 久雄・杉本盛行・大島征一 | 56 |
| SCR による サーボモータ の制御 一小形軽量 サーボ 増幅器の開発 - ・・・・・・・・山 内 信 治・橋 本 直 樹・・・ | 63 |
| SCR の超音波発振器への応用 ※ 塚 篤・藤 井 較 一 | 67 |
| SCR の故障とその防止・・・・・ | 70 |
| | 4 |
| 三菱電機 スカイリング および三愛 ドリームセンター の電気設備 瀬戸 義雄・浜田 恭平… | 74 |
| 三菱電機 スカイリッグ および三愛 ドリームセンター の エレベータ 設備 | 81 |
| ASIA 自動 ゔ゚ロゔ゚ラミッゔ゚システム | 85 |
| HK 形電磁 クラッチ ・・・・・・・・・・・・・・・・・・・・・・・・・・・・・・・・・・・・ | 92 |
| 密閉形水冷却式および ガス 冷却式 ターボ 冷凍機用電動機新 良 由 幸・伊藤昭八郎・酒 向 潔… | 97 |
| 力平衡形変換器 吉山裕二・江沢孝吉… | 104 |
| 《技術解説》 | |
| 同期機-I 一電力系統における同期機の理論的取り扱い | 109 |
| 《文 献 抄 訳》 Guardistor E-2 保護方式の応用・製紙工業の理想的 エネルギ 利用・・・・・・・・・・・・・・・・・・・・・・・・・・・・・・・・・・・・ | |
| 《ニュース・フラッシュ》 | 115 |
| オーストラリヤ 向け 330 kV 変圧器完成・電源開発伊予変電所納め 99,000 kVA 単巻変圧器完成・日新製鋼 | |
| 市川工場連続亜鉛メッキ 用誘導炉・超高圧電力研究所納め ディジタル シーケンス 制御装置完成・国鉄新幹線 | |
| 列車無線 トンネル 用全 トランジスタ 化 UHF 中継増幅器完成・洪水予報に新威力 (北上川洪水計算機完成)・ | |
| 磁気誘導形 トルク 計 MK430 形完成・イント 国鉄向け メータ ゲージ 用 52 t 交流機関車 18 両を受注・奥 | |
| 多摩工業株式会社納め 12t 産業用電気機関車受注 | 117 |
| 《特 許 と 新 案》 | |
| 冷蔵庫 トピラ の開放装置・空気調和装置 | 121 |
| 《最近における社外寄稿一覧》 | 91 |
| 《最近における社外講演一覧》 55, | 103 |
| 《最近登録された実用新案》 《表 紙》 | 84 |
| 2. 三菱電機 スカイリック 広告 ネオン 塔の ランダム 点滅装置 | |
| 3. 20,000 c/s 超音波電源としての高周波発電機完成 | |
| 4. 三菱家庭ポップ | |

SCR の原理と動作

清水潤治*·蒲生 浩*

Principle and Performance of Silicon Controlled Rectifiers

Research Laboratory Junji SHIMIZU • Hiroshi GAMO

Voltage-current characteristics in the reverse direction and in the forward blocking system as well as the turn-on and turn-off mechanism are vital factors in the study of p-n-p-n silicon controlled rectifiers. Description is made on the above terms based on the equations of Moll et al which underlie the theory of the switching action of the devices. In silicon the dependency of alphas on emitter current is considered as an essential condition for the turning on. But special measurement is made on the characteristics at each base layer with actual rectifiers so as to investigate the effects of gate current and leakage current on the turn-on action. About the turn-on and turn-off time—the vital factors of the switching element—a discussion is made on the physical mechanism producing them in consideration of the flowing in and cut of excess charges through the base layers.

1. まえがき

SCR は PNPN 4層から構成された3端子素子であって、3層 接合から構成される通常の トランジスタ とは異なった特長ある スイッ チング 特性を示す. PNPN 4層構造はすでに早くから フックコレクタ 形 トランジスタ として Shokley によって提唱(1) されており、その 解析には、PNP と NPN の2個の トランジスタ の組合せからなる 等価回路(3)が用いられた. これらは ゲルマニウム を用いた素子に関 するもので、1以上の電流増幅率がえられる機構の解明を目的と しており、またそれぞれの トランジスタ の電流増幅率は一定である としているので、シリコン PNPN 形素子のごとき阻止から導通領域 への移行による スイッチング 特性は得られなかった. その後 シリコ υ PNPN 4層構造がつくられ、その スイッチング 作用が見いだされ るに至って再び PNPN 4 層接合が注目を浴びるようになった. シリコントランジスタ では電流増幅率は エミッタ 電流の増加に伴って増 大する特長がある. Shokley の フック の理論を基にこの シリコント ランジスタ の特長を考慮に入れて、シリコン PNPN 2端子素子の電気 的特性を解析し、その スイッチング 作用を説明したのは Moll ら(3) である. この解析では4層を PNP および NPN の トランジスタ に 分け、おのおのの電圧電流特性から重ねの理を用いて、PNPN 4 層の電圧電流特性を求めている. やがて、スイッチ 用の端子を有 する3端子 PNPN 素子 (制御整流素子)が開発され、Mackintosh (4) は Moll らの方法を拡張することによってその解析を行なった. つづいて Jonscher(5)(6) や Aldrich(7) らによってこれら諸特性の 研究が行なわれている. ここでは Moll らあるいは Mackintosh の導いた結果をもとに実際の素子 SCR を例にとって、その順特 性, 逆特性をとくに スイッチング 機構に重点をおいて紹介したい, あわせて、付録において4層素子の電圧電流特性を Shockley の PN 接合の理論(1)(5)(8) を用いて導き、その結果適当に パラメータ をおくことによって Moll らと同一の結果を導いた.

2. 電気的特性

PNPN 4 層構造は \mathbf{Z} .1 に示すように構成されており、 $\mathbf{P}_{\mathbf{E}}$ 層から陽極、 $\mathbf{N}_{\mathbf{E}}$ 層から陰極、中間の $\mathbf{P}_{\mathbf{B}}$ 層から ゲート が端子とし

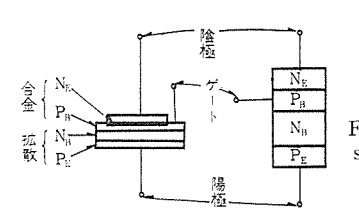


図 2.1 SCR の構造 (CR5, 20形) Fig. 2.1 Three-terminal silicon p-n-p-n structure.

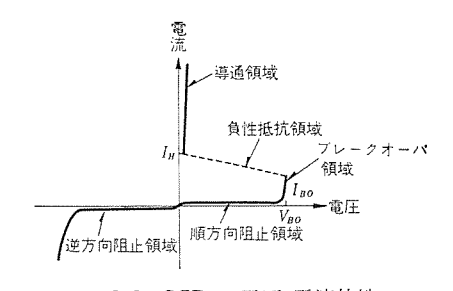


図 2.2 SCR の電圧-電流特性 Fig. 2.2 Basic electrical characteristics of SCR.

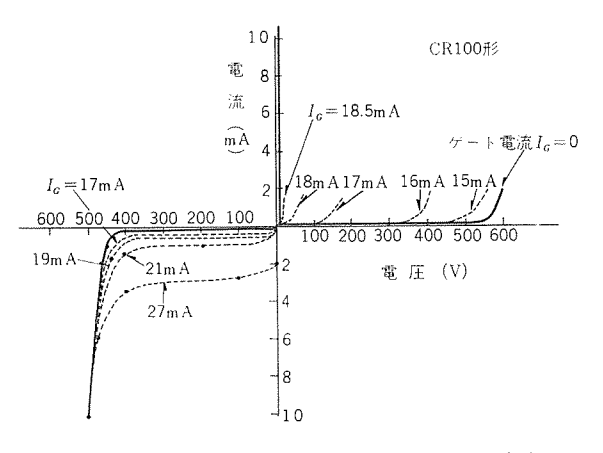


図 2.3 ゲート 電流の増加による電圧電流特性の変化 Fig. 2.3 Effect of increasing gate currents on electrical characteristics.

てそれぞれ取り出されている。その電圧電流特性は図2.2に示されるように、逆方向では通常の整流素子と同様であるが、順方向ではこれと異なり、一定電圧をこえるまでは導通状態にはいらない。順特性は大別してつぎの四つの領域から成立している。

(1) 順方向阻止領域

- (2) ブレークオーバ 領域
- (3) 負性抵抗領域
- (4) 導通領域 である.

すなわち、ゲート 回路開放で順電圧を徐々に高めて行ったとき、電圧 V_{BO} まではほとんど電流は流れないが、 V_{BO} に達すると(2)の dV/dI=0 の領域になり、つぎに素子は(3)の負性抵抗領域をへて(4)の導通領域に移行する。この電圧 V_{BO} を プレークオーパ電圧という。 V_{BO} は図 2.3 に示すように ゲート 陰極間にいわゆるゲート 電流 I_G を通ずることによって低下させることができる。いったん導通領域に入った素子を、再び阻止領域にもどすためには、その順電流を保持電流 I_G 以下にするか、あるいは逆電圧を印加しなければならない。これら V_{BO} および I_H は SCR の特性をきめる重要な定数である。

素子が阻止領域から導通状態に移行することをターンオンするといい。 導通状態から阻止状態にもどることをターンオフするという。 これらの移行に要する時間をそれぞれ ターンオフ 時間と称している。

電気的特性のなかで重要で興味あるのは、逆方向ならびに順力 向阻止状態における電圧電流特性、ターンオンの様子と条件、導通 状態における電流電圧特性、さらには ターンオン 時間、ターンオフ 時間などである。

2.1 逆電流特性

上に述べたように SCR の逆特性は単一の整流素子に類似の特性を示す。これは図 2.4 に示すように PNPN 4 層素子を近似的に 3 イードの直列接続と考えることによって明らかである。すなわち素子に逆電圧が印加されたときは、中央の接合 J_2 は順方向に Λ イアス されているから、逆電圧をささえる接合は J_1 または J_3 である。いま接合 J_1 と J_3 にかかる電圧の割合を考えると、接合 J_4 は一般に低比抵抗の拡散層上に形成され、漏れ電流成分が多いので、図 2.5 に示すような特性をもち、その 4 カプー となり、逆に比較してきわめて低い。したがって、 $|V_3| \ll |V_1|$ となり、逆

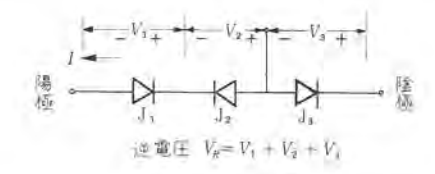


図 2.4 SCR の逆阻止状態での等価回路 Fig. 2.4 Descriptive equivalent circuit of p-n-p-n triode in reverse blocking state.

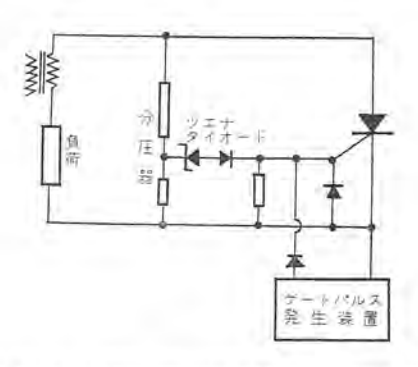


図 2.5 ゲート 陰極間電圧電流静特性 (陽極開放) Fig. 2.5 Typical gate V-I characteristics.

電圧はほとんど接合 J_1 にかかる。すなわち、逆電圧はほとんど一方の接合に加わり、流れる電流はほぼその接合での逆電流に等しい。この逆電流は \mathfrak{g} シリコン の場合は飽和せず \mathfrak{g} で間電圧の増大とともに、空乏層のひろがりによる飽和電流や \mathfrak{g} キャリア 発生電流の増大、漏れ電流、増倍作用などによって増大し、降服電圧で破壊を起す。逆電流はまた ゲート 電流を加えることによっても増大する。図 \mathfrak{g} 2.6 にその測定例を示す。これは図 \mathfrak{g} 2.7 に示すようにゲート電流 \mathfrak{g} を流すために接合 \mathfrak{g} は順方向に バイアス され、接合 \mathfrak{g} からは \mathfrak{g} PB 層に電子が注入される。その電子の一部は拡散によって \mathfrak{g} NB 層に流れ込み、接合 \mathfrak{g} をさらに大きく順方向に バイアス する。そのため接合 \mathfrak{g} から \mathfrak{g} からのため接合 \mathfrak{g} が \mathfrak{g} をさらに大きく順方向に バイアス する。そのため接合 \mathfrak{g} から \mathfrak{g} の結果は

$$-I = \sigma I_{SI} + bI_{LI} + cI_G \cdots (2.1)$$

$$\begin{array}{ll} \text{ $\mathcal{Z} \subset \mathcal{Z}$} & a = (1 - \alpha_{1I}\alpha_{1N} - \alpha_{2N}\alpha_{2I})/(1 + \alpha_{1I}\alpha_{2N} - \alpha_{2N}\alpha_{2I} - \alpha_{II})$ \\ & b = (1 - \alpha_{2N}\alpha_{2I})/(1 + \alpha_{1I}\alpha_{2N} - \alpha_{2N}\alpha_{2I} - \alpha_{II}) \end{array}$$

$$c = \alpha_{2N}\alpha_{1I}/(1 + \alpha_{1I}\alpha_{2N} - \alpha_{2N}\alpha_{2I} - \alpha_{1I})$$

(この関係を簡略化して求めた式は本誌 P. 10 | SCR の特性と定格 | に記載してある。)

となる。すなわち cが一定のときは、逆電流は f-ト 電流によって直線的に増加する。逆電圧が大きくなると漏れ電流 I_{L1} などが増えるので、逆電流は全体として増大する。図 2.6 において、f-ト 電流 I_G がある値以下で逆電流はほとんど変わらず、ある電流値以上ではじめて直線的な増加を示している。これは α の電流依存の項で述べるように、f-ト 電流の小さいときは α_{2N} は小さく、ほとんど $\alpha_{2N}\approx 0$ であるが、ある電流値以上で α_{2N} が急に増大し飽和するので、これに伴って c が増大し一定になるからである。この立上りの電流値は f-ト による g-ンオン 電流値と一致する。

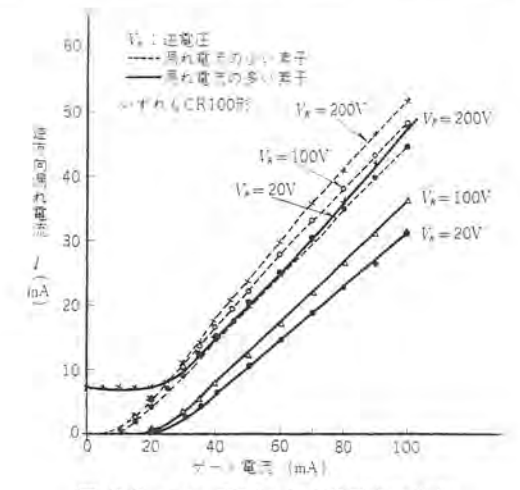
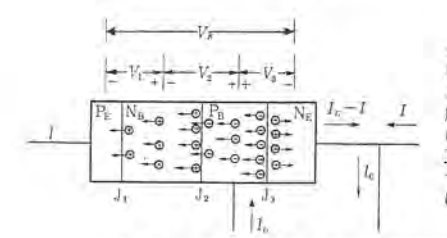


図 2.6 ゲート 電流による逆電流の増大 Fig. 2.6 Increase in reverse current of p-n-p-n triode with gate current.



ゲート電流 I_{G} を流すこと によって J_{3} から電子が注 人される。その一部は N_{B} 層に流れ込み V_{2} を深く正 にバイアスする。そのため J_{2} からは 正光流入され て一部は J_{3} に選し逆電流 は増大する。

図 2.7 ゲート 電流による逆電流増大の説明 Fig. 2.7 Representation of increasing reverse current with gate current.

接合 J_1 , J_3 での流入率は 1 としている. I_{S2} 仕接合 J_2 での飽和電流. $I_{S2}(p)$ は その正孔成分, $I_{S2}(n)$ は電子成分である.

 P_B 層で再結合する。 正孔流 (実線)= $lpha_{1N}I+I_{S2}(p)$ と 電子 流(点線)= $(1-lpha_{2N})I+I_{S2}(n)$ は等しい から

$$I = \frac{I_{S2}}{1 - \alpha_{1N} - \alpha_{2N}}$$

正孔流(実験)= $\alpha_{1NJ}-I_{P2}$ (V_2) 電子流(点線)= $(1-\alpha_{2N})I+I_{n2}$ (V_2) ... I_2 (V_2)= I_{P2} (V_2)+ I_{n2} (V_2) ... I_2 (V_2)+ I_{n2} (V_2)+ I_{n2} (V_2) I_{n2} (V_2)+ I_{n2} (V_2)

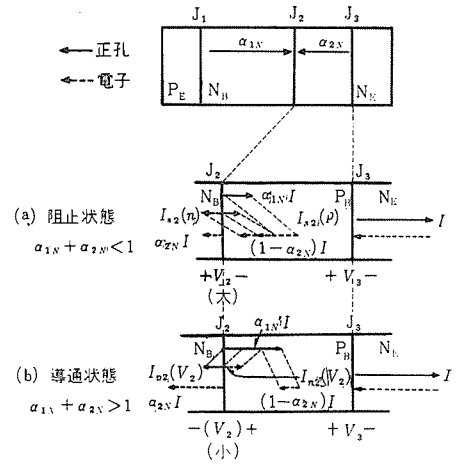


図 2.8 順特性における阻止および導通状態の様子 Fig. 2.8 Behavior of holes and electrons in the base region (a) in blocking state, (b) in conduction state.

この逆電流は接合 J₁ での発熱の増大をもたらす原因となる.

2.2 順特性

順特性の解析はすでに Moll(3)、Mackintosh(4)、Jonscher(5) ら によってなされているが、これらと同一の結果は、各層における キャリヤ の移動を拡散によると考えて連続の方程式をたてることに よっても直接求めることができる(付録参照). その阻止ならびに 導通状態の条件は定性的にはつぎのようにも考えることができる. いま PNPN 4層構造を図 2.8 に示すものとし、PENBPB および $N_B P_B N_E$ それぞれ トランジスタ と考えて、接合 J_1 および J_3 を エミ ッタ としたときの電流増幅率を α_{1N} , α_{2N} とする. 簡単のため接 合 J_1 および接合 J_3 での注入率をそれぞれ1とし、中央の接合にお ける増倍率Mを1とすると、接合 J_1 から注入された正孔は $\alpha_{1N}I$ だけの電流を PB 層にはこびこむ. 一方,接合 J3 から注入され た電子のうち $(1-lpha_{2N})I$ の電流に相当する部分が P_B 層でさきの 正孔との再結合に使われねばならない。いま、 $\alpha_{1N} < 1 - \alpha_{2N}$ のと き、すなわち PB 層に到達した正孔が接合 J3 から注入され、再 結合される電子に比べて小さいときは、中央の接合 J₂ が大きく 逆に パイアス されて N_B 層から熱的に発生した正孔が P_B 層に流 れ込むことによってこの差を補なう(図2.8(a)参照). そして同 時に接合 J₃ の バイァス は小さくなって電子の注入は少なくなり, Рв 層での正孔電子の再結合の割合を等しく保つ. このばあいは 素子の電流は接合 J₂ における飽和電流程度になり、したがって 阻止状態であると考えられる.

一方 $\alpha_{1N}>1-\alpha_{2N}$,すなわち, P_B 層に注入される正孔が多いときは,接合 J_2 は正に パイアス されて, P_B 層への正孔の流入がおさえられると同時に接合 J_3 は正に大きく パイアス され,その結果 P_B 層への電子の注入が増大して, P_B 層での再結合割合が等しくなる(図 2.8 (b) 参照)。このときの電流は主として外部回路によってきまる。これが導通状態であると考えられる。このように考えることによって,PNPN 4 層素子がいずれの状態にあるかは, $\alpha_{1N}+\alpha_{2N}=\alpha_T$ と置いて, α_T 三1 の条件によってきまることがわかる。これらの α_T の移りかわり,すなわち スイッチング 作用は, α_T の電流依存性に基づいている。さらに中央接合での増倍作用,漏れ電流などを考慮に入れて各状態につきまとめると,つぎのようになる。

(1) 順方向阻止領域 順方向阻止状態での電圧電流特性は $\alpha_{T} \equiv M$, $(\alpha_{1,Y} + \alpha_{2,Y}) < 1$ によって特長づけられる. ここに M は接合 J_2 での電子および正孔の増倍率である. このときは印加電

圧のほとんどが接合 J_2 に加わるから電流 I は式 (4,15) から

$$I = \frac{(1 - \alpha_{1N}\alpha_{1I} - \alpha_{2N}\alpha_{2I})MI_{S2} + I_{L2} + \alpha_{2N}MI_{G}}{1 - (\alpha_{1N} + \alpha_{2N})M}$$
.....(2, 2)

これからわかるように、ゲ-ト 電流 $I_G=0$ のとき流れる電流は、飽和電流か漏れ電流の程度である. 上式の M および I_{L2} は電圧に依存するから、これらの関係からこの領域での電圧電流特性が求まる.

(2) 負性抵抗領域 $(\alpha_{1N}+\alpha_{2N})M=1$ に到達すると素子の電流が増大しはじめ,接合 J_2 での パイアス

が逆から正へと逆転し、同時に阻止状態から導通状態へと移行する. この期間素子は負性抵抗を示す.

(3) 尊通領域 この領域は $\alpha_{1N}+\alpha_{2N}\ge 1$ の場合である。このときの抵抗はきわめて低く,通常の $_{0}$ リコン 整流素子に近い値をもっている。これは中央接合 $_{1}$ が順 パイアス されているためである。これはつぎのようにも理解できる。いま $_{1}$ $_{2}$ $_{3}$ と通過する電流は式 (付. $_{1}$ $_{2}$) で $_{1}$ $_{1}$ $_{1}$ $_{2}$ $_{1}$ $_{2}$ $_{3}$ とおいて

$$I_{S2}(e^{-\frac{q}{kT}V_2}-1) = \frac{\alpha_{1N} + \alpha_{2N} - 1}{1 - \alpha_{2N}\alpha_{2I} - \alpha_{1N}\alpha_{1I}} \cdot I$$

をえる。この式の右辺は分子分母とも正になるから, $e^{-\frac{Q}{kT}V_2}-1>0$ が成立する。 このためには V_2 自体が負でなければならない。 すなわち接合 J_2 に加わる電圧は順方向になる。

以上をまとめると阻止状態から導通状態に転ずるための条件と して、その過程において

 $(\alpha_{1N}+\alpha_{2N})M<1 \to (\alpha_{1N}+\alpha_{2N})M=1 \to \alpha_{1N}+\alpha_{2N} \ge 1$ であることが必要である。そこで α_{1N} と α_{2N} の電流による増大とそれをもたらす条件について考えたい。

2.3 電流増幅率 α の電流依存性

5リコン PNPN 4層素子の 2イッチング 作用は α_{1N} と α_{2N} の電流 依存性による(3). すなわち α_{1N} , α_{2N} は 112133 電流の増大ととも に大きくなり,ある電流値以上では飽和するかあるいは多少減少する傾向を示すことは多くの文献(9)(10) に述べられている。実際の素子について α_{1N} と α_{2N} の電流依存性がそれぞれどのようであるかを求めると,たとえば図 2, 20 のようになる。これは当社 CR5 形(5A 級)素子についての特性であって,20 になるとれぞれ 21213233

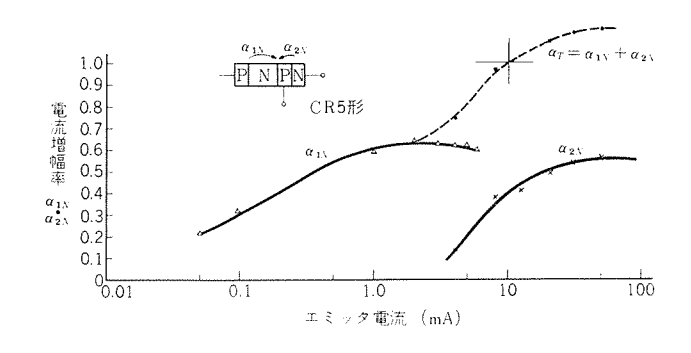


図 2.9 エミッタ 電流による電流増幅率 α の変化 Fig. 2.9 An example of alpha variation with emitter current in the p-n-p and the n-p-n sections of the actual device.

とし、各接合の特性が CR5 形素子と等しいような 2 個の トランジスタ を作製して測定したものである。接合 J_3 は合金法,接合 J_1 , J_2 は拡散法によって作られているが、それぞれのベース層がその厚みと不純物濃度を異にするため、それらの α の $I_{2,0,9}$ 電流特性は相違している。このように電流増幅率 α が電流に依存する理由としては、(1) 電流が増大することによって ベース 層での再結合中心が飽和され、そのため到達率 β が増大する $(3)^{(11)}$. (2)接合を流れる電流の増大によって注入率 γ が増大する $(3)^{(12)}$. (3)特殊な構造の素子では ベース 層での電界によって到達率 β が増大する $(7)^{(7)}$. 等があげられている。測定した例では合金接合の電圧電流特性(図 (2.5) から注入率 γ の増大が主としてきいていると考えられる.

2.4 ターンオンの条件と機構

SCR の $g_{-\nu t\nu}$ の条件は f_{-1} 電流によるものを除けば 2 端子 PNPN 素子におけると同様である. つぎにおもな $g_{-\nu t\nu}$ の条件をあげその機構について考えてみたい.

(1) 順電圧の増大による ターンオン (ブレークオーバ)

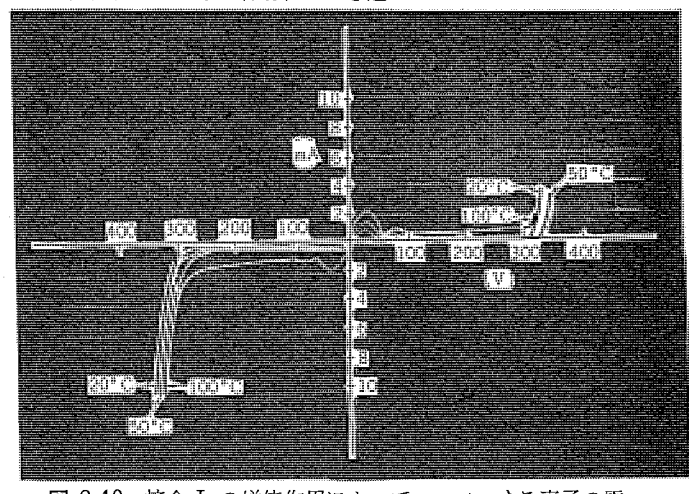


図 2.10 接合 J₂ の増倍作用によって ターンオン する素子の電 圧電流特性とその温度特性の一例 (CR-100 形) Fig. 2.10 The dependence of characteristics on junction temperature: Multiplication type element.

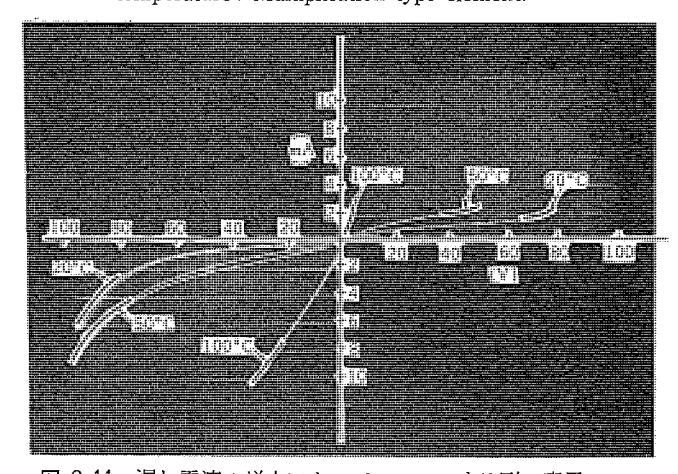


図 2.11 漏れ電流の増大によって ターンオン する形の素子の電圧電流特性とその温度特性の例 (CR-100形) Fig. 2.11 The dependence of characteristics on junction temperature; Leaky type element.

(a) 順電圧が中央接合 J_2 の降服電圧 V_B に近くなると増倍率 M は急激に増大する. 近似的には順電圧 V_2 と増倍率 M との間には

$$M = \frac{1}{1 - \left(\frac{V_2}{V_R}\right)^n} \dots (2.3)$$

の関係がある. ここに n は材料接合の形 V_B に関係する パラメータ で、 5りコン では $2\sim4$ 程度の値になる.

M の増大は $(\alpha_{1N} + \alpha_{2N})M=1$ をもたらす。これは M 自体の増大によるばかりでなく、式 (2.2) で示されているように電流 I の急激な増加をまねき、その結果 α_{1N} と α_{2N} をも増大される。

さて、負性抵抗領域では $M(\alpha_{1N}+\alpha_{2N})=1$ であるから、中央接合 J_2 における印加電圧 V_2 は式 (2,3) から

$$V_{2} = (1 - \alpha_{1N} - \alpha_{2N})^{\frac{1}{n}} V_{R} \cdots (2.4)$$

と表わされ, $\alpha_{1N}+\alpha_{2N}$ の増大とともに減少して $\alpha_{1N}+\alpha_{2N}=1$ で逆 パイアス から順 パイアス へと逆転し,阻止状態から導通状態へと移行する。 $M(\alpha_{1N}+\alpha_{2N})=1$ になるとき,すなわち阻止状態から離れるときの電流を ブレークオーバ 電流 I_{BO} といい, $\alpha_{1N}+\alpha_{2N}=1$ を保つのに必要な電流を保持電流 I_{H} という.主として増倍によって g-ンオン をする素子では逆転がすみやかで $I_{BO} \leq I_{H}$ の傾向にある。図 2.10 はこの形の素子の接合部温度を 20,50,100°C としたときの電圧電流特性の一例である.一般に, V_{BO} は素子の接合部温度の上昇とともに低下するが,漏れ電流の多い素子ほどその低下は著るしい.(図 2.11 参照)

- (b) ある種の素子では表面処理の不完全さなどのため,印加電 圧が V_B に比べて低く,M = 1 であるにもかかわらず漏れ電流の 多い場合がある. このときは印加電圧の増加とともに I_{L2} が増大 して、式 (2.2) によって電流 I の増大を生じ、これが $\alpha_{1N}+\alpha_{2N}$ =1 に導くことがある. この種の素子の電圧電流特性は電流の小 さい範囲ではほぼ漏れ電流の電圧電流特性を示すが、この範囲を こえると電流による α の変化が起り、これによって電流は急に大 きくなり ターンオン に至る. この形の素子の例を接合部温度を パラ メータ にとって図2.11に示す. この形の素子は電流増倍形素子に 比べるといわゆる柔らかい反転を示し、とくに漏れ電流が大きく て表面に集中しているような素子は IBO がかなり大きな値になり、 $I_{BO} \geq I_{II}$ であることが多い、これは一般に表面では再結合速度が 大きいためにαが小さいからである。このような傾向の素子は増 倍形素子に比べて、温度の上昇による VBO の低下が著しく大き く, 逆方向漏れ電流の増大も著しい. これは図2.10 の素子と比較 してみれば明らかである.
- (c) 通常のトランジスタでは コレクタ電圧は小さく、コレクタ接合での空乏層のひろがりによる ベース層の減少効果は無視できることが多いが、制御整流素子では印加される電圧が大きく、そのうえ十分な耐圧をうるために中間ベース層、とくに N_B 層の不純物濃度を低くとっているので、その層での空乏層のひろがりが無視できない場合も考えられる。すなわち、空乏層のひろがりによって実質的な N_B 層のベース幅は減少し、そのため α_{LN} が増大して素子をターンオンする場合である。つぎにこれの影響を調べて見よう、ベース層が減少しているときの α を α'_{LN} とすると、 N_B 層のベース幅と電流増幅率 α_{LN} との関係は付録付1から、

$$\alpha'_{1N} = \gamma_{1N} \cdot \operatorname{sech}(W_{NB}/L_P) \cdots (2.5)$$

ここに W_{NB} は、 N_B 層の幅から、空乏層の幅をひいた実質的な $\vec{\Lambda}$ - $\vec{\Lambda}$ 幅である・

いま一例として L_{P} =0.01 cm, N_{B} 層の幅を 0.01 cm と仮定し,

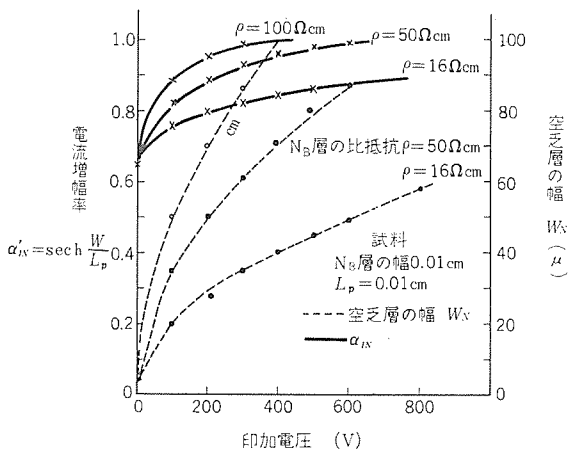


図2.12 空乏層のひろがりによる a_{1N} の増大(計算) Fig. 2.12 Increase in the width of depletion layer and alpha with increasing forward voltage.

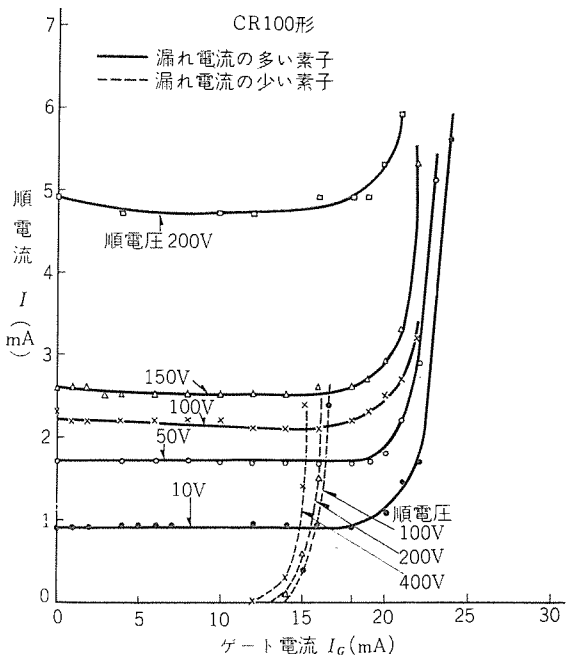


図 2.13 ゲート 電流と順阻止電流 Fig. 2.13 Forward blocking current vs gate current.

比抵抗を パラメータ として、印加電圧 V と空乏層の幅 α_{1N} の関係を求めると式(2.5) から図 2.12 のようになる。ここで簡単のため $\gamma_{1N}=1$ のときを考える。さて図 2.9 のように $\alpha_{1N}+\alpha_{2N}=1$ への 到達が主として α_{2N} によっておさえられるような素子を考えると、順方向の印加電圧の増加とともに W_{NB} は急激に減少して α_{1N} は 増大する。 N_B 層の比抵抗 $\rho=100\,\Omega$ cm のときは $V=300\sim400\,V$ で $\alpha'_{1N}=1$ となり、式 (2.2) によって電流が増大し、このため α_{2N} が増大して $\alpha'_{1N}+\alpha_{2N}=1$ となる。このような素子では $M\approx1$ の状態においても負性抵抗領域に入ることができる。

(2) ゲート 電流による ターンオン

SCR の要求される機能は f-h 電流を流すことによって素子を g-v させることにある。このとき f-h 電流 I_G による素子の 順電流 I の増加分は式 (2.2) から

$$\{M\alpha_{2N}/1-(\alpha_{1N}+\alpha_{2N})M\}I_G$$

になる。すなわち I_G の増大とともに電流 I が増大し、これによって $\alpha_{1N}+\alpha_{2N}$ が増大して $\neg U-2t-1$ が起る。 図 2.13 は順電圧 を n_{5N-2} としたときの n_{5N-1} 電流と順電流の関係を示す。二つ の試料は漏れ電流の少ない素子と多い素子であって、ともに n_{5N-1}

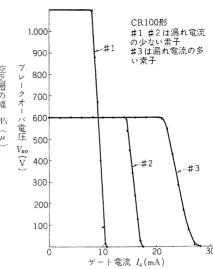


図 2.14 ゲート 電流と V_{BO} の関係 Fig. 2.14 Breakover voltage vs gate current.

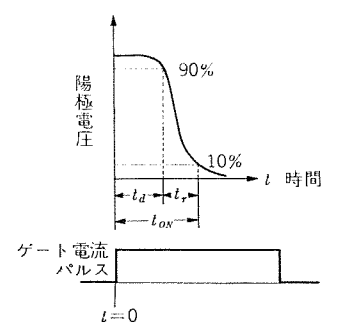
電流の小さい領域ではその順電 流は一定値を示しているが、あ る ゲート 電流で急に増大し、ブ レークオーバ 電流 IBO に達して素 子を ターンオン させる. このよう に ゲート 電流 IG のある値以上 で電流Iが急激に大きくなるの は、α_{2N} が図 2.9 に示すように 電流Iによって急激に増大する 量であると考えることにより説 明される。図 2.13 において漏 れ電流の少ない素子では、電流 I は順電圧により影響されるこ とが少なく、 I_G による増加が顕 著であるが、漏れ電流の多い素 子では順電圧の増加によっても 電流 I はふえている. つぎに ゲ

素子に急激に順方向電圧を印加すると V_{BO} 以下の電圧で $g_{-\nu}$ $f_{2\nu}$ することがある. これはつぎのように考えられる. 急に順電圧が加わると中央の接合 $f_{2\nu}$ ではその空乏層がひろがるために、それに相当するだけの $f_{1\nu}$ $f_{2\nu}$ ではその空乏層がひろがるために、それに相当するだけの $f_{1\nu}$ $f_{2\nu}$ で小数 $f_{2\nu}$ の注入をまねき、注入された $f_{2\nu}$ は互いに相手の $f_{2\nu}$ 不同に流れ込み、 $f_{2\nu}$ ることを $f_{2\nu}$ になっておれば電流はつぎつぎに増大し、素子は導通状態へと移行する. その際、空乏層は再びその電流によって埋められる. 印加電圧の立上りが大きければ電流を生じ、これが $f_{2\nu}$ の増大をまねく. これを防ぐためには、 $f_{2\nu}$ $f_{2\nu}$ を少さくし、また $f_{2\nu}$ を必要以上に大きくしないことである.

3. スイッチング時間

3.1 ターンオン時間

素子にある信号を入れて、阻止状態から導通状態に移し終えるのにある時間を必要とするが、この時間を ターンオン 時間という. SCR の ターンオン 時間とは、その機能上から ゲート に電流 パルス が加わってから導通状態に至るまでの時間をさしている。 定義として、図 3.1 に示すように ゲート に電流 パルス が加えられてから、陽極、陰極電圧が阻止状態の 10% に下がるまでの時間をいう. さらに ターンオン 時間はそれが 90% に下がるまでの遅れ時間 (delay time) と、残りの 10% に達するまでの立上り時間 (rise time) とに分けられる。 実験的には遅れ時間は ゲート 電流によって大きく変わり、立上り時間は陽極、陰極間電流によって、わずかに変わる。図 3.2 に CR100 形素子の遅れ時間と立上り時間のゲート 電流による変化の測定例を示す。このときは $0\sim20$ A の負荷電流の変化に対して、目だった立上り時間の変化はみられなか



 t_{ON} ; ターンオン時間 t_d ; 遅れ時間 t_r ; 立上り時間

図 3.1 ターンオン 時間の定義 Fig. 3.1 Typical turn-on time.

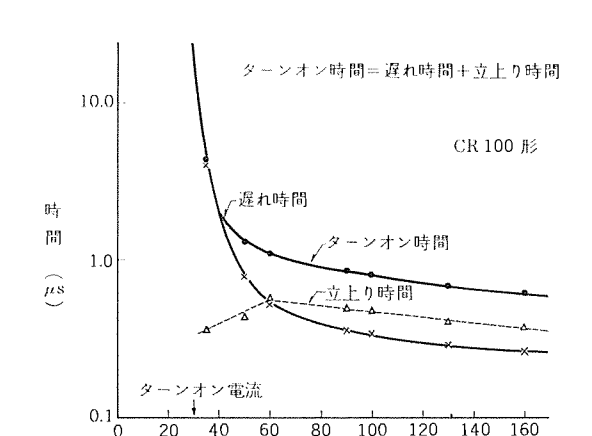


図 3.2 ゲート 電流による ターンオン 時間の変化 Fig. 3.2 Turn-on time vs gate current.

ゲート電流 $I_c(mA)$

った・ターンオン するためには ゲート 電流の パルス 幅がある最小値 以上であることが必要で、これが遅れ時間より短かくなると素子は ターンオン しない

SCR の g-ンオン時間は、トランジスタ のときと異なって他の接合からの注入をも考えねばならないため、定量的取扱いは困難である。定性的にはつぎのような機構が考えられる。 f-ト に f-ルス 電流 I_G を流すと接合 I_3 から P_B 層に電子が注入され、その電子は時間 t_{a1} の後接合 I_2 に達し、 N_B 層に流れ込む。その結果、接合 I_1 は正方向に I-イアス され正孔の注入が行なわれる。その正孔は時間 t_{a2} ののも接合 I_2 に到達し、I-アB 層に流れ込む。これらの注入された I-ナリア によって I-I-アB 層に流れ込む。これらの注入された I-ナリア によって I-I-アB 層に流れ込む。これらの注入された I-ナリア によって I-I-アB 層に流れ込む。これらの注入された I-ウラ において電子が、接合 I-I-においては正孔の注入をひき起し、電流は増大するとともに、中央の接合 I-I-アの I-アス は逆から正へと逆転する。時間 I-I-アム I-アム I-アム

 $t_{d1} \sim W^2_{PB}/D_n, \quad t_{d2} \sim W^2_{NB}/D_P$

 D_P , D_n : 正孔および電子の拡散定数

 W_{PB} , W_{NB} : P_B 層および N_B 層の幅

g-ンオン 時間は上に述べた各時間の和と考えられ、 $t_{a1}+t_{d2}$ は遅れ時間に関係し、空乏層のひろがりに要する時間と g-ンオン のひろがりに要する時間は立上り時間に関係している.

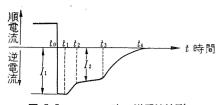


図 3.3 ターンオフ 時の逆電流波形 Fig. 3.3 Transient reverse current with abruptly applied reverse voltage.

3.2 ターンオフ時間

導通状態にある素子を g--ンオフ するためには、電流を保持電流 I_H 以下にするか、逆電圧を加えればよい、そして SCR の g--ンオフ 時間は導通状態の電流が g-- 断されて再び順方向阻止特性を回復し、g-- が点弧能力をもつまでの時間として定義される。

ターンオフ の過程と ターンオフ 時間の解析は多くの複雑な要素のためにきわめて困難であるが、定性的にはつぎのような機構によると考えられる.

素子が導通状態にあるときは $\alpha_{1N} + \alpha_{2N} > 1$ であって、すべて の接合は順方向に バイァス され、各層とくに中間 ベース 層には過剰 キャリァ が蓄積されている. 阻止状態への移行には, まず過剰 キャリ ァの消失とそれに続く空乏層のひろがりが必要である. はじめに での再結合によって減少し、接合 J2 では逆に バイアス される. こ のときの各接合の回復時間すなわち ターンオフ 時間は、ベース 層で の キャリァ の寿命によってきまり、つぎの逆電圧を加える場合に 比べて非常に長い。つぎに急に逆電圧を印加したときには ベース 層の過剰 キャリァ は再結合と逆電流による流失によって減少する. すなわち急に逆電圧を印加すると, はじめ素子には外部回路によ ってきまる逆電流が流れるが、通常のタイオードの蓄積電流と異な り、図3.3に示すように二つの一定電流の領域と二つの減衰領域 をもっている(14). これは二つの ベース 層に蓄積された過剰 キャリ アの流出と接合 J₁ および J₃ の回復に関係している. すなわち $t=t_0$ で素子に急に逆電圧が加えられると t_1-t_0 の間一定逆電流 が流れる. このときは二つの ベース 層に蓄積されている過剰 キャリ ァは接合 J_1 および J_3 を通して流出するが、接合 J_1 と J_3 の近く には多くの キャリァ が存在しており、素子はわずかに順方向に バイ アス されている. したがって、流れる電流は外部回路によって定 まる一定の電流となる. つぎに $t=t_1$ では接合 J_1 または J_3 のど ちらかの接合 (たとえば J₃ とする) の近くの キャリァ がなくなり, その接合は逆に バイアス され、そのため逆電圧の一部はその接合 にかかるので逆電流は減少しはじめる. (第1の減衰領域 t_2-t_1) この接合での逆 パイァス が十分大きくなると、その接合での増倍 作用や接合の不完全性(オーム接触)などによって PB 層には正孔 が流れ込み、これはちょうど、 $N_B P_B N_E$ を 1505スタ とみなした ときのその ベース 電流に相当するので、このため、接合 J₃ の電 位 V_3 は一定になって第2の電流一定の領域 (t_3-t_2) が現われる. つぎに $t=t_3$ で接合 J_1 が回復するとともに逆電流は減少をはじ め第2の減衰領域が現われる. さらに接合 J_1 での空乏層のひろ がりと接合 」₃での逆パイアスの減少の過程が現われて、最後に逆 電圧のほとんどは接合 J_1 にかかる. この蓄積時間は $+_{+}$ リア の蓄 積が多い, すなわち順電流が大きいほど長くなり, また逆電流に よって流失するから逆電流の大きいほど短かくなる. しかし ター つオフ 時間は逆電流をある程度以上に大きくしてもさほど短かく ならず、むしろ逆電圧の大きさや再印加順電圧の立上りによって

影響される. これは接合 J_1 および J_2 が回復しても,接合 J_2 近くの ++ y_7 は主として再結合によって消失するので残っている場合があり,このときまだ素子は完全に g- y- y+ y= である. 結局素子の g- y+ y= の流出が速やかに行なわれるとともに中央接合近くでの + + y= の消失が短い機構にする必要がある.

4. む す び

SCR の特性として重要であるのは、逆方向および順方向阻止 状態における電圧電流特性と、ターンオン、オフ機構が考えられる。 ここではこれらの理論の基礎として考えられている Moll らによ る結果に基づき、その電圧電流特性、ターンオン、オフ特性について 述べたものである。シリコンでは、ターンオンするための必要な条件 として、電流増幅率の エミッタ 電流による依存性が考えられてい るが、実際の素子について各ベース 層におけるこの特性を測定し、 これからターンオンに及ぼすゲート電流の作用、漏れ電流による影響を調べた。スイッチ素子として重要な要素であるターンオン、オフ 時間については、各接合における キャリア の蓄積過程あるいは消 失過程を考えることによってこれの機構について若干の考察を行 なった。 (昭 38-2-27 受付)

参考文献

- (1) W. Shockley: Electrons and Holes in Semiconductors, 112 (1950).
- (2) J. J. Ebers: Four-Terminal PNPN Transistors, Proc. IRE, 40 1361 (1952).
- (3) J. L. Moll, M. Tannenbaun, J. M. Goldey & N. Holon-

- yak: PNPN Transistor Switches, Proc. IRE 44 1174 (1956).
- (4) I. M. Mackintosh: The Electrical Characteristics of Silicon PNPN Triodes, Proc. IRE 46 1229 (1958).
- (5) A. K. Jonscher: PNPN Switching Diodes, J. of Electronics and Control 3, 573 (1957).
- (6) A. K. Jonscher: Notes on the Theory of Four Layer Semiconductor Switches, Solid-State Electronics 2, 143 (1961).
- (7) R. W. Aldrich & N. Holonyac Jr: Multiterminal PNPN Switches, Proc. IRE, 46 1236 (1958).
- (8) W. Shockley, M. Sparks & G. K. Teal: PN Junction, Transistors Phys. Pev. 83 151 (1951).
- (9) W. M. Webster: On the Variation of Junction-Transistor Current-Amplification Factor with Emitter Current, Proc. IRE. 42 914, (1954).
- (10) E. S. Rittner: Extension of the Theory of the Junction Transistor, Phys. Pev. 94 1161 (1954).
- (11) W. Shockley & W. T. Read Jr: Statistics of Recombinations of Holes and Electrons, Phys. Pev. 87 835 (1952).
- (12) C. T. Sah. PN. Noyce & W. Shockley: Carrier Generation and Recombination in PN Junctions and PN Junction Characteristics, Proc. IRE. 45 1228 (1957).
- (13) N. Mapham: Overcoming Turn-on Effects in Silicon Controlled Rectifires, Electronics Aug. 17, 50 (1962).
- (14) A. N. Baker, J. M. Goldey and I. M. Ross: IRE, Wescon Conv. Rec. Pt 3, 43.

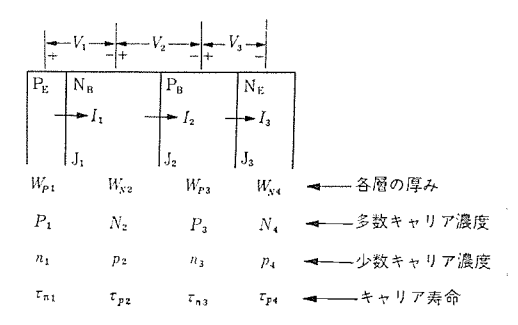
付 録 小電流領域での電圧電流特性の導出

1. 小電流領域での電圧電流特性の導出

PNPN 4層 スイッチ の電圧電流特性の解析は、Moll, Jonscher らによって行なわれているが、ここでは Shockley の理論に基づいて取扱い Moll らの導いた結果を得た。このような取扱いによって、各層の厚み、不純物濃度、キャリァ 寿命と PNPN 4層構造の スイッチング 機構との関係をより明らかにすることができる。ただし、Shockley の理論を用いているから大電流領域の適用はできない。

簡単のため各接合は階段形接合とし各層での #+リァ の運動を 支配するのは拡散のみであると仮定する.

さて、各層での多数 キャリァ 濃度、小数 キャリァ 濃度、寿命、各層の幅、各接合での電位を図付1のようにとる.



図付1 解析に用いた パラメータ Fig. 1 Parameters used for analysis.

また
$$u_{1,3} \equiv \exp\left(\frac{qV_{1,3}}{kT}\right) - 1$$
 $u_{2} \equiv \exp\left(-\frac{qV_{2}}{kT}\right) - 1$ とする.

各層での ‡+リァ は拡散のみで流れるから正孔および電子について

$$\frac{\partial \Delta P}{\Delta t} = -\frac{\Delta P}{\tau P} + D_P \frac{\partial^2 \Delta P}{\partial x^2} \\ \frac{\partial \Delta n}{\partial t} = -\frac{\Delta n}{\tau n} + D_n \frac{\partial^2 \Delta n}{\partial x^2}$$
 (ff 1)

ただし $\Box P = P - P_{1,3}$ D_P , D_n 正孔および電子の拡 $\Box n = n - n_{2,4}$ 散定数

定常状態について考えると $\frac{\partial \Delta P}{\partial t} = \frac{\partial \Delta n}{\partial t} = 0$ である. したがって

$$JP = A \cosh \frac{x}{L_P} + A_2 \sinh \frac{x}{L_P}$$
(\(\forall 2\))

$$\Delta n = A' \cosh \frac{x}{L_n} + A_2' \sinh \frac{x}{L_n} \quad \dots \quad (47 3)$$

 $A_1,~A_2,~A_1',~A_2'$ は境界条件として接合の電位によってきまる. ただし $L_{ni} = \sqrt{D_n \tau_{ni}},~L_{Pi} = \sqrt{D_P \tau_{Pi}}$ である.

 P_1 層について考える. 式 (付 1),式 (付 3) に境界条件として x=0 で $\Delta n=0$

$$x = W_{P1} \leftarrow \Delta n = \frac{ni^2}{P_1} \left(\exp \frac{qV_1}{kT} - 1 \right) = \frac{ni^2}{P_1} v_1$$

を入れて解くと P_1 層での過剰電子濃度 Δn_1 は

$$\Delta n_1 = \frac{n_1^2}{P_1} v_1 \operatorname{cosech} \frac{W}{L_{n1}} \cdot \sinh \frac{x}{L_{n1}} \cdot \cdots \cdot (44)$$

つぎに n_2 層については式 (付2) に境界条件として

$$\Delta P(x=0) = \frac{n_i^2}{n_0} v_1$$

接合 J_2 で $(x=W_{n2})$

$$\Delta P(x=W_{n2}) = \frac{n_i^2}{r^2} v_2$$

これから

$$\Delta P_2 = \frac{n_i^2}{n^2} v_1 \cosh \frac{x}{L_{P2}} + \frac{n_i^2}{n_2}$$

$$\times \left\{ v_2 \operatorname{cosec} W_{n2}/L_{P2} - v_1 \operatorname{coth} \frac{W_{n2}}{L_{P2}} \right\} \sinh \frac{x}{L_{P2}} \cdots (\circlearrowleft 5)$$

同様にして、P3層では

$$\times \left(v_3 - v_5 \cosh \frac{W_{P3}}{L_{n3}}\right) \operatorname{cosech} \frac{W_{P3}}{L_{n3}} \cdot \sinh \frac{x}{Ln_3} \cdot \cdots \cdot (47.6)$$

N₄層では

$$\Delta P_4 = \frac{n_1^2}{n_4} v_3 \cosh \frac{x}{L_{P1}} - \frac{n_1^2}{n_4} v_3 \coth \frac{W_{n4}}{L_{P1}} \cdot \sinh \frac{x}{L_{P1}} \cdots (47)$$

以上で各層における ++ +

$$I_1(v_1, v_2, v_3) = I_3(v_1, v_2, v_3) = I_3(v_1, v_2, v_3) = I$$

から各接合の電圧Vと電流Iの関係式が求まる。まず I_i を $+_t$ リア分布によって表わす。接合 I_i で流れる電流を I_i とすると

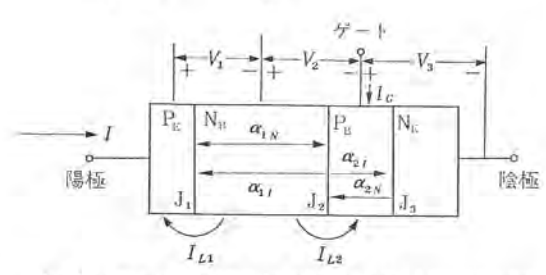
 $I_i{=}I_{ei}{+}I_{hi}$ ただし、 I_{ei} は接合を流れる電子電流、 I_{hi} は正孔電流である。 I_{hi} 、 I_{ei} はそれぞれ

$$I_{hi} = -qD_P \left(\frac{\partial \varDelta P}{\partial x} \right)$$
接合 Ji

$$I_{ei} = qD_n \left(\frac{\partial \Delta n}{\partial x} \right)$$
 接合 J_i

から求まる. これから各接合を流れる電流と電圧の関係が求まる.

$$\begin{split} I_{\rm I} &= \left(g \frac{n_{\rm i}^2}{n_2} \frac{D_P}{L_{P2}} \cdot \coth \frac{W_{n2}}{L_{P2}} + q \frac{n_{\rm i}^2}{P_1} \frac{D_n}{L_{n1}} \coth \frac{W_{P1}}{L_{n1}} \right) \nu_1 \\ &= q \frac{n_{\rm i}^2}{n_2} \frac{D_P}{L_{P2}} \left(\operatorname{cosech} \frac{W_{n2}}{L_{P2}} \right) \cdot \nu_2 \qquad (44.8) \\ I_{\rm I} &= q \frac{n_{\rm i}^2}{n_2} \frac{D_P}{L_{P2}} \left(\operatorname{cosech} \frac{W_{n2}}{L_{P2}} \right) \cdot \nu_1 \\ &= \left(q \frac{n_{\rm i}^2}{n_2} \frac{D_P}{L_{P2}} \coth \frac{W_{n2}}{L_{P2}} + q \frac{n_{\rm i}^2}{P_3} \frac{D_n}{L_{n3}} \coth \frac{W_3}{L_{n5}} \right) \cdot \nu_3 \\ &+ q \frac{n_{\rm i}^2}{P_3} \frac{D_n}{L_{n5}} \left(\operatorname{cosech} \frac{W_{P3}}{L_{n3}} \right) \cdot \nu_3 \qquad (44.9) \end{split}$$



 J_{L1}, I_{L2} : 接合 J_1 および接合 J_2 が逆バイアスのとき流れる漏れ電流

図付 2 トランシスタ パラメータ のとり方 Fig. 2 Schematic of p-n-p-n triode.

$$\begin{split} I_3 &= -q \frac{n_i^2}{P_3} \frac{D_n}{L_{n3}} - \left(\operatorname{cosech} \frac{W_{P3}}{L_{n3}} \right) \nu_2 \\ &+ \left(q \frac{n_i^2}{n_4} \frac{D_P}{L_{P4}} \operatorname{coth} \frac{W_{n4}}{L_{P4}} + q \frac{n_i^2}{P_3} \frac{D_n}{L_{n3}} \cdot \operatorname{coth} \frac{W_{P3}}{L_{n3}} \right) \nu_3 \quad (4 10) \end{split}$$

つぎに通常の トランジスタ または ダイオード の例にならって、以下のように パラメータ をおく (図付2参照).

$$I_{PS1} = q \frac{n_i^2}{n_2} \frac{D_P}{L_{P2}} \cdot \coth \frac{W_{n2}}{L_{P2}}$$
 $I_{S1} = I_{PS1} + I_{nS1}$

$$I_{nS1} = q \frac{n_i^2}{P_1} \frac{D_n}{L_{n1}} \cdot \coth \frac{W_{P1}}{L_{n1}}$$

$$I_{PS2} = \cdots I_{PS2} + I_{nS2}$$

 $I_{PS1}/I_{S1} = \gamma_{1N}$, $I_{PS2}/I_{S2} = \gamma_{1I}$, $I_{nS2}/I_{S2} = \gamma_{2I}$,

$$I_{nS3}/I_{S3} = \gamma_{2N}$$
, sech $\frac{W_{n2}}{L_{P2}} = \beta_1$, sech $\frac{W_{P3}}{L_{n3}} = \beta_2$,

 $\alpha_{1N}=\beta_1\gamma_{1N}$, $\alpha_{2N}=\beta_2\gamma_{2N}$, $\alpha_{1I}=\beta_1\gamma_{1I}$, $\alpha_{2I}=\beta_2\gamma_{2I}$ これらの パラメータ を用いると、式 (付 8) から式 (付 10) はつぎのようにかける.

$$I_1 = I_{S1}v_1 - I_{1I}I_{S2}v_2$$

$$I_{2} = \alpha_{1N}I_{S1}\nu_{1} - I_{S2}\nu_{2} + \alpha_{2N}I_{S3}\nu_{3}$$

$$I_3 = -\alpha_{2I}I_{S2}v_2 + I_{S3}v_2$$

これは図付2のようにパラメータをとり、重ねの理を用いて、Mollらが導いた式である。これからつぎの関係式がえられる。

$$v_1 = \exp\left(\frac{q}{kT}V_1\right) - 1 = \frac{(1 - \alpha_{2N}\alpha_{2I})I_1 - \alpha_{1I}I_2 + \alpha_{1I}\alpha_{2N}I_3}{(1 - \alpha_{2N}\alpha_{2I} - \alpha_{1N}\alpha_{1I})I_{S1}}$$

2 逆方向電流

このときは、逆電圧はほとんど接合 J_1 に加わるので $v_1 = -1$ 、M=1、また接合 J_1 での漏れ電流を I_{L1} とすると

$$I + I_{L1}(V_1) = -I_{S1} - \alpha_{1I}I_{S2}v_2$$

$$I = -\alpha_{1N}I_{S1} - I_{S2}v_2 + \alpha_{2N}I_{S3}v_3$$

$$I + I_G = -\alpha_{2I}I_{S2}v_s + I_{S3}v_3$$

これから ν3, ν3 を消すと、逆電流が求まる。

$$-I = aI_{S1} + bI_{L1}(V_1) + cI_G$$

$$a = \frac{1 - \alpha_{1I}\alpha_{1N} - \alpha_{2N}\alpha_{2I}}{1 + \alpha_{1I}\alpha_{2N} - \alpha_{2N}\alpha_{2I} - \alpha_{1I}}$$

$$b = \frac{1 - \alpha_{2N}\alpha_{2I}}{1 + \alpha_{2N}\alpha_{2I}}$$

$$c = \frac{\alpha_{2N}\alpha_{1I}}{1}$$

3 順方向阻止電流

順電圧のほとんどが中央の接合 J_2 に加わるので、 $\nu_2=-1$ 、またその接合での電子および正孔の増倍率は等しいと仮定し M とおく。さらにその接合での漏れ電流を I_{L2} とすると、

$$I = I_{S1}v_1 + \alpha_{1I}I_{S2}$$

$$I - I_{L2} = \alpha_{1N} M I_{S1} v_1 + M I_{S2} + \alpha_{2N} M I_{S3} v_3$$

$$I+I_G$$
 $+\alpha_2I_{S2}+I_{S3}v_2$

これから 01, 03 を消すと、電流が求まる

$$I = \frac{(1 - \alpha_{1N}\alpha_{1I} - \alpha_{2N}\alpha_{2I})MI_{S2} + I_{L2} + \alpha_{2N}MI_{G}}{1 - (\alpha_{1N} + \alpha_{2N})M} \quad (\Leftrightarrow 15)$$

SCR の特性と定格

清水潤治*

船川 繁**・溝口忠顕**・飯田隆彦**

Characteristics and Ratings of Silicon Controlled Rectifiers

Research Laboratory

Junii SHIMIZU

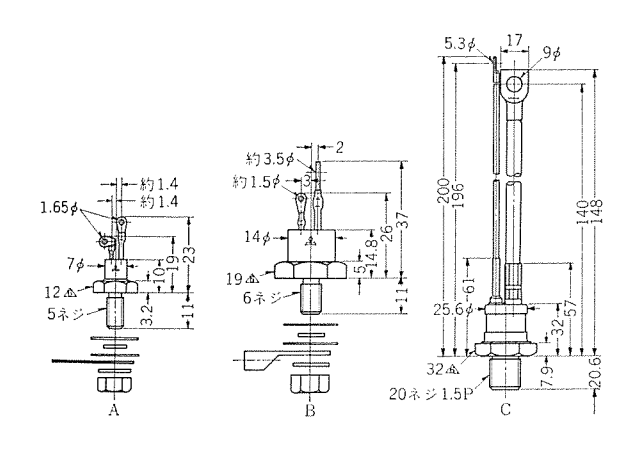
Kitaitami Works

Shigeru FUNAKAWA • Tadaaki MIZOGUCHI • Takahiko IIDA

Since the debut of silicon controlled rectifiers as the most hopeful and promising solid state control devices, versatile applications have been developed in various fields. Mitsubishi silicon controlled rectifiers are now in quantity production to meet increasing demands with current ratings of 3A, 5A, 10A, 12A, 20A, and 100A, and voltage rating of up to 400V. A variety of type tests were conducted on these cells to study their characteristics and determine the ratings. In this paper, discussed the definitions and test methods about the ratings and characteristics on their basis.

三菱制御整流素子一覧表

| 形 4 | <u> </u> | CR3A | CR5A | CR10A | CR12A | CR20A | CR100A |
|-----------|----------|-------------|--------------|--------------|--------------|--------------|--------------|
| セン頭遊耐電圧 | (V) | 50~400 | 50~400 | | | | |
| セン頭願阻止電圧 | (V) | 50~400 | 50~400 | 50~400 | 50~400 | 50~400 | 50~400 |
| 平均電流 3A | (A) | 3 | 5 | 10 | 12 | 20 | 100 |
| サイクル過電流耐量 | (A) | 50 | 80 | 80 | 150 | 300 | 2,000 |
| セン頭ゲート入力 | (W) | 5 | 5 | 5 | 5 | 5 | 5 |
| 平均ゲート入力 | (W) | 0.5 | 0.5 | 0.5 | 0,5 | 0.5 | 0.5 |
| 動作温度 | (°C) | 30∼ +100 | -30∼ +100 | -30∼ +100 | -30∼ +100 | -30∼ +100 | -30∼ +100 |
| 縮付トルク(| (kg cm) | 15 | 15 | 15 | 30 | 30 | 300 |
| 原逆平均漏れ電流 | (mA) | 3 | 3 | 3 | 3 | 3 | 10 |
| 最大点弧ゲート電流 | (25C°) | 30 | 30 | 30 | 50 | 50 | 150 |
| 最大点弧ゲート電圧 | (25°C) | 2.5 | 2.5 | 2.5 | 3.5 | 3.5 | 2.5 |
| 熱 抵 抗 | (mA) | 3 | 2 | 2 | 1.5 | 1 | 0.2 |
| 代表的保持電流 | (mA) | 10 | 10 | 10 | 10 | 10 | 15 |
| ターンオン時間 | (mA) | 0.5~5 | 0.5~5 | 0.5~5 | 0.5~5 | 0.5~5 | 0.5~5 |
| ターンオフ時間 | (mA) | 10~30 | 10~30 | 10~30 | 10~30 | 10~30 | 10~30 |
| 外形図 | | A | A | A | В | В | С |



1. まえがき

SCR は、半導体固有の特長をもった固体 サイラトロンとして、広範囲の応用分野から、最も有望な制御素子として期待されて出現して以来、すでに数年を経過した。当社においても、いち早く開発に着手し、最近急に増加の傾向をたどる需要にこたえて、3A、

5A, 10A, 12A, 20A, 100A の電流定格の素子が量産に移行された. SCR の使用上、最も重要な事柄の一つはその特性定格を,正しく認識し、その特長を有効に発揮できるよう、回路設計を行なうことである。それにもかかわらず、SCR の定格については,まだ定義の明確でないもの、決定法について、議論の余地を残しているものがある。以下量産中の SCR について、その定格ならびに、定格の基礎となる特性、その試験方法について説明する.

2. 電圧定格

SCR の基本的な電気的特性は、すでに多くの論文に発表されているように、図2.1に示す特性をもつ。電圧定格としては、順阻止電圧と to 頭逆電圧とがあり、これらの定格に大きな影響をもつ特性は、それぞれ、ブレークオーバ電圧、順漏れ電流ならびに逆方向降伏電圧、逆電流である。

2.1 順阻止電圧

2.1.1 ブレークオーバ電圧

 V_{BO} は接合部温度が上昇すると、一般に低下する温度依存性があり、SCR の最高動作温度をきめる要因となっている。たと

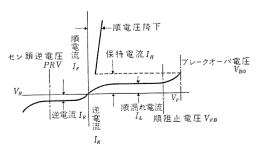


図 2.1 SCR の電圧電流特性

Fig 2.1 Voltage vs current characteristics of SCR.

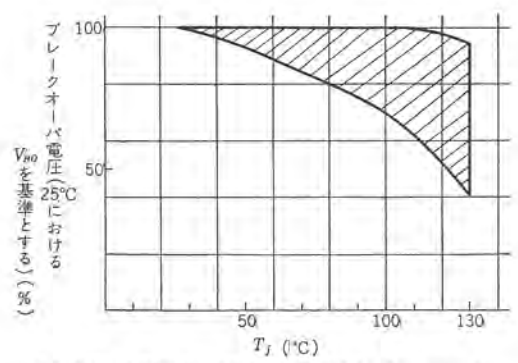


図 2.2 CR20A, CR10A, CR5A ブレークオーバ 電圧の温度による変化

Fig. 2.2 Temperature dependence of breakover voltage. (CR20A, CR10A, CR5A)

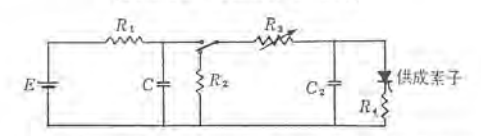


図 2.3 Vao と印加電圧立ち上り率との関係測定回路 Fig. 2.3 Circuit to measure the relation between V_{BO} and the rate of applied voltage.

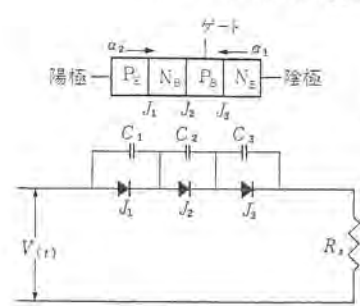


図 2.4 制御整流素子 の四層構造とその等 価回路

Fig. 2.4 Four-layer structure and its equivalent circuit of SCR.

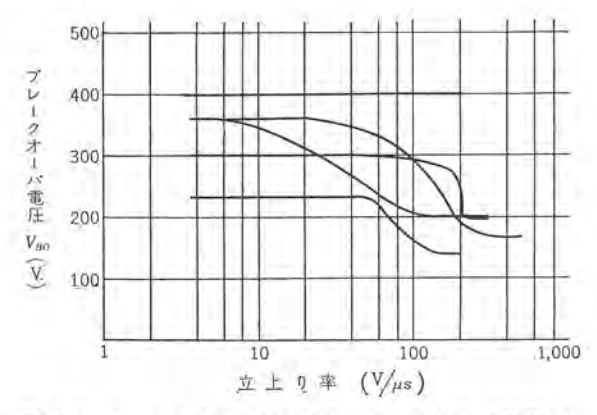


図 2.5 ブレークオーバ 電圧印加波形の立ち上り率 (CR20A) Variation of breakover voltage with the rate of rise of applied valtage,

えば、CR20A、CR10A、CR5A について25°C における V bo を 100% として、温度依存の範囲を示したのが図2.2である。大部 分の SCR が、この範囲に入り、130°~150°C の間で 50%以下 となる. 順阻止定格電圧は、許容動作温度範囲内の最小の Vao より、安全のための余裕 (safety margin) をとって、さらに低 くとられているので、この電圧を越えない電圧が、繰り返して印 加されても、誤って導通状態になることはない。 ただ VBO は、 印加される電圧の立ち上り率によって影響をうける(2)点に注意を 要する。図2.3 に示す測定回路で、SCR にかかる順電圧の立ち 上り率をいろいろ変えて、VBO がどのように変化するか調べた. 図 2.5 に、CR20A についての変化状況の代表例を示す。10 V/

μsec の低い立ち上り率でも VBO の低下しはじめるものもある.

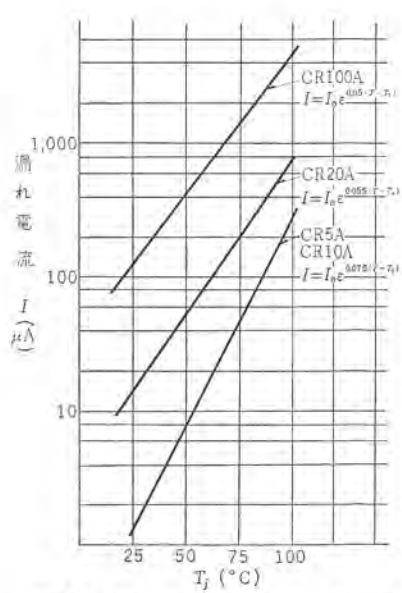


図 2.6 定格電圧における漏れ電流の 温度による変化の代表例

Fig. 2.6 Typical characteristic of leakage current at rated voltage vs junction temperature.

また一方 100 V/μ sec を越えても影響をう けない SCR もある. SCR は図 2.4 に示 すとおり、三つの接 合部から成り、順バ イアス されたとき, 中央の接合のみが, 逆パアスされ,その 接合容量 С2 への充 電電流が、電圧の立 ち上り率によって増 加するためV, BO が 減少するのが普通で ある. この低下の割 合の敏感さは、接合 容量の電圧との関係 の パラツキ 図 2.4 の 電圧増幅率α1,α2, の電流との関係のパ

ラツキ, などによって変わるものである。 現在までの試験結果では 大部分の SCR は 10 V/µ sec の立ち上り率ではほとんど変わら ず、100 V/μ sec では 80~50% にまで低下する. 順阻止定格電 圧は、 商用周波数ならびに DC による測定からきめられているか ら, 過渡電圧については, この点を留意しなければならない.

2.1.2 順漏れ電流

順漏れ電流は後述する逆電流とどうように、通常接合部温度の 増加に伴って増加する. これは近似的に式 (2.1) によって表わ される(3).

$$L = I_0 \varepsilon^{\alpha(T-T_0)} \dots \dots (2,1)$$

とこに,

L: 接合部温度 T における漏れ電流

Lo: 接合部温度 To における漏れ電流

a: 定数

たとえば CR5A, CR10A, CR20A ならびに CR100A の代表 例を図2.6 に示す。a は温度に対する依存度を示すもので、後述 の接合部の熱安定度に大きな影響をもつ数値である。 漏れ電流の 最大値は、最高接合部温度で動作している SCR が、阻止期間中 に、漏れ電流による電力損失で、熱逸走を起こさないという条件 から、さらに、これに十分な安全のための余裕をみてきめられる. CR20A の例では、漏れ電流の最大値は、最高動作温度について、 3mA (平均値) である。実際の製品の漏れ電流の バラッキ, この最 大値よりさらに小さく、大きいもので to 頭値 3mA 程度であ

2.1.3 セン頭順阻止電圧

順電圧定格は、順阻止電圧のほかに、to 頭順阻止電圧 (PFV) というものが用いられる場合がある。SCR の順阻止特性は、逆 特性と異なり、ブレークオーバしても、SCR の特性に永久変化を与 えないのが普通である。このことは、SCR の保護回路の設計上 有利なことであり、過渡現象による VBO 以上の電圧が SCR に、 短時間印加されても SCR はその期間だけ、導通してしまうが、 過渡電圧が去った後は、再びもとの阻止特性を示す. しかし VBO の高い SCR では、順方向に高電圧が印加されると、接合部の微

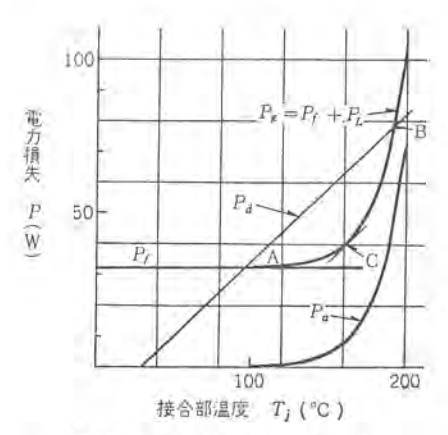


図 2.7 損失と熱安定度 CR20A (単相半 180° 波通電逆電圧 400V 印加の場合)

Fig. 2.7 Thermal stability of CR20 with 20 ampere (forward current in singl phase half wave rectifying circuit, 180° conduction, 400 volts of reverse voltage applied.)

小面積に電流が集中して流れることがあり、導通状態に スイーッチ したときの発生損失で、阻止特性が劣化してしまうものがある. こういう SCR のために、順方向に、特性の変化なしに印加しうる最大電圧をきめたのが PFV である。現在のところこの値は、CR100A、CR20A、CR12A、CR10A では 600 V、CR5A、CR3Aは 480 V である.

2.2 逆電圧

定格逆電圧は、普通 to 頭逆電圧 PRV で与えられる。PRV はいかなる使用条件においても、これを越えて、SCR の陽極陰 極間に、かけてはならない電圧の最低値である。これはつぎの熱 安定度の条件から、まず許容される逆方向損失がきめられ、さらに、これに十分な余裕をみて決められた最大逆電流を生じない電圧としてきめられる。したがって、PRV は SCR の逆方向降伏電圧より相当小さくなっている。

2.2.1 熱安定度からみた逆電流

逆電流の接合部温度による変化を式 (2.1) で表わすと、逆電 圧印加時の発生損失は、式 (2.2) となる.

$$P_L = \lambda V I_0 expa(T - T_0)$$
(2.2)

V: SCR にかかる逆電圧 (セン 頭値)

A: 逆電圧波形, SCR の逆特性により決まる定数

SCR の導通状態のときの順電流による損失 P_f は、その温度による影響は P_L に比較すると、ほとんど無視できるから、一定とみなすことができる。順阻止期間の発生損失は、通電角に応じて式 (2.2) の λ の中に含めて考え、全発生損失 P_g は

$$P_0 = P_f + P_L \cdots (2,3)$$

となる。図 2.7 に、単相半波整流回路における、通電角 180°の場合の CR20A についての P_u の一例を示す。逆電圧は 400 V のセン 頭値が加わった場合で、SCR の漏れ電流は パラッキ 内の最大のものとした。 P_u は、接合部から周囲へ放散される熱量で、式 (2.4) で表わせる。これを図示すると、

$$P_d = (T_j - T_A)/\theta$$
(2.4)

#: 接合部と周囲との間の熱抵抗 (°C/W)

T₃, T₄: 接合部温度, 周囲温度

図 2.7 の直線で表わせる。図の A 点は、熱的に安定な点であり、B 点は熱逸走をおこす点である。周囲温度が上がると、最後に P_a は、C 点一点で、 P_a 曲線に接するようになり、安定点がなくなる。したがって熱的に安定点をもつ条件としては、

$$dp_a/d\tau > dp_g/dt$$
(2.5)

と表わされる. 式 (2.4), (2.5) より

$$P_L < 1/a \cdot \theta$$
(2, 6)

となる。このときの接合部の漏れ電流による温度上昇は、

$$\Delta T < 1/a$$
(2.7)

と表わされる。CR20A の場合は、 18° C となり、 θ が小さいほと、最大許容損失は大きくなる。図2.7の例では、SCR に最大定格電流を流した場合、 θ =2.1 に選ぶと、 P_0 は 8.7 V となり、 I_0 は 400 V の電圧で 87mA の漏れ電流で、始めて熱安定を失うこととなる。逆電圧は、冷却条件が適当であるときは、十分小さい逆電流の点で決められているから、熱逸走の点は考慮する要はないが、高い周囲温度で θ の高いときは、この点に留意しなければならない。

2,2,2 過渡セン頭逆電圧

雷 サージ、スイッチングサージ などによる過渡電圧が、SCR にかかったときは、逆方向には定格逆電圧の 120% までは、どの形の SCR も耐えうる。この過渡 PRV の試験は、普通商用周波数の 1 サイクル または、 $1\times40\mu$ sec の標準衝撃波による電圧を印加して行なっている。

3. 電流定格

3.1 接合部温度

動作状態の接合部温度範囲をきめる要因としては、

(1) 漏れ電流の温度依存性,(2) V_{BO} の温度依存性,(3) f_{-1} 点弧特性の温度による変化,(4) 温度 f_{-1} による機械的歪みで生ずる特性変化などがあげられるが,SCR の場合は最高動作温度は(2)項の V_{BO} が,高温では図 f_{-1} 2.2 に示す現象を示すことから 抑えられる。最低動作温度は,(4) 項によって決められる。しかし実際の動作温度範囲は,この二つの条件から,たんに静的特性の変化がないということだけで決定されるのではなく。半導体素子の通例として,動作温度が高くなると不良率は高くなるので,寿命をも考慮して安全のための余裕をみた上で決められねばならない。現在は f_{-1} 30°C から f_{-1} 100°C が,すべての形の f_{-1} 30°C から f_{-1} 30°C が,すべての形の f_{-1} 30°C が f_{-1} 30°C か f_{-1} 30°C が f_{-1} 30°C か f_{-1}

3.2 発生損失

発生損失は、順電流による順損失、阻止期間中の漏れ電流による阻止損失、逆電圧印加中の逆電流による逆損失、スイッチ 損失、ゲート 損失から成っている。このうち順損失が大部分を占めており、周波数の高い場合のスイッチ 損失を除いては、最大順特性をもとにして出した順損失と、最大熱抵抗とを用いて、電流定格を決めておけば、他の損失は、この裕度の中に十分入る程度に小さいので考慮に入れなくてもよい。順損失は、最大順特性から解析的に求められる。順特性を近似する式として、式(3.1)~(3.3) などが用いられる。

$$v = C_1 + C_2 l_n i + iR \cdots (3, 1)^{(4)}$$

$$v = V_0 + iR$$
(3.2)(3)

$$v = f \cdot (s)g + h \cdot (s)m \dots (3.)^{(5)}$$

LEK.

v: 瞬時順電圧 (V)

i: 瞬時順電流 (A)

s: 瞬時順電流密度 (A/cm²)

R, C₁, C₂, f, h, g, m, 定数

このうち広範囲の順電流にわたって、実測値ときわめて近いの

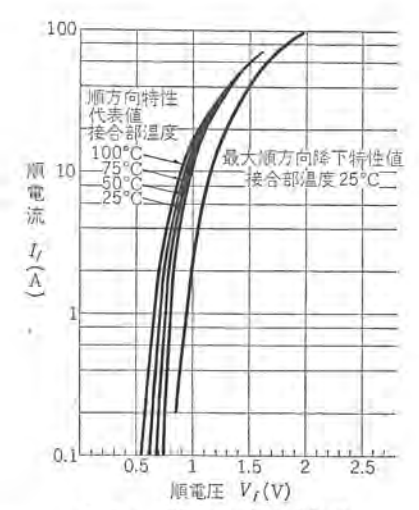


図 3.1 CR20A 順方向特性 Fig. 3.1 CR20A forward characteristics in conducting state.

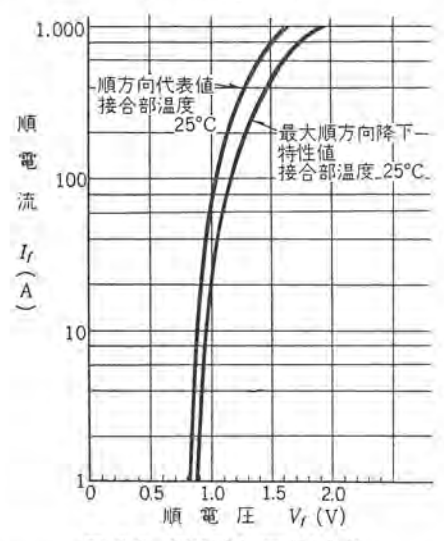


図 3,2 CR100A 順方向特性 Fig. 3.2 CR100A forward characteristics in conducting state.

は式 (3.3) で、定数としてたとえば、つぎの値を入れたときそれぞれの最大順特性を近似的にあらわされる。

すなわち CR20A, では f=0.85, $h=3.03\times10^{-3}$ CR100A では, f=0.875, $h=2.59\times10^{-3}$, CR10A では f=0.75, $h=2.68\times10^{-3}$, g および m はいずれも、おのおの 0.0561, 0.8932 である。図 3.1, 3.2 は CR20A, CR100A の順特性の最大値と代表例である。大電流領域で接合部温度を一定に保って、順特性をとる方法としてパルス による方法があるが、この測定法は大電流 パルス 源、ならびに測定回路への雑音の入る点で、きわめて困難を伴う。ここでは、熱抵抗既知の素子に、直流電流を流し、通電々流と陽陰極間電圧より、損失を出し、接合部温度を求める。このような曲線をケース 温度 をいろいろに変えて求め、等温線を作って、同一接合部温度における順特性を得た。順損失を計算によって出す場合は、式 (3.3) を通電期間にわたって積分し、

$$P_f = \frac{F}{2\pi} \times \left[\mathbf{f} \cdot (s)^{g+1} \int_{\phi}^{\pi} \sin^{g+1}\!\alpha \alpha \alpha + \mathbf{h} \cdot (s)^{m+1} \int_{\phi}^{\pi} \sin^{m+1}\!\alpha \alpha \alpha \right]$$

をうる.

ここに,

φ: 制御角

F: 接合面積 (cm²)

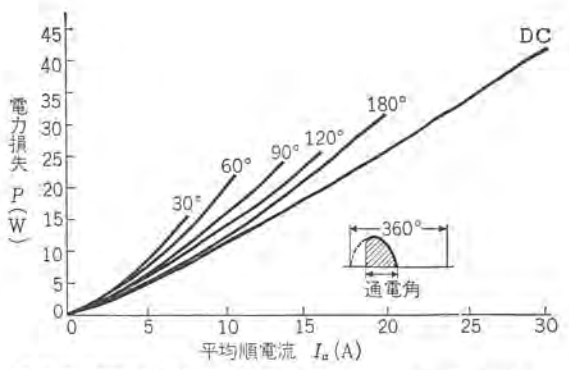


図 3.3 CR20A 単相半波,平均順電流対電力損失特性 Fig. 3.3 CR20A average forward current vs power loss.

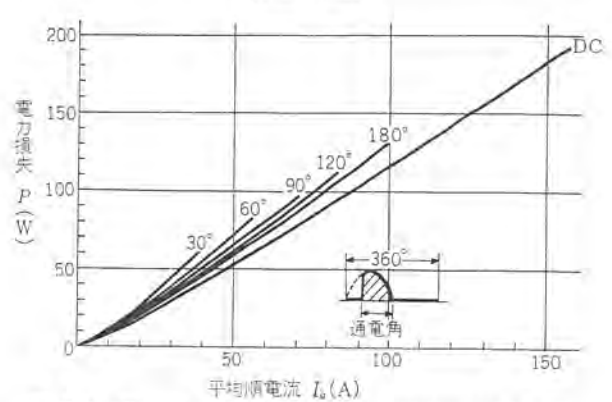


図 3.4 CR100A 単相半波,平均順電流対電力損失特性 Fig. 3.4 CR100A average forward current vs power loss.

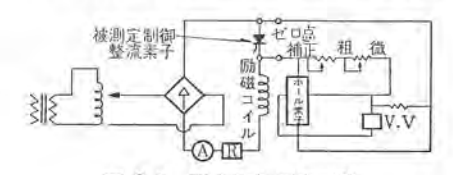


図 3.5 電力損失測定回路 Fig. 3.5 Power loss measuring circuit.

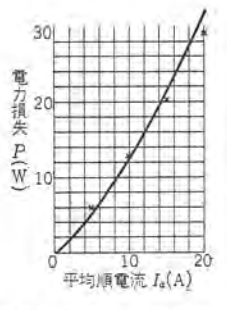


図 3.6 CR20A 電力損失の実測 値と計算値

Fig. 3.6 Comparison of calculated power loss of CR20A with measure loss.

図 3.3.3.4 はこの式によって求めた CR20A, CR100A の順損失である。順損失を実測する方法としては、 \hbar - ν 素子による方法がある(6)。図 3.5 はこの方法による測定回路である。通電角をしぼると、高い電圧が \hbar - ν 素子にかかることになり、誤差を生ずるので、 180° 通電の場合のみで測定し、さきの計算値と比較したのが図 3.6 である。供試 SCR は、最大順特性に近いものを選んだ。実測値では接合部温度の上昇のため、大きな電流に対しては、計算値より小さくなり安全側に出る。

阻止損失は,式 (2.2) で表わされる。単相半波整流回路の場合,順阻止損失,逆損失の和は, λ の値として通電角により,それぞれ,

π-φ: 180° 120° 90° 60° 30° λ: 0.25 0.30 0.375 0.45 0.49

SCR の特性と定格・清水・船川・溝口・飯田

を入れれば近似的に求められる. ただしこの場合, 逆特性は, 電流が電圧に対して直線的に変化すると仮定している. すでに述べたように, 接合部温度が動作範囲内にあるときは, 阻止損失は無視できる.

スイッチ 損失は、SCR が ターンオン する際に生ずる損失で、SCR にかかった電圧が、直線的に降下し、SCR を流れる電流が直線的に同じ割合で増加すると仮定すると、

$$P_s = V_0 I_0 f \times t_r / 4.8 \quad (W) \qquad \cdots (3.5)$$

と表わせる.

ここに,

 V_0 : スイッチ 直前の SCR にかかる電圧 (V)

 I_0 : スイッチ 直後の SCR に流れる電流 (A)

f: 周波数 (c/s)

t_r: 電圧が 90% から 10% に降下する時間 (sec)

したがって、周波数の高い用途では、式 (3.5) により スイッチ 損失を計算し、順損失に加算しなければならない。

3.3 熱抵抗

熱抵抗は,接合部温度,発生損失とともに,電流定格を決める 大きな要因である.熱抵抗には,定常熱抵抗と,過渡熱抵抗とが あり,接合部から周囲に至る間の熱抵抗 θ_{ja} は,接合部 τ -ス 間 θ_{jc} τ -ス 冷却 フィッ 間 θ_{cf} フィッ 周囲間 θ_{fa} の三つより成ってい ると考えられる.

3.3.1 接合部ケース間熱抵抗 θ_{jc}

 θ_{jc} は SCR の構造寸法,構成部品の材質により大きく左右される。 θ_{jc} の測定法としては,たとえば図3.7の回路による方法がある $^{(7)}$. 回路は,定格電流を供給する A 回路と,小電流を供給する B 回路と,SCR の電圧降下測定回路より成っている。B 回路より SCR に 50mA から 150m 程度の定電流を流す。この定電流による素子の順電圧降下は,接合部温度によってほぼ直線的に変わり,その 30 配は,ほぼ 2.08 mV/ $^{\circ}$ C である。つぎに A 回路の方から定格電流に近い電流を,50 温度が一定になるまで流し,A 回路を切る。このとき B 回路からは常に較正電流が

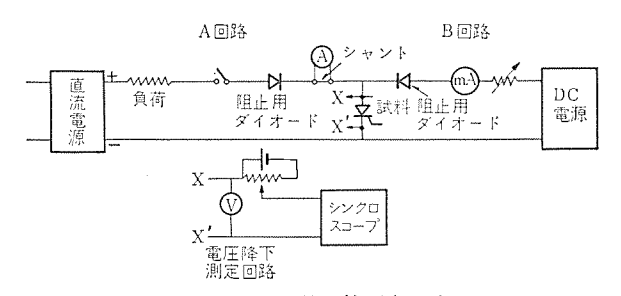
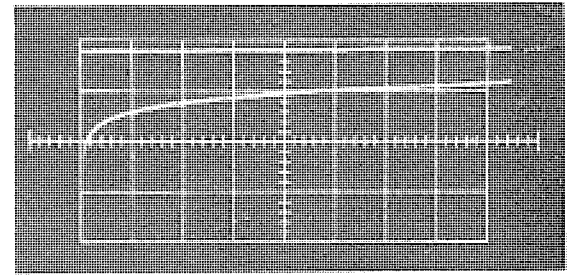


図 3.7 過渡熱抵抗測定回路
Fig. 3.7 Circuit for transient thermal resistance measurement.



較正電流を流した時の順電圧降下の変化を示す横軸 5 sec/cm

図 3.8 過渡熱抵抗測定 オシログラム
Fig. 3.8 Variation of forward voltage drop with the lape of time after interruption of load current in measuring transient thermal resistance.

流れており、この定電流による順電圧降下の変化を測定することにより、接合部温度の変化が求まり、過渡熱抵抗および定常熱抵抗が測定できる。この順電圧降下の変化の模様を図3.8に示す。このようにして求めた、CR100A、CR20A、CR10A、CR5A、の最大熱抵抗を、図3.9~3.11に示す。

3.3.2 ケースフィン間熱抵抗 θ_{cf}

フィッとfース の間の温度差を、SCR の発生損失で割ったものである。これは SCR の締付 fルク により大幅に変化する。締付 f

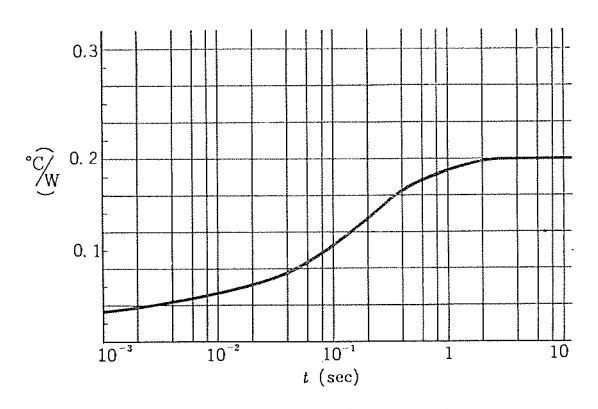


図 3.9 CR100A 過渡熱抵抗 (ケース 接合部間)

Fig. 3.9 Transient thermal resistance of CR100A. (Junction to case)

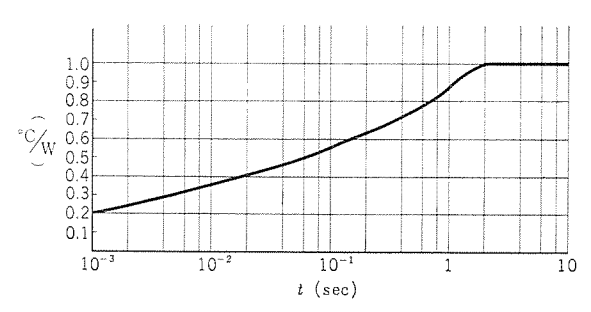


図 3.10 CR20 過渡熱抵抗曲線(接合部 ケース 間) Fig. 3.10 CR20A Transient thermal resistance. (Junction to Case)

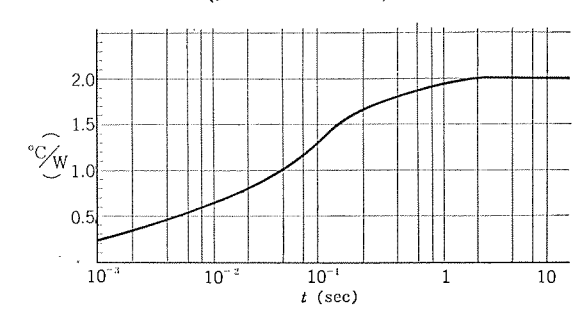


図 3,11 CR10A, CR5A 過渡熱抵抗曲線(接合部 ケース 間) Fig. 3.11 CR10A, CR5A Transient thermal resistance. (Junction to Case)

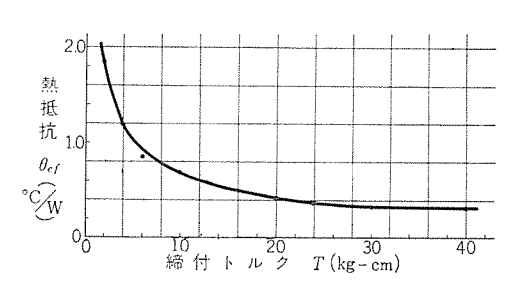


図 3.12 CR-20A 締付トルク対 ケース・フィン 間の熱抵抗 Fig. 3.12 CR20A Stud torque vs thermal resistance of case to fin.

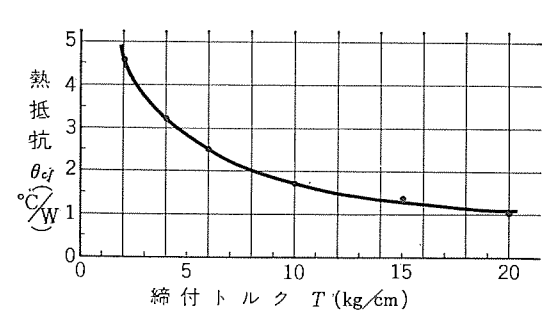


図 3.13 CR-10A, CR-5A 締付 トルク 対 ケース・フィン 間熱抵抗

Fig. 3.13 CR10A, CR5A Stud torque vs thermal resistance of case to fin.

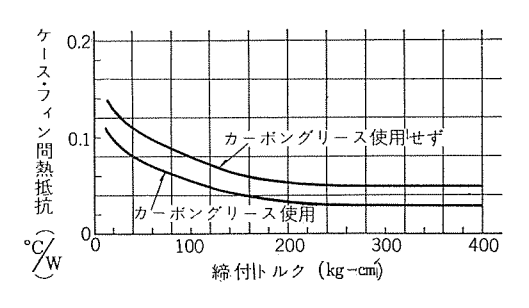


図 3.14 CR100A 締付 トルクケース・フィン 間 熱抵抗 (θ_{cf}) 特性 (ブロックフィン)

Fig. 3.14 CR100A Stud torque vs thermal resistance of case to fin (block fin).

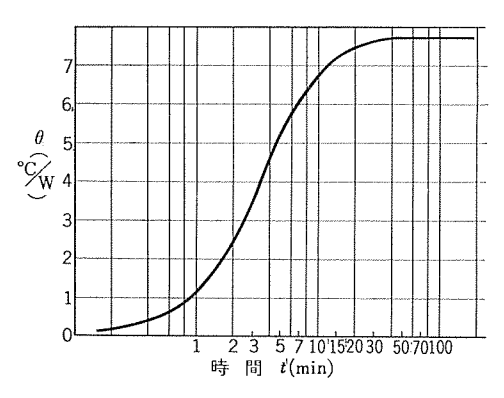


図 3,15 50×50×1.5 フィン 過渡熱抵抗 (銅板,自冷) Fig. 3.15 Transient thermal resistance of 50×50×1.5 mm copper fin. (natural convection)

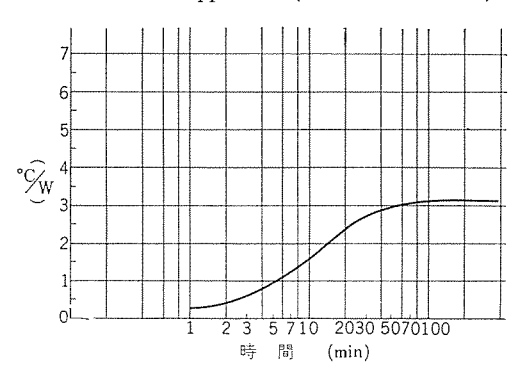


図 3.16 150×150×3.25 フィン 過渡熱抵抗(銅板, 自冷) Fig. 3.16 Transient thermal resistance of 150×150×3.25 copper fin. (natural convection)

 ν 2 が小さいと θ_{cf} は大きいが、締付 $h\nu$ 2 を大きくしすぎても、 θ_{cf} は一定値以上余り小さくならないで、かえって SCR に過大の応力を与えて悪影響を及ぼすこととなる。 図 3.12 に CR20A,図 3.13 に CR10A,CR5A,図 3.14 に CR100A,の θ_{cf} と締付 $h\nu$ 2 の関係をそれぞれ示す.

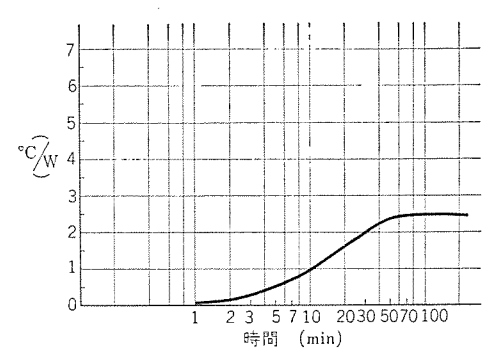


図 3.17 150×150×6.0 つイン 過渡熱抵抗 (銅板,自冷)

Fig. 3.17 Transient thermal resistance of $150 \times 150 \times 6.0$ copper fin. (natural convection)

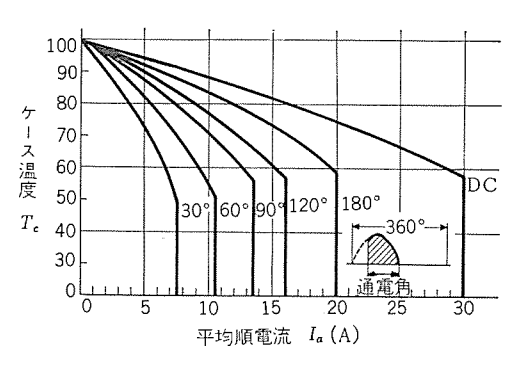


図 3.18 CR20A 単相半波の場合の平均 順電流対 ケース 温度

Fig. 3.18 CR20A Average forward current vs maximum allowable case temperature.

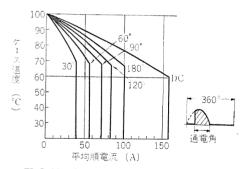


図 3.19 CR100A 単相半波の場合の平均 順電流対 ケース 温度

Fig. 3.19 Average forward current vs maximum allowable case temperature.

3.3.3 フィン周囲間熱抵抗 θ_{fa}

フィン の温度上昇を SCR の発生損失で割っ たものである. フィン の 過渡熱抵抗は,式(3.6) で表わされる.

 $\theta_{fa} = \theta_{fac} [1 - \exp(-t/T)] \cdots (3.6)$

θ_{fac}: フイン 周囲間熱 抗抵 (°C/W)

T: フィンの時定数 一例として、三種類の 板フィンの θ_{fa} の測定結 果を図 $3.15\sim3.17$ に示 す. これら板 フィン の時 定数 T は

 $50 \times 50 \times 1.5$ ארט

4.8 min

150×150×3.25 フィン 14.5 min

150×150×6.0 フイン

17.5 min となる、なおこの測定で は、150×150×6.0のフィ っには CR20A をつけ, 他の フィン には CR5A をつけて測定した.これ らの素子をおのおの上記 の フィン に取り付けて用 いるときはθja として は、 θ_{jc} 、 θ_{cf} 、 θ_{fa} を同一 時間軸に対して、加算す ればよいが,異なる SCR と フィン を用いるときは, 厳密には、たんに加算し ては誤差を生じるが,っ ィンの時定数は,接合部ケ

-ス 間に比べ、非大常にきいので、誤差は微小であり、過渡状態でもたんに加えるだけでよい.

3.4 定格電流

定格電流をきめる因子のうちおもなものは、(1) 最高接合部温度、(2) 発生損失、(3) 熱抵抗、(4) 内部および外部導線の電流容量、などである。(1)(2)(3) 項が与えられていれば、SCR がとりうる定格電流はただちに求めることができる。(4) 項の因子は導線自体の $\ddot{\upsilon}_{2}$ —ル 損失によるばかりでなく、SCR と内部導線+ $\dot{\upsilon}_{2}$ + $\dot{\upsilon}_{3}$ 2 と外部導線との接合部などの抵抗分によっても、相当の大きな温度上昇をもたらすので、定格電流を制限することとなる。このため、SCR の定格電流は、通電角によらず、実効値を一定に決められている。

たとえば、CR100A では 157A, CR20A では 30A, である. 図 3.18, 3.19 に、CR20A, CR100A の各種通電角における平均 定格電流と、ケース 温度との関係を示す. 図の曲線部分は、接合部温度 T_{ij} が最高動作温度 T_{ij} になる 平均電流を表わしたもので、

$$T_c + \Delta T = T_M \quad \dots \quad (3.7)$$

で表わされる。とこに AT は、平均の温度上昇ではなく、各サイクル、通電期間の直後の温度上昇であり、各サイクルの通電期間における発生損失を等価な方形波におきかえ、式 (3.8) で表わされる。

ここに, τ: 1 サイクル の時間 (sec)

tn: 等価方形波損失の幅 (sec)

Rr: 接合部 ケース 間定常熱抵抗 (°C/W)

r(t): 時間 t における過渡熱抵抗 (°C/W)

Po: 等価方形波損失の高さ(W)

図 3.14, 3.15 の直線部分は実効値の最大定格電流により決まる。 周囲温度に対して SCR に流しうる電流は、この 5-A 温度に対する平均定格電流をもととして、

$$T_c - T_a = P_a(\theta_{cf} + \theta_{fa})$$
(3.9)

 T_a : 周囲温度

Pa: 平均発生損失 (W)

によって、用いる つインの $(\theta_{cf}+\theta_{fa})$ を パラメータ として、 T_u が えられるので、 T_a に対する最大定格電流がきまる。

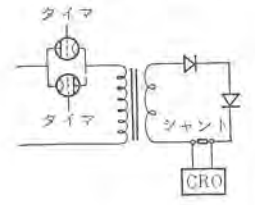


図 3.20 過電流試験回路

Fig. 3.20 Over current test circuit.

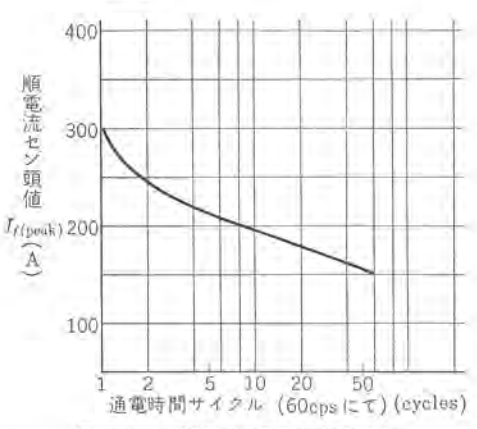


図 3.21 CR20A 過電流耐量曲線

Fig. 3.21 CR20A maximum allowable non-recurrent surge current.

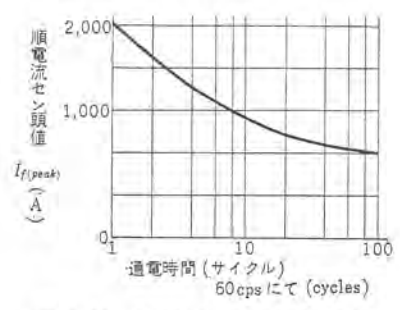


図 3.22 CR100A 過電流対量曲線

Fig. 3.22 CR100A maximum allowable non-current surge current.

3.5 過電流定格

過電流定格には、繰り返しのない過電流定格と、繰り返し過電 流定格の二つがある。繰り返しのない過電流定格は、SCR の寿 命期間中に、数十回程度しか、繰り返して、流せない電流をもっ てきめられている. この場合実際には、出力端短絡のような場合 を対象にしており、この種の過電流が生じた場合は、ヒュース、高速 シャ 断器などで、いったん通電を停止することを前提としている. すなわち繰り返しのない過電流定格は、素子保護用機器と協調を とるために用いるものである。したがって繰り返しのない過電流 が流れている期間の接合部温度は、定格動作範囲を越えており、 定格順阻止電圧, ならびに PRV は, 低下している場合もある. 過電流が取り去られたのち、接合部温度が、最高温度内に入れば、 阻止特性を回復する、繰り返しのない過電流定格としては、日本 電機工業会の JEM「単結晶整流素子」(近く制定の予定) によっ て、図3.20の回路で、接合部温度常温において、無負荷時から、 商用周波の過電流を流して試験をし、通電々流を波高値で表わし て決められている。たとえば CR20A では、この値は1 サイクル 300A, CR100A では 2,000A で、通電時間との関係は、それぞ れ, 図 3.21, 3.22 で表わされる. 繰り返し過電流定格は, 繰り 返して加える回数に制限がなく、通電を中止する必要のない過電 流である. たとえば、点溶接器の制御の場合のように数 サイクルな いし、数秒間通電し、休止するような応用を対象としている。こ の過電流を制限するものは、SCR の接合部温度であり、これが 動作温度範囲内にあるという条件から、発生損失、過渡熱抵抗、 ケース 温度または周囲温度の値を用いて、SCR に流しうる電流を 計算によって求められる(8).

4, 保持電流

保持電流は、導通状態にある SCR が、阻止状態にかえってし

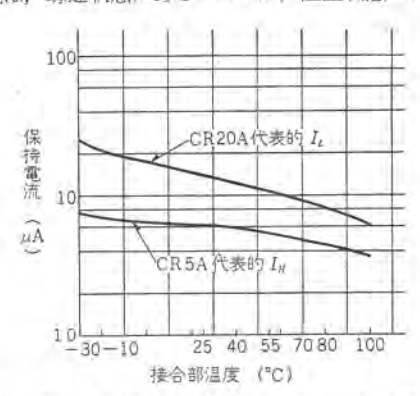


図 4.1 CR20A, CR5A 保持電流の代表的温度依存性 Fig. 4.1 CR20A, CR5A Typical temperature dependence of holding current.

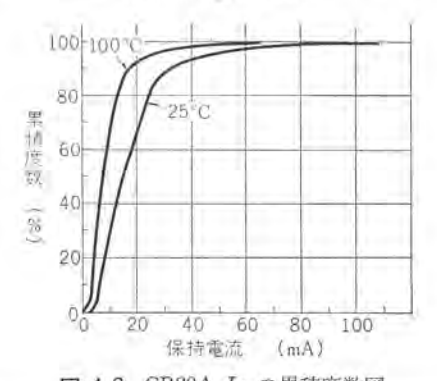


図 4.2 CR20A I_H の累積度数図 Fig. 4.2 CR20A Cumulative frequency diagram of I_H.

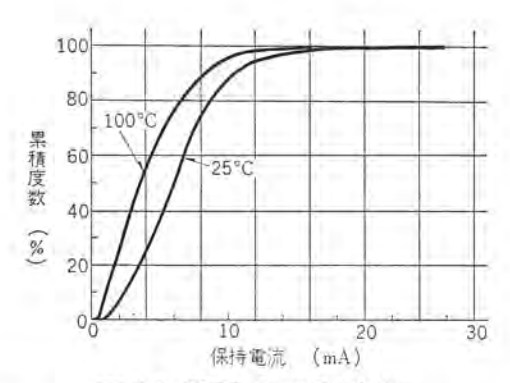


図 4.3 CR5A I_H の累積度数図 Fig. 4.3 CR5A Cumulative frequency diagram of I_{H} .

まわないために、必要な最小の電流である. 測定はたとえば、素 子を導通状態にして、直流電流を通じておき、つぎに ゲート を開 放にしたのち、直列にはいっている負荷抵抗を徐々に増加して、 通電電流を減少してゆき, 阻止状態にかえる寸前の電流をよむこ とによって行なうことができる。保持電流は、接合部温度によっ て影響をうける. 図4.1は, CR20A, CR5A, についてこの関係 を示したものである. また一般に、VBO の高いものは、保持電流 が大きい傾向にある。前者の温度依存性は、図 2.4 の α_1 、 α_2 の 和が、温度の低下により減少することにより、また後者は大きな 電流で1以下になることから説明される. 保持電流は、一般には、 応用上とくに必要のない場合が多いので、定格値としては、現在 は規定していない。 単相両波の整流された電圧が SCR に印加さ れ、負荷がとくに誘導負荷の場合は、SCR には逆電圧がかから ない上,電流が保持電流以下にならないことがあるので,このよ うな用途では、注意しなければならない。 図 4.3, 4.4 に、CR20A、 CR5A の製品の保持電流の分布状況を示す.

5. ゲート点弧特性

5.1 点弧電流電圧特性

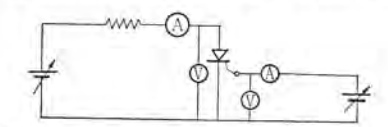


図 5.1 点弧 f-ト 電圧, f-ト 電流測定回路 Fig. 5.1 Circuit for trigger gate voltage and current measurement.

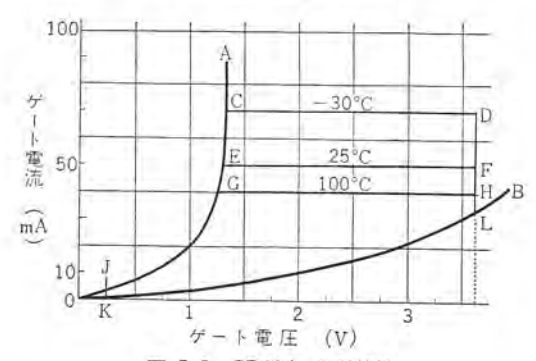


図 5.2 CR20A 点弧特性 Fig. 5.2 CR20A Firing characteristics.

は一例として、CR20A のこの特性をあげたものである.

図の OA, OB の線は CR20A の製品の f-ト 陰極間の電圧電流特性の \mathring{h} -ッキ の両極限を示すものである。CD, EF, GH の線は、それぞれ、接合部温度が -30° C、 25° C、 100° C のとき、すべての SCR が点弧するのに必要な最小の \mathring{f} -ト 電流を示している。つぎに DH の線は -30° C において、すべての素子が点弧するに要する最低の電圧であり、JK の線は 100° C においてすべての SCR が点弧しない最大の電圧である。したがって、素子の点弧電圧、電流は、すべてこれらの線で結ばれた中に分布している。点弧 \mathring{f} -ト 電流は、接合部温度の影響を著しくうけるが、その状態は、図 5.3 に示されている。点弧電流も保持電流とどううよ V_{BO} の高い素子は、大きい傾向がある。

5.2 ゲート入力

5,2.1 ゲート入力の定格

SCR に順電圧がかかっているときの、f-h への入力の定格として、t ι 頭 f-h 電流 (I_p) 、t ι 頭 f-h 電圧 (V_p) があり、周期 T で、幅 t の f ι ι か入ると、これらの間には、

 $P_{\text{ave}} = P_{\text{peak}} \times t/T = V_p I_p \times t/T$ (5.1)

の関係がある。定格入力の値は、SCR の f-ト 陰極間に種々の V_p , I_p の f- I_p に I_p - I_p -

5.2.2 ゲートパルスの最小幅と高さ

パスル 電流で点弧さす場合、パルス 幅の最小は、 $0.1\sim0.2\,\mu\,\mathrm{sec}$ ぐ らいが限度であり、たとえば、 \boxtimes 5.4 に示すようにCR20A では、

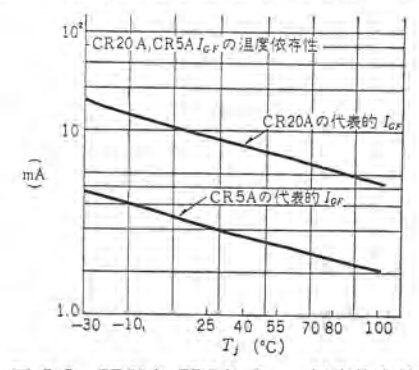
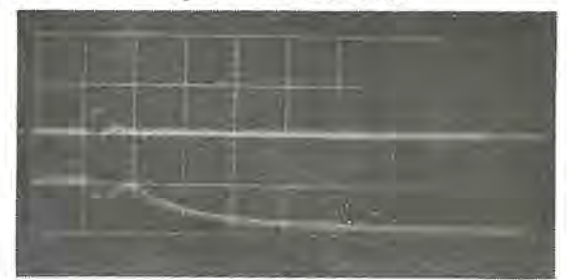


図 5.3 CR20A, CR5A I_{GF} の温度依存性 Fig. 5.3 CR20A, CR5A typical temperature dependence curve of I_{GF} .



ゲート: 1A/目盛 (上) 電 圧: 5V/目盛 (下)

図 5.4 0.4 μs のパルス でターンオン させた例 Fig. 5.4 An example of CR20A turned on with gate pulse of 500 mA peak, 0.4 μsec width. The oscillogram shows gate current (above), 1 ampere per division and forward voltage (below), 5 volts per division.

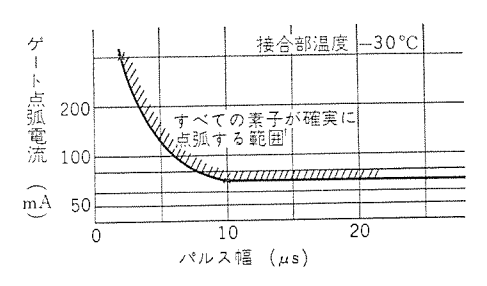
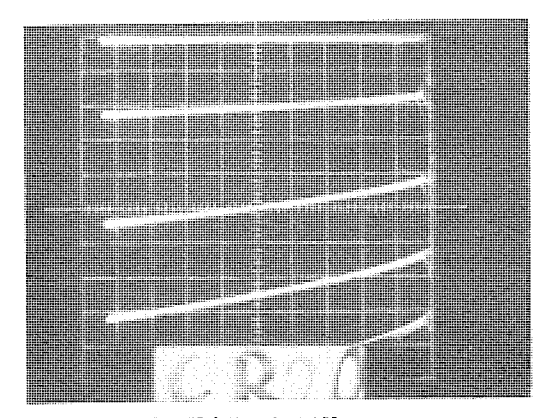


図 5.5 CR20A パルス 幅対 ゲート 点弧電流 Fig. 5.5 CR20A pulse width vs gate current to fire.



電圧 (横輪) 1 目盛 50 V full scale 500 V 電流 (縦軸) 1 目盛 5 mA full scale 50 mA ゲート電流 20 mA 問隔

図 5.6 逆電圧印加時の ゲート 電流と逆電流 Fig. 5.6 Reverse current behavior with gate current floward while reverse voltage applied between anode and cathode. Abscissa: reverse voltage, 50 volts per division. Ordinate: reverse current, 5 miliamperes per division gate currents; 0, 20, 40, 60, 80 mA respectively.

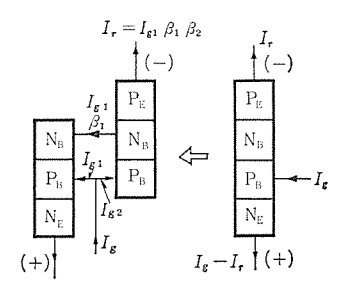


図 5.7 逆 バイアス 時の ゲート 電流の逆電流への影響 Fig. 5.7 Effect of reverse current by gate current when reverse biased.

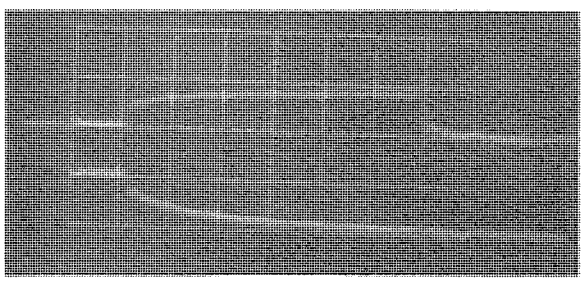
 $0.4 \ \mu sec$ の幅 $500 \ mA$ の高さの パルス で点弧する SCR もあるが, $10 \ \mu sec$ 以下の パルス では,点弧電流も増し,後述の $g-\nu n \nu$ 時間も長くなる結果となる.図 $5.5 \ ck$ 台部温度 -30° におけるすべての SCR が点弧する パルス 幅と高さの範囲を示す.

5.2.3 逆電圧印加時のゲート電流と逆電流

SCR の陽極陰極間を逆 パイァス した状態で、ゲート に電流を流すと、逆電流が増加する。このとき流れる逆電流の大きさは、ゲート 電流の $1/4\sim1/2$ に達する。図 5.6 に一例として、CR20A に460 V の逆電圧をかけ、ゲート 電流を 0 から 20 mA 25 で、増して行ったときの、電圧電流特性を示す。図 5.7 は、この現象を説明する図である。SCR の 4 層構造を二つの トランジスタ に分け、 $P_EN_BP_B$ トランジスタ、 $N_BP_EN_B$ トランジスタ のぞれぞれの 12 で 接地のときの電流増幅率を 82、81 とし、かつ簡単のため、 N_BP_B 接合における電子注入を無視すると図 5.7 から、ゲート 電流 I_g と逆電流 I_r は、次式で表わされる。

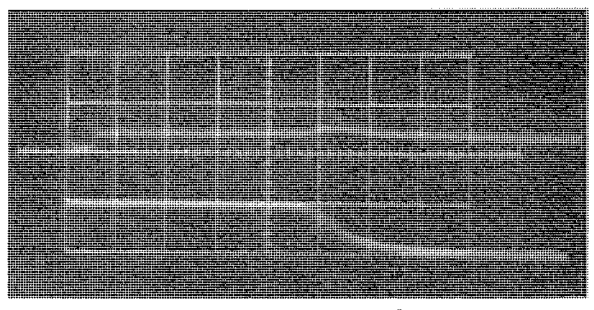
$$I_r = I_q \cdot \beta_1 \beta_2 / (1 + \beta_1 + \beta_1 \beta_2) \cdot \dots \cdot (5.2)$$

実際の回路では、f-h 電流は、SCR が逆 パイァス される時点では、流さないように設計するのが望ましいが、やむを得ないときは、最悪の条件でも、2.2.1 項で述べた熱安定の条件が、満足



(上) 1A/目盛ゲート電流 (下) 5 V/目盛電圧降下 (横軸) 2 μ sec/目盛

図 6.1 大きなゲート電流で ターンオン させた例 Fig. 6.1 An example of CR20A turned on with 500 mA gate current of 120 µsec width. The oscillogram shows gate current (above), 1 ampere per division and forward voltage (below), 50 volts per division.



(上) ゲート電流 100 mA/目盛 (下) 電圧降下 5 V/目盛 (横軸) 2 μ sec/目盛

図 6.2 小さい ゲート電流の時の遅れ時間 Fig. 6.2 Elongation of delay time with small gate current. Gate current (above), in 100 mA per division. Forward voltage (below), 5 volts per division. Abscissa 2 µsec per division.

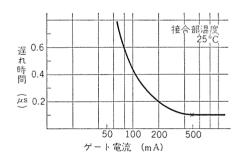


図 6.3 CR20A ゲート 電流対遅れ時間 Fig. 6.3 CR20A Gate current vs delay time.

されているか、否かを検討する必要がある.

6. スイッチ時間特性

6.1 ターンオン時間

ターンオン 時間は、ゲート に点弧電流を流した瞬間から、順電圧が最初の値の 10% に低下するまでの時間で定義される。これは遅れ時間と、立上り時間とより成り、これらはそれぞれ順電圧が90% に低下するまでの時間で定義されている。遅れ時間は ゲート 電流が大きくなると、減少するが、 $500\,\mathrm{mA}\,\mathrm{JL}$ では、ほとんど変化なく、最小値に近づく。図 $6.1\,\mathrm{tt}\,\mathrm{CR}20\mathrm{A}\,\mathrm{ct}\,\mathrm{ct}$ を $500\,\mathrm{mA}\,\mathrm{o}\,\mathrm{f}$ である。図 $6.2\,\mathrm{tt}$ 同じ SCR について ゲート電流を $50\,\mathrm{mA}\,\mathrm{ct}\,\mathrm{ct}$ たときの遅れ時間を示すもので、 $8\,\mu\mathrm{sec}\,\mathrm{alg}$ を $50\,\mathrm{mA}\,\mathrm{ct}\,\mathrm{ct}$ 時間と ゲート電流の関係を $\mathrm{CR}20\mathrm{A}\,\mathrm{ct}\,\mathrm{ct}$ にしたときの遅れ時間は、ゲートパルス 幅によっても異なり、 $5\,\mu\mathrm{sec}\,\mathrm{JL}\,\mathrm{ct}\,\mathrm{mag}$ を $\mathrm{JL}\,\mathrm{ct}\,\mathrm{ct}\,\mathrm{mag}$ を $\mathrm{JL}\,\mathrm{ct}\,\mathrm{ct}\,\mathrm{ct}\,\mathrm{ct}\,\mathrm{ct}$ を $\mathrm{JL}\,\mathrm{ct}\,\mathrm{c$

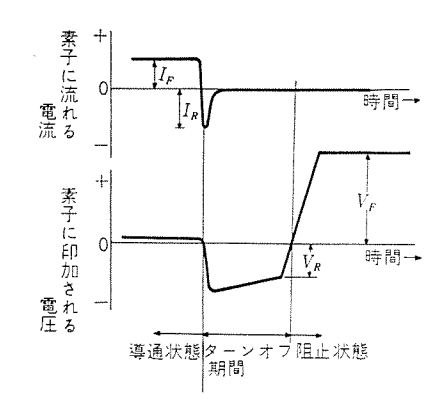


図 6.4 ターンオフ 時に素子に印加される 電圧電流波形

Fig. 6.4 Voltage and current wave form applied to SCR when in turn-off time.

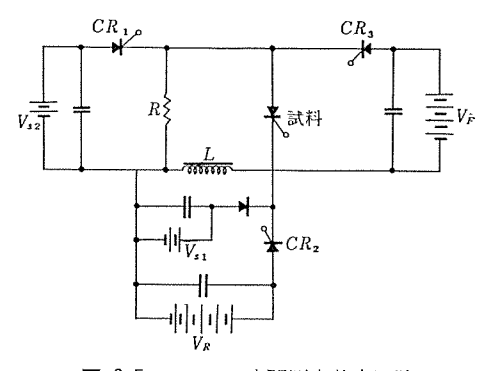
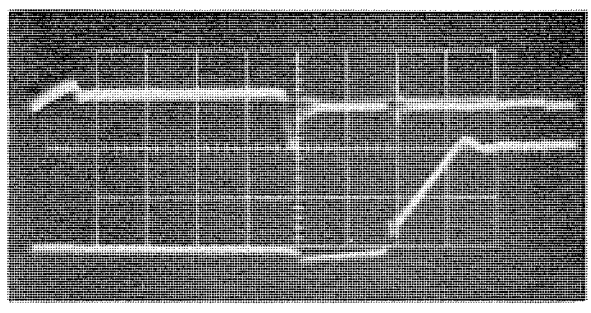
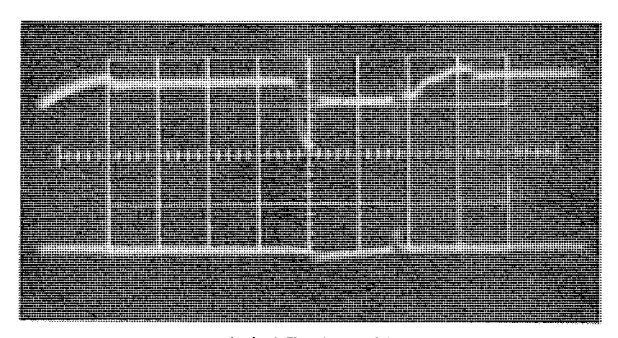


図 6.5 ターシオン 時間測定基本回路 Fig. 6.5 Basic circuit for turn-off time measurement.



(上) 素子に流れた電流 (下) 陽極陰極間電圧

図 6.6 ターンオフ 時間の測定 オシログラム Fig. 6.6 Oscillograms of turn off time measurement forward current (above), 25 amperes per division. Forward voltage (below), 100 volts per division.



(上) 案子に流れた電流 (下) 陽極陰極間電圧

図 6.7 ターンオフ 時間の測定 オシログラム ターンオフ 不成功の例

Fig. 6.7 An example of failure of turn off scales are the same with those of Fig. 6.6.

立上り時間は,順電圧が高いほど短く,順電流が大きいほど, 長くなる傾向をもっている.

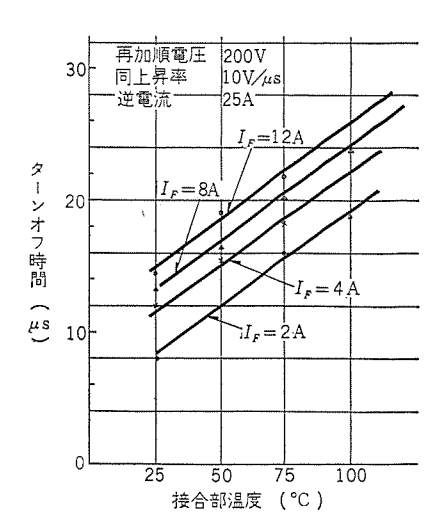


図 6.8 CR20A 接合部温度対 ターンオフ 時間 Fig. 6.8 CR20A Junction temperature vs turn-off tims.

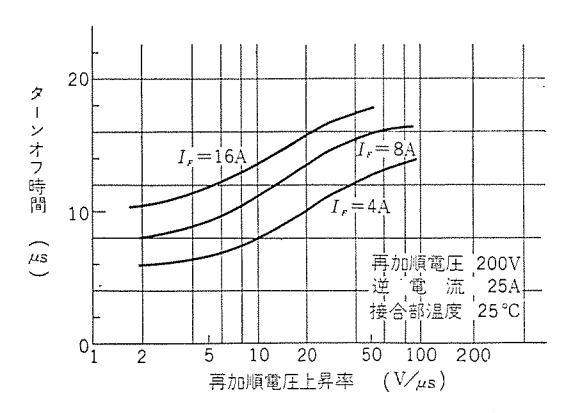


図 6.9 CR20A 再加順電圧上昇率対 ターンオフ 時間 Fig. 6.9 CR20A Rate of rise of re-applied forward voltage vs turn-off time.

6.2 ターンオフ時間

ターンオフ時間は、順電流が シャ 断された後、順阻止能力を回復 し、ゲート が制御能力を回復するまでの時間であり、(1)接合部 温度, (2) ターンオフ 直前の順電流の大きさ, (3) 印加される逆 電圧の大きさ、(4)逆電圧印加時に流れる逆電流、(5) ターンオ っ 後印加される順阻止電圧の大きさと上昇率さなどによって影響 れる. これらを図示すれば、図6.4のようになる. 図6.5 に ター ンオフ 測定器の基本回路の一例を示す $^{(9)}$. V_{s1} で所定の電流をあ らかじめ流しておき、試料および CR_1 を点弧さすと、 f_{3} ーク Lのため、設定電流が試料に流れる. 約 $50\,\mu sec$ 後に CR_2 を点弧 させ、試料に逆電圧 V_R を印加する. その後 CR_3 を点弧させて V_F を試料に印加する。図 6.6 は CR20A についての測定例で、 $T_j = 50$ °C, $I_F = 8$ A, $I_R = 25$ A, $V_F = 200$ V, 上昇率 $100 \text{ V}/\mu\text{sec}$ での ターンオフ した例であり、図 6.7 は同じ条件で ターンオフ しなか った例である. ターンオフ 時間は、順電流の増加、接合部温度の上 昇および逆電流の減少に従い長くなる. 逆電流として 20 A 以上 流せば、ターンオフ 時間を大きくしない。 再印加順電圧上昇率が増 加すると、ターンオフ 時間は延びるので、10 V/wsec 以上では注意 を要する. 図 6.8 は、CR20A の ターン お 時間対接合部温度特性 の一例を、図6.9は、ターンオフ時間と再印加順電圧の上昇率との 関係の一例を示している.

7. 信 頼 性 試 験

SCR の不良の発生状態は信頼性または寿命というもので表わ

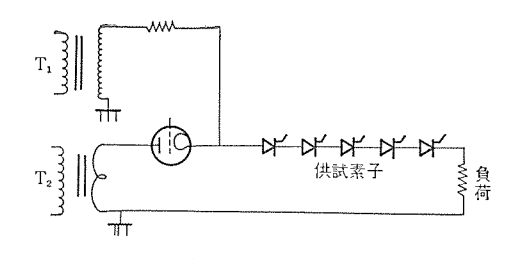


図 7.1 連続寿命試験回路 Fig. 7.1 Life test circuit for continuous load current.

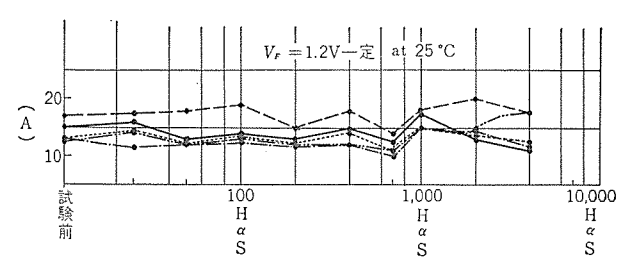


図 7.2 CR5A 断続寿命試験 Fig. 7.2 CR5A on-off life test.

されている。これは、負荷のとり方により大きく変化するものであるが、一般には最大定格時のそれで表わされる。不良の種類には、初期不良、偶発不良および老化不良とがある。このうち初期不良に対しては、電流 エージング、電圧 エージング、熱 エージング などにより、ふるい落すことができる。老化不良については、電気的性能、機械的性能および環境上の性能にとくに欠陥がなければ、一般に半導体素子の寿命は長く、まだ、その期間について明らかな定説がない。この期間は普通装置の他の部分に比べて、十分長いので問題にならない。したがって、いま問題となるのは、偶発不良であり、信頼性試験としては、これを対象に行なわれる。信頼性の試験は、その目的により、つぎの項目を実施している。

7.1 連続寿命試験

この試験では、最高動作温度、最大定格電流において、あるいは最大 f-h 入力をも加えて、連続通電を行ない、SCR の寿命を調べる。この場合 SCR には、逆電圧を印加し、通電角をしぼるときは、順阻止電圧も印加する。この試験の基本回路を図 7.1 に示す。 T_1 は高圧、低電流の変圧器で、順阻止電圧を供給し、 T_2 は低圧、大電流の変圧器で、負荷電流を供給する。

7.2 断続寿命試験

この試験は、素子に最大定格電流を断続して流し、熱 サイクル により SCR の疲労を調べるものであり、断続時間は SCR の冷却条件から、断続時の接合部の温度差をできるだけ広げるように、かつ断続が最もひんばんになるように選ぶ。その他、高温保存、室温保存、高温時の電圧阻止および各種環境試験が、それぞれの

目的に応じて行なわれている。図7.2 に断続寿命試験結果の一例を示す。断続寿命試験で不良となるものは、鑞材の疲労、あるいは熱 ヒスミ による シリコン の割れなどが原因で、通常順電圧降下が大きくなるか、あるいは極端な時は開放状態に至る.

8. む す び

SCR は、本格的な応用が、始まったばかりであり、フイールドでの運転実績は、いまだ信頼性をうんぬんできるほどには数多くは出ていない。にもかかわらず、SCR は、その応用面の開拓にはめざましいものがあり、広い範囲にわたって用いられようとしている。SCR は、多くの特長がある反面、半導体であるための弱点もある。その一つは多くの特性が温度により敏感に影響をうけ、わずかの誤った適用でも、SCR を破壊においやる。この点からも、特性、定格をさらに検討し、使用に便利なようにするとともに、信頼性をより合理的に出す試験法の研究も必要である。終りに、この稿を書くに当たり、測定にいろいろ協力していただいた方々、データ 整理を手伝っていただいた方々に深く感謝いたします。 (昭 38-2-21 受付)

参考文献

- (1) VASCA: The use of SEMICONDUCTOR DEVICES (1961).
- (2) G.E. McDuffie, Tr., W.L. Chadwell: An Investigation of The Dynamic Switching Properties AIEE 60-19.
- (3) J. I. Missen: The Power Ratings of Semiconductor Rectifiers and Silicon Controlled Rectifiers DIRECT CURRENT Aug. 134 (1961).
- (4) D. K. Bisson, R. F. Dyer: A Silicon Controlled Rectilier-Its Characteristics and Ratings 1 AIEE CP 58-1248.
- (5) W. Luft: Forward Voltage Drop and Power Loss in Silicon Rectifiers AIEE 60-34
- (6) 北村・片岡・近藤: ホール 電力計による シリコン 整流素子 の損失測定, 電気試験所彙報 700, **25** 巻, 9号 (1961)
- (7) N. Smith, J. Neilson: Thermal Impedance of Silicon Rectifiers RCA Publication Letter No. 61-95 (1961).
- (8) F.W. Gutzwiller, T.P. Sylvan: Power Semiconductor Ratings under Transient and Intermittent Loads AIEE CP 60-69.
- (9) R. F. Dyer, G. K. Honghton; Turn Off Time Characteristics of Silicon Controlled Rectifier Direct Current 158 Time (1962).

SCRのゲート回路

細 野 勇*•岡 久 雄**

Silicon Controlled Rectifier Gate Circuits

Itami Works

Isamu HOSONO

Research Laboratory

Hisao OKA

The silicon controlled rectifier gate circuit is the one controlling the flow of current between the anode and cathode by applying signals on a control electrode. However, in view of the fact that the silicon controlled rectifier (SCR) has its principal aim in controlling voltage or current, the characteristic of gate circuit has a decisive effect on the successful operation of SCR. For instance a faulty design of the gate circuit may bring about the destruction of the rectifier itself, and conversely a design based on thorough considerations enables SCR to elevate its inherent performance to much higher grade as well as to secure safe and positive control of it. This article deals with various properties considered essential to the gate circuit with practical examples of several kinds of them.

1. まえがき

SCR の ゲート 回路とは、SCR ゲート、すなわち、制御極に信号を加え、陽極一陰極間の通流を制御する回路であるが、SCR が、整流よりもむしろ電圧または電流の制御を主目的としていることを考えるとき、この ゲート 回路の特性が、SCR セット の優劣に、きわめて大きな影響を与えることを知ることができる.

SCR が、別名固体 サイラトロコ といわれるように、その サート 回路もまた、サイラトロコ の格子制御回路とよく似ており、サート 回路に微少な電流を通流することによって、陽極一陰極間の大電流をtrigger することができるが、SCR の サート 特性に ハラッ+ が大きいこと、温度により特性が大幅に変化するなど、サート 回路の製作上にはとくに注意を要するいくつかの条件がある。そのおもなものを列きょすれば、大略下記のとおりである。

- (1) 整流素子の使用温度範囲に対して、常に確実に陽陰極間を 9-ンオン するための最少 ゲート 電力以上の電力を ゲート に与え、 かつ、その時間幅は主回路の使用条件によっておさえられる一定 値以上の幅を有しなければならない。しかし、必要以上の電力を ゲート に加えることは、好ましくなく、SCR のおのおのにおいて
- 定められた一定の ゲート 許容損失以上の電力を ゲート に与えてはならない。
- (2) 同種類、同定格の整流素子でも、ゲート 特性にかなりの パラッキ があるため、点弧位相の パラッキ を防ぐために、ゲート 電流の立ち上りはできるだけ急しゅんであること・
- (3) 点弧位相を任意に制御するために、ゲート 電流 の立上り位相は広範囲にかつ速応性よく移動しうること。
- (4) ゲート 回路として消費する電力はできるだけ小さく、また装置自体が小形であること。
- (5) 温度変化その他の外乱により、位相特性、出力 特性があまり変化しないこと.

(6) 雑音を受けにくいこと.

以上の条件を満足することが、SCRの f-ト 回路にとっての必要条件である。これなどは サイラトロン の格子制御回路においても同様に必要条件ともくされるところであるが、このほか、SCRの制御回路であるために、とくに注意を要する事項や、またゲート回路の特性によって、SCR 固有の特性を向上させられる可能性など サイラトロン の格子制御回路とは、また異なったいくつかの特異事項もある。以下これらについて、一般事項、特殊事項および具体的な回路例について説明する。

2. ゲート回路に要求される一般的特性

SCR の デート 信号は一つの形の SCRのすべてをまちがいなく, 点弧するに十分の大きさがなければならぬと同時に、その デート 電力は、その形の SCR に定められた許容最大 デート 電力以下で なければならない。そのため、すべての形の SCR について、 その デート 回路の電圧電流特性には、ある定められた領域がある。

図2.1 は、ゲート 回路の電圧電流特性を定めるために用いる図表であり、本図は当社の CR-20 形 SCR のゲート 特性について示したものである。図において、左下に示された斜線を施された

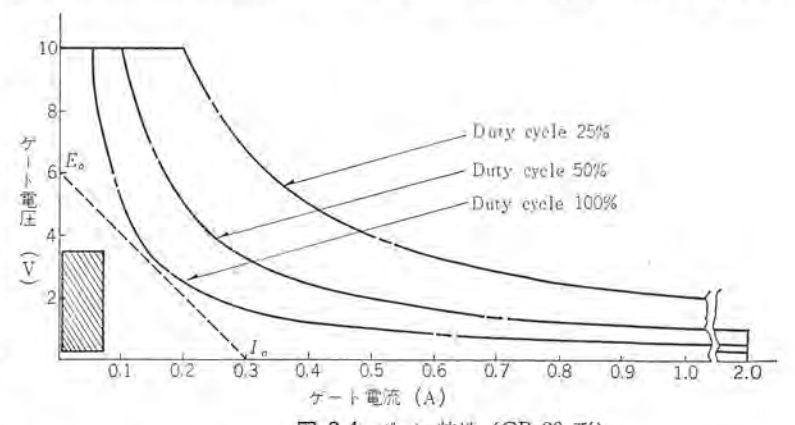


図 2.1 ゲート 特性 (CR-20 形) Fig 2.1 Gate characteristics of type CR-20 SCR.

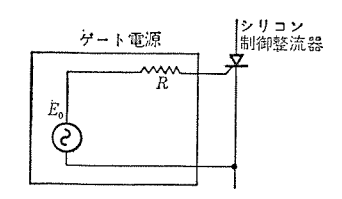


図 2.2 SCR ゲート 回路略図 Fig 2.2 Schematic diagram of gate circuit.

部分は、CR-20 形 SCR の ゲート の pick up する点が、この領域内にばらついていることを示している.そのため、ゲート回路の電圧、電流特性が、この領域の上および右にあるときは、この形のすべての SCR を十分点弧しうることを示している.斜

線を施こされた部分の左および下にある斜線を施こされていない 領域は、この領域では、この形のいかなる SCR も点弧されないことを示しており、SCR の誤動作を防ぐため、r-1 回路に信号電圧のない場合の雑音 -1 は、この領域になければならない、CR-20 については、この領域は 0.25 V、1 mA 以下であり、雑音電力としては 0.25 mW となる。このように SCR は、きわめて微少な雑音によっても pick up される可能性があり、その r-1 回路は低雑音に押えるよう細心の注意を要することがわかるであろう。

この形の SCR の点弧点における等価抵抗は、30 n から 100 n 近辺までばらついている. このように SCR の入力 インピーダンス に 大きな バラッキ があるため、ゲート 回路の電源としては、図2.2 に 示すように、定電圧の電源と抵抗とを接続したような、垂下特性 を有するものが望ましい. このような ゲート 回路の特性は、図2. 1 の上に点線で示されたような直線で表わされる. この直線の縦 軸との交点は定電圧電源の電圧 E_0 であり、横軸との交点は E_0 を外部回路抵抗 R で割った値 I_0 となる. すべての SCR を確実 に pick up するためには、この点線上の各点はすべて斜線を施 こした部分の上または右になければならない。また、これととも に、この線上の各点は ゲート の過負荷を防ぐため、すべて ゲート の 最大許容電力損失曲線の左または下にあることが必要である. 図 2.1 に点鎖線で示したものは、duty cycle 100%, 50% および 25 % のときの ゲート の最大許容電力損失の曲線であるが、各 duty cycle において、ゲート 回路の電圧電流曲線は、いかなる点でも、 この曲線の上または右に出てはならない.

このほか f_- ト 回路の特性を制限する要素としては、許容最大電圧および許容最大電流がある。これらは、いかなる時点においても f_- ト に加わる電圧および電流が越えてはならない値であり CR-20 形 SCR においては、それぞれ 10 V および 2A である。そのため、特別な考慮がなされていないかぎり、 E_0 は 10 V 以下また I_0 は 2A 以下であることが要求される。

今たとえば、電源電圧を 6 V とし、100% duty cycle で動作する f_- ト 回路を作る場合、外部回路抵抗 R を 200 とすれば、この f_- ト 回路の出力電圧一電流特性は、図 2.1 の点線で示したごとくになり、上記の要求を十分満足する f_- ト 回路を作ることができる.

3. ゲート回路の特殊事項

3.1 ゲート負バイアスの効果

SCR では サイラトロン のように ゲート 負 バイァス が不要であり、それだけ制御回路も簡単であることが一つの特長であるが、これから述べるいろいろな効果のために、ゲート 負 バイァス を印加した方が好ましい場合もある.

ゲート 負 バイアス の第一の効果は SCR の ブレークオーバ 電圧およびその温度依存性を向上させることである. 一般に SCR は,温

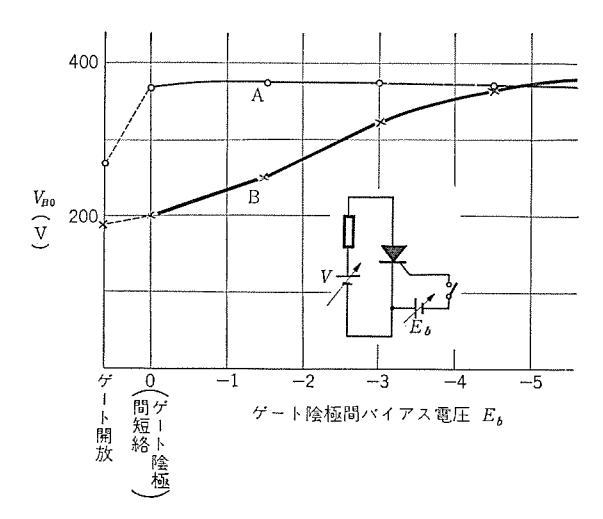


図 3.1 ゲート 陰極間接続状態による SCR の V_{B0} の変化 Fig. 3.1 Variation of V_{B0} of a SCR depending on gate-cathode connection.

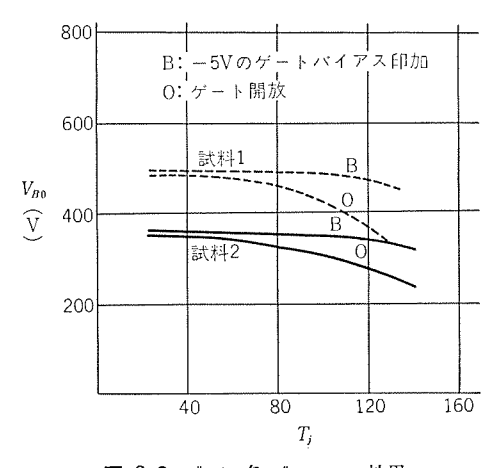


図 3.2 ゲート 負 バイァス の効果

Fig. 3.2 Effect of negative gate bias voltage.

度上昇とともに ブレークオーバ 電圧は低下し,ある限界温度(140~160°C)に達すれば,ほとんど ゼロ に近づくが, ゲート と陰極との外部接続状態によってその様相は異なってくる.図 3.1 にその一例を示す. 同図の試料 A については, ゲート 陰極間を外部で短絡しただけで ブレークオーバ 電圧 V_{B0} は上昇し, ゲート 負 バイアス の大きさによっては変化していない. しかし, 試料 B では,外部短絡によってはまったく V_{B0} の上昇は認められないが, ゲート 負 バイアス を印加すると, その大きさによって次第に V_{B0} は上昇し,約 5 V O バイアス で飽和している.

各種の SCR について試験した結果では、f-1 陰極間を外部で短絡しただけで V_{B0} の上昇する図3.1の試料 A のようなものは比較的少ないが、f-1 負 パイアス によっては大部分の SCRの V_{B0} が上昇する.

図 3.2 には,接合部温度 T_j を変化させたときの f-ト 負 N_{PN} の効果を示しており, V_{B0} の温度上昇による低下を少なくしていることがわかる.

このように f_- ト 陰極間に負 f_1 / f_- ス を印加すると, V_{10} が上昇し,かつ,その温度上昇による低下が少なくなるのは, f_0 - f_- 人以前,陽極から流れているわずかの順方向漏れ電流を, f_- ト 陰極間の内部接合を通さずに, f_- ト より強制的に外部に引き出して, f_1 / f_1 ス させることによるものであり, f_- ト 短絡形 SCR とほぼ同じ原理に基づいている。

ゲート 負 バイアス の第二の効果は、ゲート 陰極間に外部より侵入 する雑音によって、SCR が誤動作することを防止することであ る。SCR は、わずかの ゲート 入力で ターンオン させることができ 制御利得の高いことが一つの特長であるが、雑音源の多い場所で 使用するときは、かえってこのことが、誤動作の原因を作る。も し、雑音 レベル よりは高い逆 バイアス を ゲート 陰極間に印加し、 かつその分だけ大きい ゲート 入力を与えるならば、完全に雑音に よる誤動作を防止できる。

以上の ゲート 負 バイアス を印加するのに、 独立した直流電圧として設けることもできるが、 主回路の電圧を利用して負 バイアス を得ることもできる。図 3.3 は、単相半波回路における一例を示している。

この回路では、SCR に加わる逆電圧を利用して、結合変圧器の リセット と コンデンサ C の充電を行なうが、C の充電電圧は Z_1 の v_{xx} 力電圧以上とはならず、また、SCR の陰極 f_{xx} ト間には Z_2 の v_{xx} 電圧以上の電圧が、かからないようにしてある.

3.2 ゲートのクランプ

SCR の陽陰極間に、逆電圧が印加されている期間に、ゲートより正方向の入力が与えられると、ゲート につながる P 層 S_i を中心とする NPN トランジスタ 作用により、陽陰極間の逆方向漏れ電流が増加する。このことは、SCR に余分な熱損失を与えることになり、あまり好ましいことではない。これを防ぐためには 2ランピングダイオード を用いることが行なわれている。この ダイオード の効果は、SCR の陽極陰極間に逆電圧がかかっている期間に、この ダイオード に電流を流し、その電流を ゲート 回路短絡電流(ゲート回路を SCR の ゲート と陰極につながる出力端子で短絡したとき流れる電流)より大きくするようにして、ゲート 入力電流を 952 ラすることである。

3.3 ゲート入力の波形

SCR に余分な加熱を生じさせないためには、ゲート 入力は必要な最少時間幅のパルス電流が好ましい。しかし、制御の簡単化のためには、直流または陽極側の電源と同期した交流波形とした方が、よい場合もある。その場合は、当然前項の クランプ 回路によって、逆電圧印加中のゲート 入力を押えなければならない。また、交流波形の場合は、ゲート 入力の立ち上りがゆるやかであるから、素子による点弧位相のパラッキ は避けられず、したがって、多相

回路,並列接続など点弧位相のパラッキが好ましくない回路には 不適当である.

パルス 波形の ゲート 入力では、その立ち上りと時間幅が問題となる。 点弧位相の パラッキ を少なくするためには、立ち上りは急しゅんであるほどよいが、特殊な場合を除き、高級な パルス 発生回路を必要とはしない。

またその時間幅は、少なくとも ターンわ 時間以上であればよいが ゲートパルス 消滅時に、陽極に最少保持電流以上の電流が流れていなければならないので、負荷が誘導性であったり、逆起電力を有している場合には、あまり短かい パルス では確実な点弧ができないことがある。

4. ゲート回路の具体例

SCR の ゲート 回路は、単に SCR を開閉させるだけの用途のものと、位相を制御して SCR の出力電圧を調整するために用いられるものとに大別される。前者は、機能的にも、また回路的にも簡単であり、多くの回路の例も発表されているため、ここでは取り上げないこととする。

位相制御を目的とする SCR の ゲート 回路も、いくつかのものが発表されているが、原理的に大別すると、つぎの3 種類に分けられる.

- (a) 磁気増幅器を使用するもの.
 - (b) シュミットトリガ を使用するもの.
 - (c) ダブルベースダイオードを使用するもの.

このうちの、(c) ダブルベースダイオード を使用する回路については、 GE 社の SCR マニュアル に詳細に述べられており、また、特性上 も前記(a),(b) に比べて劣るため、ここでは、当社で開発され た磁気増幅器を用いるもの1例および シュミットトリガ を用いるもの 2 例について説明することにする。

4.1 速応性磁気増幅器を用いたゲート回路

速応性磁気増幅器は、応答速度が半サイクルできわめて速いこと、 drift の小さいこと、入力信号の雑音による影響をほとんど受け ないこと、特性の直線性のよいことなど多くの利点を有しており、 これを用いて、卓越した特性のゲート 回路を作ることができる。

図 4.1 は速応性磁気増幅器を用いた シリコン 制御整流器の ゲート 回路である。図において、トランジスタ T_{rs} 、 T_{rs} および直流電源 DCS は Synchronous inverter として動作し、変圧器 TF から R_1 および D_1 または D_2 を通って トランジスタ の ベース 回路に流入する電流によって、交互に開閉動作をくり返し、TF の一次側に印加された交流電圧と同位相の方形波電圧を発生する。今、変圧器

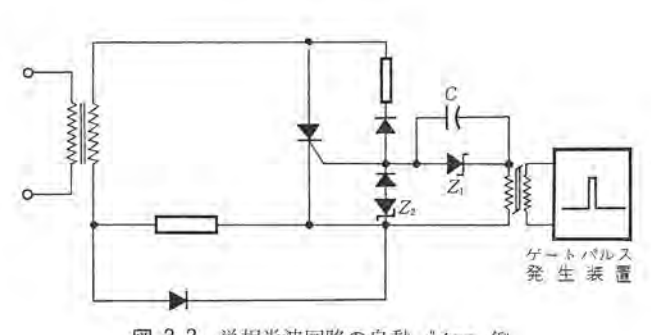


図 3.3 単相半波回路の自動 バイアス 例 Fig. 3.3 An example of auto-bias in single phase rectifing circuit.

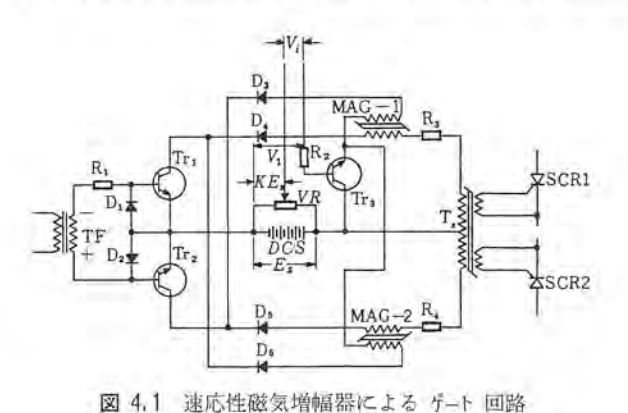


Fig. 4.1 Gate circuit by using Ramey type magnetic amplifier.

TF の電圧が図示のことき極性であった場合には、 $T_{\rm Pl}$ が開の状態にあり、速応性磁気増幅器 MAGI の リセット 巻線には、トランジスタ $T_{\rm Pl}$ ダイオード $D_{\rm S}$ および トランジスタ $T_{\rm Pl}$ を通じて DCS の電圧が加わる。このとき、 $T_{\rm Pl}$ は十分飽和状態で動作するため、DCS の電圧は トランジスタ $T_{\rm Pl}$ と MAGI の リセット 巻線に分割されて加わる。今、この トランジスタ $T_{\rm Pl}$ の ベース 回路電圧を $V_{\rm Pl}$ 、MAGI の リセット 巻線に加わる電圧を $V_{\rm Pl}$ 、 $T_{\rm Pl}$ の ベース 電流を $I_{\rm Rl}$ 、 $J_{\rm Pl}$ の $J_{\rm Pl}$ で、増幅率を $J_{\rm Pl}$ とすれば、式 $J_{\rm Pl}$ の 成り立つ。

$$V_1 - V_2 = i_c R_2 / \beta \dots (4.1)$$

ここで i_c は MAGI の励磁電流であり、十分小さな値である。 また R_2 も十分小さく選ぶため、 $i_c R_2/B=0$ と考えられ、式 (4.2) が成り立つ。

$$V_1 = V_2 \qquad (4,2)$$

すなわち、トランジスタ $T_{\rm FS}$ の \ref{nomega} 回路には、MAGI の りセット 巻線によって 100% の負 + 還がかけられているため、MAGI の りセット は入力電圧にほとんど等しい値で行なわれ、トランジスタ の 温度変化などによる特性変化はほとんどすべて負 + 還によって補償されて、磁気増幅器の リセット 量の変化とはならない。 $T_{\rm FS}$ の導通期間は、 $T_{\rm FS}$ が図示の極性である 180° の期間であるため、こ の期間に MAGI の リセットされる磁束量は、式 (4.3) で表わされる。

$$\Delta \Phi = KV_0 \pi \stackrel{.}{=} KV_1 \pi \cdots (4,3)$$

図 4.2 ゲート 回路位相特性 Fig 4.2 Phase shifting characteristics of gate circuit.

ただし K は常数 つぎに TF の電圧が、図 示と逆の極性になると、今 度は Trz は開 Tri は閉の 状態となり、 DCS の電圧 は T₃, R₃, Tri を通じて, MAGI のゲート巻線に加 わるが、Rs の抵抗値は十 分小さく Ts の励磁電流は 十分大きく,かつ Tri は飽 和状態で動作するため, DCS の電圧 E, は, ほと んどすべて MAGI のゲー ト巻線に加わり、これの磁 東量を減少させ, θ radian の後に 4 の磁束レベルを 移動して MAGI-1 の鉄心 は飽和し、DCS の電圧 Es

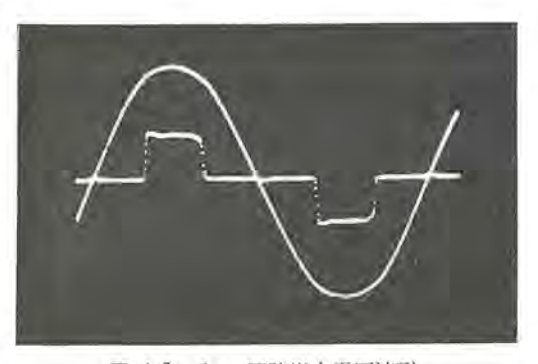


図 4.3 ゲート 回路出力電圧波形

Fig. 4.3 Wave form of gate circuit output voltage.

は T_s および R_s に加わり、 T_s の二次に急しゅんな立ち上りの 電圧を誘起する。このときの位相 θ は次第で表わされる。

$$\theta = \pi V_1/E_s \odot V_1 \cdots (4.4)$$

そのため V_1 を変えることによって V_1 に比例して,位相制御角 θ を変えることができる。図 4.2 は,この f_- ト 回路の入力電圧 V_1 に対する位相制御角 θ の特性曲線であるが,この図より,広範囲にわたってきわめて直線性がよいこと,および周囲温度 15° C から 100° C の広範囲にわたって,トランジスタ の drift は負 15° C から 100° C の広範囲にわたって,トランジスタ の drift は 負 15° C から 100° C の広範囲にわたって,トランジスタ の 100° C の広範囲にかられたい。

時点 θ において、 T_s に加わる電圧は、その二次側に急しゅんな立ち上り波形を有する方形波を誘起し、これが、SCRの ゲートに加わり、SCRを pick up するのである。 T_s は飽和変圧器であり、一定時間の後飽和するため、飽和後はも早 T_s の二次には電圧を誘起せぬため、SCRの ゲートには、一定時間幅を有する一定波高値の方形波が印加させられる。

図 4.3 はこの出力電圧波形である.

つぎにこの fート 回路において、電源電圧 E が変化した場合を考えてみよう。今、SCR を用いた整流回路の電源と、その fート 回路の電源を同一系統からとり、直流電源 DCS は、これを整流したものとする。この場合、SCR の出力直流電圧 E_d は式 (4.5) に示すごとくなる。

$$E_d = K_2 E \cos \theta \cdots (4,5)$$

ただし θ; 位相制御角

また、ゲート 回路においては

$$E_3 = K_3 E \cdots (4,6)$$

ただし Ka は定数

また図より V_1 は制御入力信号 V_i と直流電圧 E_s を分圧した KE_s より成り立っているため、

$$\theta = \pi (V_i + kK_3E)/K_3E \cdots (4.7)$$

$$Ed = K_2E \cos \{\pi (V_1 + kK_3E) | K_3E\} \cdots (4.8)$$

今、ここで $dE_d/dE=0$ が成り立てば、変流電源電圧が変動しても直流電圧はなんら変動しない。すなわち、セット として変流電源電流の影響を受けない セット を作ることができる。

このため、式 (4.8) を微分すると式 (4.9) が得られる。

$$\frac{dE_d}{dE} = K_2 \cos \frac{\pi \left(V_i + k K_3 E \right)}{K_3 E} + K_2 \sin \frac{\pi \left(V_i + k K_3 E \right)}{K_3 E} \cdot \frac{\pi V_i}{K_3 E} \ \ (4.9)$$

ここで $dE_a/dE=0$ が成り立つためには、式 (4.10) が満足されればよい。

$$\cos \frac{\pi(V_{i}+kK_{3}E)}{K_{3}E} + \sin \frac{\pi(V_{i}+kK_{3}E)}{K_{3}E} \cdot \frac{\pi V_{i}}{K_{3}E} = 0$$

$$\tan \{\pi(V_{i}+kK_{3}E)/K_{3}E\} = -K_{3}E/\pi V_{i} \cdot \cdots \cdot (4.10)$$

$$\tan \theta = K_{3}E/\pi V_{i}$$

図4.4~4.6は、上記の k をいろいろに変えた場合の制御電源 電圧の変動に対する位相特性の変動の実測値を示すが、SCR の 電源も同一の系統からとる場合には、k を適当に選ぶことによっ て、任意の位相角において交流電圧が変動しても位相角がこれを 補償し、直流電圧が何ら変動しないように、セットの特性を選ぶ ことができる。図4.7は、この ゲート 回路の出力電圧電流特性で あり、図4.8は、この ゲート 回路の外形写真である。

上記をまとめると、この ザート 回路はつぎのような利点を有し、 SCR の ザート 回路として最適であるということができる.

(1) 立ち上りが急しゅんな一定電圧,一定幅の信号を 180° の

三菱電機技報 · Vol. 37 · No. 5 · 1963

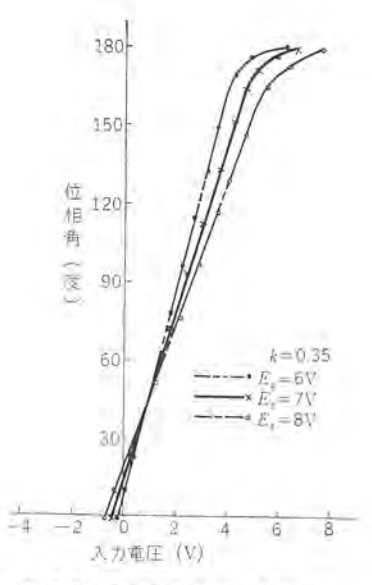


図 4.4 電圧変動による位相変化 Fig. 4.4 Phase variation due to voltage disturbance.

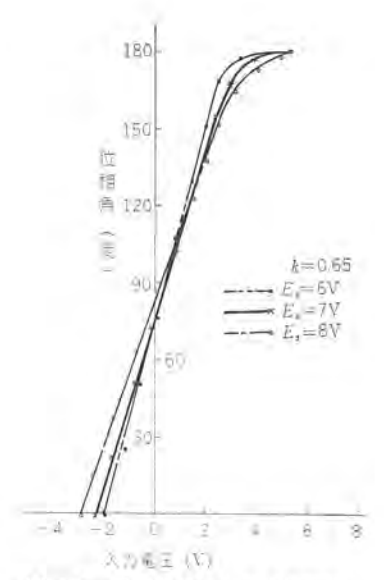
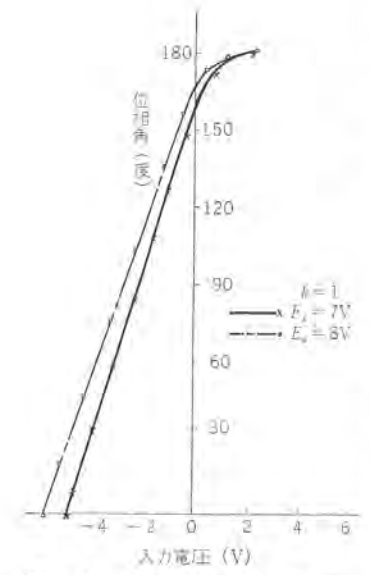


図 4.5 電圧変動による位相変化 Fig. 4.5 Phase variation due to voltage disturbance.



出力は on

PN; バルス 成 形要素で LN。

3N などを組

み合わせて使

用するもので、

漸増、漸減す

る入力を on

または off に

(図4.10参照)

TD-1; 時限

要素で TN, 2N, 3N など

を組み合わせ

て, 普通遅延

回路として使

用するが, ここではきょ 歯 状波発生回路

として使用する。すなわち

図 4.11 のよ

うに TD-1 の前に TN,

3N を接続し

3N に交流を

全波整流した

入力を入れれ

ば, TD-1 の 出力はきょ歯

成形する。

図 4.6 電圧変動による位相変化 Fig. 4.6 Phase variation due to voltage disturbance.

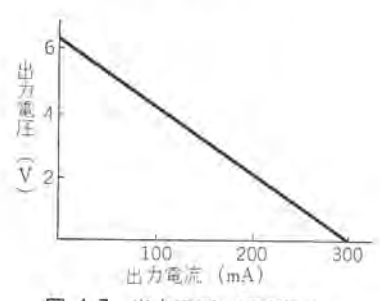


図 4.7 出力電圧一電流特性 Fig. 4.7 Output voltage-current characteristic.



図 4.8 磁気增幅器式 ザート 回路 Fig. 4.8 Gate circuit of magnetic amplifier type.

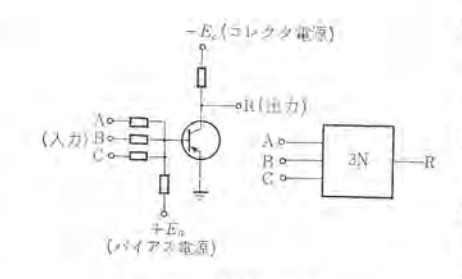


図 4.9 NOR 要素 Fig. 4.9 NOR element.

広範囲にわたって位相制御できる.

- (2) 応答速度は 1/2 サイクル できわめて速い。
- (3) 入力信号を半サイクルの間積分するため、入力信号に加わる雑音に対して、あまり影響を受けず安定に動作する.
- (4) 移相特性がきわめて直線性にとんでいる.
- (5) 温度による drift がほとんどない。
- (6) 任意の位相角において、SCR の入力側の電圧変動が直流 側に現われないようにすることができる。
- (7) 入力信号は、5V, 1mA で 0 から 180° まで位相制御できる。
- (8) 出力回路は飽和変圧器の励磁電流以内では、ほとんど イン ピーダンス がなく、ザート 短絡形として使用できるため、SCR V₁₀₀ 上昇を期待することができる。

4.2 トランジスタリレーを用いたゲート回路

トランジスタ 無接点 リレー の幾種類かを組み合わせることによって、SCR の ゲート 回路を作ることができる。トランジスタ の無接点 リレー制御方式においては、図 4.9 のような回路が基本要素(3 入力 NOR 要素 $(3\,\mathrm{N})$)となり、その他基本的ないくつかの標準要素がある。これらのうち、ゲート 回路を作る上に必要な要素について下記に略述する。

3N, 2N, LN, TN; いずれも NOR 要素で、いずれかの入力 端子に on 入力が入れば出力は off、すべての入力が off のとき 状波電流になる.

PA; このあとに パワートランジスタ を接続し、出力増幅器として使用する. パワートランジスタは I 段の場合と 2 段の場合があり、15~100W の出力が出せる.

これらの要素を用いた SCR の ゲート 回路の構成およびその各 部の波形は図 4.12 (a) および (b) に示すとおりになる.

すなわち, 交流を全波整流した後, 3N, TN および TD-1 に よってきょ歯状波を発生させ、これに制御入力を重畳すること によって、2N、3N2、PN および LN で構成された シュミットトリ ガを動作させる、シュミットトリガの出力はさらにPAと1段または 2 段の パワートランジスタ を通じて増幅し、この出力が結合変圧器を 通じて SCR を pick up する。この場合、入力電流を変化させ ることによって、出力パルスの立ち上り位相が変化し、SCR を位 相制御できることは、図 4,12 (b) より明了であろう. 一方きょ 歯状波回路の入力は、SCR の端子電圧より変圧器を通じてとっ ている. したがって、SCR が点弧して導通すると、きょ歯状波 回路の入力が ぜっ になり、3N1、3N2 off, LN off となり パワート ランジスタ は不導通になる。すなわち、SCR の制御入力は、SCR が pick up するとなくなる. したがって制御入力は、点弧する のに必要にして十分なパルス 波形となり、確実に シリコン 制御整 流器を点弧させるとともに、制御極での熱損失は少なく、安全な 動作が保証される.

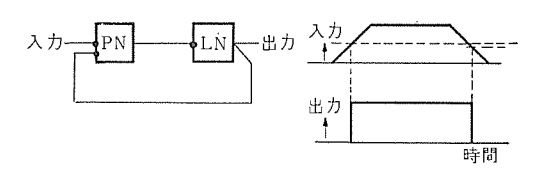


図 4.10 パルス 成形回路 Fig. 4.10 Puls forming circuit.

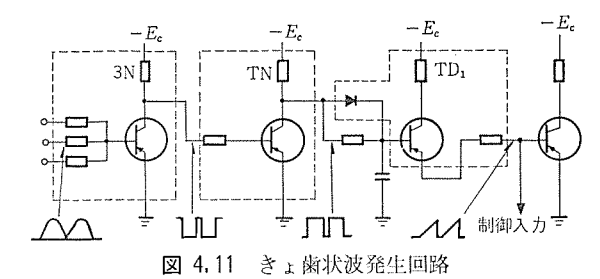


Fig. 4.11 Saw-tooth generating circuit.

図 4.13 に示すような,主回路構成で負荷 R_L =50 α ,入力電圧 V=50 VAC とした場合の図 4.12 α)に示す点弧回路の制御電流 I_0 と負荷電流 I_L に対する温度特性は,図 4.14 に表わされる.また,上記の回路において,入力電圧 V=50 V を $\pm 10\%$ 変化させた場合の制御電流 I_c と負荷電流 I_L の関係は図 4.15 に示すとおりである.

4.3 シュミットトリガを用いたゲート回路

この回路は、交流電源と同期して、周期的に変化する電圧 $e_{(t)}$ と基準電圧 E_s とを比較し、双方が一致した位相 α で パルス を発生するようにしてある。 $e_{(t)}$ に制御電圧 E_c によって変化する パイアス 電圧 E_b を重畳すれば、当然 E_c の大きさによって パルス 立上り位相 α は変化する.

その パルス を一たん増幅して微分し、さらにその微分 パルス で双 安定 マルチパイブレータ を駆動し、 角形履歴鉄心の出力 トランス を通して ゲートパルス を出すようにしてある.

したがって、この回路では 180° 位相の異なる二つの f-1パルスが 1 組となって発生するようになっている.

周期的に変化する電圧 $e_{(t)}$ としては、図 4.17 に示すように、正弦波を y_{x} ナダイオード により π イ 形波とし、さらに時定数が電源

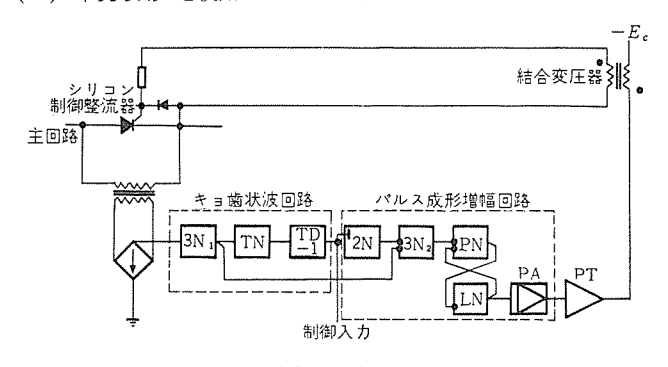
周波の半周期に比べて大きい値をもつ CR 放電回路によって一種のきょ歯状波とした ものを用いている.

この回路はつぎのような性能と特長をもっている.

- (1) パルス立上り位相 α を $0^{\circ}\sim180^{\circ}$ の広 範囲にわたって制御できる. 必要によ っては 200° 以上まで移相することが 可能である.
- (2) CR 放電回路の時定数が、比較的長いので、制御位相範囲内では、ほぼ直線的に放電され、したがって制御入力 E_c に対する パルス 立上り位相 α の直線性はすぐれている・
- (3) 制御入力の リップル の影響 を受けないように、入力と並列に コンデンサ が入っている. ただし、この コンデンサ が制御の応答度を悪化させることはない.
- (4) 制御入力が急に変化しても、半 サイ

クル 以内の時間遅れで追ずいし、正常に動作する.

- (5) ヴェナダイオード で CR 放電回路の放電開始初期電圧を一定 にしているので、電源電圧の変動によって、パルス の立上り 位相 α が変動することはない. (電源電圧 $90\sim110\,\mathrm{V}$ の変動に対し、 α の変化なし)
- (6) トランシスタ を使用しているが,温度変化による影響は,あま



(a) 回路図

3N, 入力

TD-1, 出力

TD-1, 出力

N(アス電流

2N, 出力

LN, 出力

「LN, 出力

「ケートパルス

(b) 各部の波形

図 4.12 ゲート 回路 Fig. 4.12 Gate circuit.

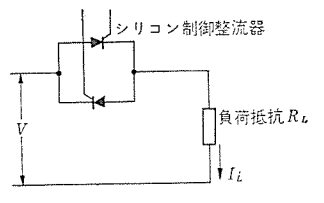


図 4.13 交流電圧制御回路 Fig. 4.13 A.C. voltage control circuit.

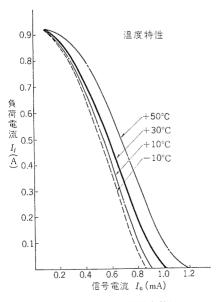


図 4.14 ゲート 回路温度特性 Fig. 4.14 Temperature characteristic of gate circuit.

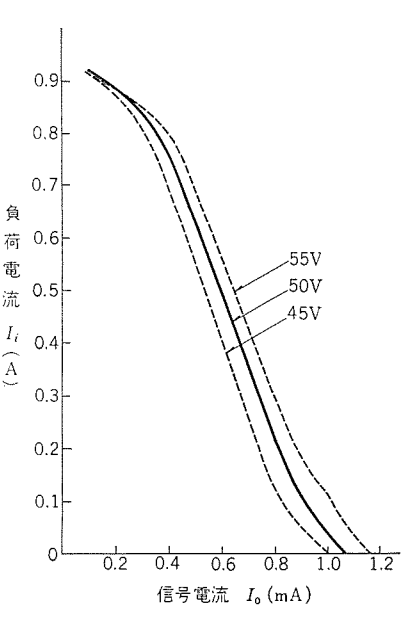


図 4.15 ゲート 回路電圧特性 Fig. 4.15 Voltage characteristic of gate circuit.

三菱電機技報・Vol. 37・No. 5・1963

26 (636)

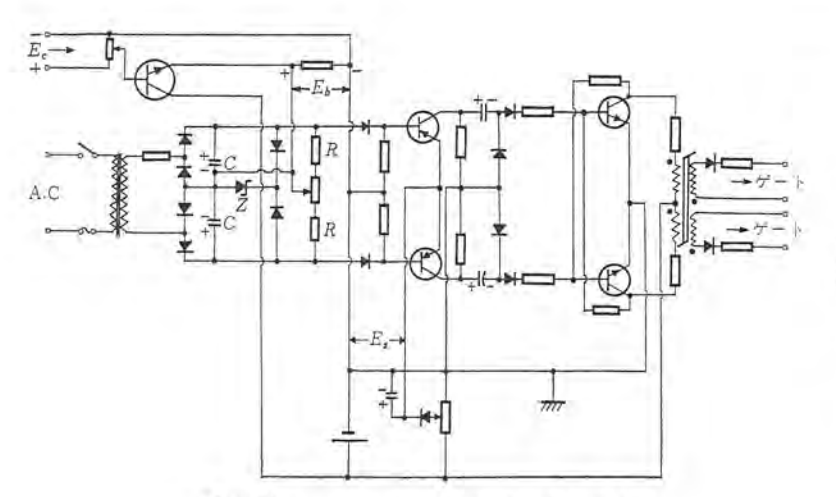


図 4.16 シュミットトリガー を用いた ゲート 回路 Fig. 4.16 Gate circuit using schmit trigger,

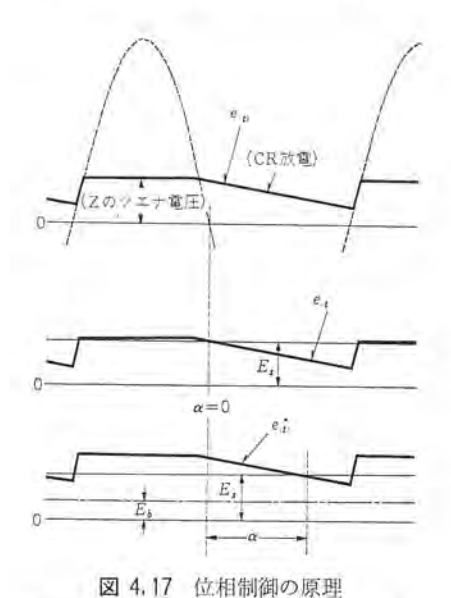


Fig. 4.17 Principle of phase control.

り受けない。すなわち、パルスの位相は二つの電圧を比較して双方の大きさが一致した瞬間の位相であるが、基準電圧 E_s および CR 放電回路の放電開始電圧は、いずれも ツェナダイオード により温度の影響をあまりうけないようにしてあり、また制御入力 E_c を パイアス 電圧 E_b に変える入力回路の トランジスタ は エミッタフオロア としてあるので、コレクタシャ 断電流の影

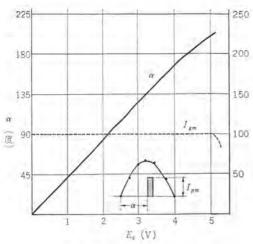


図 4.18 ザート 回路の特性 Fig. 4.18 Characteristic of gate circuit.

響を除いてある。したがって長時間使用しても温度上昇による ドリフト はほとんどない。

- (7) ゲート に与える パルス の出力の発生は、双安定の マルチバイブ レータ によったが、十分正帰還がかかっているので、パルス の 立ち上りはするどく、したがって、SCR の ゲート 特性に パラ ツキ があっても、正確に点弧し、点弧位相の パラツキ は起こら ない。
 - (8) 出力 パルス の セン 頭値を決定するのは、マルチバイブレータ の負荷抵抗と直流電圧のみであるから、位相によって、その値は変化しない。
 - 図 4.18 に本回路の出力特性を示す。

5. む す び

SCR は、特性に パラツキ の大きなこと、温度依存性の大きなこと、雑音を受けやすいこと、ゲート 許容電力の小さいことなど、制御する上からは決して好ましいとはいえない諸種の条件があり、SCR の ゲート 回路は、これらの問題をすべて解決した上、制御性能の上から好ましい特性を有しなければならない。しかもまた、それだけではなくある種の ゲート 回路は、SCR の brake over voltage を改善させうることも明確となった。これらを考慮して幾つかの ゲート 回路を試作したうち、3 種類の ゲート 回路の実例を上記に示したわけであるが、これらはいずれも実用に供され、上記のすべての条件を満足し、すぐれた制御特性を示している。

(昭 38-2-21 受付)

SCR 応 用 回 路 の 基 礎

岡 久 雄*

Basic Problems of SCR Application Circuits

Research Laboratory

Hisao OKA

Despite of a relatively short history since the development, the SCR is promised of hopeful future in the application to various field of engineering. However, there are several technical problems common to all the cases in the designing of the SCR application so as to take its full advantage and to make the device highly reliable. This paper describes this problems beginning with general matters for consideration and touching on the selection of ratings with special emphasis on the caution not to overrun the maximum ratings in operation. Finally the design on the basic circuits is fully dealt with to pave the way to the sound development of the devices.

1. まえがき

SCR は開発されてよりなお日が浅いが、制御素子として数多くのすぐれた性能を有しているので、今後きわめて広い分野にわたって応用されるようになるであろう。

SCR は他の制御素子と比較してつぎのような特長がある.

- (1) トランジスタ や ダイオード と同様に 固体電子素子であるため、小形軽量で取り扱いも比較的簡単である。とくに機能的に類似している サイラトロン と比較して ヒラメント の予備加熱が不要である。また消耗部分がないので長寿命と高い信頼度が期待できる。しかし小形軽量であることは逆に熱容量の小さいことを意味し、したがって過負荷耐量は小さい。
- (2) 順電圧降下が小さく変換効率が大きい. SCR の順電圧降下は $1\sim1.5\,\mathrm{V}$ で $9<-5\,\mathrm{P}_{0}>$ のそれの約 1/10 である.
- (3) λ スイッチング 時間が早く、 $20\sim30~\rm kc$ 程度までの高周波領域で使用できる。
- (4) わずかの ゲート 入力で点弧することができ、しかも一旦点弧した後は陽極電流が外部条件によって ゼロ (正確には最少保持電流以下)とならない限り導通状態を持続するので制御利得はパワートランジスタ や磁気増幅器に比べはるかに高い. しかし トランジスタのように自分自身で陽極電流を シャ 断する能力がない.
- (5) 信頼度については他の半導体素子と同様に動作状態や使用条件によって左右されるが、製造技術の進歩と最適使用条件の確立によって普通の シリコン 整流素子なみとなろう. 現在 シリコン 整流素子の故障率は種別、容量および使用個所により異なるが、通常動作状態でおおむね 1,000 時間あたり 0.1~0.01% である.
- (6) 素子定格として電流容量は現在 $100\,\mathrm{A}$ 程度までであるが近い将来 $200\,\mathrm{A}$ 以上のものが実用化されるであろう。また定格電圧の上限も現在の $400\,\mathrm{V}$ より将来は $1,000\,\mathrm{V}$ 以上のもが出現するであろう。したがって 1 個の SCR で数 kW の電力を制御しうるようになるわけで,パワートランジスタ の追ずいを許さない。

2. SCR 使用上の一般的注意事項

SCR を使用するに際しては、前節に述べた特長を十分に認識しながらつぎの点に注意しなければならない。

(1) 一般に半導体素子ではその動作条件を規定するのに最大定格を用いているが、最大定格とは特性および寿命を保証するために制限せられる最大値である。したがって与えられた使用条件に

- 対し SCR の選定を行なうときは カタログ に示されている最大定格の意義を十分に理解し、いかなる場合もその最大定格を越えずに安全に動作するようにしなければならない。とくに電源開閉時の過渡電圧や突流などにも十分考慮をはらわねばならない。
- (2) SCR では接合部温度が上昇し 100° C を越えると, -0.00 オーバ 電圧が次第に低下し, $140\sim160^{\circ}$ C でほとんど順方向阻止作用を喪失するので,普通の -0.00 整流素子の場合より使用限界温度はかなり低いことに留意して冷却を考えること。 図 -0.00 電圧の温度特性の例を示す.

使用中の SCR の接合部温度を直接測ることはできないが、接合部における電圧損失と熱抵抗より推定できる.

- (3) 高周波電源で使用するときまたは $4 \circ n / 9$ に使用するときは、その $2 \circ n / 2$ 時間とくに $2 \circ n / 2$ 時間が問題となるが、この $2 \circ n / 2$ 時間は負荷電流や温度によってはもとより負荷電流切り終り時の逆電圧(あるいは逆電流)に影響されることに注意を要する。図 $2 \circ n / 2$ を $2 \circ$
- (4) 一つの整流枝に複数個の SCR を直列または並列に接続する必要がある場合は、普通の整流素子の場合と同様に電圧または電流の分担を均等化するとともに、すべての SCR が同時に点弧するようにしなければならない。この方法に関しては後に詳述す

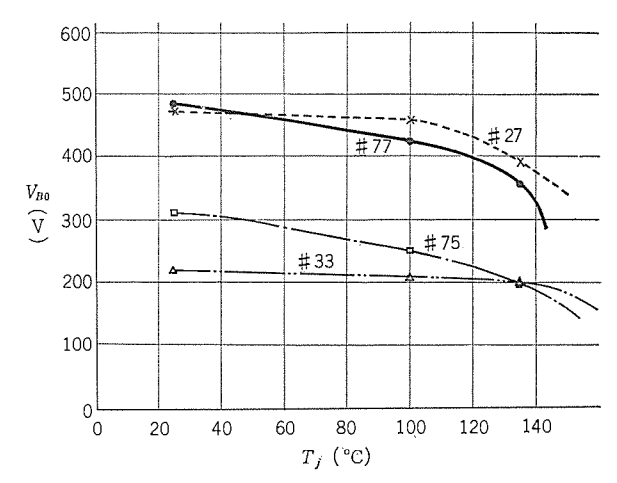


図 2.1 接合部温度と ブレークオーバ 電圧 Fig. 2.1 Breakover voltage vs. junction temperature.

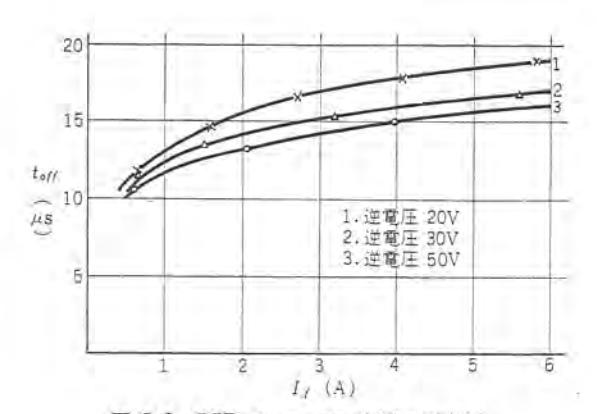


図 2.2 SCR の ターンオフ 時間の測定例 (逆電圧 パラメータ)

Fig. 2.2 An example of turn-off time of SCR. (with the parameter of reverse voltage)

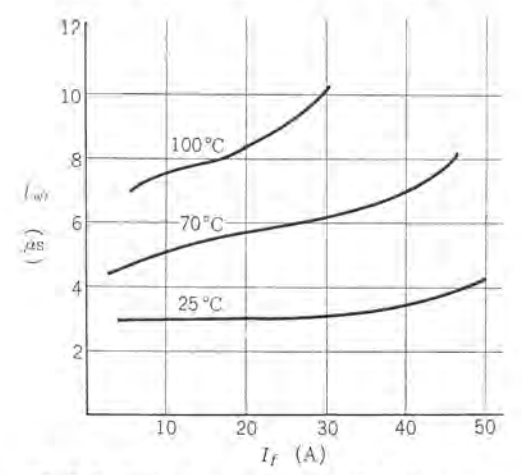


図 2.3 SCR の ターンオフ 時間 (温度 パラメータ) Fig. 2.3 Turn-off time of SCR. (with the parameter of temperature)

3.

(5) SCR を ゲート に入力を与えずに ブルークオーバ させる場合, とくにその ブルークオーバ 電圧が高くなると接合部の一部に局部過 熱が生じ特性を劣化させることがある。この限界電圧を PFV と して指定してある場合があるが、そうでない場合も ゲート 入力な しに 500~600 V 以上の高電圧で ブレークオーバ させないこと。

(6) 逆電圧印加中に正方向の ザート 電流を与えると、陰極から 陽極に向う逆電流が増え、接合部が余分に加熱されるから、でき るだけ逆電圧印加中に ゲート 電流を流さないようにすること.

(7) SCR はわずかな ゲート 入力によってきわめて短時間に点弧 しうるが、その反面、誘導雑音によって誤動作する可能性も大きい、SCR 回路では、電位または電流が急激に変化する。 たとえば リレーコイル の励磁とか、コンデンサ の低抵抗充放電などが雑音の原因となりやすい。 雑音を防ぐには ゲート 回路に他よりの磁束を鎖交させないよう SCR を ゲート 電源間は同軸導線、密により合わせた2本の導線あるいは帰線が接地の シールド線を用いるとか、SCR のごく近くでゲート 陰極間にコンデンサをつなぐとか、さらにゲート 陰極間にコンデンサをつなぐとか、さらにゲート 陰極間にわずかの負 バイアス 電圧 (5 V 以下) がかかるようにすればよい。

3. 定格電圧,電流の選定

SCR の カタロク に表示されている セン 頭逆電圧は、ゲート 開放 の状態で陽陰極間に毎 サイクル 印加してさしつかえない逆電圧のセン 頭値であり、通常正弦波電圧のセン 頭値で表わす。また過渡

to 頭逆電圧は連続印加ではなく過渡的に印加される電圧の to 頭値である. 普通連続 to 頭逆電圧の2割増しにしてある.

さらに to 頭順阻止電圧は ゲート 開放の場合の陽陰極間に連続 印加してよい順電圧の to 頭値であり、この値は to 頭逆電圧と 等しくなっている。

これらの値はいずれも動作温度 $(-30\sim100^{\circ}\text{C})$ 内で保証されている。 (ただし接合部の温度)

したがって SCR を使用する装置の回路常数が定められている 場合は、使用電圧に合わせ常に安全に動作しうる定格の SCR を 選ぶが、回路常数が未決定の場合は使用しやすい SCR の定格に 合わせ使用電圧を選べばよい。

ここで問題となるのは過渡電圧に対する扱いで、それが定常電 圧の何倍となるかを予想することはかなり困難である。すなわち 回路に発生する過渡電圧は分布確率的であり、しかもその分布や 大きさは回路方式、使用機器により異なるからである。これらの過 渡電圧は適当な サージ 電圧吸収装置によってかなり軽減される(1)。

サージ 電圧吸収装置をどの程度強化するか、また過渡電圧の許 容限界をどこまでにとどめるかは、その装置に対し信頼性と経済 性といずれに重点をおくかによって決められる。

誘導性負荷を急速に シャ 断する場合を除き、通常。過渡電圧の セン 頭値は定常電圧 セン 頭値のおおむね 2~3 倍までと 予想してさしつかえない。

一般に半導体素子の電流定格はPN接合部の最高到達温度によって決められる。 前述のように SCR は普通の シリコン 整流素子より許容動作温度が低く 100°C までである。

使用温度限界が定められている場合、許容電流は素子内の損失 と冷却条件によって決められることは普通の整流素子と同じであ り、定常状態では次の式を満足しなければならない.

$$T_j < T_{j \text{ max}} \cdots (3.1)$$

ここで T_j は接合部温度、 $T_{j \max}$ はその最高許容限界である.

 T_j は直接測定できないが、 $f_{-\lambda}$ 温度 T_c または周囲温度 T_a を知ることによりつぎの関係より推定できる。

$$T_{j} = T_{c} + (R_{T})_{jc}P$$

$$= T_{a} + (R_{T})_{ja}P$$

$$(R_{T})_{ja} = (R_{T})_{jc} + (R_{T})_{ca} \qquad (3.2)$$

ただし $(R_T)_{je}$, $(R_T)_{ja}$ および $(R_T)_{ea}$ はそれぞれ接合部と ケース 間,接合部と周囲外気間および ケース と周囲外気間の定常熱抵抗 $(^{\circ}C,W)$ である。また P は接合部損失 (W) である。

接合部 f- χ 間の熱抵抗 $(R_T)_{T^c}$ は普通 f χ 0.0 に示されている。 f- χ 0.0 周囲外気間の熱抵抗 $(R_T)_{C^c}$ は冷却 f- χ 0.0 形状,寸法,冷却風速などにより異なるが、あらかじめ計算または実測によりその値を求めることができる。

接合部損失 Pには順電流導通期間の損失 P_1 、逆電圧印加期間の損失 P_2 、スイッチング 期間の損失 P_3 などがあるが、高周波で使用するとき以外はほとんど P_1 のみと考えてさしつかえない。いま順方向電流、電圧をそれぞれ i_f 、 v_f とし、1 サイクル 中の順電流導通期間を θ_1 から θ_2 までとすると定常的な平均損失 P_1 は

$$P_1 = \frac{1}{2\pi} \int_{\theta_1}^{\theta_2} i_f \cdot v_f d\theta \quad \cdots \qquad (3.4)$$

となる。 v_f は i_f の関数として素子の特性曲線に示されているが 近似的に $v_f = V_{f0} + ki_f$ とすると

$$P_1 = \frac{1}{2\pi} \left[k \int_{\theta_1}^{\theta_2} i_f^2 d\theta + V_{f0} \int_{\theta_1}^{\theta_2} i_f d\theta \right] \quad \cdots \quad (3.5)$$

SCR 応用回路の基礎・岡

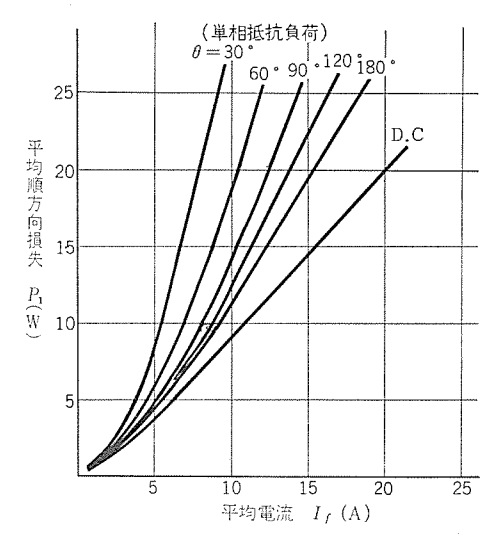


図 3.1 CR-20A 形 SCR の平均順方向損失 Fig. 3.1 Average forward power dissipation of CR-20A type SCR.

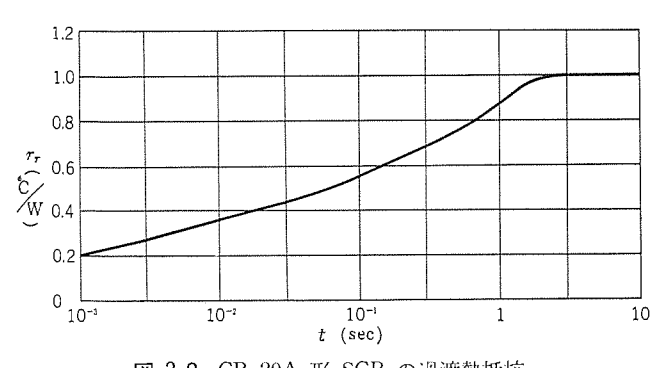


図 3.2 CR-20A 形 SCR の過渡熱抵抗 Fig. 3.2 Transient thermal resistance of CR-20A type SCR.

となり、損失 P_1 は i_f の実効値で生ずる成分と、平均値で生ずる成分とに分けられる。同一平均電流に対しその実効値は 1 周期内の導通期間 (θ_2 - θ_1) が小さいほど大きくなるから、損失 P_1 は 当然導通期間 (あるいは通流角) の短かいほど大となる。 たとえば、三菱 CR-20A について抵抗負荷時の通流角と損失との関係は図 3.1 のようになる。

損失 Pと熱抵抗 R_T がわかれば各種条件下における許容電流値がわかる。しかし以上はすべてて定常状態の場合であり、過渡的な過電流や不規則な負荷に対しては適用しない。そのような場合は定常熱抵抗の代わりに過渡熱抵抗 $r_T(t)$ を用いつぎの計算を行なわねばならない。ただし温度的定常状態を原点とする($t \le 0$ で $T_j = T_{j0}$)。

$$T_{j}(t) = T_{j0} + \int_{0}^{t} r_{T}(t-\tau) \frac{dP(\tau)}{d\tau} d\tau$$
(3.6)

ここで τ は積分常数である. $r_T(t)$ は t<0 で P=0, $t\geq0$ で P=1 (W) の場合の接合部温度の上昇分 $T_{j0}-T_j$ を時間 t の関数として示した値で CR-20A についての代表的な値は図 3.2 に示すとおりである.

式 (3.6) の $P(\tau)$ が常に積分可能な形とは限らないので近似的には図3.3のように $P(\tau)$ をいくつかの区分に分れた階段状波形に近似し、次式によって時刻 t の T_j を求めることができる.

$$T_j(t) = T_{j0} + \sum_{n=0}^{\infty} r_T(t - \tau_{n-1}) \{P_n - P_{n-1}\} \cdots (3.7)$$

ただし m は時刻 t=0 より t=t までに含まれる P の段数である.

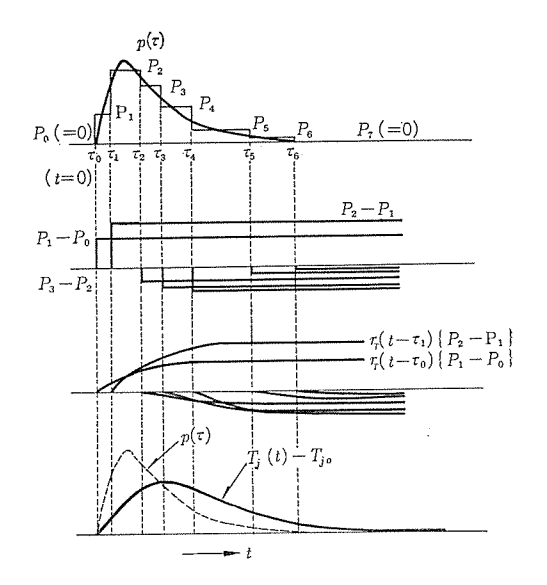


図 3.3 接合部温度の近似的な求め方

Fig. 3.3 Approximation method for junction temperature.

このようにして予想される負荷に対する接合部の最高到達温度を推定し、それが SCR 素子の許容温度以内になければ、さらに電流定格の大きい素子を使用するか、並列接続を考えなければならない。

装置の信頼度を高めるためには、接合部の推定最高温度を許容 限界より幾分低目に選ぶのが賢明である.

4. ゲート回路の設計

SCR の点弧特性は温度によって、たとえば図 4.1 に示すように変化するし、また個々の素子による パラッキ もある. したがって SCR を常に確実に点弧させるためには、温度変化や個々の パラッキ を考慮して 190 に示されている最高点弧 ゲート 電流、電圧以上の電流、電圧を SCR の ゲート 陰極間に与え得る ゲート 回路を設計しなければならない.

一方 f-h に加える電力には最高値が定められており、さらに f-h 電流および電圧にもそれぞれその tv 頭に制限があることも考慮しなければならない.

SCR の点弧に要するいわゆる ターンオン 時間はせいぜい数 μ s であるから、ゲートへの入力はきわめて短時間の パルス でよい. しかし SCR の使用個所によっては負荷に逆起電力があったり、誘導

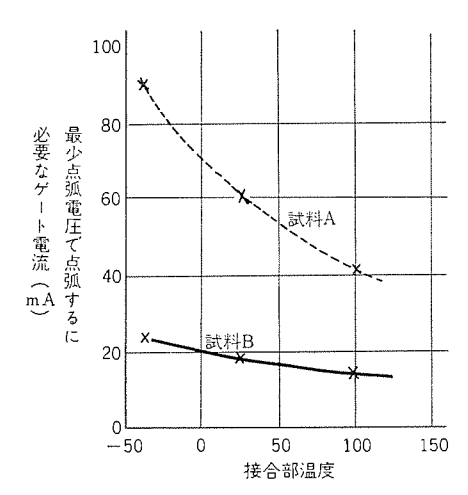


図 4.1 最少点弧電圧で点弧するための ゲート 電流 Fig. 4.1 Gate current required to turn on at minimun firing voltage.

負荷のため陽極電流の立ち上りがおそい場合があるので、ゲート信 号の幅をあまりせまくできない場合もある.

SCR の制御内容によってその ゲート 回路の機能は異なり、入 力が与えられるたびごとにずい時 ゲートパルス を発生するもの、交 流電源に同期して ゲートパルス を発生するもの、さらに後者におい てその同期 パルス の位相を広範囲に移動しうるものなどがある.

したがって SCR の ゲート 回路は制御の内容や要求によって各 種のものが考えられている。ゲート 回路の詳細な解説や具体例に ついては本号の他のところに掲載してあるのでそこを参照された 6 .(2)

SCR では サイラトロッ のように格子負 パイアス を必要としない のが一つの特長であるが、SCR の ゲート 陰極間にわずかの負バイ アス を印加すると 2章の (7) で述べたように雑音による誤動作を 防止するとともに、ゲート 開放の場合に比べ陽極陰極間の ブレークオ - パ電圧およびその温度依存性を向上させることがあるので、場 合によりゲート負バイアスをかけた方がよいこともある。

5. ターンオフ回路の設計

SCR は一旦陽極陰極間が導通状態に入ると、その陽極電流が 最少保持電流以下にならない限り、みずから陽極電流をシャ断す る能力がない.

交流を電源とする回路では毎 サイクル 正の サイクル で ゲート 入力 が与えられて点弧し、負のサイクルで逆電圧により ターンオフ する. したがって SCR の負荷電流をシャ断させるのには、ゲート入力 を停止するか、ゲートパルスの位相を正の半 サイクル より遅らせれば こと足りる.

しかし SCR を流れる直流電流を強制的に シャ 断させるために は、なんらかの回路的な手段により一旦その電流を打ち消してや る必要がある。最近ではゲートにシャ断しようとする陽極電流よ りかなり小さい負の パルス 電流を与える (すなわち パルス 電流を ゲート より引き出す) ことにより ターンオフ させることのできる ゲ -トタ-ンオフ形 SCR も出現しているが(3), 現在の一般の SCR に はそのような機能はない。

SCR の陽極電流を回路的に シャ 断させるための ターシオフ 回路 は機能的に見て二つに大別できる。一つは シャ 断しようとする陽 極電流以上の逆方向電流を流しうる逆電圧を SCR の陽陰極間に 加える回路であり、他の一つは SCR の陽極電流を、それによる SCR の順電圧降下より低い電圧降下で移すことのできる側路を 形成させる回路である. これらを原理的に示せばそれぞれ図 5.1 の (a), (b) のようになる。ただしいずれの場合も S₁ を閉じれ ば SCR の電流はシャ 断されるが、負荷には電流が流れ続けるの で、負荷電流を シャ 断するためには再び SI を開かなければなら ない、S₁ を閉じてより再び S₁ を開くまでの時間が、その SCR の ターンオフ 時間より十分長ければ SCR は順方向の阻止作用を回 復しているので、再びゲートより入力が与えられない限り再点弧 することはない、とくに同図5.1(b) の場合のように SCR に逆 電圧が印加されない場合はターンオフ時間が長くなるので Siの閉 接時間は十分長くとる必要がある.

図 5.1(a) の場合, スイッチ S₁ を閉じた後の負荷電流を自然に シャ 断させるには、図5.2(a) のように コンデンサ C を用いること ができる. ただし コンデンサ の容量は同図 5.2(b) に示すように再 起電圧の上昇速度に関係するため負荷 インピーダンス によって決め られる. 今負荷を純抵抗としその大きさを R とすると

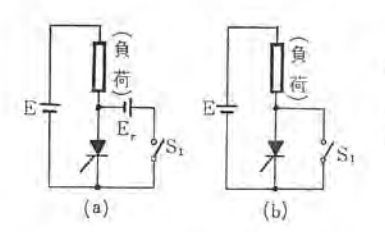


図 5.1 SCR ターンオフ 回 路の基本形 Fig. 5, 1 Basic forms

of SCR turn off circuit.

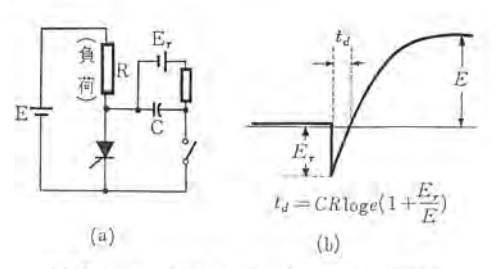


図 5.2 コンデッサ を用いる ターンわつ 回路 Fig. 5.2 Turn-off circuit using capacitor.

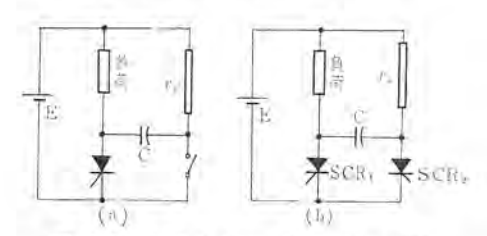


図 5.3 並列 インバータ 形 ターンオフ 回路 Fig. 5. 3 Parallel inverter type turn off circuit.

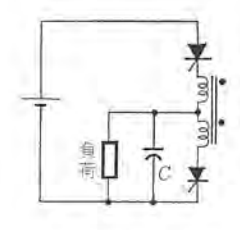


図 5.4 中性点付 リアクトル による ターン わ回路

Fig. 5.4 Turn-off circuit with a reactor having a center tap.

 $C > t_{aff} \{R \cdot \log e (1 + E_r E)\}$ (5.1) でなければならない。ここで togg は SCR の ターンオフ 時間である。 AL E=E, toll

$$C > t_{off}/0.7R$$
(5, 2)

図5.3(a) は図5.2の Erの代わりに電源電圧 E を利用するも のであり、同図 5.3(b) は スイッチ S₁ の代わりに他の SCR を使 用する例である。この回路はまさに抵抗形並列 インバータ と同じ構 成である.

ここで充電抵抗 r。を十分大きくし SCR。に最終的に流れ続け ようとする続流を SCR₂ の保持電流以下になるようにすれば、 SCR」が ターンオフ し、さらに コンデンサ C の逆充電が完了すれば SCR₂ も自然に ターンわ し、まったくもとの状態にもどる.

並列 インバータ と同様に直列 インバータ と同じ構成の ターンオフ 回路 も当然できる。すなわち図5.4に示すようにSCR1をターンオンさ せて負荷に電流を流すが、そのとき同時に C に電源電圧 E に等 しい電圧を充電しておく、SCR2を点弧させれば、L1にかかる電 圧の誘導によって L_2 に電圧が誘起され、それが SCR_1 にとって 逆電圧となるため SCR1 は ターンオフ される.

6. 直並列接続

SCR を大容量装置に使用する場合は、当然普通の シリコン 整流 器の場合と同様に素子の直列または並列接続が必要となる.

しかし前述のように SCR の場合は、普通の整流素子の場合の

ように単に逆電圧や負荷電流を均等化すること以上に, 直列また は並列につながれたすべての素子をいっせいに点弧させなければ ならないという問題がある.

6.1 SCR の直列接続

$$r = \frac{PIV}{k \cdot I_l}$$
 (6.1)

ここで I_l は h30 $\rlap/$ 0 に示されている最大漏れ電流(平均値)である(一般に順, 逆両方向で同じ値が示されている). k は常数で $30\sim50$ を用いてよい.

つぎに直列につながれた SCR をいっせいに点弧させるために は各 SCR の f-ト にいっせいに f-ト 信号を与えるか、いずれ か 1 個の SCR をまず点弧させ、つぎにその点弧現象を利用して つぎつぎにいわば将棋倒し的に点弧させればよい。

前者の場合は各絶縁された直列数だけの二次巻線を有し、一次側の容量は1個の f-h 信号を出す場合の直列数倍の f-h 回路を必要とする.

後者の場合は1個の f-h 信号で事足り、かつ f-h 回路の配線が比較的容易となる利点がある。その一例を $\mathbf{2}$ 6.1 に示す。

図 6.1 では陽極分圧器と f-h 分圧器とを設け, f-h 回路よりの力は単に最下段の SCR にだけ加えるようにしてある. f-h 入力がない場合,陽極分圧器, f-h 分圧器がそれぞれ完全に均等に分圧されておればすべての SCR の f-h はその SCR の陰極と同電位にある. もし最下段の SCR の f-h に入力が与えられそれが点弧すると,その上の段の SCR の陰極電位が下がり f-h 分圧器の $3 \cup f \cup f$ の放電々流が f-h 入力として加えられる. このように順次上段の SCR の f-h に f ルス 電流を与えることにより,直列にあるすべての SCR がほとんどいっせいに点弧させられる.

この回路では点弧位相 α により C_g の放電々流が異なるので、

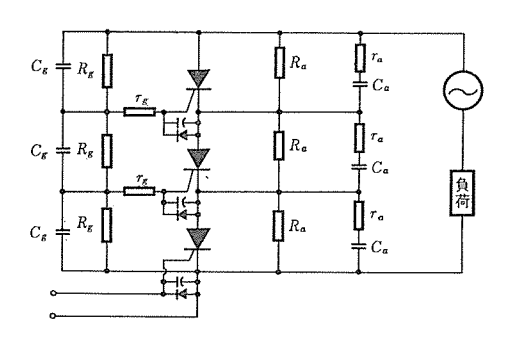


図 6.1 SCR の直列接続 Fig. 6.1 Series connection of SCR.

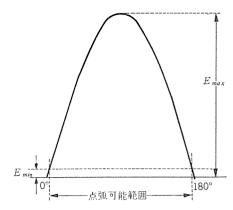


図 6.2 点弧角 α の制御可能範囲 Fig. 6.2 Controllable region of firing angle.

ゲート 分圧器 C_o , R_o および ゲート 抵抗 r_o の選定は, SCR の ゲート 特性と最大定格とより決めなければならない.

今 SCR の最大安全 fート 電流を I_{g1} とし、また直列につながれた n 個の SCR 全体にかかる順電圧の波高値を E_{\max} とすると

$$\frac{E_{\max}(\mathsf{V})}{n \cdot r_g(\Omega)} \leq I_g(\mathsf{A}) \qquad (6.2)$$

でなければならない.

式(6.2)より r_q を選ぶとこの回路で点弧しうる最小順電圧 E_{\min} は、SCR の最大必要 f_- ト 電流を I_{g2} として

$$E_{\min} = E_{\max} \frac{I_{\sigma 2}}{I_{\sigma 1}} \qquad (6.3)$$

となる。一般に $I_{\sigma 2}$ は $I_{\sigma 1}$ に比べはるかに小さいから,正弦波電圧の場合の点弧角 α は図 6.2 のようにほとんど半 $rac{1}{2}$ サイクル 全体にわたって制御できる。

 r_o が決まれば C_o は SCR の $g_{- \upsilon t \upsilon}$ 時間 t_{on} の大きさにより つぎのように決められる.

$$C_{g}(f) \ge \frac{t_{gn} \text{ (sec)}}{r_{g} (\Omega)}$$
 (6.4)

 R_g の選定は、それが C_g の インピーダンス より十分小さくなるようにすればよいが、商用周波電源の場合は実験結果より

$$R_{q}\left(\Omega\right) < \frac{10^{-3}}{C_{q}\left(f\right)} \qquad (6.5)$$

で R_g を選べば動作は安定である.

直列にある n 個の R_g および C_g の値を厳密に一致させることは不可能であり,数 % の パラッキ があるのが普通である.このパラッキ があると, 直列にある SCR のうち順電圧がかかったとき,ゲート 入力が与えられないのに ゲート 電位が陰極電位より高くなり誤動作するおそれがある.これを避けるためには最下段の R_g を他より故意に 20% 程度小さくすればよい.この方式による点弧は直列 SCR が数個まで可能であり,全体の点弧時間はわずか $1\sim5~\mu s$ 以内である.

6.2 SCR の並列接続

整流素子の場合は負荷電流の分担を均等にするため、並列につなぐ各素子は互いに順特性のそろったものとしそのままつなぐか、順電圧の パラッキ を強制的に補正するための差動 リアクトル を用いる(4).

いずれの場合も、完全に平衡させることは不可能であり、SCR の定格電流は多少下げて使用する必要がある.

SCR の場合はさらにいっせいに点弧させる必要がある.

図6.3 にその一方法を示すが、ここでは ゲート 回路よりの入力 を抵抗分割によって各 SCR の ゲート に均等に ゲート 電流が流れ

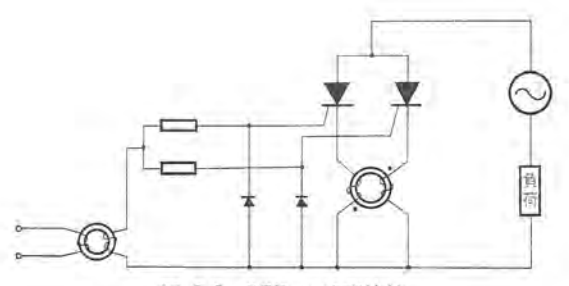


図 6.3 SCR の並列接続 Fig, 6.3 Parallel connection of SCR.

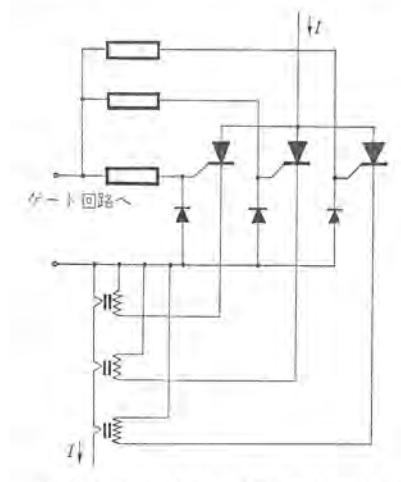


図 6.4 2 個以上の SCR の並列接続 Fig. 6.4 Parallel connection of more than two SCRs.

るようにし、さらに陰極側に差動 リアクトル を設け、いずれか一方の SCR が点弧すれば、差動 リアクトル の巻線に誘起される電圧により、残りの SCR の陽極電圧を高めるとともにその ゲート により大きな入力を与え、ほとんど時間の遅れなく強制的に点弧させるようにしてある。

SCR が双方とも点弧した後差動 リアクトル は、普通の整流素子の場合と同様に負荷電流の平衡作用を行なう.

単に並列にある SCR の同時点弧をのみ目的とするならば、差動 リアクトル はきわめて小さくてよい。 たとえば、いま点弧直前に SCR の陽陰極間にかかる最大電圧を $E_{\rm max}$ (V)、SCR の ターンオン 時間を t_{on} (sec) とすると差動 リアクトル の有効断面積 $A_{\rm c}$ (${\rm m}^2$)、コイル 巻数 N はつぎの式より求められる。

 $N \cdot A_c \cdot \Delta B = E_{\text{max}} \cdot t_{on}$ (6.6)

ただし AB (W_{b} , m^{2}) は毎 94 91 の鉄心磁束の有効変化量である。またもし点弧後の電流平衡をも行なわせるとすれば式 (6.6) の左辺に $AV \cdot T_{o}/2$ を加えねばならない。AV は順電圧降下の最大差 (V), T_{c} は電流の通流期間 (\sec) である。

2 個以上並列にする場合は、互いに隣合う 2 個の SCR 電流を 図 6.3 に示したような差動 y_{PO} トルで平衡させるか、図 6.4 のように、並列数 N に等しい巻数比の差動 y_{PO} トルを用いればよい。

7. t: t T

最近は、価格の低下、信頼度の向上、さらに単位容量の増大に よって、SCR の応用もいよいよ本格化してきた。

SCR はほとんどあらゆる制御分野に応用できると言っても過言でないが、機能的に見てつぎの二つに大別できる。

- (1) 交流を電源とした場合の SCR の点弧位相の制御による出力電圧、電流の制御.
- (2) 直流を電源とした場合の SCR の スイーッチンング 作用を利用する電圧,電流の切換または開閉.
- (1) では出力を可変とすること、定量制御を行なうこと、さら に開閉作用をもあわせ行なうことができるので、その応用範囲は 広く、動力、温度、光などの制御電源として実施例も多い。
- (2) の代表的なものは、直流静止 スイーッチ と イコハーッタ であろう. とくに SCR イコハーッタ は従来の格子付放電管による イコハーッタ では 実施困難であった新しい分野を開拓しつつある。無停電装置、無 整流子電動機などもその一例である。

本稿ではこれら広範囲な SCR の応用にあたって比較的共通な 基礎的事項について述べたが、なんらかの参考になれば幸いであ る. 具体的な実施例についてはこの特筆号の他の報告を参照され たい.

(昭 38-2-21 受付)

参考文献

- (1) 岡: 「三菱電機」33, 1164 (昭34年)
- (2) 岡, 細野: 「三菱電機技報」37, 本特筆号(昭38年)
- (3) J. M. Goldey, I. M. Mackintosh and I. M. Ross: Solid-State Electoronics, 3, 119 (1961)
- (4) 岡: 「三菱電機」33,96(昭34年)

SCRの交流電動機制御への応用

吉田太郎*

Application of Silicon Controlled Rectifiers to Induction Motors

Nagoya Works Tarō YOSHIDA

In the reactor control of induction motors, the SCR is employed for amplifiers of the automatic control system in place of magnetic ones, improving the control characteristics a great deal and making it more practical. When applied to the control of the rope way or to the remote position control of the ingot buggy in the steel industry, the device is well commented by users. Mitsubishi has developed a SCR control system for induction motors through a direct connecting of SCR to the more circuit, it has been proved that this system has much quicker response and smaller speed variation than the connectional reactor control, resulting in for better control characteristics. Moreover, connected in series or parallel to secondary resistors of induction motors, the SCR serves to provide more effective operation characteristics depending on applications as a secondary circuit control system.

1. まえがき

誘導電動機は構造が簡単で堅ろうであることと、安価であることから広く実用されている。しかし同期速度付近の一定速度で運転する特性を本質的にもっているので、任意の速度で運転する必要のある場合は、以前は直流電動機を使用する場合が多かった.

ところがこれに対して、可飽和 リアクトル、磁気増幅器の開発と 自動制御技術の発達によって、誘導電動機を使用しても、直流電 動機に匹敵するような任意の速度制御ができるようになり、各種 の用途に実用されるようになった.とはいうものの応答速度が十 分でないとか、調整がめんどうであるとか、問題点がないわけで はなかった.

一方トランジスタ 制御の発達と、SCR の出現によって、これらの欠陥を補い、リアクトル 制御をより一層実用的なものに発展させることができた。 すなわち、トランジスタ ならびに SCR を自動制御系に応用した リアクトル 制御は特性、調整の面で非常に改善され、より実用的なものとなり従来よりさらに広い分野にも応用されるようになった。

もう一歩進んだ段階として主回路の可飽和 リァクトル の代わりに SCR を使用する方式についても試作し、所期の目的を達し、応 答速度などを問題とする用途に対してはとくに効果のあることが 確認された. そして、この方式のものもいよいよ実用できる段階 に入ろうとしている. ここではこれらのものについて、その概要 を紹介しよう.

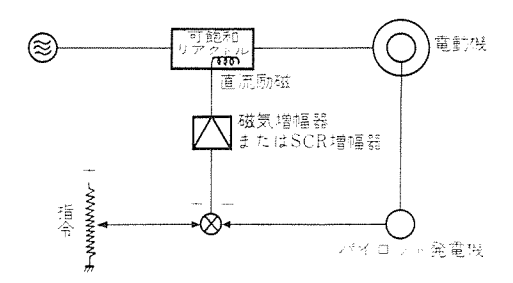
2. SCR 増幅式リアクトル制御

2.1 磁気増幅器式と SCR 式との比較

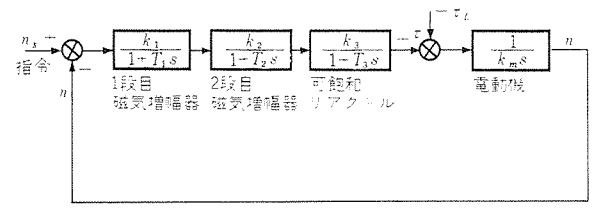
従来、リアクトル 制御は可飽和 リアクトル を主回路にそう入し、電動機電圧を制御する一方、その制御入力は1段または2段増幅の磁気増幅器を使用していた。この場合定常状態の速度制御特性は普通の用途に対しては十分であったが、応答速度あるいは過渡状態の特性には問題がないわけではなかった。すなわち応答速度が遅いとか、オーバシュートがあるとか、出力が振動的に変化するとか、そのため自動制御系の調整がめんどうであるというような問題が

あった.

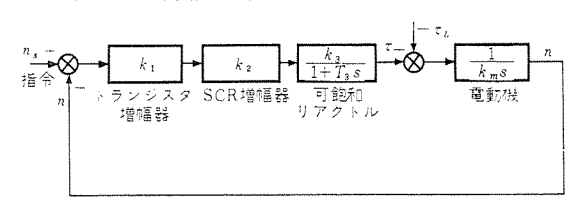
これらの不具合な問題は、磁気増幅器の時間遅れに基づく自動制御 ルーラ の高次の遅れ、あるいは磁気増幅器の制御特性の不安定性 (制御入力に リップルが入るとか 2 段増幅の場合の相互干渉などによる特性曲線の偏移現象) に基づく非線形要素によるものであると考えられる. リアクトル 制御においては自動制御することによって始めて一定速度で運転することができるもので、この自動制御系のうち制御系を不安定にする要素があることは、想像以上に調整をむずかしくするもので、また結果として、十分良好な制御特性を得ることが困難となるのである. これに対して、SCRは磁気増幅器のもっているこれらの欠陥を、本質的にもっていな



(a) リアクトル制御の原理図



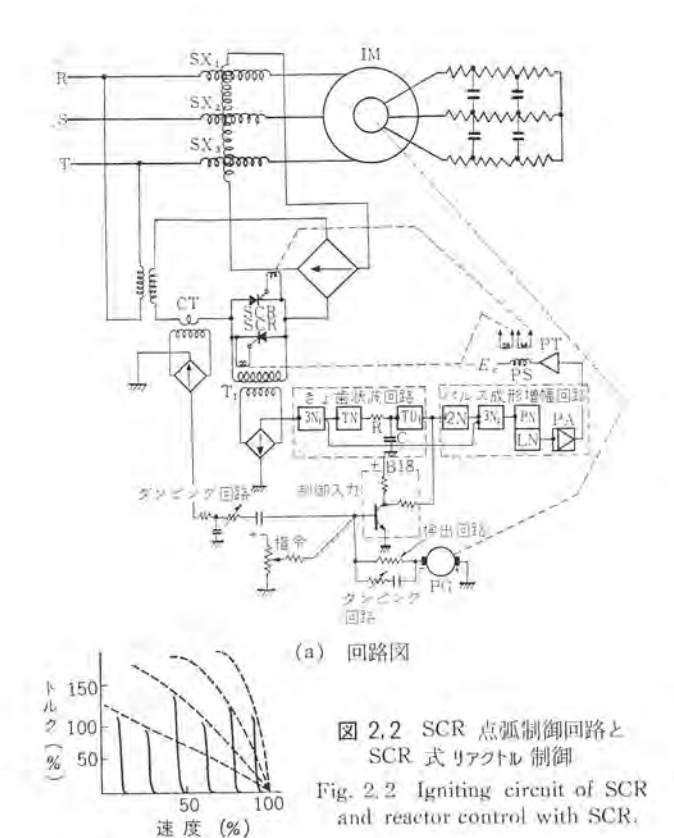
(b) 磁気増幡器式 リアクトル 制御の ブロック 線図



(c) SCR 式 リアクトル 制御の ブロック 線図 図 2.1 リアクトル 制御の ブロック 線図

Fig. 2.1 Block diagram of reactor control.

三菱電機技報・Vol. 37・No. 5・1963



いので、SCR の応用は リアクトル 制御にとって、この上ない福音であった。図 2.1 (a) は リアクトル 制御の原理図で、誘導電動機の一次側(二次側に入れる場合もある) に可飽和 リアクトル をそう入し、その直流励磁電流を磁気増幅器あるいは SCR によって、増減して電動機トルク を制御する。一方電動機には パイロット 発電機 PG を設け、速度を検出し、これを負帰還することによって、一定速度に運転するよう自動制御する。

(b) 速度ートルク特性

図2.1 (b) は増幅器に磁気増幅器を2段用いた場合の自動制御系の ブロック 線図で、四次の遅れをもっている。したがって自動制御系は本質的に不安定となり、安定化するためには、ダンピング回路を必要とし、しかもその ゲイン、時定数ともかなりの値が必要で、そのため過渡的な応答が遅くなる。

これに対し図 2.1 (c) は増幅器にトランジスタ, SCR を使用した場合の ブロック 線図で、遅れは可飽和 リアクトル と電動機のみとなり、全体として二次遅れとなる。したがってこれは基本的には安定な制御系で、より安定な制御特性をもつよう、すなわち非振動的な過渡特性になるよう、ダンピング 回路を付加している。この場合、安定回路の ゲイン、時定数は前者程の値を必要としないので、応答時間はそれほど、ぎせいにならなくてすむ。またこのことは自動制御系の ルーブゲイン を大きくとることもできるので、定常状態における負荷変化に対する速度変動率を減少させることもできる。

また磁気増幅器の場合は鉄心による特性のパラッキがあり、ときには跳躍するもの、増幅特性の線形でないもの、Fリフトしやすいものなど、製作するたびに違ったものが出てくる。そのため自動制御系の調整は一義的に行なうことができず、多分に経験と感を必要とするものである。

これに対して SCR の場合はそれ自身の増幅率あるいは、動作 必要入力の大きさなどに パラッキ はあるが、自動制御系の伝達特

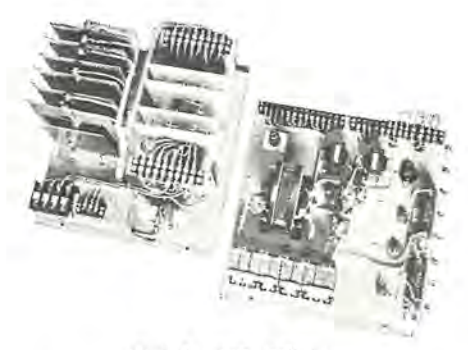


図 2,3 SCR 制御盤 Fig. 2.3 SCR control panel unit.

性としては常に一定であるため、自動制御系の調整は非常に容易 になった。これらのことは実用上大きな利益である。

2.2 SCR 点弧制御回路と SCR 式リアクトル制御の特性

SCR の点弧制御回路は種々の方法があるが、これについては 別の項で紹介されているので、ここでは現在リアクトル 制御に実用 しているものについて簡単に説明しよう。

この方式のものは トランジスタ 無接点 リレー(トランジスタサイパック) の 標準 エレメント を組合せたもので、もし一部が故障した場合などの 故障個所の発見ならびに取り換えなどが容易で、とくに始めての 実用に対しては安心して使用してもらうことができる。

図 2.2 は SCR の点弧制御回路ならびに リアクトル 制御回路を示 す. 指令入力とパイロット発電機 PG からの検出入力の差をトランジス 9 の前段増幅器 B18 に入れ、その出力をきょ歯状波と組合せて、 トランジスタ NOR 2N に入れ、その後増幅、整形してパワートランジスタ PT を作動させ、パルストラシス を経て SCR を点弧させる. きょ歯状 波は逆並列に接続した SCR の両端から変圧器 T₁ を通じて、そ の起動信号をもらう。すなわち、SCR の両端に電圧が印加され るとトランジスタ NOR 3N, が導通し、次のトランジスタ NOR TN が不導通となり、R を通じて C に充電が始まり、その C の出力 がエミッタフオロアーの トランジスタ TD-1 を通じて増幅されて、きょ歯 状波電流をトランジスタ NOR 2N に供給する. そしてここで前段 増幅器 B18 からの制御入力と組合わされる. SCR が導通すると、 変圧器 Ti からの入力は0となり、きょ歯状波は0、パワートランジス タは不導通となり SCR への ゲート 入力はなくなる。 すなわち, SCR の ゲート 入力は パルス 状になるので十分大きな値にするこ とができ確実に SCR を点弧させることができる。 SCR の出力 により可飽和リアクトルを励磁し、その結果可変電圧が電動機に供 給され、速度制御が行なわれる.

前段増幅器 B18 への制御入力と出力との関係は、制御入力の $0.1\,\mathrm{mA}$ 位の変化によって SCR の点弧位相が 180 度推移するように調整しているが、この場合 パロット 発電機からの検出入力を $100\,\%$ 速度において、 $3\sim5\,\mathrm{mA}$ ぐらいにすれば、自動制御系の ν -ブゲインは $30\sim50$ となり、負荷 $0\sim100\%$ の変化に対する速度 変動率が $2\sim3.3\%$ という結果になる。また速度制御範囲は同期速度に対し $0\sim90\%$ ぐらいまで連続的に制御することができる。

ダンピング 回路を設けることにより、振動項のない安定した過渡 特性が得られ、応答時間も 1~3sec ぐらいで普通の用途に対し て、十分実用的な特性といえる.

2.3 応用例

可飽和 リアクトル の接続方式は大別して3種類(三相非可逆式,可逆式,移相式)あり、用途に応じて適した方式のものを選んで

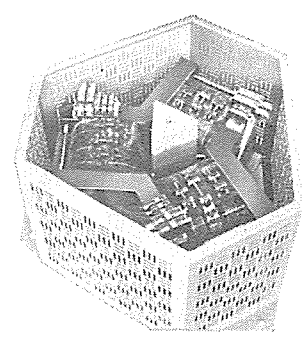


図 2.4 三相可飽和 リアクトル Fig. 2.4 Three phase saturable reactor.

いる.

(a) 三相非可逆式

これは最も一般的なもので、電動機の一次側、あるいは二次側に三相の可飽和 リアクトルを接続する. 可飽和 リアクトルは容量の大きいもの(数十kVA以上)では単相のものを3台使用するが、数 kVA程度のものは三相可飽和 リアクトルを使用している.

工作機械を始め、ゴム工業、

製紙など一般工業用に広く実用されており、電動機容量では数 kW~数百 kW のものが製作されている.

この方式のものは近い将来、後述の主回路 SCR 制御のものに置き換えられることになるであろうが、現状ではまだ経済的観点から、この方式のものが採用されている.

二次抵抗は速度に応動して電磁接触器で短絡し,抵抗値を増減する場合と,二次リアクトルを使用する場合とがあり,用途に応じて使い分けられる.

(b) 可逆式

負荷が正から負まで広範囲に変化する場合,あるいは急減速を必要とする場合には駆動 トルク から制動 トルク まで連続的に変化する必要がある。これらの場合は図2.5に示すように可飽和 リアクトル を4台あるいは5台を可逆式に接続し、おのおのの組の可飽和リアクトル をそれぞれの SCR 増幅器で制御するようにしている。

用途としては、 α -プウェイ、水平引込み クレーン など、負荷が正 負に変化するものに応用され、 α -プウェイ においては SCR 式に 切換えてから 1年半ぐらいの間に下田を始め、別府、岩国、小豆 島、城崎など 5 個所に納入した。(電動機容量は 55 kW \sim 350 kW)

また製鉄用の インゴットバギー の遠隔自動運転装置に、自動位置決め制御として、 $75\,\mathrm{kW} \times 2$ の電動機の ポジション 制御を行なったが、自動制御系を トランジスタ、SCR 制御にしたことによって、応答の速い、安定な制御特性が得られ、その結果総合特性が期待以上のすぐれたものになり、直流の $9-\mathrm{F} \cup 7+\mathrm{F}$ 制御に匹敵するものであることが実証された.

インゴットバギー の重量 85 t, 全速 180 m/min, 停止精度 500 mm の仕様に対し、試験結果では 50 m へだたった場合、30 秒以内 に誤差 100 mm 以下の精度で定位置停止ができた.

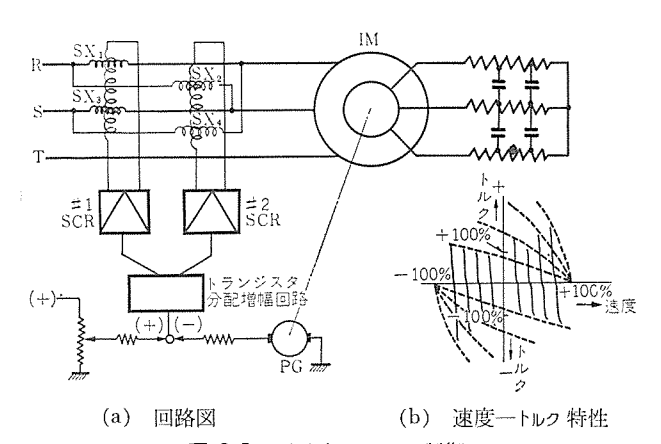


図 2.5 可逆式 リアクトル 制御 Fig. 2.5 Reversible reactor control.

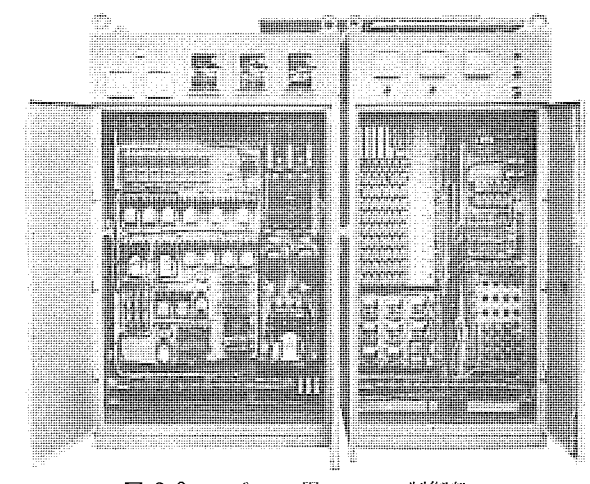
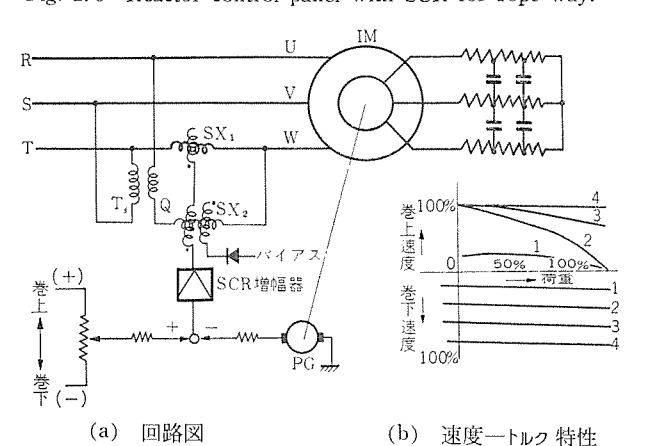


図 2.6 ロージウェイ 用 リアクトル 制御盤 Fig. 2.6 Reactor control panel with SCR for rope way.



SV Q

(c) 電圧ベクトル図

図 2.7 移相式 リアクトル 制御 Fig. 2.7 Phase shifting reactor control.

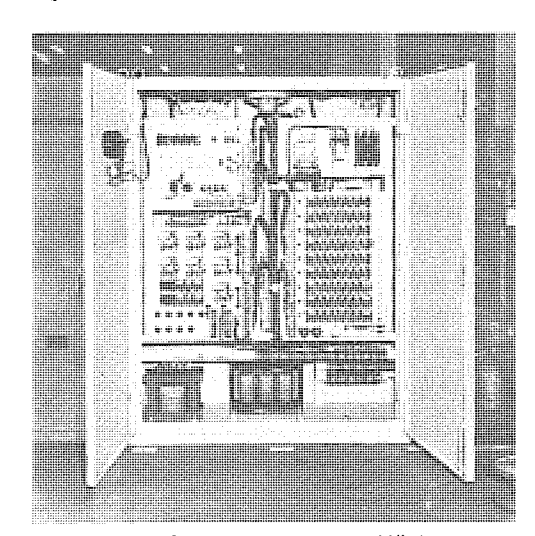


図 2.8 クレーン 用 リアクトル 制御盤 Fig. 2.8 Reactor control panel with SCR for crane.

(c) 移相式

2 台の可飽和 リrクトル SX_1 , SX_2 と 1 台の移相変圧器 T_s を使用して,不平衡電圧を印加することにより,電動機 Fルク を $-20\sim+100\%$ ぐらいまで変化させて速度制御するもので,クレーン の巻上電動機のように負荷がほとんど 1 方向(巻下げ方向)のみで,所要動作として主として低速運転を必要とする用途に適している・クレーン の巻上げ電動機の場合,とくに要望されることは

わずかの量だけ巻上げ、巻下げを行なうことができることで、そのためには自動制御系の応答速度の速いことが望まれる。従来磁気増幅器式のものではこの点よく問題になったが、SCR 式に改良してからは非常に改善され、また手動による トルク 調整器とか、トランジスタ 式微速検出 リレー などの併用とあいまって、非常に実用的な制御装置に生まれ変わることができた。

SCR 式になってから $20\sim75\,\mathrm{kW}$ まで約 30 台納入し,精密位置合わせを必要とする組立工場などにも好評をもって実用されている

3. 誘導電動機の主回路 SCR 制御

SCR は順方向に電圧が印加されているとき、ゲート 極に入力が はいると導通し、ゲート入力がなくなっても導通状態を保つ. その 後電流が ゼロ 点を通過すると不導通となり、次に ゲート 入力が入 るまで不導通の状態を保つ. これが SCR の基本動作であるから, 半 サイクル ごと ゼロ 点を通過する交流回路の制御には最も適したも のである. 数百 V, 20 A 程度の SCR はすでにかなり実用され ており、数百 V, 100 A の SCR も製作できるようになってきた 現段階では、数 kVA~数十 kVA の交流主回路の制御は、いよ いよ実用できる状態になりつつあるといえよう. したがって誘導 電動機の主回路に SCR をそう入し、直接主回路電流を制御して 速度制御する方式も実用できるわけで、大容量のもの、あるいは 可逆式のものなどにおいては、現在ではまだ値段的ならびに技術 的安全性などの面から、可飽和リアクトルに比べて実用的ではない が, 比較的小容量のもの (数 kW~10 kW 程度) で応答速度の速 いことがとくに有効な用途に対しては、より実用的なものとして 応用することができるようになってきた. 動作原理は可飽和 リア クトル による自動制御の場合と同じであるが、応答速度がはるか に速く、それにともなって自動制御特性がさらに安定になり、ま

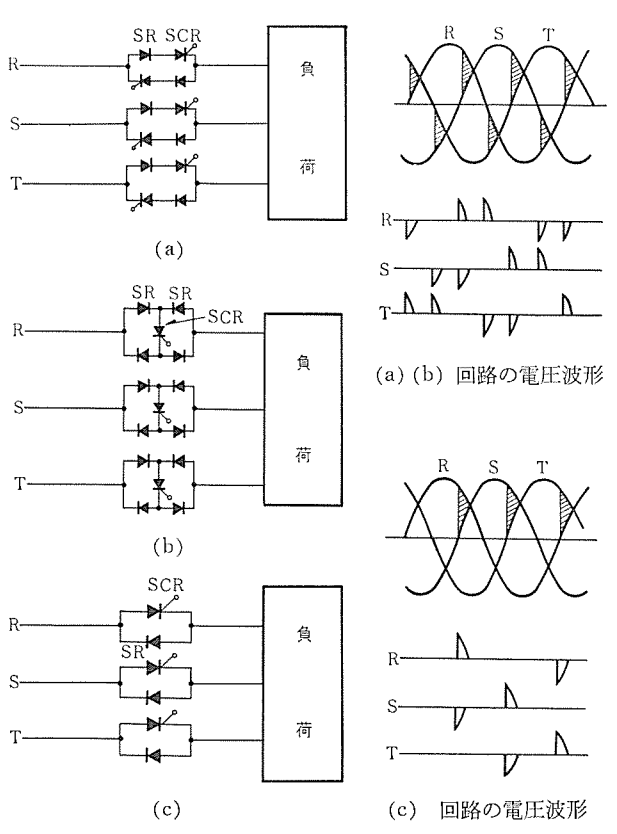


図 3.1 三相 SCR 制御回路と電圧波形 Fig. 3.1 SCR control circuit for three phase load.

たその結果速度変動率もより少なくすることができるようになった。 た、その概要を紹介しよう。

3.1 三相回路の SCR 制御

三相回路における SCR の接続方式は図3.1に示すように3種類の回路が考えられる.

- (a) は SCR を逆並列にしたもので、最も基本的な接続方式である。 SCR に直列に接続した シリコン 整流器は SCR の逆耐圧保護用のもので、このようにすれば SCR の逆耐圧 P_{IV} は低くてもよく、順方向阻止電圧 V_{BO} のみ常時起りうる過電圧に耐えるものを使用することができ、経済的である。
- (b) は ダイオードブリッジ の直流側に SCR を接続する方式で (a) に比べると ダイオード は 2 倍必要であるが、SCR は半分でよい、現状のように SCR が ダイオードに比べて、かなり高い間は (b) の方が経済的である。しかし将来は恐らく (a) の方が経済的になるであろう。(a) (b) の場合の制御は各相の SCR を順次点弧させるが、常に2組の SCR を同時に点弧させる必要がある。このことは電流には出口と入口が必要だということを意味するが、このことを発展させると三相回路においては各相からの電流の入口のみを制御して、出口は自由にしてやってもよいことになる。
- (c)図はこのような考え方により考え出された接続方式で、(a) (b) のものに比べてはるかに経済的である。すなわち (a) のものに比べて SCR、ダイオード とも半分でよいし、点弧回路も各相を順次1組ずつ点弧させればよく単純である。電流波形は図に示すように異なっているが、誘導電動機の非可逆制御を目的とする場合にはこのことはとくに問題にならない。(c) 図の場合の点弧制御

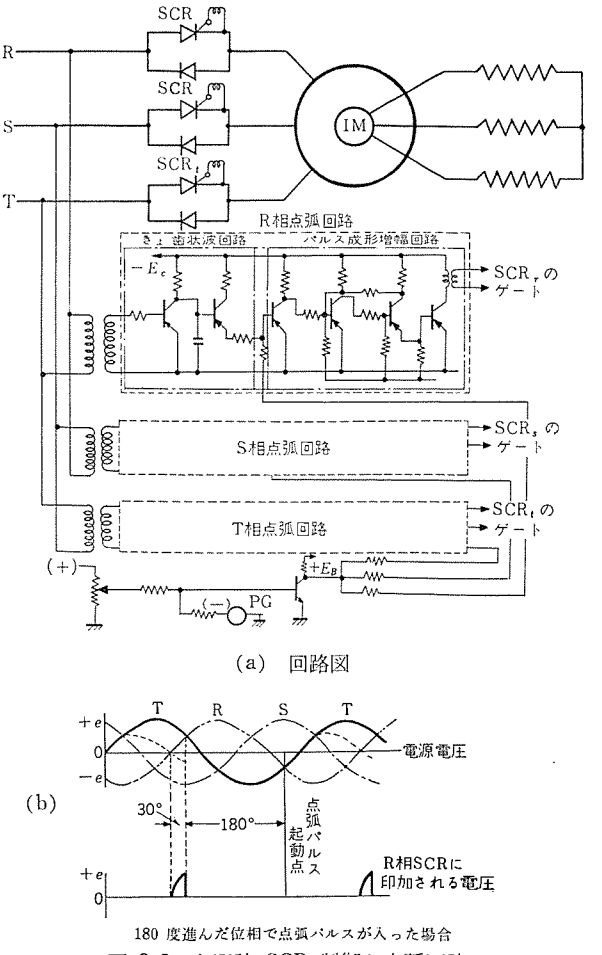


図 3.2 主回路 SCR 制御と点弧回路 Fig. 3.2 SCR control of main circuit and its igniting circuit.

回路は前述の点弧回路を発展させればできる。たとえば図3.2に示すように R-T 相間の電圧によりきょ歯状を起動させ、制御入力と組合せて点弧 パルス を出すようにすれば、点弧 パルス は位相角で $0\sim108$ ° 推移して出力が制御できる。しかし、この場合は図に示すように 180 度位相角を進めてもなお 30 度ぐらい不導通の状態が残る結果となる。

図3.3はこの点を改良した点弧回路で、負荷に並列に星状抵抗 負荷を接続し、その中性点と SCR の電源側との間の電圧 R-O を検出し、この電圧が + になってからきょ歯状波を起動させる ようにすれば、抵抗負荷の場合は $0\sim210$ 度まで点弧位相角が推 移し、SCR の出力は $0\sim100\%$ まで制御される。また、このよ うにすればからなず SCR に順方向電圧が印加されているときの み点弧パルスが出ることになり、負荷力率が変化した場合でも確実 に点弧でき、安定した制御ができる。

3.2 誘導電動機の SCR 制御の特性

SCR の負荷として誘導電動機を接続し、これにパイロット 発電機 PG を設け速度を検出し、指令入力と比較してトランジスタへ入れる。そこで増幅し、その出力を各相のきょ歯状波と組合せてそれぞれの点弧制御回路へ入れ、各相の SCR の点弧位相を制御し、電動機端子に印加される電圧を増減する。そして電動機速度は指令入力の速度に常に等しくなるよう自動制御される。

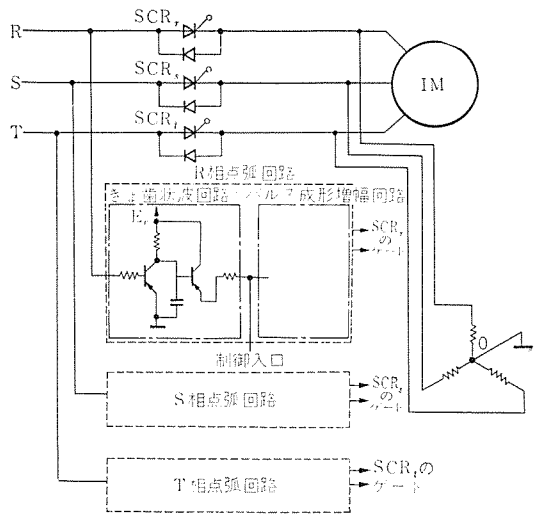
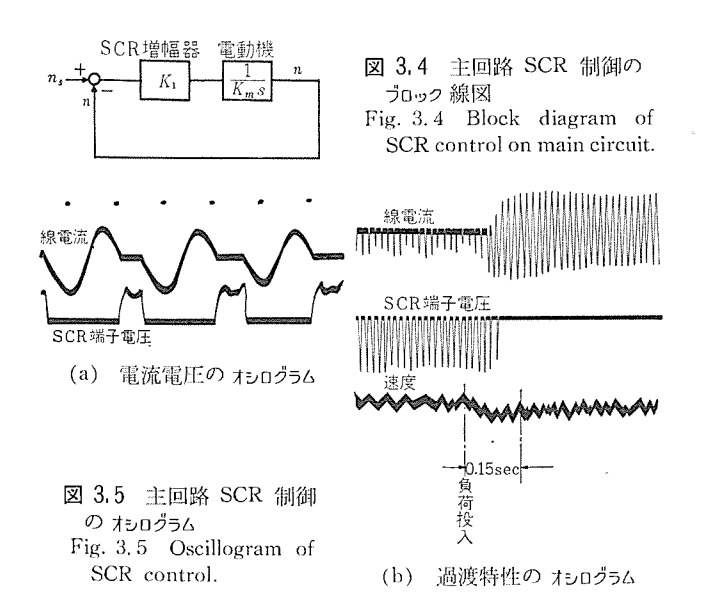


図 3,3 主回路 SCR 制御の改良した点弧回路 Fig. 3.3 Improved ignition circuit by SCR control of main circuit.



この場合の自動制御等の ブロック線図は図 3.4 のようで、時間 遅れはほとんど電動機の慣性だけで一次遅れである。したがって 本質的に安定で、安定回路は補助的に寄生振動を取除く程度であ る。また安定度が高いため、自動制御系の ゲイン は十分高くとれ るので、負荷変化に対する速度は非常に少なくすることができる。 試験結果では速度変動率は 0.5% 以下に容易になっている。また 応答速度は非常に速く、オシロ に示すように負荷が急激に変化し た場合 0.15 秒以内に応答しており、速度計では変化はほとんど 認められない。

3.3 二次回路の SCR 制御

誘導電動機の制御は等価的には SCR は一次回路でも二次回路でも同じことで、むしろ二次回路に入れたほうが電流が少なくてよいとか、速度制御範囲の狭いものでは SCR の耐圧も低いものでよいとか、使用目的、仕様によっては二次回路に入れた場合かなり経済的なものが得られる等のことがある。また電源より侵入するサージ電圧に対する保護も電動機の巻線インピーダンスがあるため、比較的容易になるという利点もある。二次回路の電圧・周波数はスペリに比例して変化するので、SCR の点弧制御回路は特別の考慮をしなければならない。すなわち速度が高くなるにしたがい二次周波数は低くなり、SCR の点弧は時間的におそくする必要がある。(電気位相角を等しくするために)図 3.6 はこの点を考慮した点弧回路で、きょ歯状波の波形を二次電圧に比例して変化させるようにしている。すなわち、きょ歯状波を作るコンデンサへの充電電流を二次電圧の値に比例させるようにしているので、たとえば速度が高くなってスペリが減少したときは、それに比例

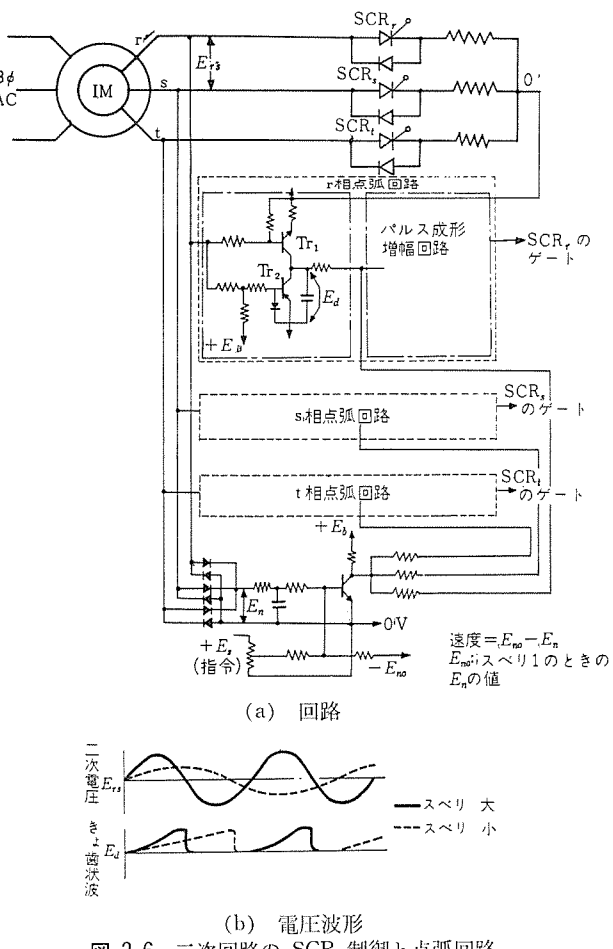
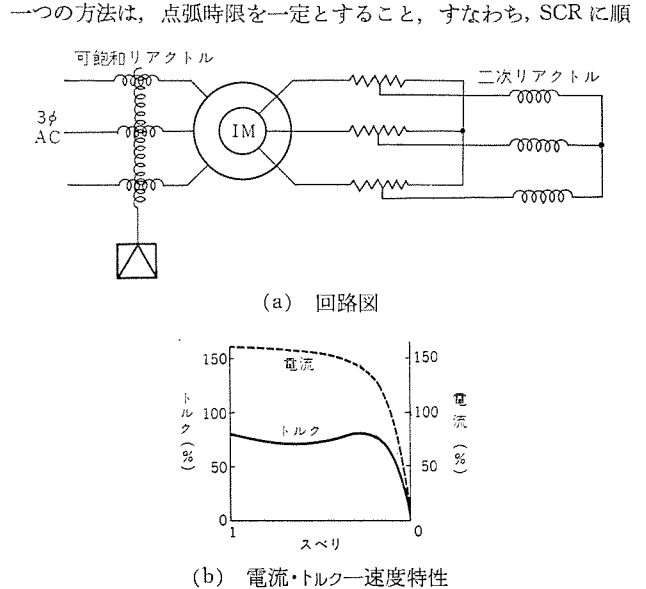


図 3.6 二次回路の SCR 制御と点弧回路 Fig. 3.6 SCR control of secondary circuit and its firing circuit.

して二次電圧も下がり、コンデンサへの充電電流は減少する. したがって、きょ歯状波の立上がりはゆるやかになり、点 弧は時間的に遅れ、電気位相角としては制御入力に対して 大体一定となる。また SCR に順方向の電圧が印加したと きから トランジスタ Tr2 を不導にし、きょ歯状波を起動させ るようにしている。これらの結果安定な点弧制御が可能と なった。速度の検出はパイロット 発電機によってもよいが、 二次電圧は スペリ に比例するので、この電圧によって速度 を検出してもよい。自動制御系としての制御特性は前項の SCR を一次回路に入れた場合と同様で、非常にすぐれた 特性をもっている。

3.4 二次抵抗の SCR 制御

誘導電動機の リァクトル 制御ならびに一次あるいは二次 SCR 制御において広範囲の速度制御をするためには、速度 に応じて二次抵抗を制御する必要がある. すなわち スペリ の大きい低速においては二次抵抗を大きくし、スペリの小さ い高速においては二次抵抗を小さくする必要がある. 最も 簡便な方法として普通,電磁接触器を 3~5 個設け,速度 に応じて適宜短絡するようにしている. しかし非常にひん ぱんに速度を変化させるような用途においては、電磁接触 器を開閉することは適切でない場合もある. このような場 合には図3.7に示すように二次リアクトルを抵抗に並列に接 続することにより、同様の効果を出すことができる。 すな わち二次回路は周波数が速度に比例して下がるので、二次 回路の リアクトル の インピーダンス は低速において大きく, 高速 になるにしたがい小さくなる. その結果速度に逆比例して二次抵 抗が減少する効果が出る. この リアクトル を可飽和 リアクトル に置き 換えることもできるが、さらに発展させて図 3.8 に示すように SCR と ダイオードで制御することもできる. この場合は二次 リァクト

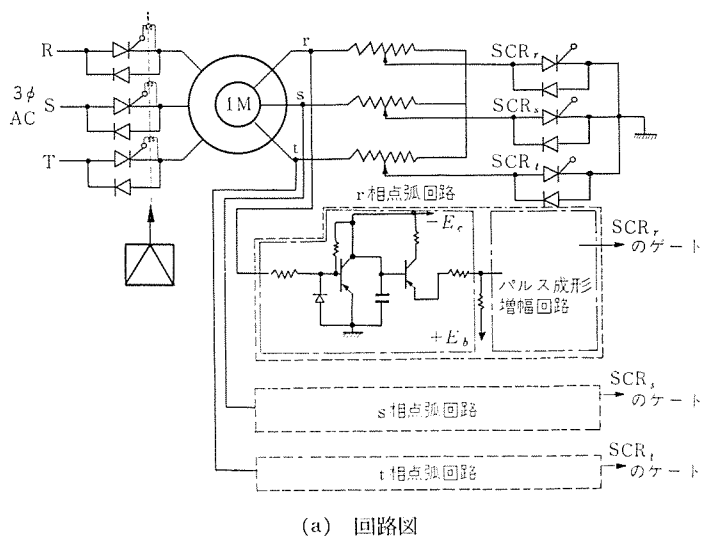


ルの場合より効果が大きく、すなわち、より少ない電流でより大き

な トルク を出すことができる. 点弧制御特性としては スペリ が減

少するにしたがい、 点弧位相角を進めるようにすることが必要で、

図 3.7 二次 リァクトル の回路と特性 Fig. 3.7 Circuit with secondary reactor and its characteristics.



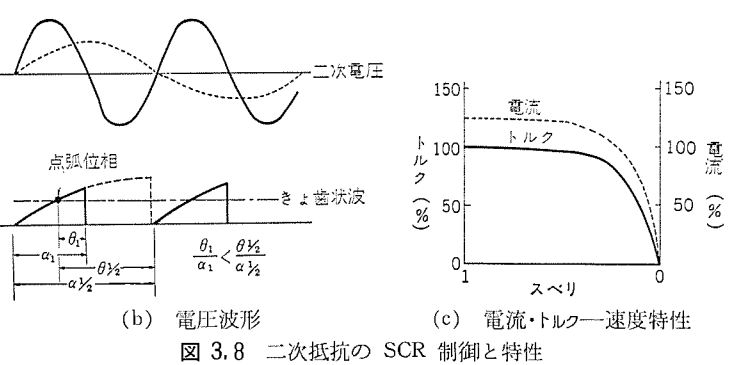


Fig. 3.8 SCR control of secondary resistor and its characteristics.

方向電流が印加されてから、常に一定の時限後 SCR を点弧させるようにする。この時限は スペリが1のとき、点弧位相角 θ を 0とするように調整すれば、たとえば スペリが 1/2 になれば、点弧位相角は 90 度になり、さらに スペリが減少すれば、それにしたがって位相角が進むことになる。このようにすれば スペリが 1のときは SCR は不導通であるが、スペリが 20% 位のところでは約 90% 導通することとなり、効率のよい特性が得られる。図 3.7 (b)、3.8 (c) は SCR と リアクトル のそれぞれの場合の スペリ 電流・トルク 特性曲線を示すが、SCR の場合のほうがかなりよい特性をしめしている。

4. む す び

SCR の交流電動機制御への応用に関して、自動制御系における増幅要素としての SCR の応用と主回路の SCR 制御について、現在すでに広く実用されているものならびにこれから実用されようとしているものについての説明および紹介を行なったが、交流電動機はもっぱら馬力のみを出すものだという従来の観念から脱却して、速度制御、位置制御、プログラム 制御など、いわゆる自動制御系の制御性のよい有力な一翼として、その価値が見直されるようになってきた。交流電動機への SCR の応用はこのほかにも、たとえば、SCR インパータによる交流電動機の可変周波数制御、二次励磁制御、静止 せいじつス 制御など、特色ある制御方式があり、今後 SCR 制御技術の発展により、交流電動機の応用範囲はさらに一層広く、そして深くなってゆくことであろう。

SCR の交流発電機励磁回路への応用

竹内俊晴*

Application of Silicon Controlled Rectifiers to AC Generators

Nagasaki Works

Toshiharu TAKEUCHI

In the latest trend in comparatively small capacity AC generators, it has been turning to common practices to build them on self-exciting system-excitation with static exciters-because of a number of advantages from the viewpoint of the character and the construction. In addition with the elevation of the reliability of semiconductor rectifiers, the static exciter has come to extend gradually the field of application to large capacity machines. This paper describes the excitation system which, unlike the conventional self-excitation system working on series reactors and current transformers, imparts a constant voltage characteristic through direct supply of exciting current to a generator by the use of SCR as well as examples of SCR applied to automatic voltage regulation of a self excited AC generator.

1. まえがき

最近、比較的小容量の交流発電機の励磁方式においては、その特性上および構造上の多くの利点によって自励式、つまり静止励磁機による励磁が常識になりつつある。さらに半導体整流器の信頼度の向上によって次第に大容量機にまで適用されるようになってきた。ここではこの自励交流発電機の自動電圧調整に SCR を応用した例および従来の直列リアクトル、変流器による自励式とは異なり、SCR によって直接、発電機に励磁電流を供給し、その位相制御によって定電圧特性をもたせる励磁方式について述べる。

2. SCR による自動電圧調整

2.1 回路の特長

- (1) 電圧変動率がずばぬけて小さい.
- (2) 回路構成が速応性要素からなっているので応答速度がきわめて早い.
- (3) 一般の AVR を用いた場合のように直流励磁可飽和変流器 (3 台)を必要とせず,三相変流器 (1 台)のみでよいので,据付上重量においても床面積においても有利である.
- (4) SCR は界磁電流の分流回路に使用し、界磁の制御電力 のみ負担させるので小容量のもので済む。
- (5) 電圧調整装置として小形,軽量化できる. SCR の点弧回路の制御電力はごく小さいので制御回路は非常に小容量のものになるため,小さくまとめることができる.

2.2 回路構成

本方式による自励発電機の ブロック 線図は図 2.1 のようになる. 主回路は図 2.2 のように従来の静止励磁機と同じで, 無負荷端子電圧を保持するための励磁電流を供給する直列 リアクトル と負荷に比例した励磁電流を供給する変流器, および両者からの合成電流を整流する整流器とで構成されている.

この場合,電圧調整を行なわなくても回路自体に自己制御性があるので定格力率付近では整定電圧変動率は±3%以内に保つことは容易であるが,それ以上の電圧精度を要求された場合のものとして自動電圧調整を行なわせる.

図2.2のように変流器 CT の二次回路に、SCR と半導体整流器 REC。で形成される分流回路を設け、これに小さな値の電流を分流させ、界磁電流が常に適正になるよう適宜調整を行なって、

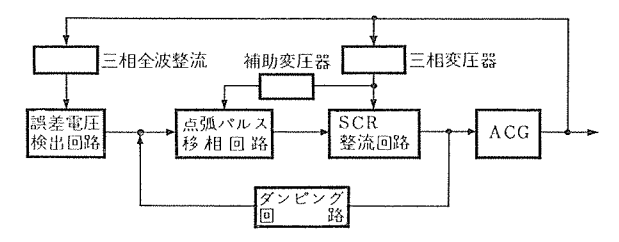


図 2.1 SCR による AVR 付自励発電機 ラロック 線図 Fig. 2.1 Block diagram of self-excited generator with AVR operating on SCR.

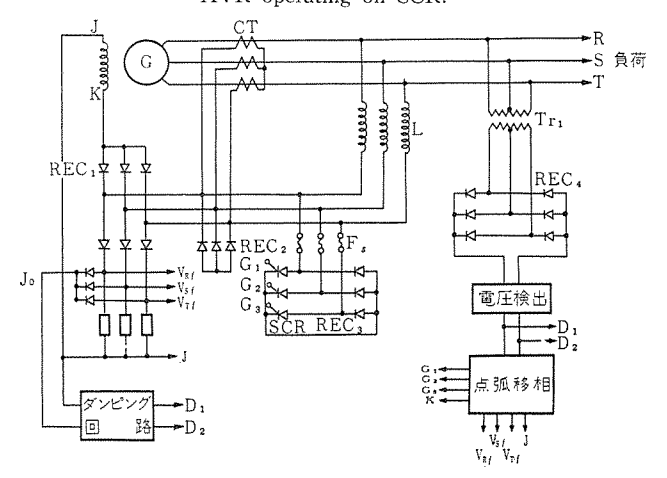


図 2.2 自励発電機概略図

Fig. 2.2 Schematic diagram of self-excited generator connection.

必要な定電圧特性をもたせる.したがって リアクトル や変流器から 供給される電流はあらかじめ予定値よりいくぶん多いめに設定し ておく.

ある位相で SCR の ゲート に正の信号を印加すると, その時からその サイクル が終わるまで SCR は導通し, リアクトル および変流器の二次回路を短絡するかたちとなり, 短絡期間では界磁電流の大部分は分流回路に流れこむ.

この短絡期間を適宜制御することにより、すなわち SCR の f-h にあたえる点弧 f_{ルス} の位相制御をすることによって界磁電流の平均値を適当な値に調整し、発電機の端子電圧を一定に保つ.

2.3 自動電圧調整回路

電圧調整回路全体としては、電圧検出回路、点弧移相回路およ

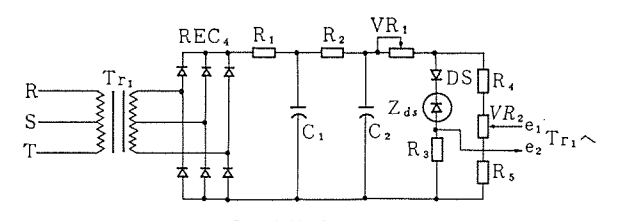


図 2.3 誤差電圧検出回路 Fig. 2.3 Error voltage detective circuit.

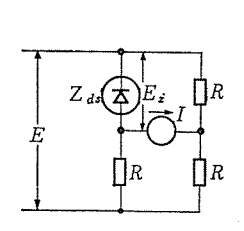


図 2.4 誤差電圧検出 ブリッジ Fig. 2.4 Error voltage detective bridge.

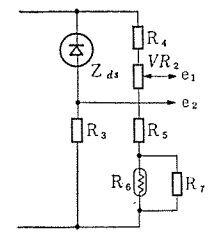


図 2.5 誤差電圧検出 ブリッジ (サーミスタ 補償付) Fig. 2.5 Error voltage detective bridge (with thermister compensator).

び分流回路からなり、それに付随して g_{ν} ピック回路、保護回路が含まれる。

2.3.1 電圧検出回路

図2.3にその回路を示す.

発電機の端子電圧を検出 トランス でおとして全波整流し、その 直流電圧を抵抗 R_3 、 R_4 、 R_5 、ゼナーダイオード Z_{ds} からなる誤差電 圧検出 ブリッジ に加えて、 Z_{ds} の基準電圧と比較してその誤差電 圧をとりだす。このとき リップル を減らすために R_1 、 R_2 、 C_1 、 C_2 による平滑回路を 2 段接続している。またこれにより発電機出力 の波形のヒズミに対する誤差をなくすことができる。

いま $R_3=R_4=R_5=R$ (Ω) $VR_2=0$ とすれば、図 2.4 において検出回路の出力電流 I (A) は

$$I = \frac{E - 2E}{R}$$

 E_Z : ゼナー 電圧 (V)

したがって端子電圧が設定値 E_S から ΔE だけずれたときの 出力電流の変化 ΔI は

$$\Delta I = \frac{\Delta E}{R} = \frac{E_S \cdot \Delta e}{R}$$

△e: 単位法 (%)

ゼナーダイオード の ゼナー 電圧は $0.09\%/C^\circ$ 内外の温度変化をきたすが ダイオード を余裕をもって使用すれば、図 2.3 のように他の半導体整流器 D_s を接続することにより、温度変化による影響をおさえることができる。

厳密な補正を要求される場合は図2.5のように Z_{ds} の対辺にt-=2.78 R_6 をそう入する. 抵抗 R_7 を t-=2.78 と並列に接続することによって、温度変化に対してほぼ直線的に補正することができる.

2.3.2 点弧移相回路

誤差電圧検出 ブリッジ からの出力は 図 2.6 のように トランジスタ Tr_1 で一段増幅し、各相に対応した SCR の ゲート 制御回路に分配する.

ゲート 制御回路は応答の早い ダブルベースダイオード Tr_{31} と コンデンサ C_B により 構成したもので、点弧パルスの位相を制御する要素として C_B と並列に F_{525} スタ Tr_{21} を接続している.

抵抗 R_B を通して C_B に充電し、 C_B の端子電圧が Tr_{31} の動

[]R_B []R, ĎZ₄ι a Tr, \$ D_G ペルストランス DC + Rea R. ± D. R. ĠΖ₂, VR. Trı ⑶ ∏R₅ ΠR, ŪVR.≱D,

図 2.6 SCR による AVR 制御回路 Fig. 2.6 AVR control circuit operating on SCR.

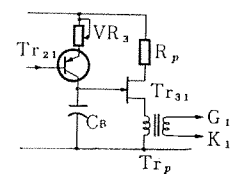


図 2.7 点弧移相回路 (ゲルマニウムトランジスタ 使用の場合) Fig. 2.7 Ignition phase shifting circuit. (when germanium transistor used)

作電圧に達すると、 Tr_{31} は導通し パルストランス Tr_p に一次電流が流れるので、 Tr_p の二次 fート 回路に点弧 パルス が発生する。そのとき C_B の電荷も Tr_{31} を通して放電されるので C_B の端子電圧は急速に下がり再び Tr_{31} は bットオフ される。 Tr_1 , Tr_{21} は b リコントランジスタ を使用しており、動作中の ドリフト をおさえ、温度変化による設定電圧の移動を少なくしている。

 ${
m Tr}_{21}$ の ${
m v}_{-{
m A}}$ には検出回路からの信号を加え,その内部抵抗を変化させると ${
m C}_{
m B}$ の充電時間が変わってくるので点弧 ${
m \it N}_{
m N}{
m \it A}$ の位相を制御できる.

発電機運転中になんらかの原因により、電圧変動がおこり設定値より大きくなったとすると、検出回路の出力が増加し、増幅用トラン $\tilde{\nu}$ スタ Tr_1 の内部抗抵を減少させるので、移相用トラン $\tilde{\nu}$ スタ Tr_{21} の $\tilde{\nu}$ -ス 電流は減少し、その内部抵抗が増加する。この内部抵抗の増加により C_B の充電々流が増えるので充電時間が短かくなり点弧 \mathcal{N}_{ν} ス の位相は進む。その結果 SCR の分流電流は増加して励磁電流を減らし、発電機の端子電圧を下げて設定値にもどす。

NPN もりコントランジスタ ではなく、PNP ゲルマニウムトランジスタ を使用すれば図2.7のように直接 C_B に対する充電電流を制御でき、この場合のほうが制御も直線的に行なえるが、ゲルマニウムトランジスタの温度変化による ドリフト が大きいためその補償が必要となってくる。 もりコントランジスタ であれば温度特性もよいので実際上補償なしでもさしつかえなく、制御は非直線性をもつがこの場合問題とはならない。

点弧回路の電源は発電機界磁回路から各相別に、界磁電流の位相に同期した電圧をとりだしており、分流回路に入っている SCR に逆電圧がかかったときには点弧 パルス をゲートに加えないようにしている。電源側には ゼナーダイオード Z_{d1} を入れて規定電圧以上をカット している。

 Tr_{21} , Tr_{31} による点弧回路は各相に対して必要で、この場合 3 回路を含んでいる.

ゲート 回路には直列抵抗を リミッタ として入れ、整流器を ゲート と並列に接続して負電圧の印加を防止している.

2.3.3 ダンピング回路

電圧検出、増幅および点弧移相の各回路はいずれも速応度が大

SCR の交流発電機励磁回路への応用・竹内

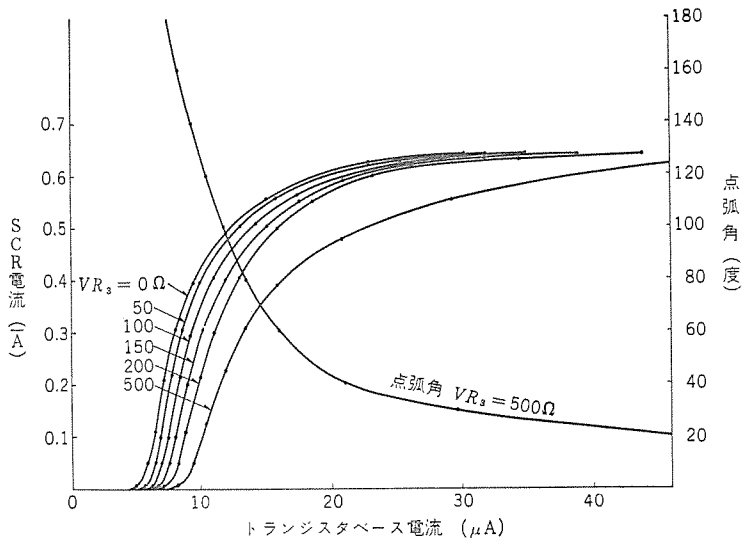


図 2.8 ダブルベースダイオード と ゲルマニウムトランジスタ (PNP) による 点弧回路特性 Fig. 2.8 Ignition circuit characteristic operating on double base diode and germanium transistors.

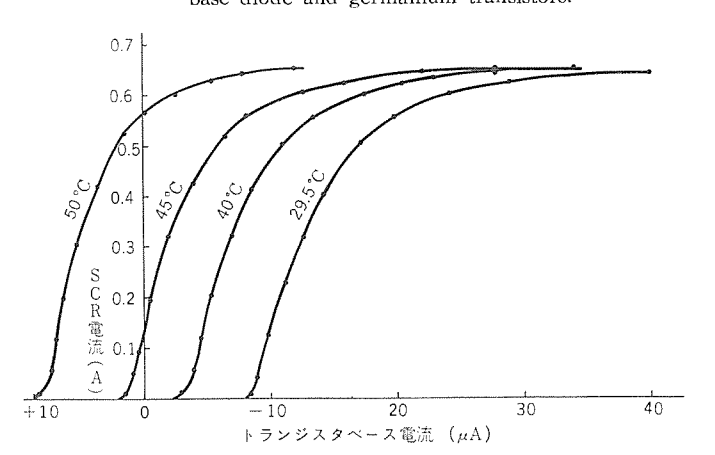


図 2.9 点弧回路の温度特性 (ダブルベースダイオード と ゲルマニウムトランジスタ の場合)

Fig. 2.9 Temperature characteristic of ignition circuit (when double base diode and germanium transistor are used).

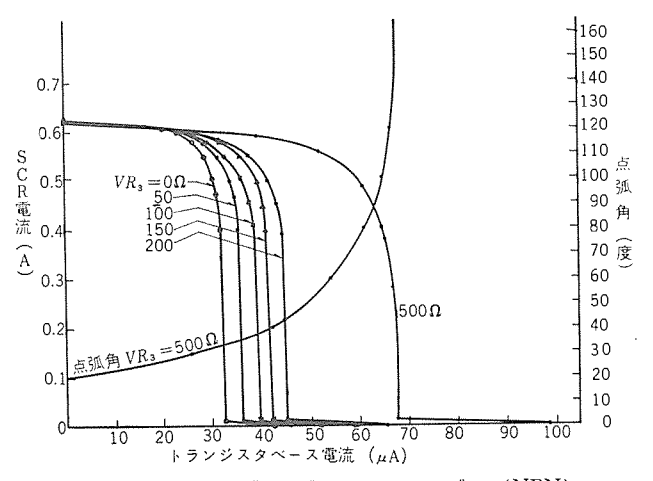


図 2.10 ダブルベースダイオード と シリコントランジスタ (NPN) による点弧回路特性

Fig. 2.10 Ignition circuit characteristic operating on double base diode and silicon transistor.

きく、発電機の端子電圧変動に対して急速に応動する. 検出用のトランスが間に入っているがその遅れはわずかである. それに比べ、発電機の界磁回路の時定数は相対的にずっと大きく、電圧変動に対してすぐには応答しないために発電機は不安定な状態になり、ハンチングを起とすおそれがあるので制御回路の応答に遅れをもたせる.

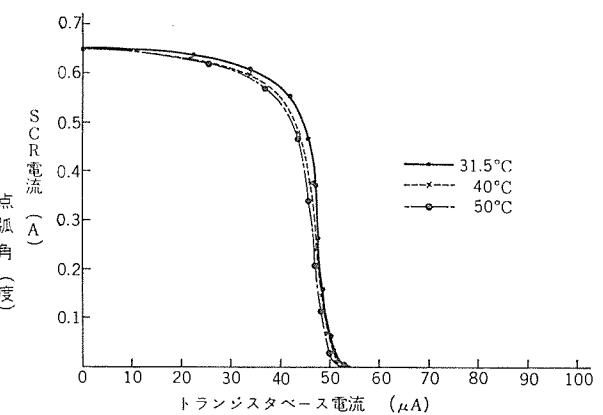


図 2.11 点弧回路の温度特性 (ダブルベースダイオード と きりコントランジスタ の場合) Fig. 2.11 Temperature characteristic of ignition circuit (when double base diode and silicon transistor are used).

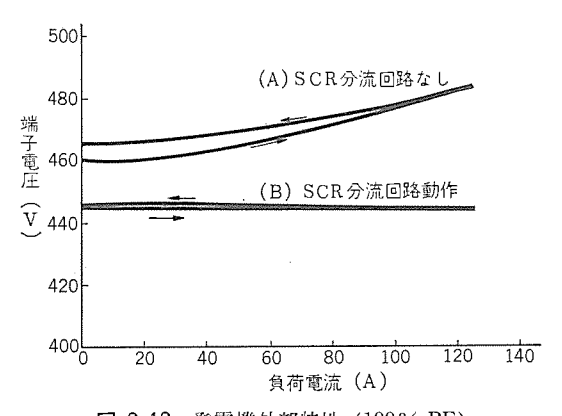


図 2.12 発電機外部特性 (100% PF)

Fig. 2.12 Generator external characteristic.

ずッピック 回路は CR 回路で構成し、界磁回路から ${\rm Tr_1}$ の ${\rm Tr_2}$ に帰還させている。 もし リップル が多いと ${\rm Tr_1}$ の増幅 率もおちるので平滑回路も含めている。

前述したように図2.2の界磁回路の交流側に接続した分流 回路には常時いくらかの小さな電流を分流させておき、この 電流を適宜調整することによって発電機の界磁に適正な励磁 を行なうのであるが、SCR は励磁電流のうち調整分だけを 負担すればよいのでそれに見合った小容量のものでよい.

各 SCR の f_- ト にはおのおのが受持っている相の電位が 正であることを確めて点弧 f_{ILZ} をあたえ、SCR および REC。 を通じて補償分電流を分流させる.

SCR の順方向阻止電圧 V_{B_0} は リアクトル および変流器の二次回路電圧の \mathcal{C} -ク 値より高く、主整流器 REC_1 の逆方向耐電圧より低く選定しておく.

図2.2のように分流回路の一部に t_2 -ズ F_s をそう入し,また変流器二次回路の一部に t_2 -ブン 整流器や ゲルマニウム 整流器のように破壊されることによって導通状態となるような 半導体整流器 t_2 - による短絡回路を設け, t_3 - の動作点を t_4 - の動作点を t_4 - の過電流特性より低く選んでおくことにより, t_4 - SCR が不時の過電流によって破壊されるのを防止する.

つまり発電機の主回路に過電流が流れ、分流回路の電流が SCR の許容電流値を越えようとする場合に、F。をまず溶断させて SCR を保護するとともにそのときに誘起される変流器の二次回路の高電圧により、整流器 REC_2 を破壊し、変流器二次回路の電流を吸収して過電流をおさえる.

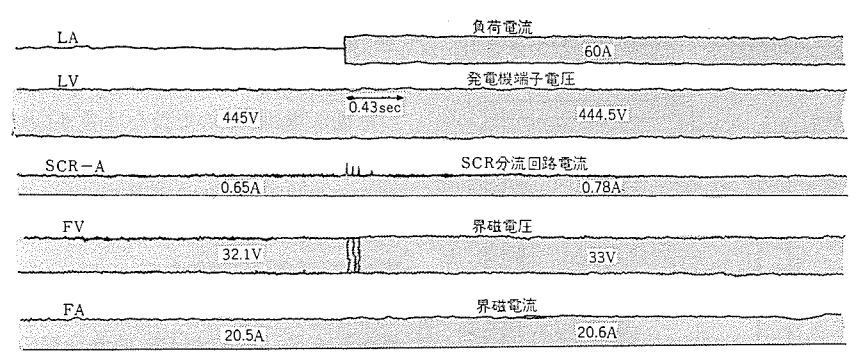


図 2.13 100% PF 48kW 負荷投入試験 Fig. 2.13 Load thrown in test, 100% PF 48kW.

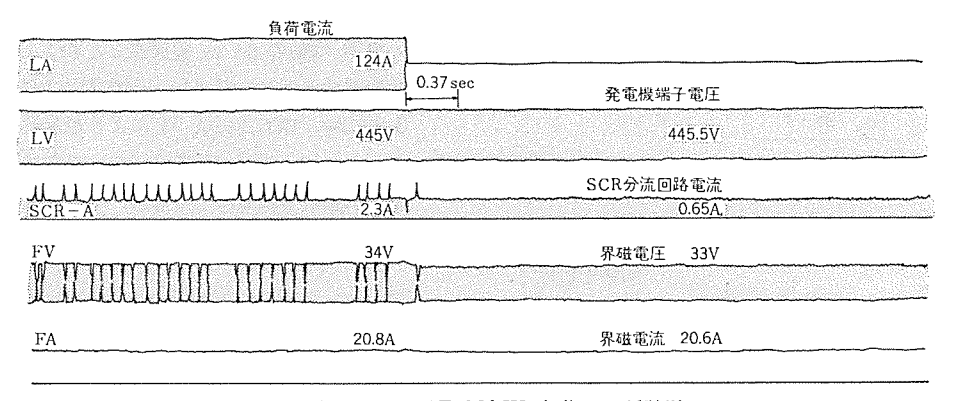


図 2.14 100% PF 96 kW 負荷 5+ 断試験 Fig. 2.14 Load interruption test, 100% PF 96 kW.

したがって REC $_2$ の逆方向耐電圧を SCR の順方向阻止電圧 より大きく主整流器 REC $_1$ の逆方向耐電圧よりも低く選んでおけば、REC $_1$ の破壊を防止できる。この REC $_2$ には平常、電流を流さないので電流容量は小さいものでよい。

もし F_s の溶断前に変流器の二次回路に高電圧が誘起されるようなことがあった場合も、この異常電圧が SCR の V_{B0} を越えると分流回路は導通し、界磁回路にそれ以上に高電圧が加わらないようにする.

2.4 試験結果

上述のような SCR による自動電圧調整回路を接続した自励発電機に、実負荷をかけて静特性および動特性について試験してみたのでその一部を示す.

2.4.1 外部特性

負荷として水抵抗器を使用し、100% PF における外部特性曲線は図2.12に示す。

AVR なしの場合の外部特性は曲線(A)のように定格電圧よりいくぶん高めに電圧を誘起するように変流器や リアクトル の設定をしておく.

AVR を動作させた場合の外部特性は曲線 (B) のようになり、ほとんど平坦になり、電圧変動はわずかに $\pm 0.2\%$ 程度に過ぎなかった.

2.4.2 負荷投入,シャ断

負荷投入および = + 断した場合の動特性を試験した一例を示す と、図 2.13 および図 2.14 のような = + になる.

負荷投入は 100% PF 48 kW で行ない,約 0.43 秒で整定しており、瞬時電圧変動もわずかである。分流回路の電流は負荷がかかったときに増加している。これは力率が 100% であり負荷の増加とともに過励磁になったためである。

負荷 シャ 断は 100% PF 96kW で行ない, 整定時間は約 0.37 秒であり, 瞬時電圧変動は 投入の場合と同じくごくわずかに押えられてい

3. SCR による励磁装置

以上述べてきた励磁方式の主回路は従来の自励式と同じ回路構成で、電圧調整要素として SCR を用いたものであるが、つぎに示すのは 変流器、リアクトル などの主回路要素も省略して、 SCRによって直接、発電機の励磁電流を供給し、 適正な制御を行なう方式である。最近 SCR も

> 大きな容量のものが供給可能となった ので、この方式は相当大容量の発電機 まで適用できる.

3.1 この方式の特長

- (1) SCR をはじめとする励磁装 置の応答速度がきわめて早く,電 圧変動率も小さい.
- (2) 励磁装置が従来のものより簡素化され、使用部品も小形、軽量のものが多いので全体として小さくまとめることができる.
- (3) その他, 可動部分がない静止 励磁装置であるため保守取扱いが

容易であること、および起動準備をとくに必要としないこと などは従来の自励式の利点をそのまま受けついでいる.

3.2 回路構成

SCR による励磁装置の ブロック 線図は図3.1に示している.

励磁電流は発電機主回路から トランス により界磁 コイル の定数 によって適当に決められる電圧に落とし、SCR を通して界磁に 供給される. このとき SCR の点弧位相を適宜制御すれば、発電機に所要の定電圧特性をもたせることができる.

図3.2は本方式の変形で、SCR の電源を発電機主回路ではなく別系統からとったもので、高周波発電機の駆動 モータ の電源から供給している.

3.2.1 電圧検出回路

誤差電圧検出回路は前述の2.3.1項における回路と同一であり、 基準電圧を ゼナーダイオード によって設定して、発電機端子電圧と比 較し誤差電圧をとりだしている.

3.2.2 点弧移相回路

点弧回路はこの場合,磁気増幅器式を採用した。回路を極端に 小形化する必要がない場合は、前述の回路よりも堅ろうであるほ か動作が安定で温度特性もよいなどの理由からこちらの回路を採

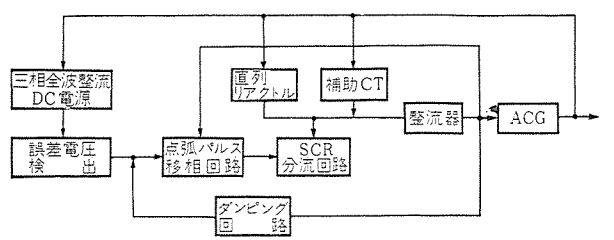


図 3.1 SCR 励磁機による交流発電機 ブロック 線図 Fig. 3.1 Block diagram of AC generator operating on SCR exciter.

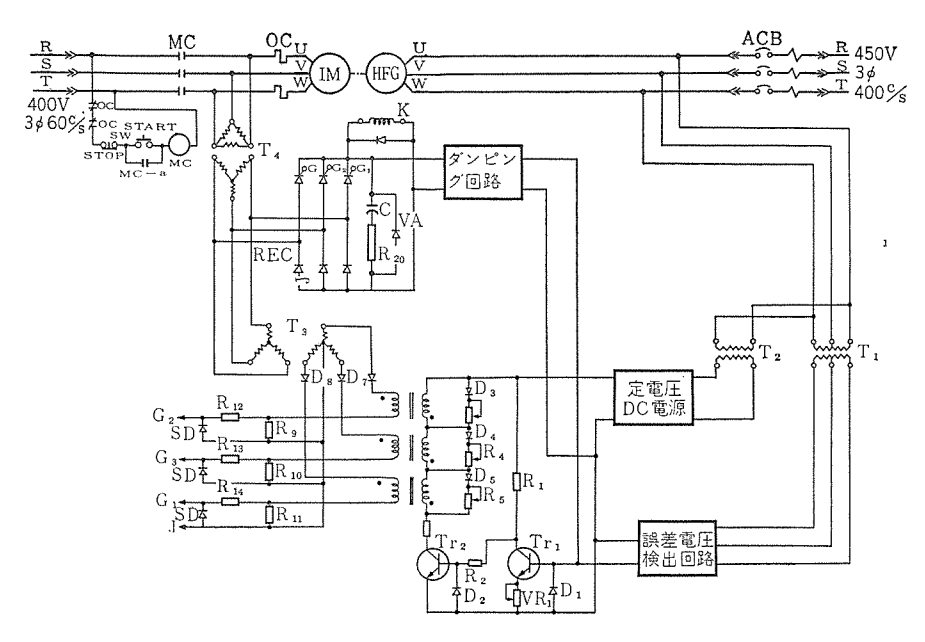


図 3.2 SCR 励磁機による高周波発電機

Fig. 3.2 High frequency generator operating on SCR exciter.

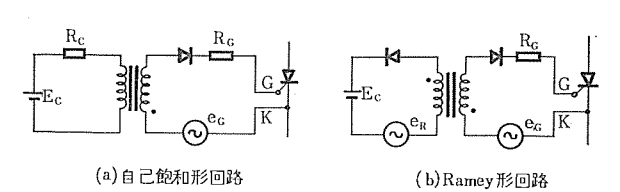


図 3.3 磁気增幅器式点弧回路

Fig. 3.3 Magnetic amplifier type ignition circuit.

用する.

磁気増磁器の出力波形は立上りが急しゅんであるから、これによって SCR の点弧を確実に行なうことができる。磁気増幅器は SCR の制御電力がわずかなものであるから、ごく小容量のものでよい。

回路形式としては図3.3に示したように、一般的な自己飽和回路(a) および速応性のある Ramey 回路(b) などがあげられるが、今回は回路を簡素化するために(a) 図のほうを採用した、Ramey 回路よりも応答速度はおちるが、リセット 回路が簡単になり安定した動作が期待できる。 回路の詳細は図3.2に示したものと同一であり、f-ト 回路の電源は SCR の入力と同期していなくてはならないので、それをさらに補助トランスで電圧を落としてもってきている。リセット 回路は三相分を直列につなぎ $R_{3\sim5}$ で Λ ランス させている。

ゲート 側の $R_{9\sim11}$ は鉄心が飽和する前に流れる励磁電流によって点弧されないようにするためそう入した分流抵抗であり、直列抵抗 $R_{12\sim14}$ は $y_{12\cdots9}$ である。また y_{17} ード SD は負電圧を $y_{19\cdots}$ うするためのものである。

点弧の位相制御は リセット 回路を適宜調整するのであるが、トランジスタ Tr_2 の内部抵抗を誤差電圧の大小に応じて変化させ、各磁気増幅器の飽和度を変えて点弧出力を移相させる。 Tr_1 は検出 ブリッジ の出力を一段増幅するもので、 Tr_1 , Tr_2 はいずれも動作中の ドリフト を小さくするために シリコントランジスタ 使用している・

動作中になんらかの原因により電圧変動がおこり、設定値より も大きくなったとすると検出回路の出力は減少し、増幅用の Tr₁ の内部抵抗を増幅させるので移相用の Tr_2 の ζ_{-2} 電流は増加し、その内部抵抗は減少する. したがって リセット 回路 の電流は増加するので鉄心は各 サイクル ごとに、より遅く飽和するようになり、点弧パルスの位相は遅れて SCR の出力は減少し、発電機の励磁電流は減って端子電圧を下げる方向に動作する.

3.3.3 界磁回路

SCR は他の もりコン 整流器とともに三相全波整流回路を構成し、その電源は図 3.2においては トランス からとっているが、基本回路では発電機端子に接続される。その場合、電圧の確立を急速に行なうために適当な初期励磁

回路を設ける.

図3.2の場合, T₄の一次側電圧は一応, とんでもない高電圧が持続することは平常ではありえないとして, T₄の二次電圧のタップ 選定を励磁電流の上限とにらみ合わせて決めておけば 180° 通電したときも SCR に過大な電流が流れる心配はない.

 T_4 を発電機の端子に接続した場合も、従来の自励式において 短絡事故が生じた際の変流器のように強制的に流入する電流がな いので、上述と同様に過電流に対する心配はない。

この方式による各種試験の結果はまたつぎの機会に譲る.

4. む す び

以上,交流発電機の励磁装置に SCR を応用した例をあげて,その回路構成,動作などについて説明したが,いずれも SCR 自体が非常に優秀な制御素子でありわずかな電力で大きな電力を制御できるので,制御回路が小容量のもので済み,励磁装置の小形簡素化,および重量の軽減などに寄与することが大きいと同時に発電機の特性も著しく改善することが可能となった。

今後,大容量の SCR の開発がますます進み,量産されるようになるとともに,この種の励磁機の上限も上昇してその適用範囲が逐次拡大されてゆくことと期待される.

参 考 文 献

- (1) 甲斐: 三菱自励交流発電機,「三菱電機」32, No. 8 (昭 33)
- (2) 細野: 同期発電機の励磁装置, 特許公報. 昭 36-23071
- (3) F.W. Gutzwiller (まか: General Electric Controlled Rectifier Manual.
- (4) 浜岡,山崎: 磁気増幅器の制御機構「三菱電機」35, No. 5 (昭 36)
- (5) 岡, 坂東, 大島: טרועם 制御整流素子の応用,「三菱電機」36, No. 7 (昭 37)

SCRによる直流電動機の制御

細野勇*

SCR Control of DC Motors

Itami Works

Isamu HOSONO

DC power sources of DC motors have been mostly replaced with static devices for some years. For large DC motors have been used plenty of static Ward-Leonard sets using mercury arc rectifiers. Under the circumstances the SCR has been introduced of late with marked success, which spurs the trend of turning the power sources to static machine application even to small and middle capacity DC machines. This has revolutionized small and medium motor applications. Mitsubishi has developed static Ward-Leonard sets, to cope with the situation, ranging from a few hundred watts to scores of kilowatts. Some of them have been put to practical use nowadays.

1. まえがき

イグナイトロン あるいは サイラトロン などの格子制御放電管による直流電動機の速度制御,いわゆる静止レオナード制御は,従来広く用いられ保守の容易さ,効率のよさ,とりわけ,その速応性の高い制御性の良さなど,その価値が認められて,直流電動機の制御の分野においてかなり支配的な地位をしめるようになった。なかでも熱間圧延機,線材圧延機,大形抄紙機などは,ほとんど例外なく静止レオナード装置が用いられ、分塊圧延機や冷間圧延機などの制御のほとんどすべてに、静止レオナード装置が用いられるのももはや目前の問題である.

しかし、ここにこの直流電動機駆動装置の静止機器化にとりの こされていた分野がある. それは小形圧延機, 圧延補機, 工作機 械などに使用される、中・小容量の直流電動機の駆動装置である. これらの容量のものは、イグナイトロンなどの水銀整流器を使用する には小形すぎて価格が割高になること、および サイラトロン ではそ の熱陰極の寿命にいささか懸念がもたれることなどによって現在 でも、なお電動発電機が使用されている. しかし近年これらのも のの静止機器化のために画期的な新機器が発表された. これは, 制御性能をもつ半導体整流器,すなわち SCR にほかならないが, これの発達は実に目ざましく、すでに試作期を終えて実用期に一 歩をふみ出しており、近い将来中・小容量の直流電動機駆動の分 動を一手に収め、大容量機に歩を進めることも遠い問題ではな い. 当社ではすでに SCR を使用して 50kW までの直流電動機 の駆動装置の試作を完了し、その良好な特性を確認するとともに, 一部容量のものはすでに納入実績を有しているが、以下にこれら の装置について概説する.

2. 直流電動機の容量と整流回路

周知のように直流電動機はその電機子に加わる直流電圧を変えて速度を制御することができる。SCR を用いて直流電動機を駆動せしめる場合,SCR によって交流電圧を整流して直流電動機の電機子に直流電力を供給するとともに,これを位相制御することによって直流電圧の平均値を変えて速度を制御する。SCR を用いて交流電圧を整流する場合には,通常の整流器と同様に,単相半波整流,単相全波整流,三相半波整流,三相全波整流回路などの整流回路があり,直流電動機の駆動に用いる場合にも,このす

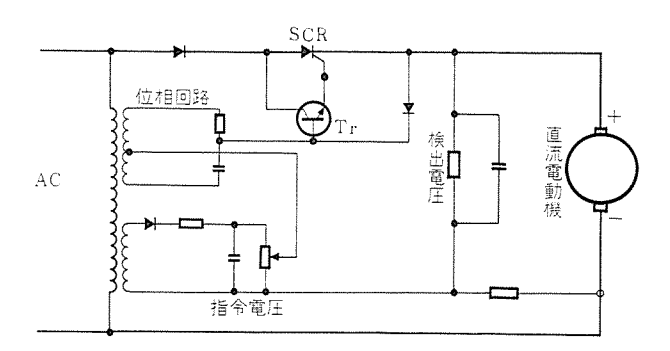


図 2.1 直流電動機の SCR 制御 (単相半波式) Fig. 2.1 SCR control of DC motor in half wave.

べての回路を用いることが可能であるが、直流電動機の容量およびその制御上の要求から、おのずから最適の回路方式が定められる.

2.1 極小容量直流電動機の駆動

ここで極小容量直流電動機というのは、数十~数百 W 程度の 直流電動機を指すこととする. これらの容量の直流電動機はおも に事務用機械などの駆動電動機として用いられ、また価格のいか んによっては家庭用の電気器具に用いられる可能性もある.

これらの容量の電動機では、どうしても価格が最重視されるため価格的に一番有利な単相半波整流回路が用いられる。図2.1 は半波整流回路による直流電動機の制御回路を示すが、原理的にSCR 1 個ですみ価格は安い半面、直流電動機には断続電流しか流れず、電源に対しては非対称の負荷が加わり、また、直流電圧平均値は電源電圧の1/2 以下になるなどの欠点がある。しかし、これらの欠点は小容量の電動機を制御する場合にはほとんど問題とならないため、これらの容量のものに対してはとくに精密な制御が要求されないかぎり、単相半波整流回路が好んで用いられる。この場合、できるだけ安価に作るために点弧位相制御回路も簡単で有効なものが要求される。図2.1 に示す点弧位相制御回路は、このためのもので90 度遅れた位相の電圧を直流電圧に重畳し、その出力をシリコントランジスタにより1段増幅してシリコン制御整流器の制御極に供給するようにしている。

抵抗、コンデンサ 回路により、90 度遅れた位相の電圧を指令電圧 と検出電圧の差電圧に重畳しているので、差電圧の大きさにより、シリコントランジスタ への入力電流の位相が変化する. 一方 シリコントランジスタ によって増幅されるので、シリコントランジスタ へ入力が入れば

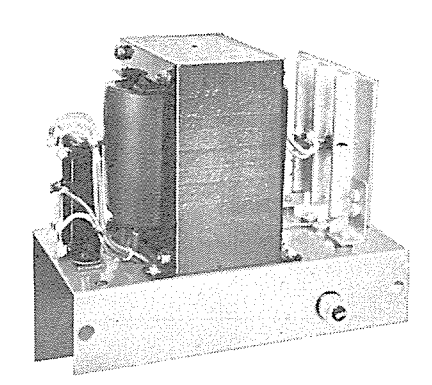


図 2,2 SCR 制御盤 (120 W) Fig. 2.2 SCR control panel for 120 W motor.

シリコン 制御整流器は点弧することになる. したがって差電圧が正 に大きくなると点弧位相が進み,出力電圧が高くなり加速する. また反対に差電圧が小さくなれば,点弧位相が遅れ出力電圧が低 くなり減速する. そしてほぼ一定の速度で運転することになる.

この回路においては อりコントランジスタ によって制御入力が増幅 されているので、簡単な回路構成で有効な自動制御が行なわれる。 図 2.2 は事務用機械の $120 \, \mathrm{W}$ 直流電動機の SCR による制御 $120 \, \mathrm{W}$ ものである。

2.2 小容量直流電動機の駆動

ここで小容量直流電動機というのは $500\,\mathrm{W} \sim 5\,\mathrm{kW}$ 程度のものをいい,主として工作機械関係の駆動に用いられる.この程度の容量になると,電流の断続による直流電動機の整流の悪影響などを無視することができず,もっぱら全波整流回路が用いられる.全波整流回路としては,単相および三相が考えられ,どちらも採用することができるが,それぞれその得失を有している.SCR素子自体の容量は電流容量 i_a および阻止電圧 v_p により決定される.いま,単相全波整流回路を採用した場合の SCR の全容量は $4v_pi_a$ となるが,この t_{vp} トの定格出力電圧を E_a ,出力電流を I_a とすれば,式 (2.1) および式 (2.2) が成りたつ.

$$v_p = (\sqrt{2} \times E_d)/0.9 = 1.57 E_d \cdots (2.1)$$

$$i_a = I_d/\sqrt{2}$$
(2, 2)

ゆえにこの回路に使用される全 SCR の容量は式 (2.3) のとおりになる.

$$4v_p i_a = 4.44 E_d I_d \cdots (2.3)$$

つぎに同一出力定格を有する v_p ト を三相全波整流回路で構成すると、SCR の全容量は $6v_p'i_a'$ となるが、 $v_p'i_a'$ は式 (2.4) および (2.5) で表わすようになる.

$$v_p' = (\sqrt{2} \times E_d)/1.35 \quad \cdots (2.4)$$

$$i_a' = I_d / \sqrt{3}$$
(2.5)

$$\therefore 6v_p'i_a' = 3.62E_dI_d \qquad (2.6)$$

式(2.3)と式(2.6)を比較した場合,SCR 自体に関しては三相整流回路を使用したほうが有利となる。しかし、この程度の容量のものでは、点弧制御回路などの付属機器の価格の占める部分が大きいため、必ずしも三相整流回路が有利とはかぎらず、直流電動機の容量と現在ある SCR 容量の系列とから価格的にどちらが有利かきまるようである。その他、単相にするべきか三相を用いるべきかをきめる要因としては、直流電圧が 220 V か 110 V か、制御に対する要求、その他があるが、交流 220 V 電源から直流220 V を得る場合には、三相を用いると整流器用変圧器を省略できて有利となる。また、高度の制御性を要求される場合には三相整流回路を用いるべきである。

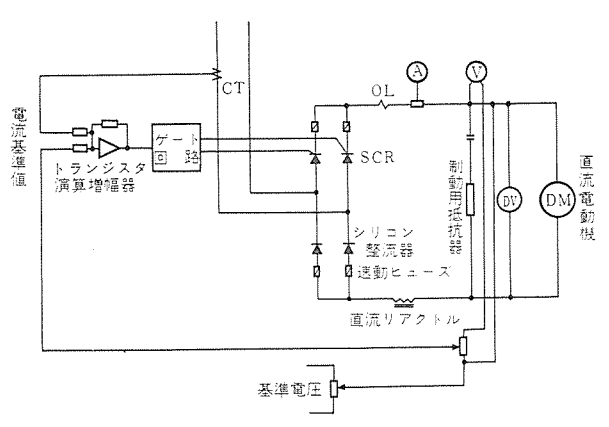


図 2.3 SCR による静止 レオナード 装置 Fig. 2.3 Static Ward Leonard set by silicon controlled rectifier operation.

このように、この程度の容量のものに関しては単相、三相いずれの回路も使用できるが、三相整流回路に関しては、あとに中容量機の項で述べるため、ここでは単相整流回路を説明する.

図2.3は単相全波整流回路による直流電動機の制御装置を示 す. 直流電動機の制御には、たとえば研削盤の駆動のように1方 向のみに駆動せしめればよいものと、平削盤の テーブル の駆動の ように2方向に駆動させなければならぬものとある. 電動発電機 を使用するときは両者とも同一の回路方式でよいが、整流器を用 いる場合には、回路方式が異なる。図2.3に示すものは、研削盤 の駆動のように1方向のみに駆動させればよい用途に対する静止 レオナード 装置であるが、この場合には図に示すように、SCR は整 流 ブリッジ の 4 脚の うち 2 脚のみにそう入すればよい.これは直 流電動機を流れる電流は必ず整流 ブリッジ の 2 脚を通るため、そ のうちの片方のみを制御して十分 0 から 100% までの電圧制御 を行なうことができるからである. この場合の直流電動機の速度 制御は、主として逆起電力制御が用いられる。制御回路は図に示 すように直流電動機の端子電圧を指令値と比較し,その偏差によ って SCR を位相制御し,出力電圧を調整して直流電動機を制御 するが、この場合、直流電動機の端子で電圧を検出すると、これ は直流電動機の逆起電力と抵抗降下の和を検出していることにな るため, 直流電動機の電機子電流を検出し, これを制御系に加算 して抵抗降下を補償させている.

このような 1 方向駆動の用途に対しては、また図 2.4 に示すような回路を用いることもできる。これは、整流 ヴリッジ と電圧制御要素を分けたものである。図 2.5 は $2\,\mathrm{kW}$ の直流電動機の静止しオナードの $5\,\mathrm{U}$ 3.7 制御整流器とその制御回路の $5\,\mathrm{U}$ 5.7 である。

平削盤のように正逆両方向に直流電動機を駆動させる場合には、正方向駆動用をよび逆方向駆動用の2組の SCR が入用である。この場合の回路の一例を図2.6に示す。図において T_{a1} , T_{a2} は正方向回転用の SCR であり, T_{b1} , T_{b2} は逆方向回転用の SCR である。制御は1方向駆動の場合と同様,直流電動機の逆起電力を検出して行なわれるかまたはパイロット 発電機で速度を検出して行なわれるが,直流電動機の速度信号が指令値より小さいときは+の偏差が ゲート 回路に加わり,ゲート 回路 A の移相を進めて直流電動機を加速し,直流電動機の逆起電力を指令値に近づける。また逆に直流電動機の逆起電力が指令値より大きいときや指令値が一になったときには,一の偏差がゲート 回路に加わり,ゲート 回路 B の移相を進めて直流電動機を減速または逆転し,直流電動機は指令値とほぼ等しい回転速度となる。

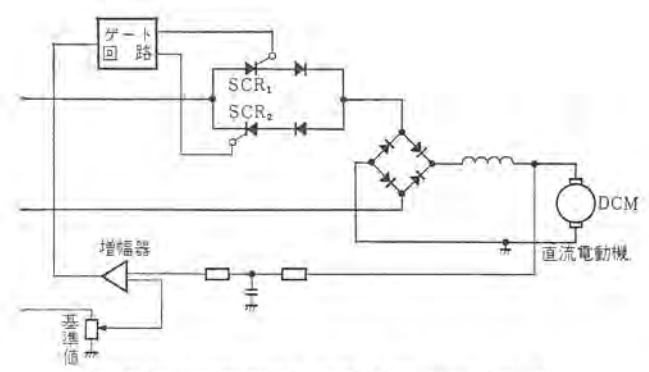


図 2.4 直流電動機の SCR 制御 (単相全波式) Fig. 2.4 SCR control of DC motor.

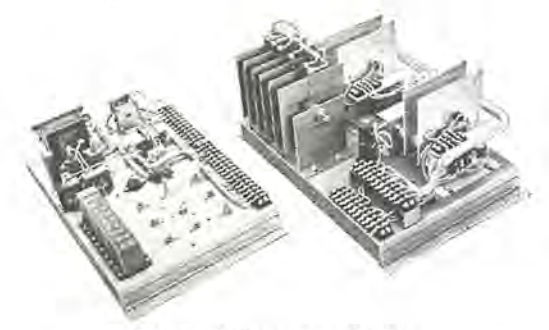


図 2.5 SCR 制御盤 (2kW) Fig. 2.5 SCR control panel for 2kW motor.

2.3 中容量直流電動機の駆動

ここで中容量というのは 5kW 以上 100kW 前後までの直流 電動機をさすこととする。この種の容量の電動機は、主として圧 延補機、小形圧延機、小形抄紙機、大形工作機、その他の産業部 門に広く使用される。この程度の容量になると、性能上はもちろ んのこと、価格の上からも三相整流回路が有利と考えられ。ほと んど三相整流回路が使用される。この場合も単相整流回路の場合 と同様に1方向駆動の場合と可逆運転の場合とでは回路方式が異 なり、また1方向駆動の場合には、整流 ブリッジ 6 脚のうち、3脚 のみに SCR をそう入することにより、十分の制御を行なうこと ができる。

図 2.7 は 1 方向駆動の場合の SCR による静止 レオナード 装置をいささか詳細に示した回路図である。この SCR による静止 レオナードセット は シリコン 整流器および SCR による整流および電圧調整部分とその制御および保護装置を含んでいる。 SCR と直列に接続されている シリコン 整流器は、SCR に逆方向に加わる過電圧がシリコン 制御整流器を永久破壊にいたらしめるため、シリコン 制御整流器を逆方向の過電圧から保護するためのものである。

負荷短絡などの急激に加わる過電流に対しては、SCR および シリコン 整流器と直列に接続された速動 ヒューズ によって保護される。この ヒューズ は、SCR および シリコン 整流器の許容過負荷特性と協調するよう、とくに設計された速動性の ヒューズ であり、短絡事故などに対して整流器を十分保護する、比較的長時間の過負荷に対しては、過電流継電器によって交流側の電磁接触器を開放させて保護する。

交流側または直流側から侵入するサージ電圧は、サージ吸収装置により、整流器の許容最高電圧以下におさえられる.

SCR の制御回路は、トランジスタを 用いた演算増幅器形の増幅器 と、電圧帰還形速応性磁気増幅器を用いた移相制御回路から構成 され、制御の精度、応答速度が卓越しているのみならず、複雑な制御も簡単な回路構成で行なうことができる.

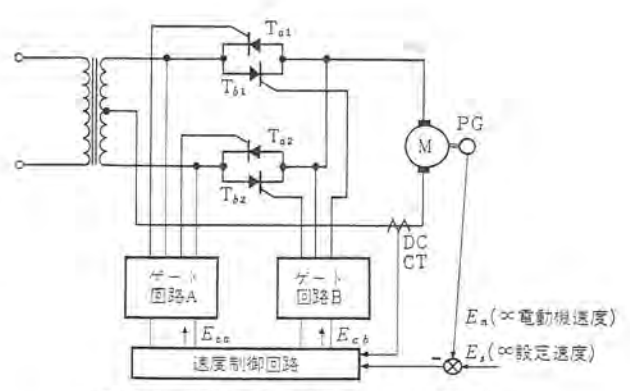


図 2.6 SCR による直流 モータ 制御回路 Fig. 2.6 The main circuit of DC motor control by SCR operation.

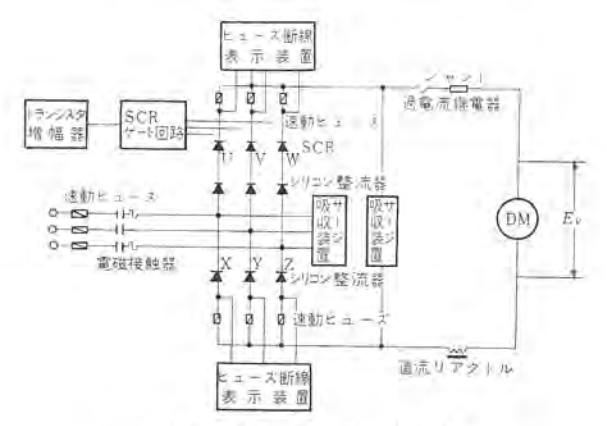


図 2.7 SCR 静止 レオナード 構成図 Fig. 2.7 Static Ward Leonard set by silicon controlled rectifier operation.

この SCR による静止しオードセット を用いて諸種の制御を行な うことができる。さきに述べた定電圧制御、および逆起電力制御 を行なえることはもちろんであるが、このほかのいくつかの制御 を以下に述べることとする。

図2.8 は速度制御回路であるが、直流電動機の回転速度をパイロット発電機で検出し、基準値との偏差をトランジスタ 増幅器で増幅してシリコン制御整流器を制御し、直流電動機の速度をレオナード制御する。この場合、負荷電流を検出して過電流制限を追加することもできる。このパイロット発電機による速度制御は、前に述べた電圧制御または逆起電力制御に比べて、精度のよい速度制御を行なうことが可能である。

図2.9は定電流制御回路であり、負荷電流の基準値からの偏差を増幅して直流電動機の電機子電流を制御し、直流電動機の発生トルクを制御する。この場合、電流基準値を他の回路の電流値とすることによって、その回路との電流平衡を行なうこともできる。また、同一の回路によって直流電動機のトルク制御を行なうことも容易である。

図 2.10 は縦続制御回路である。この回路は電源電圧変動が大きく、負荷変動の比較的小さな負荷において、しかも負荷のなんらかの特性(たとえば機械系の共振など)によって速度制御系の応答速度を上げることが困難な場合に好んで用いられる。この回路は電圧変動や負荷変動によって電動機の速度が変化するとき、その変化をまず電機子端子電圧で検出し速応的にこれを回復させるとともに、残余の微少速度変化をパイロット発電機で検出し、負荷の特性、たとえば機械共振系が影響を及ぼさないような速度でこれを回復させる方式であり、電源電圧の変動による影響はほと

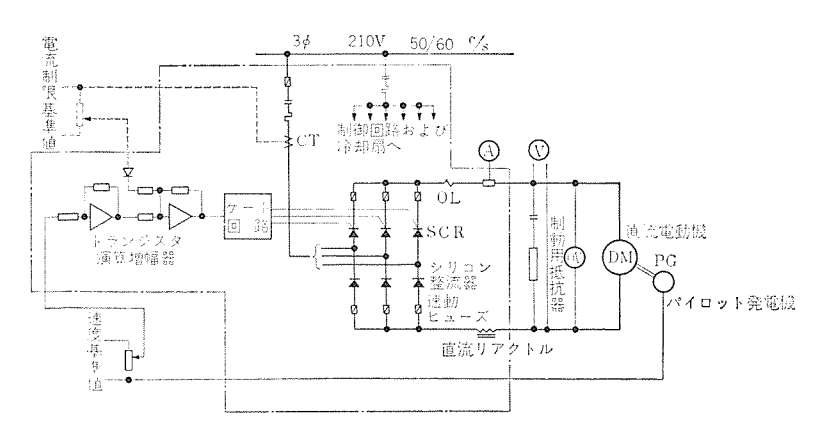


図 2.8 速度制御回路(過電流制限付) Fig. 2.8 Speed control circuit with current limitter.

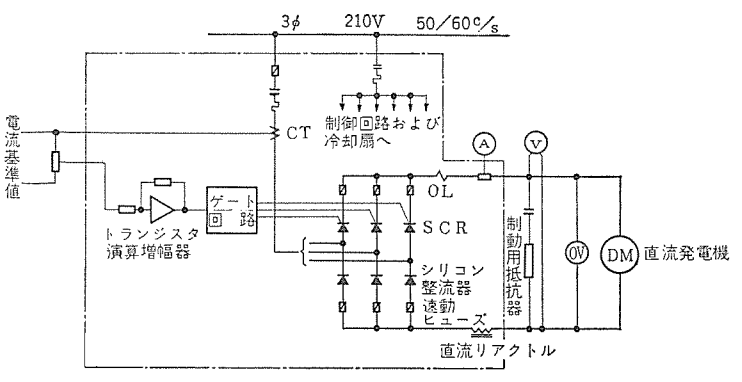


図 2.9 定電流 (負荷平衡・定 トルク) 制御 Fig. 2.9 Current control circuit.

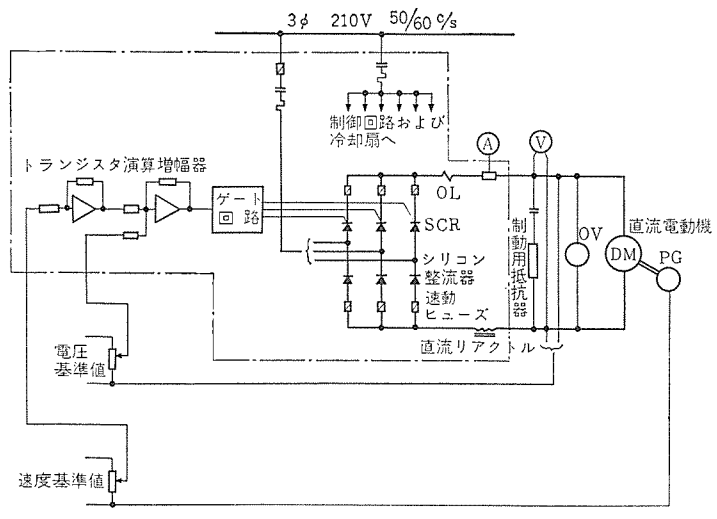


図 2.10 縦続制御回路 Fig. 2.10 Cascade control circuit.

んどうけず、負荷変動による速度変化もその大部分を急速に回復し、残余の微少速度変化も実用上さしつかえない程度の速さで取り除くことができる。この縦続制御回路は、また電圧の検出部を電流の検出にかえることによって任意の電圧変動率を有する軟特性の制御を行なうこともできる。

図 2.11 は 52 kW, 220 V の直流電動機駆動用静止 レオナードセット の外形写真である.

単相整流回路の場合と同様に三相整流回路においても正逆転を 行なう場合には、正転用および逆転用の2組の SCR セットが入用 である。また、全波整流回路を使用する場合には6脚のすべてに シリコン 制御整流器をそう入しなければならない。

図 2.12 に可逆転駆動用の静止 レオナード 装置の結線図を示す.

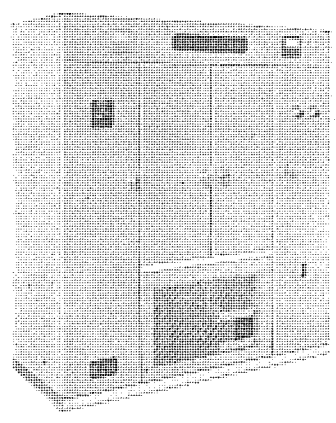


図 2.11 SCR 静止 レオナード 装置 (52kW) Fig. 2.11 SCR static Ward Leonard set.

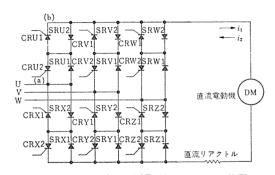


図 2.12 可逆転用 SCR 静止 レオナード 装置 Fig. 2.12 Static Ward Leonard system by silicon controlled rectifier operation for reversing drive.

図において, SR……は シリコン 整流器を示し, それぞれ CR…… で示す SCR と直列に入っている。今,図の a, b間に a が正の サージ 電圧が加わった場合には、この サ --ジ 電圧は, SRU-1 を通って SRU-2 の両端に加わり, CRU-2 は SRU-1 で短絡されているため、サージ 電圧は なんら加わらず、この SCR が逆方向電圧によって破壊 することのないよう考慮されている. 今, CR-1 の群の SCR のみに ゲート 信号を与え, CR-2 の群の SCR には ゲート 信号を与えないと、電流は、たとえばU相では SRU -1 および CRU-1 を直列に通り図中 i₁ で示す電流を流し, 直流電動機を正方向に加速または定速で運転する. CR-2 の群の SCR のみに ゲート 信号を与えると, 今度は電流 は SRU-2, CRU-2 を直列に通り、図中 i2 で示す電流を 流して直流電動機を減速または逆方向に駆動する. この 場合、直流電動機の回転数と指令値との偏差の正負によ って CR-1 グループ と CR-2 グループの SCR に選択して ゲ

-ト 信号を与えることにより、 直流電動機の回転を正逆転の両領域にわたり、指令値に追従して任意に変化させることができる.

3. 制御特性

SCR は電気弁であり、本質的に水銀整流器と同様の無慣性の制御要素であるため、水銀整流器を用いた静止レオナード制御で認められていると同じく速応性に富んだ高度の制御特性を発揮する.

SCR を三相全波整流回路に組んだ静止 レオナードセット の ゲート 回路を含んだ伝達関数 G(s) は式 (3.1) に示すとおりになる.

 $G(s)=(E_d/5\cdot\sin\alpha_0)/(1+0.0036\ s+0.00001\ s^2)$ …(3.1) となる。ただし E_d は直流回路の無制御時の出力電圧であり、 α_0 はその運転状態における位相制御角である.以下に、前記に示し

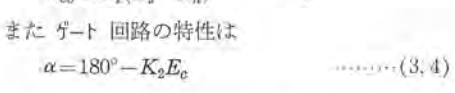
た各回路方式のうち単相全波整流回路を用いた可逆運転時の制御 特性と, 三相全波整流回路を用いた1方向運転時の制御特性につ いて説明する.

3.1 単相全波整流回路による可逆運転制御特性

回路は図2.6に示したと同一の回路方式である。制御は直流電 動機の回転速度に比例した電圧 E_n と指令電圧 E_s との偏差によ って SCR を制御して行なわれる。ただし入力としてはこのほか に直流電動機の突入電流を制限し、SCR に過度の電流を流さない ようにするため、直流電動機の電機子電流に比例する成分が与え られているが、これは SCR の位相制御角 α の進みを電機子電流 に応じて抑制する.

今, α の進み抑制作用を無視して Ε, と設定速度に比例する電 圧 E_s および ゲート 回路に制御電圧として与えられる出力 E_c と の関係を求めると,

$$E_n > E_s$$
 の場合には
 $E_{ca} = K_1(E_n - E_s)$
 $E_{cb} = 0$
また逆に $E_n < E_s$ の場合には
 $E_{ca} = 0$
 $E_{cb} = K_1(E_s - E_s)$



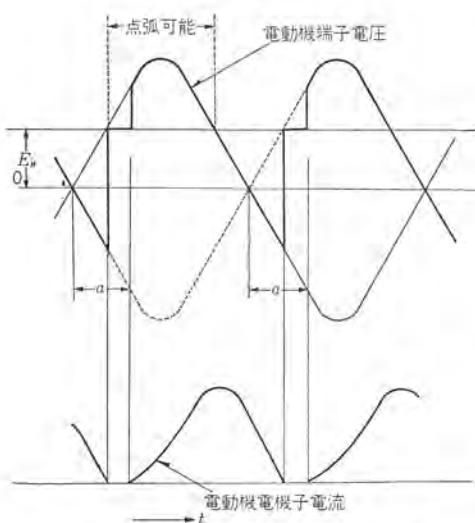


図 3.1 電機子電圧·電流波形 Fig. 3.1 Waveforms of armature voltage and current.

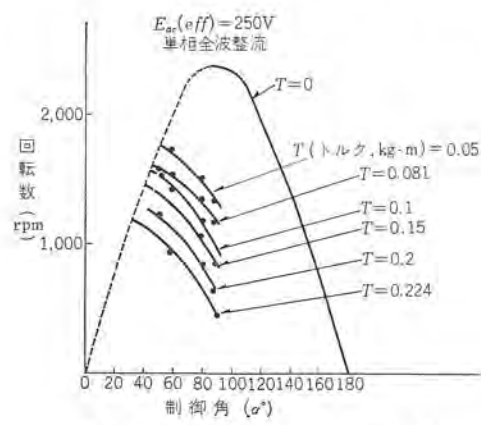


図 3.2 点弧角 α と回転数との関係 Fig. 3.2 Relation between firing angle α and motor speed.

したがって式(3.2),(3.3) および(3.4) から $E_n > E_s$ の場合には

$$\alpha_{\mu} = 180^{\circ} - K_1 \cdot K_2 (E_n - E_{\xi})$$

$$\alpha_{b} = 180^{\circ}$$

$$K \leq E \quad \text{and } k \triangleq k \pi / k^{\star}$$

 $E_n < E_s$ の場合には

$$\alpha_a = 180^{\circ}$$
 $\alpha_b = 180^{\circ} - K_1 K_2 (E_s - E_n)$ $\}$ (3.6)

となる.

ここで、 K2 は ゲート 回路の伝達関数である.

一方交流電源から、点弧位相αを制御する単相全波整流回路に より直流電動機を駆動するときは、直流電動機の速度にほぼ比例 する逆起電力のため、電機子電圧および電流は図3.1のようにな り, α を変化した場合の モータ の出力 トルク と速度との関係は, 100 W 220 V 電動機では図3,2のようになる、したがって,ある 設定速度 Est に対して トルク が変動しても、それに応じて αを移 動すれば E-9 速度 E_n はほぼ一定に保たれる。この場合、外乱 の大きさ 4b と速度変化 4n との比は式 (3.7) で表わされる,



図 3.3 モータ 速度と点弧角 a との関係 Fig. 3,3 Relation between motor speed and firing angle at a given reference speed.



図 3.4 モータ 急速反転時の キシログラム Fig. 3.4 Oscillogram of quick reversing of motor rotaltion.

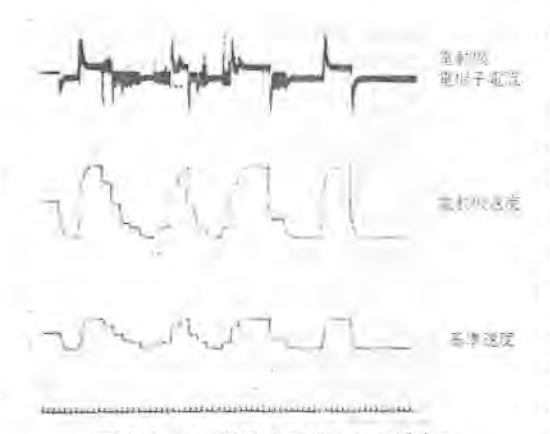


図 3.5 設定速度を変化させた場合の モータ 速度の追随性 Fig. 3.5 Ability to follow up the speed when reference is varied.

 $\Delta n/\Delta b = E_{d0}/K_1G(s)E_{s0}$(3.7)

ただし E_{s0} : 基準電圧 Edo: 無制御時

そのため, 速度変動を小 さくするためには

の直流電圧

K₁G(s)E_{s0} を大きくす ればよい。また外乱も小さ いほうがよいが、今、外乱 を負荷変化によるものとす れば,外乱は負荷の変動分 と電圧変動率との積となる ため、速度変化を小さくす るためには電圧変動率が小 さいほうが望ましい。しか るに、単相では図3.2に見 るように電流の断続によっ て電圧変動率は非常に大き いため、高度の制御性能を 要求される用途に対しては 三相整流回路を用いるほう が望ましい。

式(3.5) および(3.6) か ら Es が与えられたときの E_n に対する α_a および α_b の関係は図3.3のようにな るから、 $|E_n| > |E_s|$ の場 合は、そのときの回転方向 に加速するための SCR 群 の点弧はとまり, 反対側の SCR 群が点弧されるよう になり,回生制動またはう ラッギッグ 制動が行なわれる. しかし, プラッキング制動を行 なう場合には, 直流電動機

に大きな突入電流が流れ、SCR を破壊するおそれがあるので、前記のように、直流電動機電機子電流に応じた α の制御を行なって突入電流を制限する。この場合、直流電動機の電機子電流に比例する成分を制御系に加える代わりに、過電流制限回路を制御系に付加すれば、この過電流はもっと有効に抑制することができる。図 3.4 は指令値を E_s から E_s に変化させた場合の過渡現象の一例を示しているが、約 E_s を任意に、しかも急激に変化させた場合の E_n の追従性を示しているが、これからそのすぐれた特性を知ることができる。

3.2 三相全波整流回路による1方向運転制御特性

この場合の回路は図2.7に示すとおりである。制御は直流電動機の電機子電圧 E_v と指令電圧 E_s との偏差によって SCR を制御して行なわれる。この場合の f_{-1} 回路も含めた SCR による静止 ν オナード 装置の伝達関数 G(s) は電流が断続せぬ範囲において式 (3.8) に示すとおりとなる。

$$G(s) = \frac{(E_d/5)(\sin \alpha_0/2)}{1 + 0.0036s + 0.00001 s^2}$$
 (3. 8)

電流が断続する領域では、この伝達関数は式(3.9)に示すように変形されるが、

$$G(s) = \frac{(E_d/5) (\sin \alpha_0 - \sin (\alpha_0 + \beta)}{1 + 0.0036 \ s + 0.00001 \ s^2} \dots (3.9)$$

ただし βは通流角

$$L = (0.85 \times 10^{-2}) E_{d0}/I \cdots (3.10)$$

ただし I: 定格電流, E_{d0} : 無制御時の直流電圧 L: インダクタンス

図3.6 および図3.7 は電流が連続して流れている場合および断続して流れている場合の直流電圧および電流波形の オシロ であるが, これからみてこの回路の動作は, 零相陽極付三相整流回路の動作にきわめて類似していることがわかる.

また、ゲート 回路に制御信号として与えられる電圧 E_c は式 (3.11) によって表わされる.

$$E_c = K_1(E_n - E_s)$$
(3.11)

また, ゲート 回路の特性は式(3.4)で表わされるため,

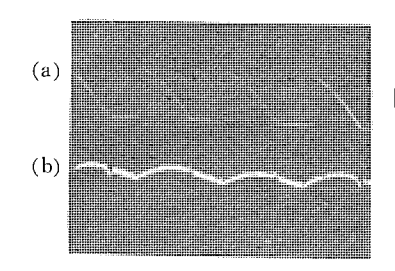
$$\alpha = 180^{\circ} - K_1 K_2 (E_n - E_s)$$

となる.

この装置の周波数特性をしらべると、cross over frequency は 50 rad/sec の近辺となり、これによって制御系の応答はきわめて速いことが推測できる.事実、図 3.8 および図 3.9 はこの制御系に ステップ 状の負荷外乱を与えた場合の過渡特性を、自動制御を行なっている場合と行なっていない場合について、おのおの測定した オシロ であるが、この結果から制御系の応答はきわめて速く、過渡偏差もほとんど現われておらず、また定常偏差もきわめて小さく、満足すべき定電圧制御を行なっていることがわかる.この過渡応答特性は、6 脚のすべてに SCR を用いた場合とほとんど差異がない.

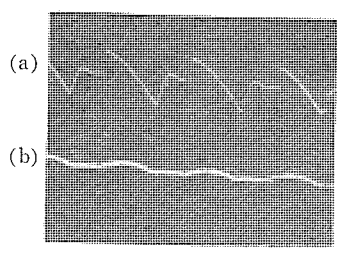
4. 直流電動機の開閉制御

小形直流電動機をパイロット電動機として使用する場合には、急



- (a) 直流電圧波形
- (b) 直流電流波形
- 図 3.6 直流電圧電流波形 (電流連続) Fig. 3.6 DC voltage

Fig. 3.6 DC voltage and current wave form. (current continuous)



- (a) 直流電圧波形
- (b) 直流電流波形
- 図 3.7 直流電圧電流波形 (電流断続)

Fig. 3.7 DC voltage and current wave form. (current interrupted)

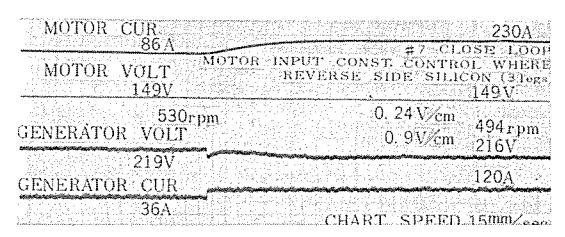


図 3.8 静止 レオナード 装置出力電圧変動 (自動制御しているとき)

Fig. 3.8 Out put voltage of static Ward-Leonard system (with automatic control).

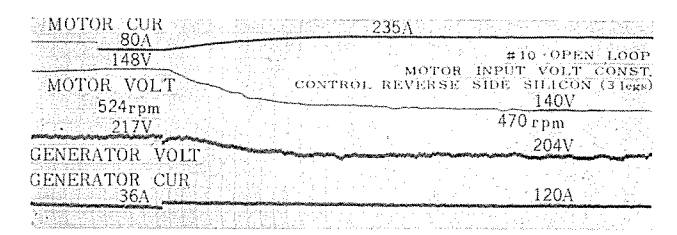


図 3.9 静止 レオナード 装置出力電圧変動 (自動制御していないとき)

Fig. 3.9 Out put voltage of static Ward-Leonard system (without automatic control).

速で正確な起動および停止を行なわなければならない.したがって電動機の急速な停止のためには、電源側からの直流電流が シャ 断されて、後ただちに電機子を短絡して制動する必要がある.たとえば、車両用パイロットモータのようにひんばんに起動、停止が繰り返され、しかもその作動が迅速かつ確実でなければならない場合には、スイッチとして従来の機械的スイッチを用いることは接点の消耗のはげしいことから寿命、信頼性の点で難点があるが、SCR を適正な条件のもとで、静止スイッチとして使用すれば、SCR の小形軽量、長寿命、高制御利得などの利点とあいまって、上記要求を十分みたすものが得られる.

図4.1 および図4.2 は直流電動機の開閉制御に SCR を用いた場合の基本回路および各部の電圧電流波形である.

図 4.1 において、SCR T_1 に f_- ト の所要の制御 f_{NJ} 電流を与えると、 T_1 は直ちに g_- ンオン し、導通状態に入り電機子電流を流し始め、電動機は起動する。同時に転流 コンデンサ C_a は、抵抗 R_a を通じて SCR T_2 の陽極側につながるほうが正になる方向に充電される。SCR が導通状態にある時の正方向電圧降下は、 $1\sim1.5$ V 程度であるから、 C_a の最終充電電圧はほぼ直流電源電圧に等しい。つぎに、図 4.2 の時刻 t_3 において、SCR T_2 の f_- トに制御 f_{NJ} を与え、 T_2 を導通状態にすると、 C_a の放電電流に

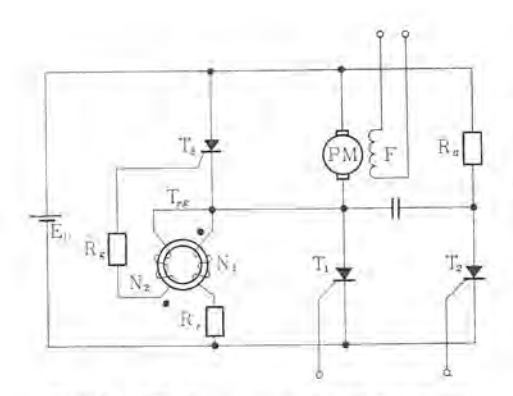


図 4.1 直流パイロットモータ の無接点制御回路 Fig. 4.1 Contactless control circuit of DC pilot motor.

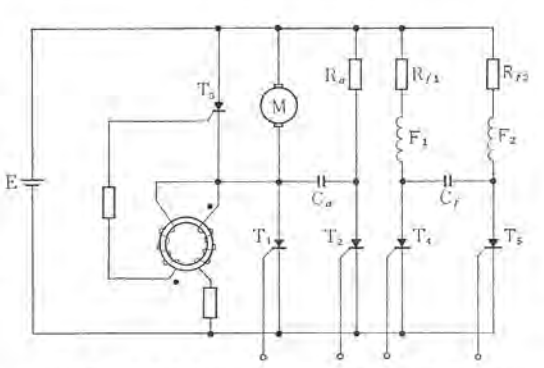


図 4.3 界磁巻線切り換えによる モータ の正逆転 Fig. 4.3 Reversing drive of motor by changing field winding.

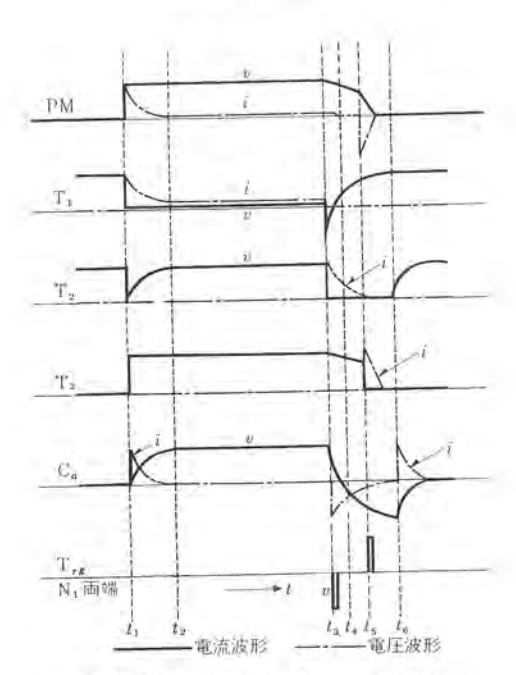


図 4.2 図 4.1 の各部電圧・電流波形 Fig. 4.2 Voltage and current waveforms in Fig. 4.1.

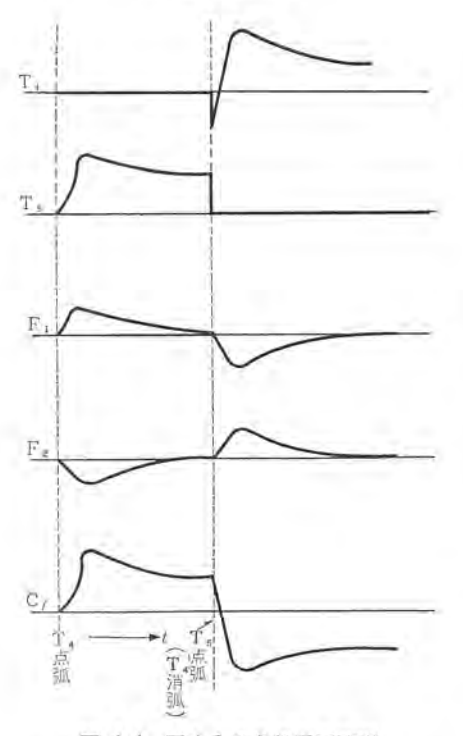


図 4.4 図 4.3 の各部電圧波形 Fig. 4.4 Voltage waveforms in Fig. 4.3.

よりそれまで T_1 を流れていた電流は強制的に 5+ 断される。その後、 C_a は電機子を通じて放電しつづけるが、時刻 4 からは今までと逆方向に充電されはじめ、SCR T_1 には、再起電圧として正方向電圧が印加される。 t_3 と t_4 の時間差、すなわち、余裕時間 t_a は電機子の T_2 ピーダンス と T_3 の容量により決まる。この時間が、 T_1 の 3- シカ 時間 T_3 より短かいときは、 T_1 はふたたび導通状態に入り、いわゆる転流失敗のおそれがある。 T_3 はふたたび導通状態に入り、いわゆる転流失敗のおそれがある。 T_3 はふたたび導通状態に入り、いわゆる転流失敗のおそれがある。 T_3 はるたたび導通状態に入り、いわゆる転流失敗のおそれがある。 T_4 とを認めてから T_5 を導通状態とし、電機子を短絡するため、角形 T_5 とで直流電源を短絡することがない。 T_5 によって電機子が短絡されれば、電機子はすみやかに制動されるとともに、 T_6 の逆充電もすみやかに完了し、あとは T_6 に抵抗 T_6 を通る電流が流れつづけようとするが、 T_6 の抵抗値を大きくして、その電流が T_6 の最小保持電流以下になるようにすれば、 T_6 の逆充電完了とと

もに、SCR は自然に非導 通となり、すべての状態 はまったく起動前の状態 にもどる。

直流電動機の回転方向 の変換を無接点で行なわ せようとするとき,2個 の界磁巻線がある場合に は,前と同様にSCR2個 を用い,図4.3の回路で 迅速確実に行なうことが できる。図4.4は実験例 における各部の波形であ

5、 む す び

SCR は, その特性上, 直流電動機の駆動には好 適の要素である. そのた め、これを用いた静止レ オナード 装置は SCR の利 用の分野で, きわめて大 きた地位をしめるものと 思われる。 当社では、す でに数百Wから数十kW までの静止 レオナード 装 置の試作を完了し, 百数 +kW までの静止 レオナ -ド装置の標準回路を決 定した。また、そのうち いくつかはすでに実用に 供されている. 今後, SC Rの容量の増大とあい まって、大容量直流電動

機の制御に シリコン 整流器を用いた静止 レオナード 装置が用いられる日もさほど遠くはないであろう.

参考文献

- (1) 岡,坂東,大島: シリコン 制御整流器の応用 「三菱電機」 36, No. 7, 851 (昭 37).
- (2) 吉田,高岡,川合: シリンン制御整流素子による電動機制御 「三菱電機」36, No. 5, 638 (昭 37).
- (3) 細野,山村: שבועة 制御整流器による直流電動機の制御 「三菱電機技報」36, No. 12 (昭 37).
- (4) 加藤, 室賀, 小林、岡: 制御電極付 シリコン 整流素子とその応用 「三菱電機」34, No. 12, 1617 (昭 35).
- (5) 青木: 直流電動機制御と水銀整流器の利用 「芝浦レビュー」15, No. 7, 249 (昭 11)

SCR の 小 容 量 直 流 電 動 機 へ の 応 用

吉田太郎*•梶野幸男*

Application of Silicon Controlled Rectifier to DC Motor Control

Nagoya Works Tarō YOSHIDA • Yukio KAJINO

In the past variable voltage control devices for DC motors using magnetic amplifiers or thyratrons were produced in quantities by Mitsubishi. On the other hand variable voltage control devices for DC motors with SCR (silicon controlled rectifier) built for trial have resulted in better operating characteristics, more economy and smaller size than the old devices. Since than all variable voltage control devices for DC motors have been built with SCR, their capacities ranging from several hundred watts to a few kilo-watts. They are used for machine tools and for many other purposes. Also those ranging from several watts to one hundred watts have come into practical use for business machines.

1. まえがき

工作機では、数kW 以下の小容量の電動機を使用する場合が多 く,従来は交流電動機の極数変換とか,電磁式 クラッチ により段 階的に変速していたが、工作機の高能率、高性能と自動化の推進 を目的として広範囲で無段階の速度制御の要求が多くなってきた. この要望にこたえて5年ほど前、磁気増幅器式の静止 レオナード を 開発し、その後実用的なものとしてかなり広く使用されてきた. ところが2年ほど前からこの静止 レオナードの SCR 化を図り、従 来のものより小形化されるとともに特性が改善され、その上経済 的なものが得られるようになり、現在では全面的に SCR 式のも のに切換え、用途もさらに一層広くなった. また複写機などの事 務用機械においては、数 W~100 W 程度で広範囲 (1:10~1:30) の速度制御が要求されているが、これに対し従来は高精度のもの に サイラトロン 制御のものを使用し、普通は スライダック のものが使 用されている. 事務機械においては、特性がよいこととともに安 価であるということがとくに要望されており、これらの SCR 化 はとくに安価なものが得られよう点弧回路に特別な考慮を払う必 要がある. ここでは現在実用されているもののうち代表的なもの を紹介しよう.

2. 単相全波式 SCR 制御

研削盤の主軸,あるいはト(低)石軸電動機,フライス 盤の テーブル ヘッド の送り電動機などは,数 100~W~数 kW のものが多く,この程度の容量の場合は単相全波式のものが実用的である.

2.1 回路構成と動作特性

単相全波の回路はいろいろあるが、図 2.1 のものは現在最も広く実用しているものである.

この回路では SCR を逆並列に接続し、その交流出力を シリコン整流器で全波整流し、直流 リアクトル を通じて直流電動機に可変直流電圧を供給するようにしている. SCR の点弧制御回路は トランジスタ 無接点 リレー の論理要素 (トランジスタサイパック)(2)の組み合わせで構成している.

図 2.1 において簡単に動作の説明をしよう.

変圧器 Tr_1 の二次電圧を全波整流し、この出力をきょ(鋸)歯状波発生回路 $^{(1)}$ の入力とする、きょ歯状波発生回路 $^{(1)}$ の入力

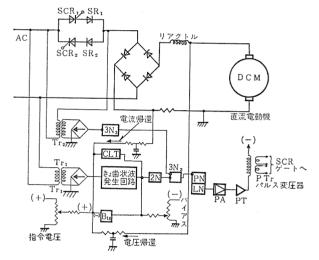


図 2.1 直流電動機の SCR 制御 (単相全波方式) Fig. 2.1 Voltage control of DC motor by SCR.

信号と同じ周波数, すなわち電源周波数に同期したきょ歯状波を 得る.

このきょ歯状波電流と、制御入力とを重畳し、その出力を 2N, $3N_2$, PN, LN, PA, PT で整形増幅して、 \mathcal{L}_{NN} 変圧器 PTr を通じて SCR の \mathcal{L}_{NN} に点弧制御入力を入れている.

この回路では、制御入力として指令電圧を直接 2N に入れず、前段増幅器 B_{18} を通してその出力を負のきょ歯状波出力と組み合わせ、その差電流を 2N の入力としている。 B_{18} は 3122928 暗流の少ない 523229 を用いており、さらに周囲温度の変化などによる増幅率の変化を少なくするように考慮されている。 B_{18} に正の入力を与えると、正の出力電流は減少する。したがって 2Nの動作する時間は早くなり、SCR の点弧位相は進む。すなわち直流制御入力に比例して SCR の点弧位相は推移し、直流電動機への印加電圧は減少する。

この前段増幅器 B_{18} の入力へ指令電圧を与え速度を検出し、負帰還して自動制御すれば閉回路利得は大きくなり、精度の高い速度制御ができる。速度の検出はパイロット 発電機を設ければとくに精度が高くなる。普通は電機子電圧と電機子電流を組合せて近似的に速度を検出することができ、これで実用的には十分である。

図 2.2 は パイロット 発電機により速度を検出した場合であり、

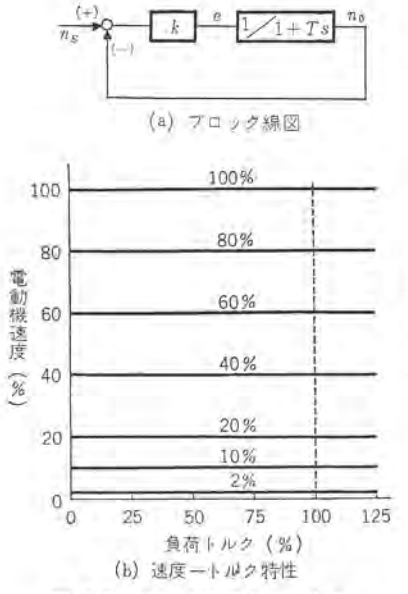


図 2.2 PG で帰還する場合の ラロック 線図と速度 - トルク 特性 Fig. 2.2 PG feed back control.

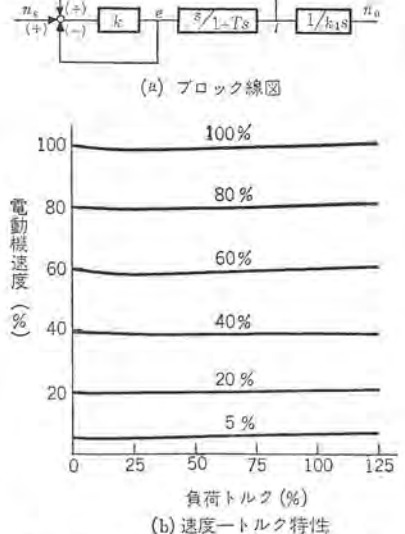


図 2.3 電圧,電流を帰還する場合の ブロック 線図と速度 - トルク 特性 Fig. 2.3 Voltage and current feed

Fig. 2.3 Voltage and current feed back control.

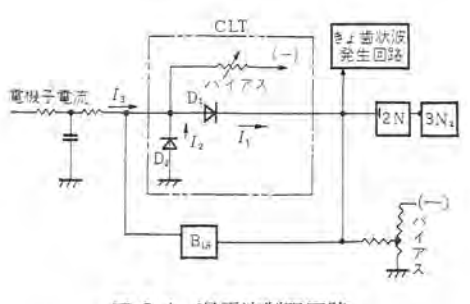
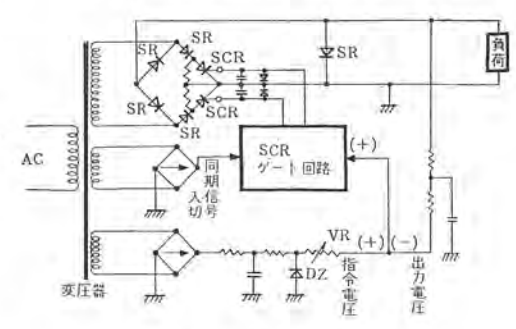


図 2.4 過電流制限回路

Fig. 2.4 Over-current limiting circuit.



SR: シリコン整流器 DZ: ゼナーダイオード

図 2.5 SCR 式直流定電圧装置

Fig. 2.5 Automatic DC voltage regulator with SCR.

負荷 hルク と速度は直線的に変化し、速度変動率は定格速度の 0.5%~1% 以内に入っている.

図 2.3 は電機子電圧、電流の組合せにより近似的に速度を検出した場合の負荷トルクと速度変化を表わしている。図 2.3 によれば速度変動は負荷トルクが定格の 25~50% 近くで最も大きく、その後負荷トルクとともに速度が少し上昇する傾向を示している。

過渡特性もパイロット発電機を使用するほうがすぐれているが、 実用的には後者の場合で十分である。この装置においてとくに考 慮されている二、三の点について説明しよう。

(1) SCR 失弧防止

電動機は速度に比例した逆起電力を誘起しているので、電動機の瞬時値がこの逆起電力より高くなる位相角になった後、SCR のゲートに点弧電流が流れるようにすることと、SCR に十分大きな点弧電流を流すとともに、導通した後はすみやかに出力トランジスタ (PT)を不導通にして、点弧電流をパルス状にすることが望ましい。そのために図 2.1 に示すように、きょ歯状波発生回路の入力は電源電圧からとっているが、一方変圧器 Tr_2 を通して SCR 端子電圧を $3N_3$ (NOR 素子) に導き、 $3N_3$ の出力を $3N_2$ に入れている。このようにすることにより、SCR が点弧した後すみやかに出力トランジスタ (PT)を不導通にする効果のほかに、点弧位相角が進み過ぎて失弧するおそれのある場合、自動的に抑制する効果をもっており、非常に安定した制御動作が得られる。

(2) 過電流制限

速度は電機子に誘起される逆起電圧に比例するから、速度の負婦還は電機子電圧を負帰還し、電機子電流を正帰還することになる。一方過負荷になった場合、SCR を保護する目的で過電流がある一定値($150\sim200\%$)以上になった場合、負帰還し SCR 出力を減少させるようにする必要がある。この二つの目的で、図 2.4 に示すように、電機子電流分を前段増幅器 B_{18} の前と後(2N の前)に入れているが、有効に作動している。主要部は2 個の 34 オード (D_1 , D_2) と、可変 パイアス からなっている。 D_2 にはまえもって I_2 なる負の パイアス 電流を流しておき、電機子電流が増加して $I_3 > I_2$ なる値から、34 オード D_1 には I_1 ($=I_3 - I_2$) なる電流

が流れ、これを 2N の入力へ入れれば、電機子電流を負帰還する ことができる。

(3) 定電圧装置と界磁制御

電源電圧の変動,とくに過渡的な変動に対しても速度が変化しないようにすることが望ましい用途も多い.そのためには指令電圧を一定にするとともに、界磁電圧も一定にする必要がある.

図 2.5 はそのためのもので、SCR を使用した直流定電圧装置である。また低速部分を電機子電圧制御し、高速の部分を界磁電流制御する場合は、この直流定電圧の基準電圧を調整することにより容易に遠隔制御ができ1石2鳥である。

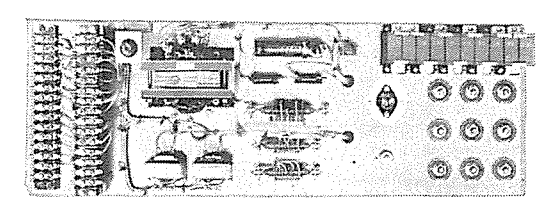
この定電圧装置を静止レオナードに使用すれば、電源電圧が定格 値の ±10% 階段的に変化する場合、電動機の過渡速度変動率は 設定速度の ±3% 以内である。

図 2.6 は精密立 テ 中ぐり盤の テーブル 送り 2kW, ヘッド 送り 1kW 用の静止 レオナード を組込んだ制御盤,図 2.7 は、ホブ盤の

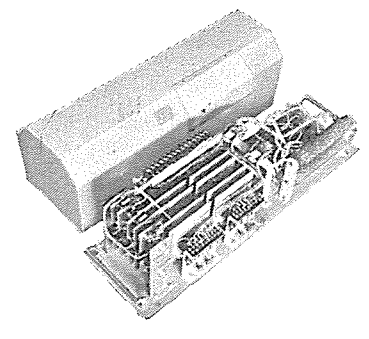


図 2.6 静止 レオナード 制御盤 (テーブル 送り用 2kW, ヘッド 送り用 1kW)

Fig. 2.6 SCR control panel for 1k W and 2kW DC motor.



(a) SCR 点弧位相制御盤



(b) SCR 出力装置図 2.7 ホブ 盤用 4 kW 静止 レオナード 装置

Fig. 2.7 SCR firing phase control panel and SCR power unit for 4 kW DC motor of hobbing machine.



図 2.8 フライス 盤 テー ブル 送り用静止 レオナード 装置

Fig. 2.8 Variable voltage control panel for table feeding of milling machine.

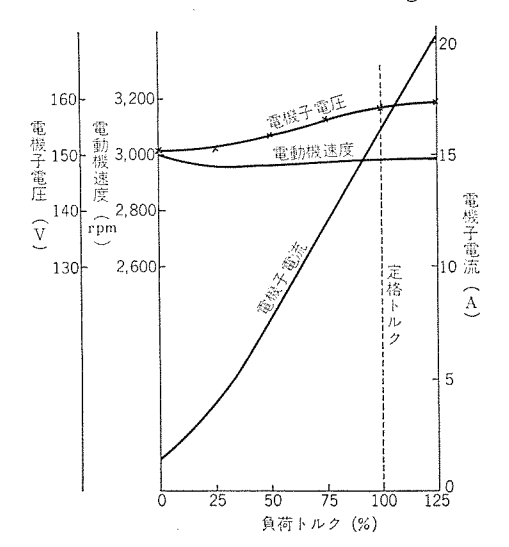


図 2.9 静止 レオナード の制御特性 Fig. 2.9 Static characteristics of variable voltage control for DC motor.

主軸 4kW 電動機用の SCR 制御部とその出力部を示す.

図 2.8 は フライス 盤の テーブル 送り用 $2.2\,\mathrm{kW}$ 用静止 レオナード 装置であり、図 2.9 はその試験 データ の一部で、速度制御範囲 1:30 において速度変化は $50\sim100\%$ 負荷変化するとき、設定 速度の 5% 以下になっている.

3. 単相半波式 SCR 制御

複写機などの事務機械における駆動電動機は数 W~100 W 程度のもので、工作機用ほどの精度は必要とされないが広範囲の安定した速度制御が必要とされ、その上とくに小形で安価であることが要求される。ここに紹介するものはこのような要求にこたえて開発したもので、きわめて実用的なものとして広く使用されようとしている。

3.1 回路構成と動作

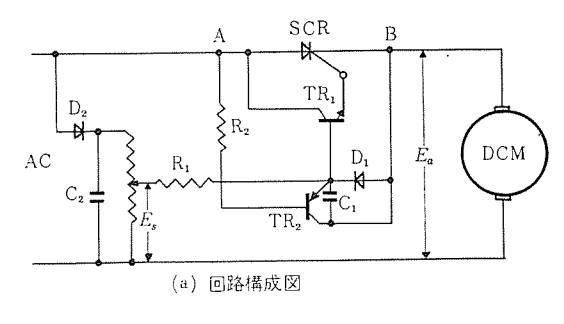
図 3.1 はこの方式のもので主要部を示す. 図 3.1 に示す回路

において SCR の点弧位相がどのように制御されるかについて説明しよう。

つぎに交波電圧の位相が反転し接続点 B が A に対して正電位となる区間においては,B から D_1 , TR_2 , R_2 を通して A へ電流が流れる。このとき TR_2 により D_2 D_2 D_3 D_4 D_4 D_4 D_5 D_5 D_4 D_5 D_5 D_5 D_5 D_5 D_6 D_6

図 3.2 に SCR 半波制御方式の直流電動機制御装置を示す. これは 100 V 交流電源に接続すればそのまま直流電動機の速度 制御ができるようになっている.

図 3.3 は半波制御による電動機の負荷 トルク と速度の関係を示



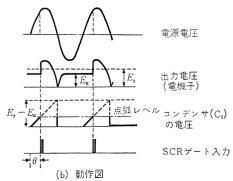


図 3.1 直流電動機の SCR 制御(単相半波方式) Fig. 3.1 SCR half wave control of DC motor.

三菱電機技報・Vol. 37・No. 5・1963

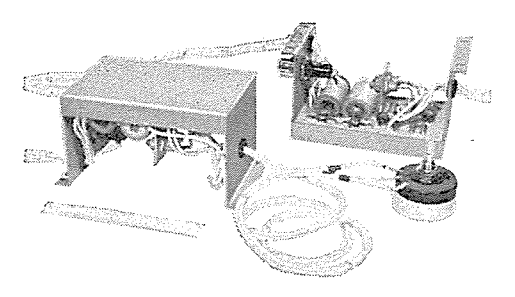


図 3.2 SCR 制御装置 (75W)

Fig. 3.2 SCR DC motor control unit for business machine.

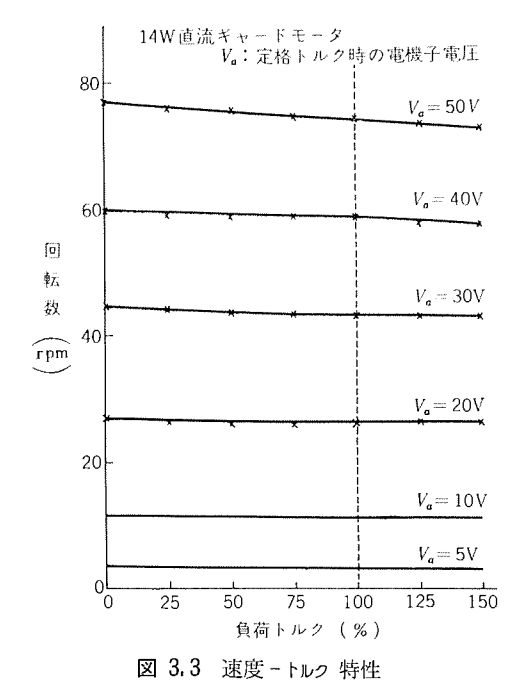


Fig. 3.3 Speed-torque characteristics of DC motor with SCR control.

すものである. 速度変化 1:30 において設定速度の約 5% の変動率である.

4. む す び

以上 SCR を応用した単相全波制御方式 (0.5~4 kW) および 単相半波制御方式 (数 W~数百 W) の静止 レオナード についてその概要と製品について紹介した。 4 kW 以上の直流電動機制御には三相全波制御方式のものがより経済的である。

最近の エレクトロニクス 技術(とくに SCR の出現とその応用技術) の進歩により、今まで少し立ち遅れていた直流電動機の制御分野にも、大きな期待がもてるようになった.

従来はとかく電動機の無段変速装置は大きくなり,高価のものであるという概念があって,工作機などの比較的小容量のものにはあまり使用されていなかった。われわれはこの分野において手軽に使用できるものにするため,SCR の出現と同時に,小形化,特性の向上,そして安価な装置にすることをめざし,十分実用的な電動機の速度制御装置を提供できるよう努力してきた。とくにSCR 半波制御による装置は数 W~100 W 程度の事務機械用小容量直流電動機の 257490 による速度制御装置や,5000 による速度制御装置や,5000 にとき定速度制御するものに対して,特性的にはいうまでもなく,構造的にも小形で価格の点でも十分代わるものとして大いに期待できる。

また SCR と トランジスタ 無接点 リレー 制御を併用することにより、直流電動機制御はより高度な自動制御装置の一役を負って、今後さらに応用分野を開拓し、実用化されることであろう.

参考文献

- (1) 吉田, 高岡, 川合: פרט 制御整流素子による電動機制御「三菱電機」, 36, No. 5 (昭 37).
- (2) 吉田, 酒井, 宮: トランジスタリレー 制御方式, 「三菱電機」, 34, No. 12, p. 112 (昭 35).

| 年月日 | 主催または開催場所 | 演 | 題 | 講 | 演 | 者 | | 所属 | 場所 |
|-------------|----------------|------------------------------|---------------|------------------|----------|-----|-----|----|-----|
| 37-11- 3~ 4 | 日本非破壞検査協会 | 超音波探傷の直線性につ | いて | 大鳥羽幸河 野 勝 | 太郎・ 美 | 東田孝 | 彦 | 無利 | 泉機 |
| 37-11- 8 | 照明学会北海道支部 | スーパーライフ 水銀 ランプ に | ついて | 牧野六 | | | | 大 | 船 |
| 37-11- 8 | 照明学会東京支部 | スーパーライフ 水銀 ランプ に | ついて | 大盛真 | | | | 大 | 船 |
| 37-11-10~11 | 電気関係学会関西支部連合大会 | トランジスタパルス 発生器の | 温度特性 | 中村信 | 弘 | | | | 泉機 |
| 37-11-10~11 | 電気関係学会関西支部連合大会 | サイマルテニヤスロービングアンテー 波 ダイポール | ナ用 ターンスタイル 円偏 | 渡部篠原英 | 優・若 男 | 田和 | 明 | | 泉機 |
| 37-11-10~11 | 電気関係学会関西支部連合大会 | サイマルテニスロービング 方式え | 追尾装置の システム | 樫本俊 | | | | 無利 | 良機 |
| 37-11-10~11 | 電気関係学会関西支部連合大会 | 追尾 アンテナ の油圧駆動の | O問題点 | 若 田 和 石 井 康・ | 明・遠 一 | 藤義 | 昭 | 無彩 | 良機 |
| 37-11-10~11 | 電気関係学会関西支部連合大会 | サイマルテニヤスロービングアンテ | t | 竹内政: | 和・篠 | 原英 | 男 | 無級 | 浪機 |
| 37-11-10~11 | 電気関係学会関西支部連合大会 | 二進 カウンタ による二次側 | 身数発生器 | 大鳥羽幸; | 太郎 • 太 | 石田哲 | 1 | 無級 | |
| 37-11-10~11 | 電気関係学会関西支部連合大会 | 符号 パルス 圧縮 レーダ 方 | 式 | 近藤輝 | 夫 | | | 無緩 | 機 |
| 37-11-10~11 | 電気関係学会関西支部連合大会 | レーダの パルス 幅圧縮 | | 中司浩生 | 生 | | | 無緩 | 機 |
| 37-11-12 | 電気関係学会関西支部連合大会 | テレビ 画像の改善について | | 植竹勝。 | \ | | | 無紡 | ! 機 |
| 37–11–16 | 電気通信学会講演会 | パラメトロン 式低速度 データ | 伝送装置 | 鈴 木 昌 5 竹内康太郎 | 三・江 | 塚田 | . [| 無紡 | |

SCRのインバータへの応用

河 合 正*·岡 久 雄*·杉本盛行**·大島征一**

Application of Semiconductor Controlled Rectifiers to Inverters

Research Laboratory Tadashi KAWAI • Hisao OKA • Moriyuki SUGIMOTO • Masakazu OSHIMA

The latest development of semiconductor controlled rectifiers (SCR) has brought about gradual changes in inverter application which was under a certain restriction in the past. Having many excellent performances, the SCR still needs solutions of numerous problems on the circuits inherent to devise SCR inverters and also of a good many technical questions so as to have the best advantage of it. In an aim of the complete solution, Mitsubishi has built a 500 W 120 cycle SCR inverter for trial and achieved almost anticipated results. This device is a series inverter having a feature of regenerating a part of output power on a DC source side. It has simple construction, little output voltage variation and excellent operation stability, being completely transistorized on gate control circuits, adequate for control of inverter output frequency and capable of positive start and stop.

1. まえがき

古くから,回転機にかわるすぐれた静止形周波数変換器の実現を目指して多くの研究開発が行なわれてきたが,当社も絶え間ない研究^{(2)~(11)}を続けた成果ついに直列インパータの二つの回路方式を生み,その中の一つについては既に実用化の経験も得⁽⁷⁾ている。しかしながらこれまで実用化された装置⁽¹⁾⁽⁷⁾は電気弁として水銀整流器や大形サイラトロンを使用した比較的大容量のものばかりで,小容量,とくに高周波のものの分野はそれに適する電気弁がないことや,装置の経済性に問題があるなどの事情であまり実用化が進まないまま放置されていた。この状態はきわめて長い間続いたが最近になってようやく半導体制御整流素子(以下 SCR と呼ぶ)が出現し,これまで制約されていたインパータの応用分野は大きく一変するきざしが見えてきた。

ことにとりたてていうまでもなく、SCR は多くのすぐれた性能を有しているから、これをインパータの回路素子として使用した場合当然これらの利点はそのまま装置の長所として取り入れられるであろう。しかし、SCR は試作の段階を脱して目も浅く、インパータ用素子としての応用実績も十分とはいえないだけに、半導体にありがもな欠点に対する不安が完全にぬぐいさられたわけではない。一方 SCR インパータ 自身にも インパータ 固有の回路上の問題や SCR の特長を十分生かすための技術的問題など、改めて解決しなければならない多くの問題が取り残されている。われわれは先ごろからこれらの全面的な解決を目標として 500 W、120 c/s のインパータを試作し、これについて詳細な試験を続けて来た。

この $1 \circ N - 9$ は本来,汎用電源として使用するために開発されたものであるが,その周波数,容量は便宜上近時需要の出て来た車両用磁気増幅器の電源(II) として手ごろな値に選ばれている.この $1 \circ N - 9$ では余裕角が SCR の $9 - 0 \circ 1 \circ 19 \circ 10$ で大きくとれ,したがって運転の安全度は十分すぎるぐらいあるのでこれをさらに高い周波数のものに変更することはもちろん可能である.この装置のおもな特色はつぎのとおりである.

(1) 汎用電源として正弦波出力を得るために改良形直列 インバータ の原理を採用している.

- (2) 新たに考案した電力回生方式を用い インバータ 固有の特性を 大幅に改善している.
- (3) SCR の制御回路および、過電流保護回路はすべて トランジスタ 化し、実用装置の標準方式として直ちに適用されるよう設計している
- (4) SCR の特長を発揮させるために装置全体が小形軽量となるよう配慮している.

最近における試験の結果,この装置が所期の性能を持つもので あることが確認できたのでここにその詳細を紹介したい.

2. 電力回生方式改良形直列インバータの概要

2.1 改良形直列インバータの動作原理

自励式 インバータ を大別すると直列形と並列形に分類されるが, 一方これを出力波形によりしいて分けるならば方形波 インハータ と 正弦波 インバータ に分類することもできる. 方形波 インバータ は従来 パワートランジスタ を用いたものが主として開発されてきたが, 最近で は SCR を用いたものも含めて種々新しい回路方式が考案されて いる.とくに方形波 インバータ は回路素子の節減により装置を小 形軽量にできことや、DC-DC 変換器その他の特殊の用途に適す るなどの特長を有している. これに対し正弦波 タイプ は広範な用 途に適用できるという長所はあるが同一容量の方形波 タイプ に比 べ装置の容積が多少大きくなる傾向がある.このように両者の本 質的な差異は認められるが、その優劣は一概に論じられるもので はなく、むしろ用途に応じてこれを上手に使い分けることこそ賢 明といえるだろう.この報告の装置は正弦波 インハーータ を対象にし たもので、著者らがこれまで汎用電源として開発してきた改良形 直列 インハータ⁽⁷⁾ についての経験を活かしたものである.本節では 説明の都合上改良形直列 インパータ の動作原理についてのあらまし を述べることにする.

図 2.1 (a) は改良形直列 インパータ の基本的な回路である。この回路では、SCR T_1 . T_2 が周波数 f_0 の制御電源から 180° の位相角で交互に付勢されることにより、直流電源 E_d から転流 リアクトル L、転流 コンデンサ C を経て負荷 R、並列 コンデンサ C_p 、および並列 リアクトル L_p から成る負荷側回路に交流電流 i_0 を供給す

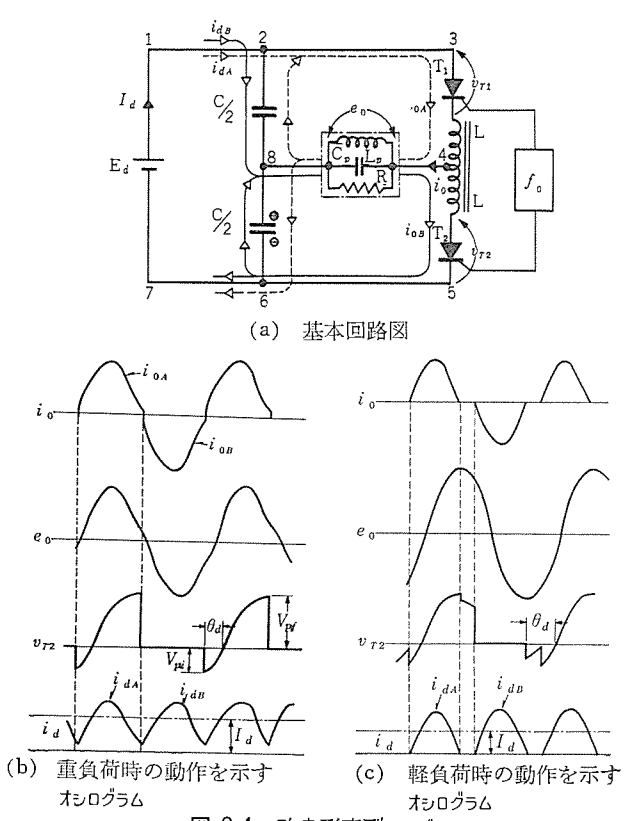
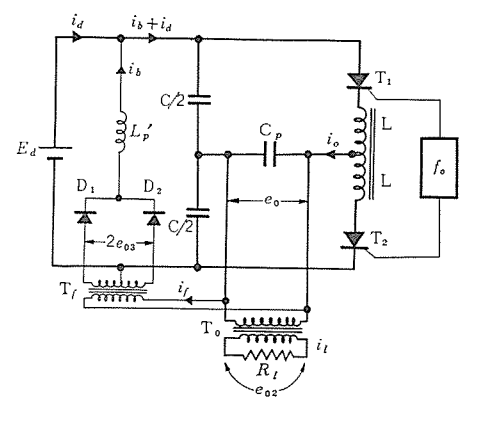


図 2.1 改良形直列 インパータ Fig. 2.1 Inproved series inverter.

る. これを定常動作状態について説明すると、まず $SCR\ T_1$ が 点弧し直流電源 E_a より点線で示した経路 $1\rightarrow 2\rightarrow 3\rightarrow 4\rightarrow 8\rightarrow 6$ →7を通って振動性半波電流が流れ負荷側回路に電力を供給する と同時に下段の転流 コンデンサ C/2 は図のような極性に充電される. この際 T_1 には直流電源より供給される電流と、上段の転流 コンデ $_{\rm \upsilon \dagger} {\rm C}/2$ にたくわえられていた電荷が点線で示した経路2 $_{\rm \to}3 \to 4 \to$ 8 を通って放電する電流との和が流れる. 一方、 $SCR\ T_2$ が点弧 すると今度は実線で示した経路 $1\rightarrow 2\rightarrow 8\rightarrow 4\rightarrow 5\rightarrow 6\rightarrow 7$ および, $8 \rightarrow 4 \rightarrow 5 \rightarrow 6$ におのおの直流電源から供給される電流と下段転流 コンデンサ の放電による電流の和が T_2 を通じて流れる. このよう に T_1T_2 の通電が交互に繰り返されることによって負荷側回路に は交流電流が供給される. この際 T₁, T₂ が負荷の全領域を通じ て安定した転流作用を維持するためには、転流 リアクトル、転流 コン デッサ,負荷側回路の各回路定数および,インパータ出力周波数 f_0 は ある特定の条件を満さなければならない。負荷側回路だけについ て考えても, L_p , C_p ,Rの三つの可変回路定数があるので,このよ うな条件を求めるのは一見きわめて困難なように思われるが、わ れわれの研究 $^{(6)\sim(9)}$ の結果によると、近似的にいって、この $4 \sim$ バータ の特性は負荷側回路の各素子定数の個々の値をいかに直接 関係せず、主として負荷側回路全体の周波数 f_0 における アドミッ タンス Y_0 , および力率 PF だけに関係する. そして軽負荷領域で は PF が遅れ力率になると転流が不可能で、進み力率になるほど 運転は安定となるが、負荷が重くなるにつれ転流可能な PF の節 囲は次第に拡がり、重負荷では著しく遅れ力率においても転流は 安定となる. また、出力電圧 E_0 と直流電圧 E_d の比は PF が 100% から遠ざかるにつれ一体に大きくなる. したがって C_p, L_p 一定の場合負荷が軽くなると Eo は異常なまでに上昇する. これ は負荷が軽くなると PF が小さくなるためにほかならないから、 常に負荷側回路の力率を適当な値に保つように、並列素子を制御 すれば負荷の全領域にわたって略々一定した出力電圧を得ること



(a) 基本回路図

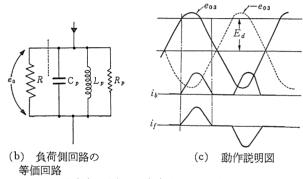


図 2.2 電力回生方式改良形直列 インバータ Fig. 2.2 Inproved series inverter with power regeneration system.

が可能である。図2.1(b) および(c) は比較的重負荷と軽負荷について、定常動作状態における各部の電圧電流波形を示したもので、おのおの負荷側回路の力率はそのときの負荷状態に応じて並列素子に適当な制御が施されている。

改良形直列 インバータ は並列素子の実用的な制御方式として、並列 リアクトル を負荷に対応して制御することを骨子としたもので、これまで非線形 リアクトル 方式(**) と補助放電管方式(**) と呼ぶ二つの方式が考案されてきた。しかし、これらの方式は装置の容量が大きい場合にはなんら不都合を感じないが、SCR インバータとして比較的小容量の装置を対象にする場合は、これらの補助回路がやや複雑になる傾向があり、SCR の利点を強調する SCR インバータにとってはあまり好ましくない。このような理由も加わって新たに考案したものが電力回生方式改良形直列 インバータ である。

2.2 電力回生方式の動作原理(10)(11)

図 2.2 (a) は電力回生方式の基本的な結線図である. 負荷 R_e は出力変圧器の二次側に結ばれているが,この負荷側に並列 コンデンサ C_p が結ばれていることは前節で述べた改良形直列 インパータの基本回路と同じである. しかし変圧器の二次巻線の電圧を整流して直流電源側に電流 i_b を逆流させる電力回生回路(以下単に回生回路という)と称する一種の並列リアクトル 回路の構成が異なっている. 図 2.2 (c) は回生回路が動作している場合の各部の電圧電流波形を示したものである. 結合変圧器の二次電圧 e_{03} の波高値が直流電源電圧 E_a より大きくなると,整流器 D_1D_2 を介して脈動半波電流 i_b が流れるから結局 T_f の一次電流 i_f は図の様な形状となり,その大きさは負荷の軽減に伴って増大する. この回生回路は インパータ の重負荷状態では全然かあるいはほとんど働かないように T_f の巻数比を適当に選んである. 今,回生回路の機能をぜんぜん考慮せず インパータ が軽負荷状態になったものと仮

定するならば力率 PF が低下し出力電圧 e_0 は上昇する。しかしながら e_0 が上昇すれば回生回路は直流電流 i_0 を直流電源側に供給しはじめ,したがって τ_0 には負荷や C_p 以外に 図2.2(b) に示したような等価 τ_0 で の上昇は比較的わずかな程度の値にとどめられる。ここで注意しなければならないのは,この τ_0 が回生回路を通じて実効電力を供給しているばかりでなく, L^p がこの回路中に存在するために遅れ力率の電力も供給する形となっていることである。いいかえれば回生回路は図2.2(b) に示したように負荷と並列に結ばれた等価抵抗 R_p や等価 τ_0 のタンス τ_0 で表わすことができる。これは前節で述べた負荷側回路の構成と同じであるが,負荷の状態に応じて τ_0 のみならず,直流電源に回生される実効電力による見かけ上の負荷 τ_0 も自動的に変化し,合わせて負荷側回路の力率低下を防ぎ,出力電圧の上昇を押える後目をするものである。

図 2.2(b) の等価回路に示したように、この回生方式は原理的には改良形直列 インパータ の基本原理を拡張して応用したものにすぎないが、非線形 リアクトル 方式や補助放電管方式と異なる特長をあげればつぎのとおりである.

- (1) 力率 PF したがってまた インバータ 運転状態の調整がまったく自動的に行なわれるのでめんどうな制御装置がいらず、また整流器 D_1D_2 が SCR と同じ半導体素子でよいから装置を小形軽量にするのに有利である.
- (2) インバータ の負荷が変化してもその動作状態は回生回路の自動的な働きによって余り変化せず、過渡的なじょう乱に対しても安定な動作を保つことができる.
- (3) 回生回路は半 サイクル の遅れで応答するから過渡変化に対する回復はきわめて迅速である.
- (4) 回生効果を増して出力電圧変動率を良くしても インバータの 安全運転を保証する余裕角を犠牲にすることがない.

ただし回生電流 i_b は一周期を通じて一様にながれるものでなく断続した局部的な作用によって行なわれるものであるから回生効果を増すほど出力電圧は歪んでくる.

3. 装置の構成および性能

3.1 装置の仕様

この装置は実用的ですぐれたSCR インバータを実現させるために その技術的な諸問題を全面的に解決することを目標として試作し たものであって、概略つぎのような仕様のもとに設計されている.

○インバータ 定格直流電源電圧: DC 108 V

○定格出力: 500 W (力率は 80% 以上)

○定格出力電圧: AC 200 V

○出力電圧変動率: 1% 以内(ただし直流電源電圧を一定にした場合の インバータ 固有の出力電圧変動率は 20% 以内を目標としている)

○出力周波数: (100~130 c/s)±1% 以内

○変換能率: 70% 以上

○瞬間負荷変動による出力電圧の回復時間: 5 c/s 以内

3.2 構成の概要

58 (668)

装置の構成を ブロックダイヤグラム で示せば、図3.1 のようになっており主回路部と補助回路部に大別される。その内容はつぎのとおりである。

主回路部: 直流電源, インパータ 主回路

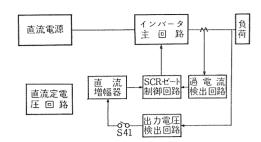


図 3.1 SCR インバータ の ブロックダイヤグラム Fig. 3.1 Block diagrams of the developed SCR inverter including control circuitry.

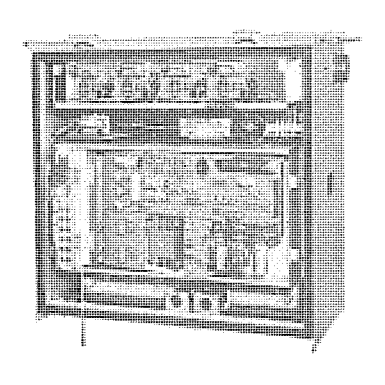


図 3.2 試作 SCR インバータ の外観 Fig. 3.2 Appearance of the developed SCR inverter.

補助回路部: SCR f-ト 制御回路, 直流增幅器, 出力電圧検出 回路, 過電流検出回路, 直流定電圧回路.

このうち直流増幅器は SCR f-h 制御回路の直流電源として使用され、制御周波数を安定化あるいは f-h 出力電圧の大きさによって自動的に制御するためのものである。これらは横幅 570、高さ 550、奥行 300 の f-h に納められている。装置全体の外観は図3.2に示してある。

3.3 SCR の責務

この装置に使用した SCR は当社製の CR20A-8 形でそのおもなる最大定格および最大動作特性はつぎのとおりである.

○tっ 頭逆電圧 400 V

○過渡 to 頭逆電圧 480 V

○tン頭順阻止電圧 400 V

○平均電流 20 A (180 度通電) ケース温度 73°C

○過電流耐量 300 A (1 c/s)

○最大 トリガゲート 電流 50 mA (25°C)

○3-2オフタイム 10~30 μs

このような CR20A-8 形 SCR の使用時の裕度を明らかにするために、装置が出力 500 W で連続運転する場合の SCR にかかる電圧、電流責務の概略値を求めておこう。 図 2.1 において、SCR T_1 に流れる電流 io_A は io の正半波で 180° おきに断続して流れ、その瞬時値は直流電流の瞬時値の 2 倍となるが、その平均値 Io_A は直流電流の平均値 I_a に等しい $^{(2)}$. したがって 500 W の定格出力で運転中の変換能率を 70% とすれば SCR の平均電流 Io_A および Io_B は

I_{0A} (または I_{0B})=定格出力/(直流電圧×変換能率) = $500/(100 \times 0.7) \simeq 7(A)$

であり、ioA の半波を正弦波の一部とみなせばその最大波高値は約 22A になり CR20A-8 形の定格値に比べてかなり小さい。しかしこのような裕度は連続過負荷の場合や SCR の冷却としては $80\times80\times3.2$ の放熱板による自然空冷だけしか施されていないということを考慮して決められたものである。一方,通電休止期間中に SCR に印加される電圧の最高値は $\mathbf{Z}2.1$ (b) の v_{T2} に示

したごとく,逆電圧最高値 V_{Pl} および順電圧最高値 V_{Pl} で,その値は負荷が重くなるほど大きく,とくに過負荷状態では SCR を危険な状態にさらす恐れさえある.定格出力におけるこれらの値は,主回路定数の選び方で多少は異なるが,いずれも 200 V ぐらいであって,CR20A-8 の最大定格以内に楽に納まるけれども,電流定格を決めた場合と同様の考え方に基づき安全を見込んでこの SCR を 2 個直列に使用している.この装置はこのように電圧,電流に対する責務については十分なる裕度をもって設計されているが,この裕度については今後さらに検討を加える余地があると考えられる.

なお、図2.1 (b) および (c) の v_{T2} の波形に示したように SCR の陽極陰極間電圧が負になる期間を電気角で表わして余裕 角 θ_d と呼んでいる。この余裕角が SCR の $g_{-\upsilon 1794}$ ム より短いと満足な転流作用が行なえず、 $\tau 10^{-g}$ としての運転は不可能になるが、この装置ではあとに述べるように SCR にとって十分すぎる余裕角が保証されている。

3.4 SCR の分圧方式とゲート方式

この装置では前節に述べた理由によって SCR を 2 個直列に接続して使用しているが、このような場合各 SCR は陽極陰極間の電圧を均等に分担し、f-h 信号に対してほとんど遅れなしにいっせいに点弧する必要がある。図 3.3 はそれらの目的のために用いた陽極分圧器と f-h 分圧器を f-h 分圧器で f-h で f-h のである。f-h な f-h 分圧器である。また低抵抗 f-h なよび f-h は SCR が消弧した直後に発生する電圧の寄生振動や異常電圧を吸収するための f-h である。なお、f-h 方式は直列接続した各 SCR を別々の f-h 信号によって点弧させるというわずらわしさをさけるため、SCR-2 だけに f-h 信号を与え SCR-2 の点弧によって SCR-1 も連鎖的に点弧させるような方法が用いられている。抵抗 f-h 分圧器はそのような目的のために設けられたもので、f-h 以

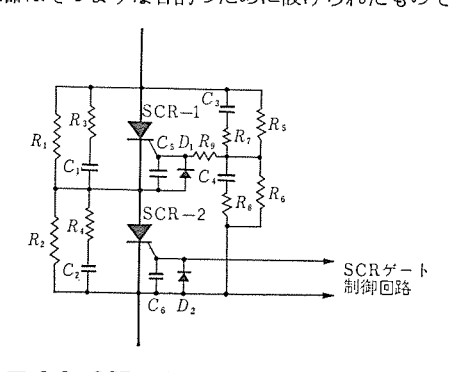
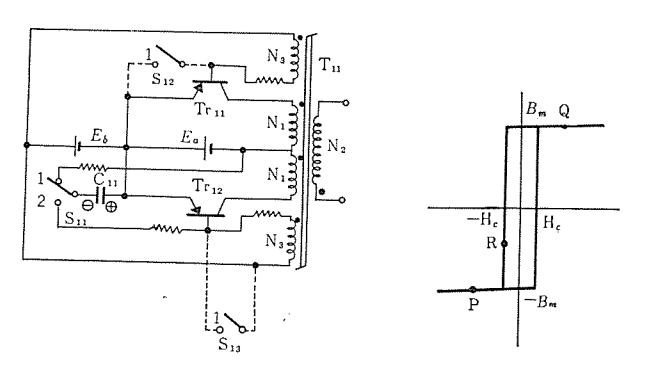


図 3.3 SCR の陽極分圧器とゲート 分圧器 Fig. 3.3 Anode divider and gate divider of SCR's.



(a) 基本回路 (b) 図 3.4 ロイヤー 発振器 Fig. 3.4 Royer oscillator.

(b) 変圧器の磁化特性

内の バラッキ で確実な点弧を行なわせることができる.

3.5 制御回路および保護回路

3.5.1, SCR ゲート制御回路

SCR の サート 信号電源として種々の回路方式を用いることがで きるが,今回は小形で比較的取り扱いの便利な ロイヤー 発振器によ る方法を採用している. 図3.4(a) の点線で示した部分以外は ロ イヤー発振器の基本的な回路図を示したものである.変圧器 T11 は 図3,4(b) に示したような方形 tafya 特性の鉄心が用いられ, 巻線は図に示したような極性で一次巻線 N₁, 二次巻線 N₂ およ び三次巻線 N_3 を有する. そうして一次巻線 N_1 は トランジスタ の エミッタ, コレクタ を通して直流電圧 E_a に, 三次巻線 N_3 は エミッタ ・ベース 間に結ばれている。 また直流電圧 Eb は各 トランジスタ の バ イアス であるから, スイッチ S11 が 1 の位置にあるときは トランジスタ を カットオフ にし、振器は起動しない.しかし、スイッチ の S_{11} を 2の位置にすると、これまで コンデンサ С11 にたくわえられていた 電荷は トラン፡シスタ Trュ₂ の エミッタ・ヘース 間を流れ, トラン፡シスタ を導 通状態にする. このとき三次巻線 N₃ には一次電圧の巻数比倍の 電圧を誘起し、これがまた ペ―ス・エミッタ 間の電流を助長するから トランジスタ Tr_{12} はより導通状態になる. つまりこのような正帰還に よって トランジスタ は カットオフ 状態から瞬時に飽和状態に達し,一次 巻線 N_1 に直流電圧 E_a の略々全電圧を印加することになる. そ の後変圧器は鉄心の磁束吸収能力に応じた時間が経過すると飽和 し、トランジスタ Tr12 を カットオフ にすると同時に磁束が逆方向に変 化し始めるから トランジスタ Tr₁₁ を導通状態にし、以後前述の動作 を繰り返す.そうしてこれらの繰り返し周波数 f_0 は

$f_0 = E_a/4N_1B_mS$

で示されるような関係を有する. ここに B_m は鉄心の飽和磁束密度,S は鉄心断面積を示す.

直列 インパータ では並列 インパータ と異なり インパータ 用 SCR の ゲート 信号を止めて インパータ を迅速に停止させることができる. この停止方法は インパータ が過負荷になったときなどに SCR を保護するにきわめて有利であるが、この装置では ロイヤー 発振器の発振を停止させることによって簡単にこれを実現することができる. その方法として (1) 発振器直流電源 E_a を 2+ 断する (ii) トランジスタ の パイアス を深める. (iii) 三次巻線を短絡し正帰還を止める. などの方法が考えられるが 図 3.4 (a) に示した S_{13} は (iii) の方法を適用したものである. また インパータ を ゲート 信号によって起動する場合に、もし鉄心の磁化状態が図 3.4 (b) の R 点より始まるものと仮定するなら最初の半周期だけは鉄心が早く飽和することになるから、この半周期は定常状態の半周期 $1/2_{f0}$ より短くなる. したがって、このような状態で インパータ を起動することは転流失敗による直流短絡事故を発生させる原因になるから、この

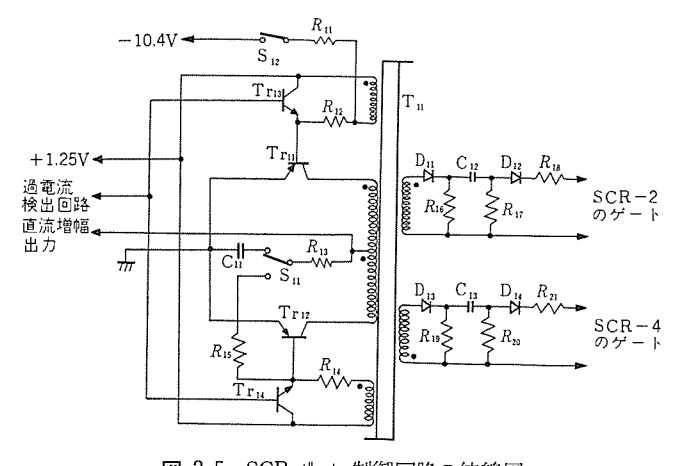
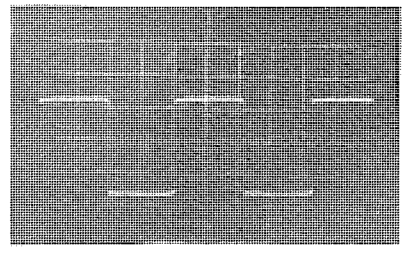
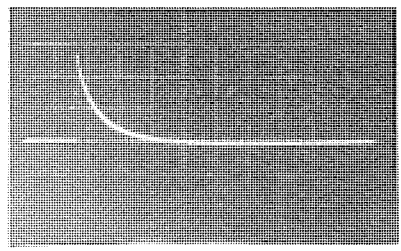


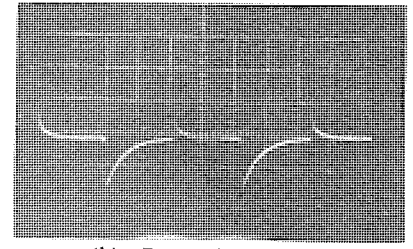
図 3.5 SCR ゲート制御回路の結線図 Fig. 3.5 Diagram of the circuit for control of SCR gates.



(a) 発振器の出力電圧波形 5 V/div 2 ms/din



(c) ゲート 電流波形 20 mA/div 30 µs/div



(b) R₁₇ の端子電圧波形 2 V/div 2 ms/div

図 3.6 SCR ゲート 制御回路の動作を _{*}示す オシロクラム

Fig. 3.6 Oscillograms to show the operation of the circuit for control of SCR gates.

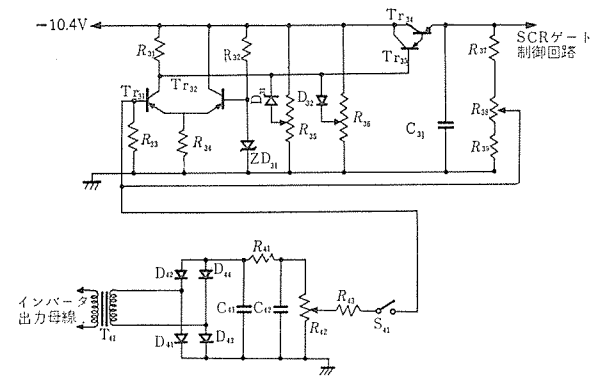


図 3.7 直流増幅器および出力電圧検出回路

Fig. 3.7 D.C. amplifier and the circuit for output voltage detection.

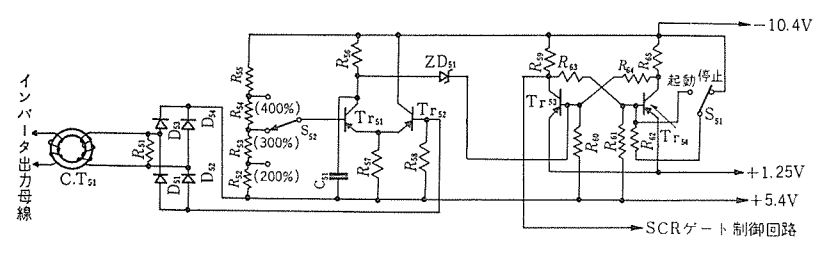


図 3.8 過電流検出回路

Fig. 3.8 Circuit for over current detection.

ような不都合をなくすため起動前には必ず $_{\text{AI-0}}$ $_{\text{F}}$ $_{\text{F}}$ を閉じておき、鉄心を $_{\text{P}}$ あるいは $_{\text{Q}}$ 点の飽和状態まで励磁する必要がある。

図 3.5 は SCR f-h 制御回路の具体的な結線図を示したものである。出力巻線の各電圧は適当に パルス 化されたのち,f-h 信号として図 3.3 の SCR に与えられる。なお前にも述べたようにロイヤー 発振器の繰り返し周波数は直流電圧 E_a に比例するから,ロイヤー 発振器の直流電源である直流増幅器の出力電圧を制御すれば,インパータ の出力周波数を任意に変えることができる。

また、トラッジスタ Tr_{13} および Tr_{14} は図 3.4 (a) に示した スイッチ S_{13} の役目をするもので、これらは過電流検出回路から与えられる信号によって導通状態となり、 π π π π 相側回路各部の代表的な電流電圧波形を示すものである.

3.5.2 直流増幅器および出力電圧検出回路

図 3.7 は SCR ゲート制御回路の出力周波数を 規制する直流増幅回路および インバータ 出力電圧 検出回路を示すものである. この直流増幅回路 は R₃₈ の調整によって任意の直流出力電圧が得 られるようになっており、しかもその値は トラン ジスタ Tr31, Tr32 から成る差動増幅器によって安 定化されている. したがって インバータ 出力周波 数は任意に選ばれ、かつ安定なものである. ま た、インバータの出力電圧は出力周波数によって 変わるから、とくに インバータ 入力電源が バッテリ であるような場合はこのように周波数を変えて インバータ 固有の電圧変動率を改善する手段が考 えられる. これは図3.7の S41 を閉じて出力電 圧検出回路で得た電圧を上記差動増幅器の入力 として周波数制御を行なえば可能である. この 際周波数を無制限に変えることは インバータ 装置 の性能上許されないことであるからその可変範 囲を適当に制限しなければならない。図3.7の R_{35} および R_{36} は周波数の下限および上限を調 整するためのものである.

3,5,3 過電流検出回路

図3.8は過電流検出回路を示すものである. インバータ 出力母線に結ばれた C.T51 は インバータ 負荷電流を検出するためのものであって、その 出力は トランジスタ Tr51, Tr52 から成る比較回路 の片側に与えられ基準電圧と比較される. この 基準電圧は負荷電流の 200% ないし 300% ある いは 400% に相当する直流電圧値に設定されて いる. インバータ 負荷状態が正常で比較回路が動 作しない状態では トランジスタ Tr53 は カットオフ さ れているから、SCR ゲート制御回路の トランジスタ Tr₁₃, Tr₁₄ も カットオフ され ロイヤー 発振器は正 常な発信状態にある.しかし インバータ 負荷電流 が規定の過電流値に達し比較回路が動作して $\mathrm{Tr}_{53},\mathrm{Tr}_{54}$ から成る つリップフロップ 回路の動作状 態が反転すると, Tr₁₃, Tr₁₄ はいずれも導通状態 となりその瞬間にロイヤー発振器は停止する.

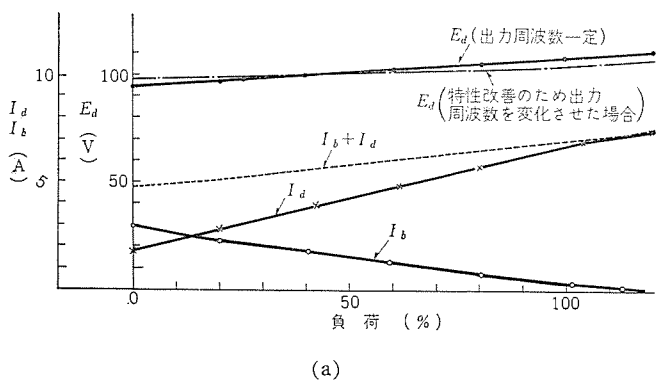
4. 装置の運転特性

4.1 定常特性

図 4.1 (a) および (b) はこの装置で得られた

定常特性を示すもので、表4.1にこのときの主回路定数を掲げておいた.この主回路定数は SCR の余裕角に重点をおき、回生回路を切り離した場合のインバータの出力電圧特性を幾分犠牲にした選び方になっている.したがって重負荷領域においても負荷が軽くなると出力電圧の上昇する傾向は大きく、これを防止するための回生回路にかかる負担は増えることになる.しかし回生回路が出力電圧の上昇を防止するすぐれた効果を有することや、この装置を尺度変換してそのまま高周波インバータとして適用する際にSCR の余裕角がその限界周波数を左右する最も大きな要素となることなどを考慮して、このような主回路定数が決められたのである.

回生回路の効果は結合変圧器 T_f の巻数比 a_f と並列 $y_7 > 1$ ル U_p の値によって異なり、これらを変えることによりは回生電力を適当に調節することができる。とくに前者は回生回路が動作す



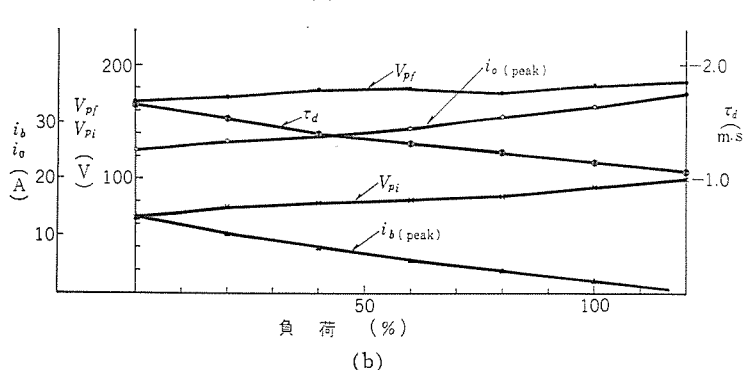
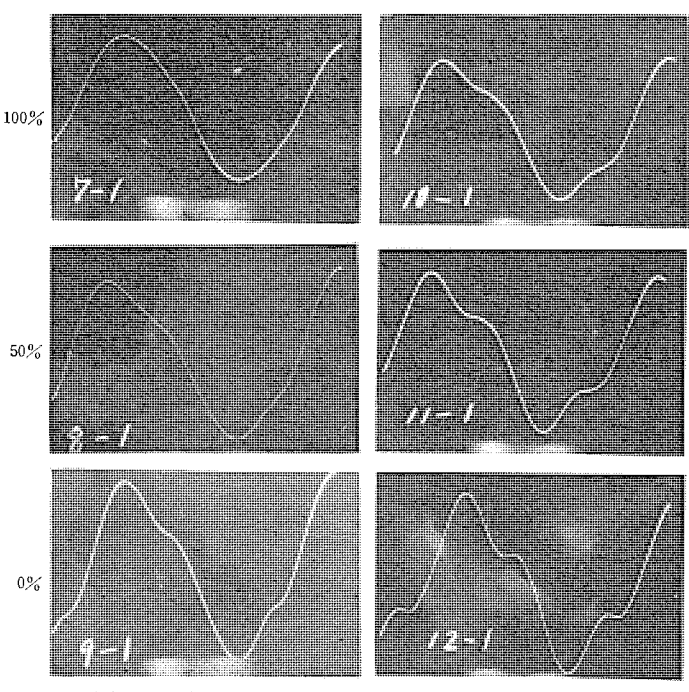


図 4.1 表1に示された主回路定数における動作特性 Fig. 4.1 Operation characteristics under the circuit conditions shown in table 1.

表 4.1 主回路定数

| 出力周波数(f ₀) | 120 c/s | 並列リアクトル (L'p) | 2.51 mH |
|------------------------|---------|----------------------------|---------|
| 転流コンデンサ (C/2) | 216 μF | 出力変圧器巻数比 (a ₀) | 0.21 |
| 転流リアクトル (L) | 3.3 mH | 結合変圧器巻数比(af) | 0.53 |
| 並列コンデンサ (Cp) | 340 μF | 定格出力に於ける負荷抵抗(Re) | 80 Ω |



(a) a_f が 0.57 のとき (b) a_f が 0.49 のとき 図 4.2 各負荷状態における出力電圧波形 Fig. 4.2 Oscillograms to show waveforms of the output voltage under certain load conditions.

る負荷領域を定めるもので、この装置の場合はすでに定格負荷から動作し始めるような値に選ばれている。一方、並列 リアクトル はその インダクタンス が大きすぎて、回生回路の効果を弱めるようでも

困るが、逆にこれが回生回路全体の内部抵抗と比較してあまり小さいと回生回路の電流 i_b の通流期間が短かくなり、その直流平均電流 I_b を小さくする結果になるから適当な値を選ばなければならない。この装置ではこれまでの実験結果に基づいて L'_p として $2.51\,\mathrm{mH}$ の y_{PO} p_{ND} を用いている。

図 4.1 の定常特性は直流電源電圧 E_a を変えて 1っパータ の出力電圧が常に $200\,\mathrm{V}$ になるようにしたときのものであるが,同図 4.1 (a) の実線で示した直流電圧の定格負荷から無負荷にいたる変化範囲はわずか 13% にとどまっている。従来の自励式 1っパータでも直流電源電圧の制御によって 1っパータの出力電圧を一定にする方法が一般に用いられているが、1っパータの無制御状態での出力

電圧特性が悪いため,その制御範囲は 50% 以上になる場合も少なくない.それにひきかえこの装置の13% という値は,それだけ 10% 回路固有の特性が回生 回路の効果によって改善されたことを示すものである. 直流電流 I_a は定格負荷時の 6.6 A から無負荷時の 1.8 A まで変化しているが,これに対して回生回路の直流平均電流 I_b は 0.2 A より 3 A まで変化していない. つまり 10% 可以 10%

 au_a は余裕角を時間 ms で表わしたもので、その値は定格負荷 時の 1.15 から無負荷時の 1.65 まで負荷の軽減にともなって次 第に増加している。したがってこの au_a の最小値と SCR の au-au

オフタイム を比較すればわかるように、出力周波数が $120 \, \mathrm{c/s}$ であるこの装置としては運転動作になんら支障のない十分すぎるといってよい程度の余裕をもっている。 しかしこれをそのまま尺度変換して高周波 インパータ に適用した場合には出力周波数は約 $2 \, \mathrm{kc}$ 以内に制限されることになる.

図 4.2 (a) および (b) は結合変圧器 T_f の巻数比 a_f が おのおの 0.57 および 0.49 である場合の出力電圧波形を負荷 が 100%, 50%, および 0% の各場合について示したもので ある. しかしながら前述の定常特性は a_f が 0.53 の場合につ いて得られたものであるから、そのときの出力電圧波形はこ れらの中間に属することになる. 図4.2(a)および(b)に見 られるごとく af が小さくなるか、あるいは af が一定でも負 荷が軽くなって回生回路の効果が大きくなると、出力電圧波 形はますます歪み、これが電力回生方式のただ一つの欠点と なっている. 表 4.2 は図 4.2 (b) の波形を調波分析した結果 を示すもので、その数値は基本波成分に対する各調波成分の 比率を百分率で表わしたものである。この表4.2に示すごと く最も大きい成分は第三調波成分で、他の成分は3%以下の わずかな値にとどまっている. これを除くための フィルタ も第 三調波成分に対するものだけですむから、出力電圧波形の改 善は比較的容易に行なうことができる.

インパータの出力電圧は SCR 制御周波数 f_0 の制御によっても変えることができ、したがってこの制御を併用すれば入力直流電圧をあまり制御せずに出力電圧を一定値に近く保つことができる。 図 4.1 (a) の鎖線はこのような周波数制御を併用した時に 12 パータ出力電圧を 200 V 一定値に保つために必要な直流電源電圧を示したものである。この場合図 3.7 に示した直流増幅

表 4.2 出力電圧波形の調波分析結果

| 波形番号 | 負荷状態(%) | A_3/A_1 $(\%)$ | A_5/A_1 $(\%)$ | A ₇ /A ₁ (%) | $A_9/A_1 $ $(\%)$ | $A_{11}/A_{1} = (\%)$ |
|------|---------|------------------|------------------|------------------------------------|-------------------|-----------------------|
| 10-1 | 100 | 17.1 | 0.9 | 0.2 | 0.4 | 0.2 |
| 11-1 | 50 | 24.8 | 1.3 | 0.2 | 0.4 | 0.7 |
| 12—1 | 0 | 28.0 | 2.2 | 1.1 | 0.2 | 0.6 |

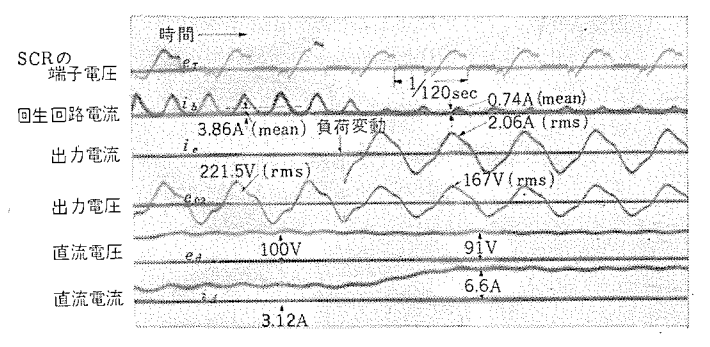


図 4.3 図 4.1 と同じ回路定数の場合における 負荷急変時の オ₺ロクラム

Fig. 4.3 Oscillograms to show the process involved in the event of abrupt load change at the same circuit condition as in Fig. 4.1.

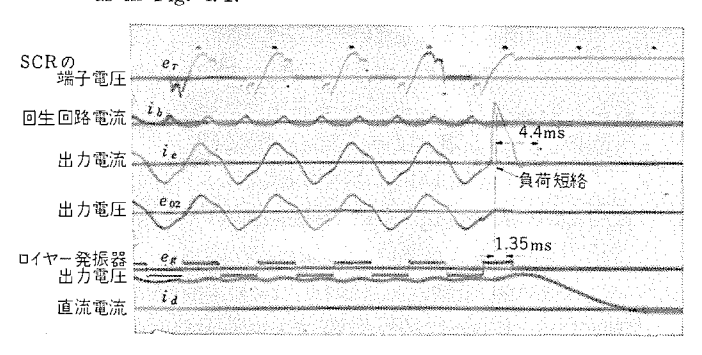


図 4.4 図 4.1 と同じ回路定数の場合における 負荷短絡時の オュロクラム

Fig. 4.4 Oscillograms to show the process involved in the event of short circuit across the load at the same circuit condition as in Fig. 4.1).

器の可変抵抗 R_{58} を調整することによって周波数が負荷に比例して $110\sim130$ c/s まで直線的に変えるようにしてある。図でも明らかなように直流電源電圧の変化は 5.8% であって、周波数制御だけで出力電圧をほぼ一定値に近く保ちうることがわかる。

4.2 過渡特性

電力回生方式は変圧器,リアクトル、および ダイオード だけを回路素子とするきわめて簡単な回路構成でありながら、前述の定常特性のみならず過渡特性においてもすぐれた性能をもっている。ここではその代表的な過渡特性について述べることになる.

図4.3は無負荷から定格負荷まで突然負荷状態が変化したときの過渡状態におけるインパータの動作経過を各部の電圧電流波形について示したオシログラムである。この場合回生回路の電流 もは負荷変動に半サイクル遅れで応動しており、2.2節で述べたこの回路の速応性は十分に立証されたといってよい。また普通のインパータでは一般にこの種の負荷変動の直後数サイクル間は必ず出力電圧の顕著な過渡的動揺が伴うのが常であるが、このオシログラムにはこれがほとんど見受けられず、この回路がインパータの本質的な難点をよく克服していることを示している。これは定常特性のところでも説明したとおり、負荷が変わっても実際のインパータの動作状態があまり変化しないことによるものである。なお、重負荷状態がら軽負荷状態に変化した場合や、起動時の過渡的経過を示す

オシログラム においても図 4.3 と同様の申し分のない過渡特性がえられている。

SCR は水銀整流器ほど過負荷剛量が大きくはないから、過負時には一刻も早くシャ断しなければならない.このインパータでは図3.8の過電流検出回路をとくにこのために設けてあるが、この比較基準電圧を300%に設定して、インパータの負荷側を短絡した際のシャ断現象の経過は図4.4のオシログラムに示してある.このオシログラムによると負荷短絡後1.35 ms でゲート信号、4.4 ms 後に負荷電流が完全にシャ断されている.これはこの保護回路の速応性を如実に示すとともに直列インパータが SCR のゲート信号を止めることによって迅速確実に負荷電流をシャ断しうることを立証したものといえる.通常のインパータでは過負荷シャ断をインパータ側で行なうことが不可能であるため直流電源側でシャ断を行なうのが常識とされていたが、このような方法では必然的に遅れが大きく、したがって事故電流が著しく大きくなるうらみがあった.これに比べこの装置ではとくに SCRにとって好適な保護動作を行なうことができるのである.

5. む す び

SCR インバータ は従来の水銀整流器や サイラトロン が単に SCR にすり換えられたということだけではなく、装置全体が SCR の特長を十分力生かしたものでなくてはならない. この装置に採用した電力回生方式改良形直列 インバータ は主回路構成がきわめて簡単で、わずらわしい制御も施されていないから、装置を小形軽量にするのに大いに役立っている. そればかりかこのような回路構成の単純さは インバータ 回路固有の特性をそこなうものではなく、むしろこれまでの方式では得られなかったすぐれた多くの利点をもたらす結果となっている. このようにこの試作装置は SCR インバータ としてほぼ所期の目的を達成し、実用器として十分なる資格を備えているものといえるだろう.

この装置の今後の課題は SCR 自身の インパータ 用素子として の長期運転実績やそれに基づく SCR の電圧,電流に対する定 格値の検討,SCR の転流失敗時における保護対策など回路細部 の問題についての検討などであり,目下これらの試験研究を続行しているところである.なお,このインパータの試作試験は当社伊 丹製作所電鉄製造部との協力の下に行なわれているものである.

(昭 38-2-21 受付)

参考文献

- (1) C. Ehrensperger: B.B. Mitt. 25, 130 (1938),
 H.O. Schmidt: A.E.G. Mitt. 29, 106 (1939),
 S. Durand, J. B. Rice: A. I. E. E. Tech. paper 48-287 (1948).
- (2) 河合:「三菱電機」34, 1038 (昭 35)
- (3) 河合: 同 34, 1306 (昭 35)
- (4) 河合: 同 34, 1452 (昭 35)
- (5) 河合: 同 35,755,(昭 36)
- (6) 河合, 杉本: 同 35, 1382 (昭 36)
- (7) 河合, 杉本: 同 35, 1580 (昭 36)
- (8) 河合:「電学誌」 **81,** 23 (昭 36) (9) 河合: 同 **81,** 1786 (昭 36)
- (10) 河合, 岡:「電子技術」4, No. 8, p. 35 (昭 36)
- (11) 河合,杉本「三菱電機技報」37, (昭 38)

SCRによるサーボモータの制御

小形軽量サーボ増幅器の開発 ——

山内信治*·橋本直樹*

Servo Motor Control With SCR

—Development of Compact and Lightweight Servoamplifiers—

Electronics Works Nobuharu YAMAUCHI • Naoki HASHIMOTO

Marvellor is the latest development of semi-conductor technology. In the field of control, silicon controlled rectifiers or trinistors have been coming in a stage of practical use. Mitsubishi has built for trial these SCR together with transistors into a new compact and lightweight servo control system used for radar antennas or general, industrial purposes. This system is composed of several element blocks, namely, an error detector, an operational amplifier (DC amplifier), a transistor gate circuit, and a SCR servo-motor control circuit. The range of these control circuits applied to DC motors is from about 10 to several kW.

1. まえがき

最近の半導体技術の開発およびその応用は目覚しいものであり 制御関係においても シリコン 制御整流素子(以下 SCR と称す)と 呼ばれる半導体素子が注目され広く実用化されつつある。

SCR は機能的には従来の サイラトロン と同等の働きをなすが、 それ以上に半導体特有の小形軽量、ヒータ 回路の不要、スイッチング 時間の短さなどかずかずのすぐれた特長を有しているので、しだ いにこの分野に進出しつつある。

従来当社の レーダアンテナ の制御には容量が 10 W から 10 kW 程度までには サイラトロン または磁気増幅器方式を、それ以上の容量には油圧方式を使用してきた。また前者においてはとくに小形の場合を除いて通常は直流 サーボモータ を使用している。 直流 サーボモータ は同一定格の AC サーボモータ に比べ停動トルク がはるかに大きく レーダ のように外乱の大きい サーボ 系には適しているからである。このような直流 サーボモータ を サイラトロン に代って SCRで駆動し、合わせて制御回路を含めて サーボ 系全体を半導体化して小形軽量でかつ安定な制御方式を確立するよう種々検討したのでここに紹介しよう。

一般に サーボ 系として必要な性能はそのときどきの要求により 異なるけれども制御要素としての立場より考えるときは、SCR 制 御方式は、

- (1) 誤差検出回路
- (2) 制御增幅回路(演算增幅器)
- (3) SCR 点弧回路
- (4) モータ 制御回路

の四つの制御要素に大別される。このうち 1,2 項はトランジスタ回路の問題であり、SCRとは直接 関係がないので簡単に説明するにとどめる。

2. アンテナサーボ系の概要

一般に レーダアンテナ といっても,その レーダ が 追尾 レーダ であるか気象用 レーダ などであるか, その制御目的によりまた アンテナ の大きさにより アンテナサーボ系として種々の系が構成されるが制御要素としてどの 程度のものをどの点に重点をおいて設計すべきであるか目標を定 めるために、まず始めに アンテナサーボ系について簡単に検討して みる。

普通一般のレーダ系は図 2.1 に示すように位置 サーボ系または 速度 サーボ 系を構成している。ブロック 図中の飽和要素は サーボモータの過負荷を防ぐためのもので、これより前段の増幅器などがこの飽和要素よりも早く飽和することは サーボ系の特性上好ましくないので注意を要する。なお図中の記号はつぎのとおりである。

- R: 指令角度
- E: 誤差角度
- C: アンテナ 角度
- K1: 誤差検出回路利得
- T1: 誤差検出回路の つイルタ 時定数
- G」: 位置 サーボ 系の増幅および特性補償
- G2: 速度 サーボ 系の増幅および特性補償
- Ka: 点弧回路利得
- τ: SCR 回路による Δダ 時間
- K3: サーボモータ 利得
- J: サーボモータ および負荷の慣性能率
- Ke: サーボモータ の電気的 ダンビング
- Ky: タコゼネレータフィードバック 定数
- SW: 位置指令および速度指令の切換 スイッチ

誤差角度 E はシンクロ 制御変圧器の信号を位相弁別復調するこ

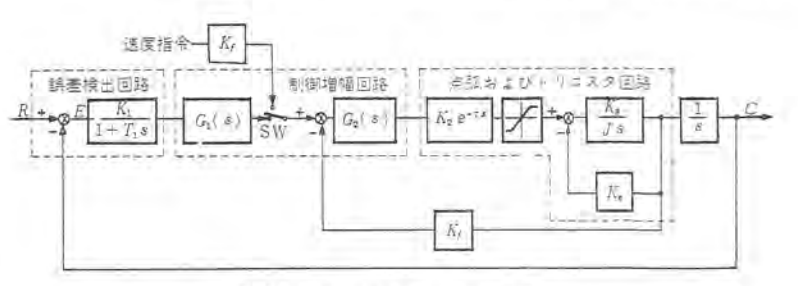


図 2.1 アンテナサーボ 系 ブロック図

Fig. 2.1 Antenna servo system block diagram.

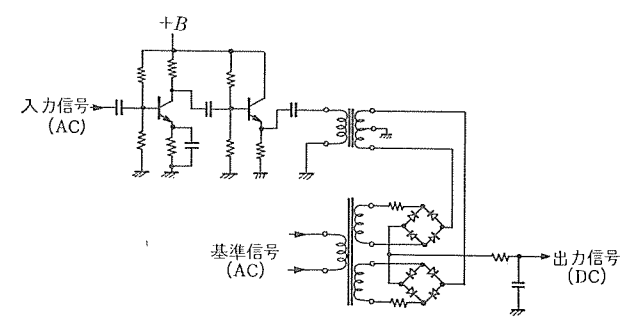


図 2.2 位相弁別復調回路(両波)

Fig 2.2 Full-wave diode phase-sensitive demodulator.

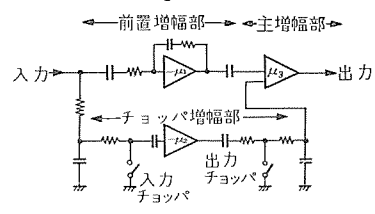


図 2.3 トランジスタ 化演算増幅器の ブロック 図 Fig 2.3 Block diagram of the transistorized operational amplifier.

とにより通常得られるが追尾レーダのように指令角度 R を知ることなく直接誤差角 E が受信機系より考えられる場合もある。さらにレーダのパルス 繰り返し周波数 (PRF) が低く サンプリング 制御系とみなさなければならないときもあるが、誤差検出回路に必要な制御要素としては簡単な AC 増幅器と位相弁別復調器を考えておけば十分である。標準的な位相弁別復調器として図 2.2 に示すような ダイオード 復調器を使用している。これは基準信号によってブリッジ に組んだ ダイオード を交互に ON, OFF して、位相弁別を行なうもので、もちろん ダイオード に代わって トランジスタ を スイッチング に用いることも可能である・

制御増幅回路は誤差検出回路よりの信号を所望の大きさまで増 幅するとともに、場合に応じて制御系として必要な補償回路を付 加する. このためには アナロク 計算機で使用される演算増幅器が 最適であるが、演算増幅器を トランジスタ で構成する場合には真空 管式の演算増幅器に比べ 「リフト が技術上の大きな課題になるば かりでなく入力インピーダンス、動作温度範囲など種々の問題が発生 する. さいわい当社においては トランジスタ 化 アナログ 計算機の開 発が進められ、すでに実用に入っているのでこの トランジスタ 化ァ ナログ計算機の演算増幅器を使用している. この演算増幅器の構成 は図 2.3 の ブロック 図に示すように前置増幅部, チョッパ 増幅部, 主増幅部よりなる.いわゆる、チョッパスタビライズド増幅器であって、 チョッパは トランジスタチョッパ で 400 c/s の 方形波で駆動されてい る. 動作電圧範囲は ±10 V, 総合利得 110 dB, 直線性 0.2%で, ドリフト は温度が 10℃ から 42℃ の範囲にわたって 2 mV/8 h で ある. 追尾 レーダ のように制御増幅回路に高利得, 高精度が要求 される場合には、この程度の演算増幅器が必要であるが、ごく簡 単な サーボ 系の場合にはいささか高級にすぎ チョッパ 用電源が必 要となるなど小形軽量化の方向にそわないうらみがあるので制御 用としての簡単化した演算増幅器の開発も進めている.

SCR 点弧回路は制御増幅回路よりの信号の正負およびその大きさに応じて η - π ϵ -g を正転、逆転させるよう、SCR に適正な点弧 η _N を与える回路である。追尾 η -g のように η - π 系に速応性が要求される場合には、電源は商用周波数で一定として、SCR の電流容量的な考慮とは別に SCR による η 時間をさける意味で両波整流あるいは三相整流制御方式を採用する必要があ

る. (SCR に限らず、サイラトロン、磁気増幅器のような流通角制御の場合の $\Delta \phi$ 時間は正確に見積るのはむずかしいが、一応の基準としては、半波整流のときは 1/2 c/s と考えられる。 また制御流通角の大きさにより サーボモータ の時定数がみかけ上、数倍から十数倍に増大することも忘れてはならない、この時定数の増大は定常状態における $E-\phi$ の速度は電圧の最大値に、 F_{NO} は平均値に比例するためと考えられる。)このため点弧回路としては半波整流制御(正、逆転可能)を $2\pi \phi$ に両波、三相へと拡大できる点弧回路形式がのぞましい。

SCR は半導体素子の常としてよくいわれているように、サイラトロンの放電管のように過電圧、過電流に対する裕度が少ないので、定格に対しては十分の余裕をみる必要がある。したがって モータ制御回路では、接続方式の他にこの点について注意をはらわなければならない。

3, SCR 点弧回路

SCR の点弧特性は通常、十数 mA、数 μs のごくわずかな パルス 電流にて順方向を導通状態にすることができるが、この値は 陽極電圧、周囲温度、あるいは素子の パラッキ により、かなり大幅に変動する. したがって点弧回路としてはつぎのような条件を考へておく必要がある.

- (1) 素子の使用周囲温度および使用電圧にて確実に点弧できる パルスで、そのパルス幅は必要以上に長いのは望ましくな く、ゲート端子の限界電力以上を与えてはならない。
- (2) 素子の特性 バラッキ による点弧位相の変動を防ぐため、点弧 パルス の立上りは急しゅんなほどよい.
- (3) 点弧位相を任意に制御するために点弧 パルス の位相は広範 囲に、かつ速応性よく移動しうること.
- (4) 動作が安定で装置は小形軽量かつ経済的であること.

以上のことより位相制御方法としては サイラトロン と同様に パイ アス 法, パルス 法が考えられるが, パルス で点弧することが望まし いことがわかる.

パルス 点弧回路にも種々の形式が考案されているが、いずれも電源に同期した正弦波または、きょ歯状波などを入力 DC 信号により レベル を変化させ、あらかじめ定めたある スライスレベル にかかる時点で パルス を発生させている.

サーボモータの位置制御の場合のように正, 逆回転がしばしば行な われるときは正、逆の点弧回路が独立になっておらず、入力信号 に対して統一的に取り扱われる回路であることが望ましい. 点弧 回路が独立になっていると, ドリフト などのため正, 逆が同時に点 弧する危険性があるためである.(正,逆の同時点弧が,たとえ小 さな流通角であっても サーポモータ, 歯車列に疲労を与え, また不快 な騒音の原因となる. したがって 「リフト が懸念されるときは不 感域を設けてこれを防いでいるが、もちろんこれも静的精度の点 より望ましいことではない.)正,逆回転パルスを一つの点弧回路 で構成するには電源に同期した正弦波などを正転、逆転のために スライス する二つの基準 レベル が必要である. この二つの基準とし て可飽和 リアクトル の正負の飽和 レベル を使用すると比較的簡単に 点弧回路を構成することができる. これの原理図を図 3.1 に示 す. 電源に同期した信号としては正弦波, 方形波などいずれでも よいが、モータ電源は普通安定化されておらず大幅に変動すること を考慮しなければならないので、ここでは方形波を用いて電源変 動による影響を防いでいる. 図 3.1 よりもわかるように入力 DC

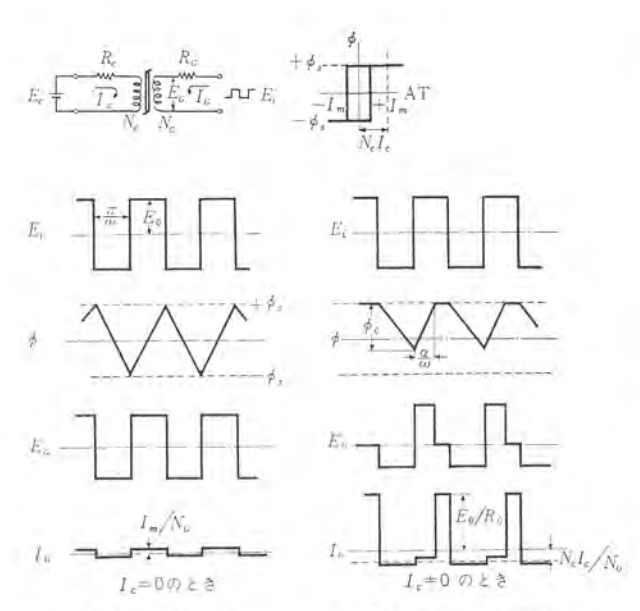


図 3.1 可飽和 リアクトル による点弧回路の原理図 Fig. 3.1 Principle of gate circuit by saturable reactor.

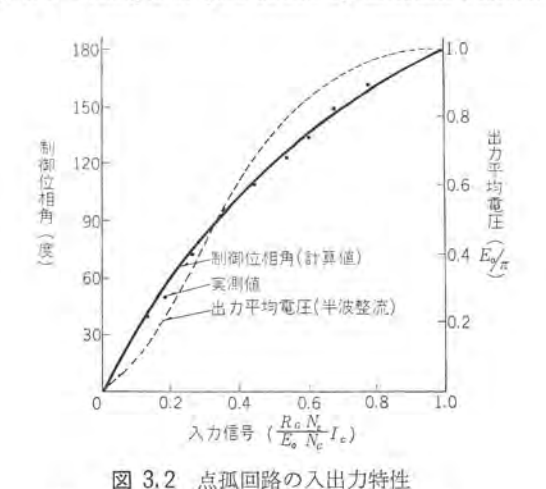


Fig. 3.2 Characteristics of gate circuit.

信号が ゼロ のときにちょうど リアクトル は非飽和領域をいっぱい に振っているものとすると、入力 DC 信号の正または負によって いずれかの飽和領域に入るようになる。この飽和が始まる時点で SCR を点弧させるようにすれば、一つの リアクトル で正および負方 向に制御することができる。点弧の時点の検出は リアクトル に出力 巻線を巻いて、その出力電圧を微分するか、あるいは リアクトル の インピーダンス が ゼロ になることを利用して行なわれる。

この場合の入出力特性は

$$2\phi_{S} = \frac{1}{N_{G}} \int_{0}^{\frac{\pi}{\omega}} \left(E_{0} - \frac{I_{m}}{N_{G}} R_{G} \right) dt \qquad (3.1)$$

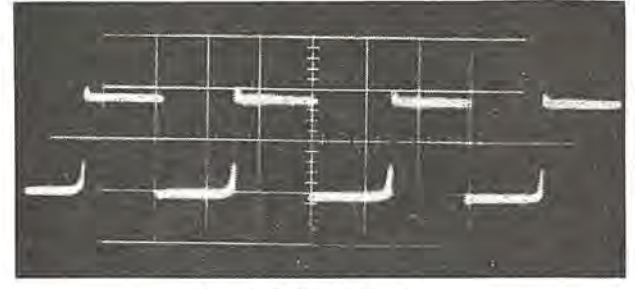
$$\phi_{c} = \frac{1}{N_{G}} \int_{0}^{\frac{\pi}{\omega}} \left(E_{0} - \frac{I_{m}}{N_{G}} R_{G} - \frac{N_{c} I_{c}}{N_{G}} R_{G} \right) dt$$

$$= \frac{1}{N_{G}} \int_{0}^{\frac{\pi}{\omega}} \left(E_{0} - \frac{I_{m}}{N_{G}} R_{G} + \frac{N_{c} I_{c}}{N_{G}} R_{G} \right) dt \qquad (3.2)$$

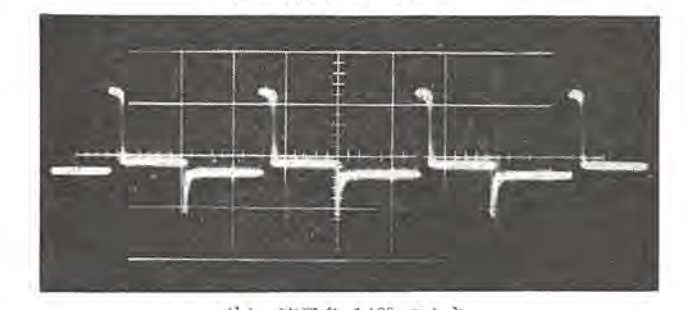
より制御位相角 $(\pi - \alpha)$ が求まる.

$$(\pi - \alpha) = \pi \frac{2\frac{\pi}{\omega} \frac{N_c}{N_G^2} R_G I_c}{2\phi_S + \frac{\pi}{\omega} \frac{N_c}{N_c^2} R_G I_c} \dots (3.3)$$

 $I_m=0$ と仮定すると



(a) 流通角 0° のとき



(b) 流通角 140° のとき 図 3.3 可飽和 リアクトル 出力電圧波形

Fig. 3.3 Voltage wave form of output winding of saturable reactor.

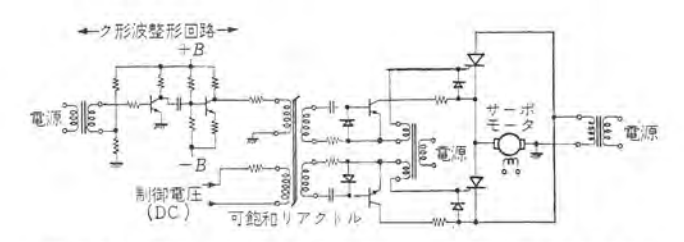


図 3.4 可飽和 リアクトル による トリニスタ 制御回路 (半波整流) Fig. 3.4 Schematic diagram of trinistor control circuit.

$$(\pi - \alpha) = \pi \frac{2\frac{R_G N_c I_c}{E_0 N_G I_c}}{1 + \frac{R_G N_c}{E_c N_c} I_c}$$
(3.4)

となる. 図 3.2 に計算値および実測値を、図 3.3 に出力巻線電 圧の観測波形を示す。

4. モータ制御回路

現在一般に市販されている DC サーボモータ の定格電圧としては 100 V から 250 V 位で、定格電流は \mathfrak{t} モータ の容量に従って増大し 2.2 kW の \mathfrak{t} ータ で 12 A 程度となっている。 一方 SCR は定格電流は 5 A, 20 A, 100 A などがあるが、耐電圧はたかだか 400 V (DC) 程度である。これは \mathfrak{t} \mathfrak{t}

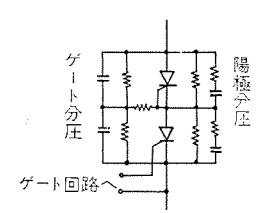


図 4.1 トリニスタの直 列接続 Fig. 4.1 Series connection of trinistors.

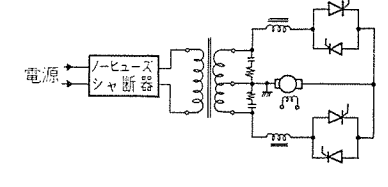
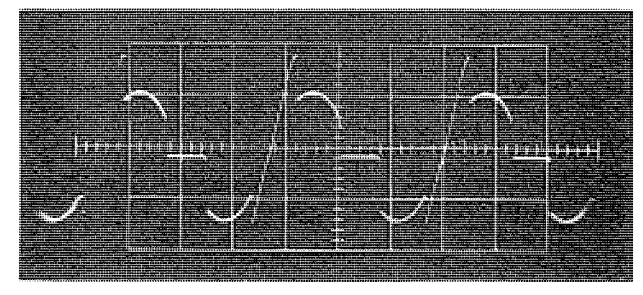
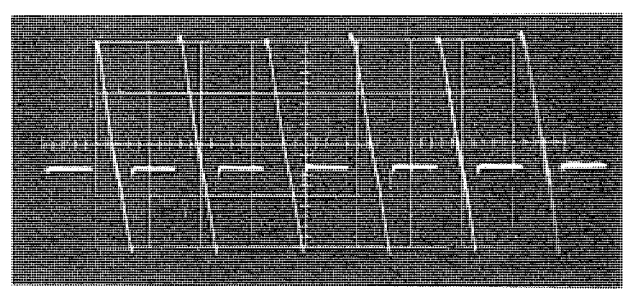


図 4.2 モータ 制御回路(両波整流) Fig. 4.2 Schematic diagram of motor control circuit.



(a) トリニスタ 電圧波形



(b) サーボモータ 電圧波形

図 4.3 トリニスタ および サーボモータ 電圧波形

Fig. 4.3 Voltage wave forms of trinistor and servomotor.

以上の事情より、サーボモータを制御するとき、SCR を並列に接続する必要のあることはほとんどなく、直列に接続する必要のあることが多い。SCR を直列に接続する場合、電圧の分担を均等化させることのほかに、直列につながれた素子をいっせいに点弧させなければならない。この二つの条件を満足させるために図4.1 の回路を使用している。図に示すように陽極分圧器と ゲート分圧器とを設け、ゲート入力は単に下段のSCR だけに加え、あとはゲート分圧器のコンデンサの放電により将棋倒し的に上段のSCRを点弧させる。この方式により電圧 120 V で制御不能な角度は2.2 度にとどめることができた。

SCR を半波整流で使用しているときは、負荷を通らない短絡 の通路は SCR の逆方向耐圧がこわれない限り起こらないが、両 波整流あるいはそれ以上の整流方式になると図 4.2 に示すよう に ゲート 回路の乱調により容易に負荷を通らない短絡通路が構成される. すでに述べたように SCR は過電圧,過電流に対する裕度が小さいから,このような現象を防ぐため ゲート 回路は安定な回路とし,かつかなりの余裕のある定格の SCR を選ぶとともに,保護回路を設けることが必要である.

保護回路として過電流に対しては ヒューズ, シ+ 断器または SC R を使った瞬時電流 シ+ 断回路などが考えられる. このうち最後にあげた回路は SCR の高速 スイッチング 特性を利用したものですぐれた保護回路であるが,実験の結果 ヒューズ または,ノーヒューズシ+ 断器と サージ 電流を防ぐ リアクトル をそう入することによって十分目的を達することが確認された. また過電圧に対しては余裕のある定格の SCR (あるいは直列接続を行なう)を選ぶとともに サージ 吸収回路を付加することにより保護している.

図 4.3 に両波整流のときの各部の電圧波形を示す.

5. む す び

SCR,トランジスタ および磁気 コア を用いて レーダアンテナ などの 位置制御に適した制御回路を開発し試験を行なった。動作試験および $-20^{\circ}\text{C}\sim+50^{\circ}\text{C}$ にわたる温度試験の結果,所期の性能を満足することが確認できた。

従来の サイラトロン 制御回路などに比べ, この方式は

- (1) 全面的に半導体化したことにより飛躍的に装置を小形軽量 化することができた.
- (2) 各部の構成を ブロック 化したので、システム の要求により、 かなり自由に必要な回路を構成することができる。

制御関係においても半導体素子が一般的に実用化されるようになってきたが、今後さらに信頼度、安定度の向上をはかるとともに、アナログ制御のみならず ディジタル 制御にも適用できる制御系を開発してゆきたいと考えている。これら半導体素子の積極的な実用化と一そうの発展を期待するものである。

(昭 38-2-26 受付)

参考文献

- (1) 岡,坂東,大島: っしょり 制御整流素子の応用,「三菱電機」 36, No. 7 (昭 37)
- (2) 吉田,高岡,川合: טרויט 制御整流素子による電動機制御,「三菱電機」36, No. 5 (昭 37)
- (3) 大鳥羽, 柴谷, 多田: MELCOM EA-7402 形全 トランジス タ 式 アナログ 計算機, 「三菱電機」36, No. 8 (昭 37)
- (4) F. W. Gutzwiller ほか: General Electric Controlled Rectifier Manual.

SСRの超音波発振器への応用

平 塚 篤*・藤井較一**

Application of SCR to Ultrasonic Power

Research Laboratory
Shimada Physical & Chemical Industrial Co., Ltd.

Atsushi HIRATSUKA Kochii FUJII

The ultrasonic power has been almost exclusively applied to industry inspite of its old history. The advent of silicon controlled rectifiers, however, has brought about a change in the situation, resulting in the adaptation of new SCR to ultrasonic power oscillators. The ultrasonic device in general is to convert the electrical output power of an oscillator having higher frequencies than audible ones to ultrasonic energy by means of a vibrator. The oscillator in the past, to electron tubes, which now have been replaced with semi-conductor (SCR)so as to make the set lightweight, of easy operation, stable and inexpressive. This means a great advance for ultrasonic devices. This article describes the characteristic of ultrasonic waves and vibrators together with ultrasonic oscillator experimental circuits of new system and their test results.

1. まえがき

超音波の応用は古い歴史を持つが、その用途はほとんど工業方面に限られている。超音波はわれわれの生活に広くとり入れられる可能性が予想されるにもかかわらず、現状において身近な応用の発展が見られないことは従来の超音波機器自体にも問題があると考えられる。

しかるに新しい半導体製品として อリコン 制御整流器(以下 SCR と称す)が出現して急激に応用面が発展した結果、超音波発振器にも新しい SCR が利用されるに至った.

超音波機器は一般に可聴周波数以上の高周波発振器の電気出力を超音波 エネルギ に変換して利用するものであるが、この発振器には従来すべて電子管が用いられていた。しかし最近開発された新方式の発振器では電子管が半導体 (SCR) に置き換えられて、軽量、簡易、安定、低価格になり、超音波機器の進歩と進展に新しい道が開かれた。本文には超音波の特性と振動子について説明し、新方式の SCR 超音波発振器とその試験回路の概要と試験結果について述べた。

2. 超音波の特性

音を大別すると人間の耳に感知される周波数範囲の音と、人間の耳に感知できない周波数範囲の音がある。可聴音の周波数は大体 20~20,000 c/s の範囲であるが、もちろん個人差があり、10,000 c/s 以下と考えられている。20 c/s 以下の音も、10,000 c/s 以上の音も人間の耳に感知されがたいが、とくに後者の高い周波数範囲の非可聴音が超音波で数メガサイクルまで利用される。

超音波も音波であるから一般の音波の法則に従うけれども、第一の特長として媒質が多種で振動数が高い(波長が短い)こと、第二の特長として エネルギ が強大であることのため超音波特有の現象が現われる.

普通の音波では空気を媒質としているが、超音波では気体、液体、固体などの媒質が幅広く使用され、波長が短い結果として指向性の鋭い音場が容易に得られ、また凹面鏡、プリズム、レンズ などを用いて幾何光学的に取り扱うことが可能で、反射、屈折などをさせることができる。

エネルギ が強大であることの結果として、その基本的現象は キャビテーション(空洞現象)である。液中に超音波を照射させると音圧の波高値が静圧より大きい場合、負圧のときに液体が引きちぎられて無数の気泡ができ、圧が正にもどると気泡は少しおくれてつぶれ、瞬間的に大きな圧力を発生する。これが破壊作用を及ぼして洗浄などにおいて主役を演ずるものであり、キャビテーションと呼ばれている。

超音波にはこの他に固体表面などでの境界面加熱, ルミネッセンス, 凝集作用,分散作用,脱気作用その他の数々の特性を有する.

3. 超音波の発生

ここでは超音波の発生装置,とくにつぎに述べる SCR 発振器の負荷として回路の一部をなす磁歪振動子を主として述べ,超音波技術応用の主力であり,SCR 発振器を使用するのに最も適した超音波洗浄装置について言及する.

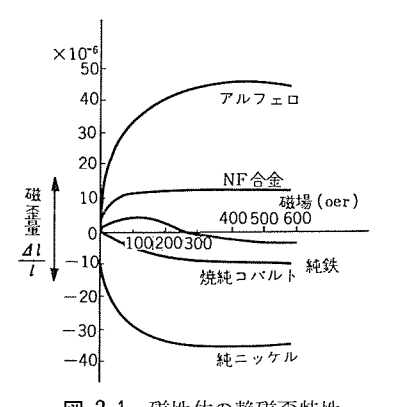


図 3.1 磁性体の静磁歪特性 Fig. 3.1 Static characteristics of magnetostriction.

れるのは磁歪振動子である.

強磁性体を磁場の中におくと、ジュール 効果によって伸びるもの(アルフェロなど)と縮むもの(フェライト,ニッケルなど)がある.(図3.1)酸歪形振動子は薄板に窓を抜き,一枚ずつ絶縁して積層したもの(図3.2),あるいは輻射板に等間隔に分布配列

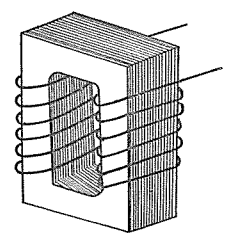


図 3.2 積層形振動子 Fig. 3.2 Laminated type vibrator.

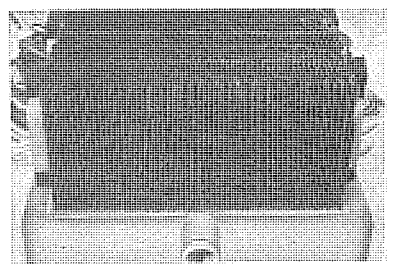


図 3.3 輻射板に接着した磁歪振動子 Fig. 3.3 Magnetostriction vibrators fixed on radiative board.

をして接着したもの(図 3.3)などに コイル を巻いたもので、能率的に振動させるために直流によって偏倚磁界を与え、それに機械共振周波数と同一周波数の交流を重畳して振動させると強力な音波を発生させることができる。磁歪振動子は一般に 50 kc 以下の低い周波数の用途に用いられる。

従来超音波洗浄器では $= y_{TN}$ 振動子は図 3.2 のように積層したものに t_{N-2} (機械変成器) を接続して振動子は水冷式のものを用いていたが,現在では強力な t_{T-2} 大を直接輻射板に等間隔に分布配列して接着した自然空冷あるいは強制空冷式の洗浄器も見られるようになり,1960 年には E. B. Wright はこのような配列を Ni に利用し,高変換能率の洗浄器が得られることを報告している。この分布配列方式の一つのねらいは洗浄面積を広くして一様な音場を作ることで,現在洗浄 t_{T-2} とで使用されている。

超音波による洗浄は ‡+ビテーション 気泡消滅時の非常に大きな力, 超音波振動による洗浄液と汚物の化学反応の促進などによって汚物が除去されることであると一般に説明されている。したがって超音波洗浄で最も重要な因子と思われるものは音強度,洗剤ということになる。超音波洗浄では小形部品,精密部品などの洗浄,テレタイプ などの丸洗い,スケール の酸洗いなどが可能で,その他にも多くの用途があり,洗浄時間の短縮,均一性の向上を図ることができる。

4. 超音波発振器とその試験

超音波を使用する場合に高周波電源となるものが超音波発振器であるが、用途によって周波数、所要電力が広範囲にわたるので、一概に超音波発振器といっても多種多様である。超音波発振器には従来の真空管を使用したものと、新しい SCR を使用したものがあり、結合される負荷は上に述べたような各種振動子であるが、負荷に応じて両者の整合が必要となる。ここでは超音波発振器の概要と SCR 超音波発振器の試験およびその結果について述べる。

4.1 電子管式超音波発振器

従来超音波発振器には真空管が使用され、つぎのような問題点があった。

- (1) 高電圧により所要電力を得ているため、高電圧電源を必要とする.
- (2) 部品や回路の耐圧を考慮しなければならない.
- (3) 負荷の変化に対して インピーダンス 整合が必要である.
- (4) 起動時に電子管の予熱時間を必要とする.
- (5) 回路構成が複雑で所要部品が多い.
- (6) 以上の結果,操作や保守が簡単ではなく,寸法,重量が大で高価である.

電子管発振器は自励発振器と M. O. P. A. (master oscillator

power amplifier) 発振器があり、前者は回路が簡単であるが不安 定であり、後者は安定であるが回路はさらに複雑化する。後者に は単一周波数発振器と広帯域発振器がある。

洗浄,加工,溶接などの動力的応用に使用する電力の規模は小は 10 W 程度から大は数十 キロフット に及ぶ.

4.2 SCR 発振器と試験回路

超音波発振器は用途により多種多様であるが、電子管を使用していることは上述のとおりで、その結果操作や保守が簡単ではなく、寸法重量が大で高価であった。しかし新方式の SCR 発振器は簡易、安定、軽量、安価で、超音波機器の進歩に新しい道が開かれた。

最近の半導体技術の進歩は目ざましく、固体 サイラトロン ともいわれる SCR もその成果の一つである。SCR はその構造がトランジスタ に類似し、動作特性は サイラトロン 放電管に類似した制御電極を有する PNPN 四層の制御整流素子である。SCR に関してはあらためてここに述べるまでもなく、多くの文献があるので省略するが(1)(2)、サイラトロン と比べた場合にすぐれた特長の一つはSCR の方が 1~2 ケタ 早い速度のスイッチング作用をなしうることである。このため サイラトロン ではなしえない高周波への応用が可能となり、超音波機器の周波数範囲にも使用できるようになった。このような SCR を使用して超音波発振器の試験を行なった回路接続図を図 4.1 に示した。

図 4.1 の試験回路の動作は $^{(3)}$ 一定直流電流が高周波 $f_{3}-2$ L_{2} を流れ,充放電 $_{2}$ $_{2}$ $_{2}$ $_{3}$ $_{4}$ $_{5}$ $_{7}$ $_{1}$ $_{1}$ $_{2}$ $_{2}$ $_{3}$ $_{4}$ $_{4}$ $_{5}$ $_{1}$ $_{2}$ $_{2}$ $_{3}$ $_{4}$ $_{4}$ $_{5}$ $_{5}$ $_{1}$ $_{5}$ $_{1}$ $_{1}$ $_{1}$ $_{2}$ $_{2}$ $_{2}$ $_{3}$ $_{4}$ $_{5}$ $_{5}$ $_{5}$ $_{1}$ $_{5}$ $_$

図 4.2 は試験回路各部の電圧,電流波形を示している.回路動作の簡単な説明は上記のとおりであるが,この回路の特長は負荷振動子の共振周波数の変化を追尾する点にある.超音波機器においては発振器の発振周波数と振動子の機械的共振周波数は振動子に加わる負荷の大小,温度などにより変化するため,その発振器の周波数を追尾する機能を有するものが望ましい.この点 SCR

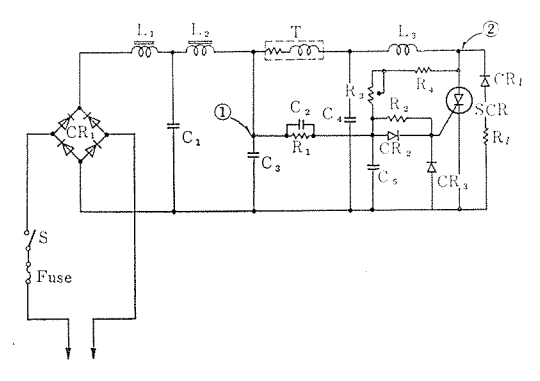


図 4.1 SCR 超音波発振器接続図

Fig. 4.1 Connection diagram of SCR ultrasonic oscillator.

超音波発振器は図4.1の① 点からの フイードパック と② 点からの フイードパックの 信号を合成して ゲート 入力 とすることにより、追尾特性を示す。これは SCR 発振器がとくに負荷の変動する洗浄用電源に適していることを示すものである。

4.3 SCR 発振器の試験 結果

既に述べたように超音波 洗浄装置用として SCR 発 振器は多くの利点を有する 新方式の回路であり、これ を開発することによって新 しい応用分野の開拓も可能 であるから、三菱トリニスタ

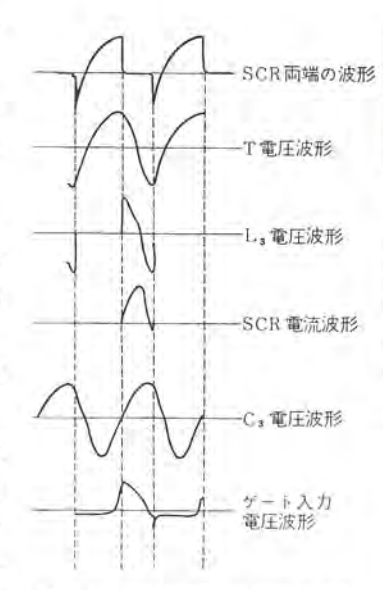


図 4.2 回路各部の電圧電流波形 Fig. 4.2 Voltage and current wave forms of circuit.

(SCR) を使用して 20 kc, 500 W 超音波発振器の試験回路を構成して試作の基礎 データ を得るために試験を行なった.

SCR 超音波発振器の試験回路は図 4.1 に示され、その動作は 上に説明したとおりであるが、これに使用する SCR に対しては つぎのような相当きびしい高周波特性が要求された.

(1) SCR が f-ト 信号によって阻止状態から導通状態に移行する際、数 μ sec の時間遅れを生ずるが、この場合、20 kc 以上の開閉を行なうので g-ンオンタイム が長いと開閉損失が多くなる。

(2) 陽極電圧立上り時間

超音波発振器のように 20 kc 以上の開閉を行なう場合には陽極電圧の立上り $(V/\mu \text{ sec})$ は相当急しゅんであり、このために陽極順耐電圧 (V_{BO}) が低下する現象が見られたが、これは出力電力を制限されるので好ましくない。

(3) 8-vt7816

SCR の開閉周波数上限を定める特性は、導通状態の後に順方 向阻止能力を回復する時間(ターンオフタイム)である。

通電停止後 ターンオフタイム 以内につぎの周期の陽極電圧が印加されると SCR は阻止能力を回復していないため、ゲート 信号がなくても通電してしまうから、インバータ 発振器では導通状態が継続して運転を停止してしまう。

20 ke 以上の $3 \sqrt{3} \sqrt{3} \sqrt{2}$ 充放電を行なうこの発振器の SCR の陽極波形は図 4.2 のようになり、 $9 - \sqrt{3} \sqrt{3} \sqrt{4}$ は数 μ sec であることが必要で、現状では特別のものを選択する必要があった。

SCR の特性に対して上記のような問題点が明らかになったほか、回路的にもいろいろ検討を行なった。このような高周波電力回路では回路損失が大きくなりがちであるからその低減をはかること、開閉素子に適切な動作条件を与えることなど検討された。

試験回路でこれらの点の検討を重ねて能率の良い回路の設計資料が得られたので、これに基いて SCR 発振器の試作、試験が進

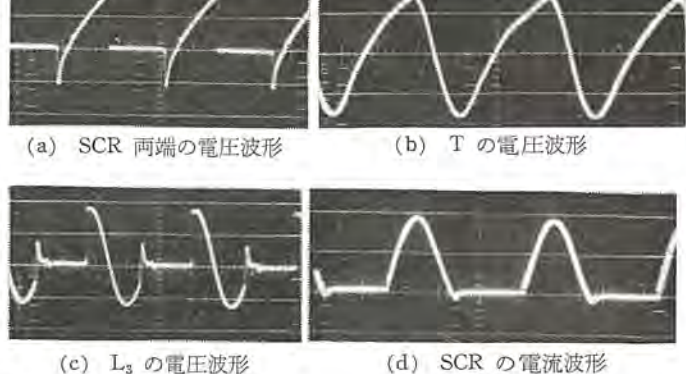


図 4.3 SCR 発振器の試験回路の電圧,電流波形

Fig. 4.3 Wave forms of experimental SCR ultrasonic oscillator.

められている。 図 4.3 には予備的に行なった発振周波数 20 kc SCR 発振器の オシログラフ 写真を示した.

SCR 超音波発振器の試験結果から、従来の電子管発振器に対してつぎのような利点が明らかにされた。

- (1) 発振器の寸法, 重量が 1/3 以下になる.
- (2) 直流より高周波への変換能率が 50% 以上増大する.
- (3) 信頼性が大きい。
- (4) 加熱時間,起動時間を要しない。
- (5) 簡単な構成で、負荷変動に追尾し、しかも動作が安定である。

5. む す び

超音波の特性、とくに洗浄効果の主役をなすキャピテーション現象と、超音波振動子、とくに SCR 発振器の負荷として回路の一部をなす磁歪振動子について説明し、従来の電子管発振器と SCR を応用した超音波発振器およびその試験回路の動作について述べ、SCR 発振器試作のための試験結果ならびに明らかにされたかずかずの利点を説明した。

SCR 発振器の開発により、超音波の動力的応用の主力をなす 洗浄装置に進歩がもたらされるだけではなく、われわれの身近な 生活の中に超音波の応用分野が拡大されることを期待している。

最後に超音波発振器用 SCR に関して、研究所の協力を得ていることを付記し、物理第三研究室吉松室長、清水研究員に感謝申上げる. (昭 38-2-21 受付)

参考文献

- A. K. Johnscher; Notes on the theory of four layer semiconductor switch. Solid electronics Vol. 2. p 143 ~148 (1961)
- (2) An investigation of the dynamic switching properties of four-layer diodes AIEE No. 60-19.
- (3) W.C. Try: An Ultrasonic power source Utilizing A solid-state switching device. IRE. ICR. Part 6. March. 23, (1960)

SCRの故障とその防止

岡 久 雄*

Failures of SCR and Protection against them

Research Laboratry

Hisao OKA

In designing circuits employing the SCR for practial use, it is not only the first requisite to make proper selection of element ratings and circuit systems, but also essential to provide for any possible failure by means of adequate protecting devices. Likewise every caution should be exercised in the application, setup and operation to avoid liability of accident. Weighing relative merits between dependability and economy is not to be neglected either in the design. This paper deals with various causes and protection in connection with various failures, wrong operations and element deteriorations liable to occur in the SCR application.

1, まえがき

SCR は現在信頼度の高い半導体素子として認識されてきており、価格の低下とともに次第にその応用分野を広げつつある。

SCR は他の半導体素子と同様に、その使用条件によって信頼 度がかなり異なるため、SCR 応用装置を設計するときは、素子 定格の選定や回路構成などに十分注意をはらうとともに、万一の 事故に対する保護手段を講じておかねばならない。

しかし一般の機器の場合と同様に SCR 応用装置の保護対策は、 その用途や使用場所によって異なる. すなわち信頼性と経済性と いずれに重点をおくか、あるいは故障の発生する予想ひん度、運 転休止の可否、さらに他機器との連けい状態によって保護手段は 異なってくる.

この論文では SCR 装置で起こるおもな故障とその一般的な保 護対策について述べるが、その中には普通の シリコン 整流素子の 場合と共通に考えてさしつかえないものも多くある.

2. 過電流による故障とその保護

SCR は制御しうる電力に対し他より小形軽量であるという特長を有しているが、その反面熱時定数が小さく、大きな過電流に対して接合部の温度上昇が早いため、過電流耐量は比較的小さい。

SCR の接合部の温度が上昇し、100°C を越えるとまずその ブレ -クオーバ 電圧が低下し、140~160°C ではほとんど順方向電流阻 止作用を喪失する. 今図 2.1 に示すように, 交流電源より SCR を通して負荷に電流を流す回路で, SCR の ゲート に加える点弧 入力の位相αが比較的大きい場合, 何らかの原因で負荷電流が定 格を越えると、接合部温度は上昇しついに ブレークオーバ 電圧 V_{B0} が交流電源電圧の セン 頭値より下回ることがある. もし点弧位相 α 以前の α' で、交流電圧が eg-0 = -1 電圧より高くなると当然そ の位相で SCR は点弧するため、結果としてさらに過大な負荷電 流を流すことになり、ますます接合部温度を高め、したがってさ らに ブレークオーバ 電圧を下げる. このようにしてついに α' はほと どん電気角 0° まで小さくなり、完全に順方向の阻止作用を喪失 し、さらに大きな故障を越こすことがある.この現象はいわば SCR における順方向電流の熱逸走であって、点弧位相 α を大き くして(すなわち通電角をしぼって)使用する場合には注意しなけ ればならないことである.

SCR が順方向の阻止作用を喪失する温度よりさらに接合部の

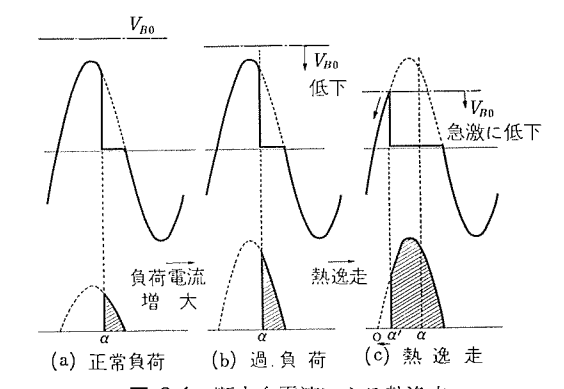


図 2.1 順方向電流による熱逸走 Fig. 2.1 Thermal runaway by foreward current.

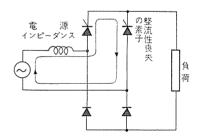


図 2.2 整流性を失なった素子による短絡 Fig. 2.2 Short circuit by the element lost rectifing property.

温度が上昇し、180~200°C 近くに達すると今度は普通の シリコン 整流素子の場合と同じように逆電流が急激に増え、ついに整流性を喪失する. 単相半波整流回路をのぞき一般の整流回路では、整流性の喪失は図 2.2 に示すように電源を短絡する通路を作ることになるから、きわめて大きい短絡電流を流すことになり、SCR接合部の温度は急激に上昇し、それを永久破壊させるに至る.

SCR を過電流による破壊より防止する方法は、その過電流の大きさ、立上り速度およびその通路によって異なる.

負荷側の短絡事故や整流回路の他素子の破壊による短絡は SCR にとって最もか酷な過電流を与える。これらの短絡電流の大きさおよび立上り速度はおもに電源 インピーダンス によって制限される(1). したがって電圧変動率の少ない装置ほど短絡電流は大きい。変圧器を通して電源につながる装置では、短絡により整流素子に流れる過電流の大きさはおおむね定常値の 10~20 倍に達するから、事放発生より半 サイクル 以内にその整流素子より過電流を除かなければならない。その方法としては、とくに半導体整流素子保護用として作られている高速 ヒューズ が用いられる。この高速 ヒューズ は、溶断する際に高い サージ 電圧を発生してそのために整流素子やその他の回路素子を破壊しないように溶融時間

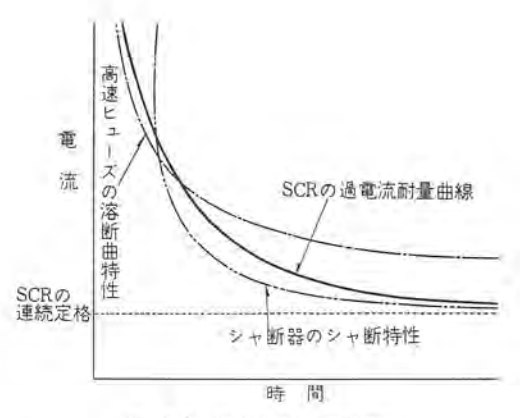


図 2,3 過負荷保護の協調 Fig. 2.3 Coordination in overcurrent protection.

資荷電流検出 ゲードパルス 発生回路

図 2.4 ゲート 入力除去による 過電流保護

Fig. 2.4 Overload protection by eliminating the gate input.

に過ぎない。

り起こる負性抵抗現象である。したがって J_2 では SCR が負性抵抗を示すわずかの スイッチング 時間 (ターンオン 時間) を除き、大きな熱発生が起こらない。 そのため ブレークオーバ は J_2 接合 に対して逆方向の絶縁破壊のように見えても決して永久破壊ではなく何回でも繰り返しうるものである。

しかし ブレークオーバ 電圧が 次第 に高くなると スイチョング 時間内の 熱発生が大きくなることと, Ja接 合にそのような高い逆電圧が印加 されると, 接合面内で他よりわず かでもなだれ電圧の低い微少局部

が突破口となって ブレークオーバ を起こすため、接合面の局部破壊 または劣化を生ずることがある。

SCR はもともと f-1 入力によって点弧するのが本来の作動であって、f-1 入力なしで順電圧による j_0-2t-1 点弧はできるだけさせない方がよく、とくに $500\sim600\,\mathrm{V}$ 以上での j_0-2t-1 は避けるべきである。

つぎに図 3.1 (b) に示すように SCR に逆電圧が印加されると、今度は J_1 , J_2 の二つの接合に逆電圧がかかるが、SCR では一般に J_3 の整流性は低いので大部分の逆電圧は J_1 で受けもっている。 J_1 接合に過大な逆電圧がかかり、絶縁破壊するときは、 J_2 接合における ブレークオーバ のように他からの電流 ++リヤ の供給がないため、なだれ増倍作用による逆電流の急増に対しなだれ電圧を維持しなければならず、きわめて大きな熱発生を伴なう。とくになだれ電圧の低い局所に逆電流が集中すれば、きわめて短時間にその局所は溶融し SCR は永久破壊となる。

したがって SCR は普通の シリコン 整流素子と同じように きわめて短時間の サージ 電圧に対しても、定格値よりの裕度が少ない。 正弦波で毎 サイフル 印加しうる逆電圧の セン 頭値に対し、過渡的に一発かぎり印加しうる正弦波逆電圧の セン 頭値は 20% 高い

SCR に印加される過電流の原因としては、その装置の電源開閉 サージ、電源側または負荷側より侵入する外来 サージ がある. その他、SCR 過電流保護用高速 t₂-ズ の溶断、SCR 自体の正孔蓄積効果などによる スパイク 電圧も過電圧の原因となる.

と電弧時間がほぼ等しくなるように作られている(2).

電圧変動率を多少ぎせいにしてもさしつかえないような装置では、電源側の インピーダンス を高くして、高速 シャ 断器のみで過電 流保護を行なってもよい.

SCR では以上述べた普通の整流素子の場合と共通な保護手段の他に、ゲート 回路よりの点弧入力を停止することにより過電流破壊より防ぐ方法がある。もちろんこの方法は短絡事故のような急激な過電流に対しては期待できない。たとえば図 2.4 のように負荷電流の大きさを検出し、その価が SCR にとって危険な値となった時、ゲート 回路の発振を停止させるか、SCR のゲート 陰極間に低 インピーダンス の短絡回路を形成させればよい。

3. 過電圧による故障とその保護

PN 接合に過大な逆電圧を印加すれば、 "JIT- 破壊あるいばなだれ破壊によって接合部に大きな逆電流が流れ、 ついに絶縁破壊至にる. この破壊は一般に永久破壊となり回復性がない.

SCR の場合は PNPN の 4 層より成り、三つの PN 接合をもっている。図 3.1 (a) に示すように順電圧に対しては J_2 の接合にのみ逆電圧が印加されるが、順方向のいわゆる ブレークオーバ 現象は、この逆 バイァス された J_2 に隣の接合 J_1 , J_3 より電流の + ドリヤ である正孔、電子が供給されるため、 J_2 に対する逆電流を維持するのに高い逆電圧を必要としなくなることによ

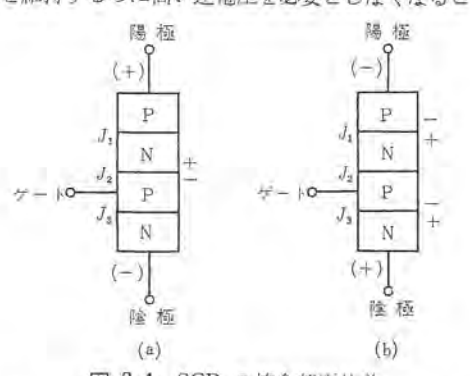


図 3.1 SCR の接合部電位差 Fig. 3.1 Potential difference of junctions in SCR.

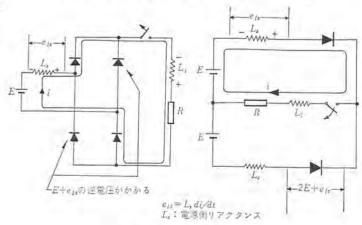


図 3.2 整流回路の直流 シャ 断 Fig. 3.2 DC interruption of rectifying circuit.

SCR の故障とその防止・岡

これらの過電圧から SCR を保護するためには、まずそれら過電圧の大きさと時間幅を知る必要があるが、それらは場合場合によってきわめてまちまちである $^{(3)}$.

電源開閉 サージ としては無負荷状態の変圧器の励磁電流を シャ 断する時最も高いものが出易く、定常波高値の数倍から 10 倍に 達することがある。無負荷 シャ 断をさければ通常開閉 サージ 電圧は定常波高値の 2~3 倍までであり、それ以上の過電圧が発生する確率は少ない。

負荷側を開放するとき、とくに誘導負荷を開放する場合は、大きな サージ 電圧を発生するが、図3.2 に示すように電源側(トランスを含む)の リアクタンス と負荷 リアクタンス との比によりその一部が SCR に対し逆方向過電圧となるに過ぎない。

電源側よりの外来 サージ、電源トランス 一次側閉路時の サージ 電圧は静電誘導によって巻数比に従わずに二次側に侵入することがある。とくに逓降変圧器においては低圧側に大きい サージ 電圧として侵入することがある。これを防ぐには一次、二次間を静電的に シャヘイするか、二次側を コンデンサ 接地すればよい。

これらの過電圧より SCR を保護するには、まず定格電圧を定常 t_{2} 頭値に対し幾倍かの大きさに選べばよいが、それには高価な SCR を使用しなければならないので、経済的な限界がある.

逆方向の過電圧に対しては SCR と直列に, 逆耐圧の高い普通の シリコン 整流素子をつなくことにより SCR の価格を下げることができる。その場合は図3.3に示すように各素子に逆耐圧に比例した並列抵抗(ただしいずれも逆方向漏れ電流よりは大きい電流を流しうる値のもの)をつなくか, SCR には逆並列に小容量の整流素子をつないで逆電圧はすべて直列 シリコン 整流素子にのみ受けもたせる。

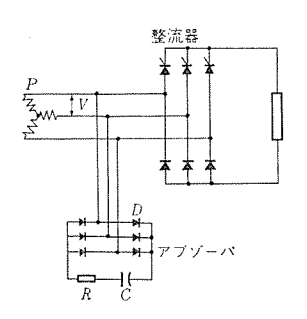
順方向過電圧に対しては、高い電圧で ブレークオーバ させないように、たとえば図3.4に示すように陽極電圧がある値を越えたときに強制的に ボート に入力を送りこんで点弧させる方法がある.

装置内で発生または外部より侵入する サージ 電圧を吸収または

 R_1

図 3.3 SCR と Si 整流素 子の直列接続

Fig. 3.3 Series connection of SCR and Si diode.



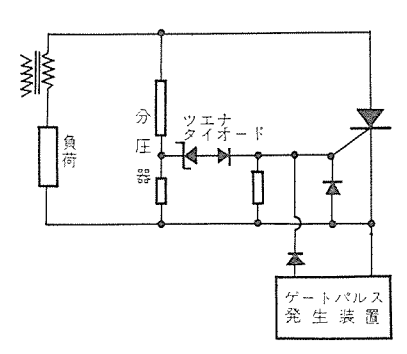


図 3.4 順方向過電圧に対する 陽極点弧回路

Fig. 3.4 Anode firing circuit for foreward over-voltage.

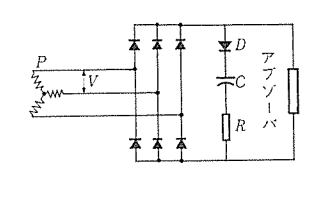


図 3.5 CR アラゾーバ の接続 Fig. 3.5 Connection of CR absorber.

抑制するのに、図3.5 に示すように CR r プリーバ を用いたり、非直線抵抗 バリスタ などを用いる方法がある。図3.5 の CR r ブリーバ の C,R の値はそれぞれつぎの式で選んでよい⁽⁴⁾.

$$C = \frac{70 \, P}{V^2} \quad (\mu \, \mathrm{f})$$

$$R=5R_L$$
 (Ω)

ただし P は電源変圧器の定格容量 (W), V は変圧器の実効電圧 (V) である。また直列 ダイオード D は リップル 電流による損失をなくすのに効果がある。

バリスタ の選定は発生を予想される サージェネルギ と定常電圧とより求められる⁽³⁾.

4. SCR の誤動作とその防止

SCR を信頼性の高い素子として使用するためには、前2章に述べた故障に対する保護とともに、誤動作を防止しなければならない。

誤動作の原因としては、まず f_- ト 回路に誘導された雑音による不用意の点弧がある。雑音としては f_- ト 回路のそばを di/dt の大きい電流が通過するとか、電磁 2ℓ が近くにある場合に起こる電磁誘導によるものと、 ℓ 一ト 回路とともに SCR の陰極電位が急激に変化するような場合に起こる静電誘導によるものとがある。

前者に対しては、そのような電流導線や コイル を f-ト 回路に近づけないようにすることはもとより、やむをえない場合は f-ト 回路の導線をより線または同軸導線とする.後者に対しては、もし f-ト 回路が大地に対し浮いている場合は f-ト および陰極をそれぞれ 0.01 μf 程度の コンデンサ で接地する.

ゲート に陰極に対する負の バイァス 電圧 (3V まで)をかけることや、SCR のごく近くで ゲート 陰極間を $0.1 \sim 0.01$ μ f 程度の コンデンサ で結ぶことも、その種類によらず雑音による誤動作を防止するのに効果がある。それらについては本号の他の個所に掲載さ

れている ゲート 回路設計法のところに詳述してある.

誤動作の第2の原因は SCR の ブレークオーバ 電圧以上の順 方向サージ 電圧がかかるか, あるいは SCR が過電流による温 度上昇のため ブレークオーバ 電圧を低下したために起こる, ゲート 入力なしのターシオン である. しかしこれらについてはすで に過電流および過電圧に対する保護のところで説明してある

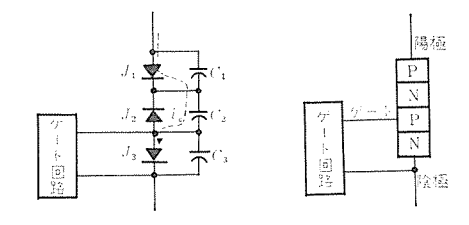


図 4.1 障壁容量による早期点弧の モデル Fig. 4.1 Premature firing model by barrier capacitance.

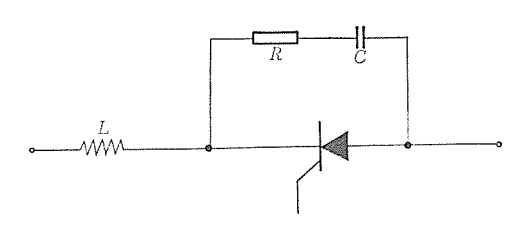


図 4.2 波頭抑制回路 Fig. 4.2 Wave front supressing circuit.

ので省略する.

誤動作の第3の原因としては、きわめて急しゅんな順電圧印加がある。これは dV/dt のきわめて大きな順電圧が印加されると、図 4.1 に示すように逆電圧のかかる J_2 接合の障壁容量を通して、短時間ではあるが大きい充電電流が流れ J_3 接合における電子の注入を増すためである。この現象は電源電圧が接触器などにより急激に SCR に加えられた場合、その投入位相によってはきわめて急しゅんな波頭の電圧となるため生ずることがある。高周波インパータ における再起順電圧も急しゅんな立ち上りを示す。

この種の誤動作を防止するには、たとえば図4.2に示すように RLC を組み合わせて順電圧の波頭をなまらせてやることも一つ の方法であるが、ゲート 負 パイァス や ゲート 陰極間に コンデンサ をつなぐことによっても防止できる・

5. 使用周波数の限界と定格の逓減

SCR の使用周波数を制限するものとしては、ターンオフ 時間 スイッチング 損失および順電圧の立上り速度がある.

ターンオフ 時間 $t_{
m off}$ と限界周波数 $f_{
m max}$ との関係は回路条件により異なるが、おおむね

$$f_{\text{max}} = 1/4 \sim 5 t_{\text{off}}$$

と考えてよい。 ターンオフ 時間は温度が高いほど, また負荷電流が 大きいほど大きくなるから, 高周波で使用するときは電流定格を 下げた方がよい。

SCR のスイッチング損失は、商用周波数で動作するときはほとんど問題にならないが、単位時間当りのスイッチング回数の多くなる高周波動作ではスイッチング損失が周波数に比例して大きくなり、全損失の大きな割合を占めるようになる.

以上の理由によって SCR は高周波では定格電流を下げて使用しなければならない。図 5.1 にその1 例を示す⁽⁴⁾. 現在の SCR では、その限界周波数は $20\sim30$ kc である

周波数が高くなると陽極順電圧の立ち上り速度 dv/dt も (電圧 波高値一定の場合) 周波数に比例して大きくなるから、 $10 \, \mathrm{kc}$ 以上

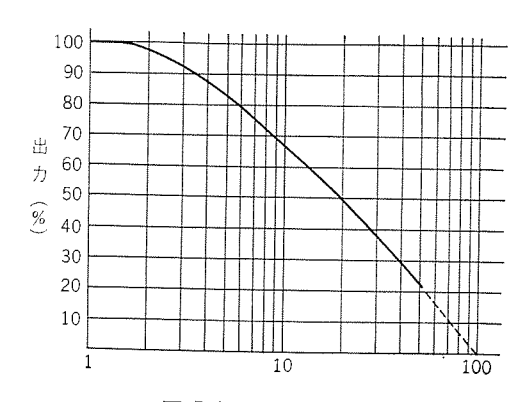


図 5.1 周波数対出力 Fig. 5.1 Power output vs frequency.

の高周波に対してはやはり定格電圧も低目に選んだ方がよい.

6. 特性劣化の諸原因

ハーメチョクシール を施した半導体素子では、内部に消耗部分がないことと、外気にさらされないことによってその寿命は半永久的であることが期待できる。しかし実際には内部にごくわずかながら不純分子や湿気が残存することもあり、それが長時間の中に特性劣化の原因となることがある。この種の長時間にわたる特性の劣化は SCR の製造技術に依存し、その進歩とともに次第に克服されるであろう。

このほかに使用時の不注意から特性が劣化する場合がある。 それらを列きょすればつぎのようなものがある。

- (1) $500\sim600\,\mathrm{V}$ 以上の高い電圧 (PFV として定格に指定されていることもある)で、ゲート 入力なしに しばしば ブレークオーパさせること・
- (2) ゲート に最大定格以上の電圧または電流を加えること.
- (3) 破壊限界には達しないが、過大な陽極電流または逆電圧を繰り返しに印加すること.
- (4) 床上に落下その他の大きな機械的衝撃を SCR に与えること.
- (5) 最大定格以上の締付 トルク で SCR の ネラ を締め付けること.
 - (6) 150°C 以上の高温で長時間保存すること、

以上の諸原因がただちに結果として表われない場合もあるが, 使用者は常に注意しなければならない事柄である.

7. む す び

SCR がすぐれた制御素子であることは多くの技術者の認めるところであるが、実際それを応用した装置を設計する段階となると、その信頼性とか使用条件などでとまどうことがある.

したがって本紙では設計者がいだいている不安に対し、卒直な答を与え、かつその不安を取り除くために、SCR の各種の故障や誤動作とその防止法について述べたものである.

ここに述べられた事柄をよく認識し、故障や誤動作に対する措置を十分行なっておけば、SCR はすぐれた特性と高い信頼性を持つ素子として、その妙味を発揮することは論ずるまでもない。

(昭 38-2-21 受付)

参考文献

- (1) AIEE Working Group on Calculation of Faults in DC circuits, C.P. AIEE, 57-811 (1957).
- (2) F. W. Gutzwiller, T. P. AIEE, 58-928 (1958).
- (3) 岡,「三菱電機」, 33, 1164 (昭 34)
- (4) D. A. Pisarcik, Electronic Design, 10-11, 68 (1962).
- (5) G.E. McDuffie, W.L. Chadwell, D.P. AIEE, 59-671 (1959).

三菱電機スカイリングおよび 三愛ドリームセンターの電気設備

瀬戸義雄*・浜田恭平*

Electric Equipment of Mitsubishi Sky Ring and San-Ai Dream Center

Head Office Yoshio SETO · Kyōhei HAMADA

At the corner of the fourth street of Ginza—the heart of the Great Tokyo—has come out a San-Ai Dream Center in the form of an epocal luminant tower. From the fourth to the nineth floor of the building is given a name of Mitsubishi Sky Ring. As will be seen in the photograph the Mitsubishi Sky Ring and San-Ai Dream Center is a ultra-modern building in which the most advanced sense is taken up based on superior architectural style in the world. Electric equipment installed here is an essence of the today's technological advances becoming to the ultra-modern structure. The article gives a description on lighting equipment, loudspeaker arrangement, telephone exchange facilities and automatic fire alarms housed in the second underground floor.

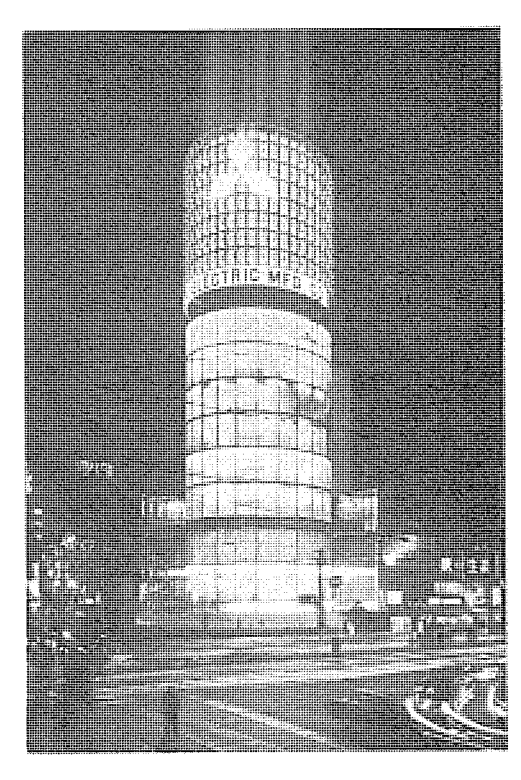


図 1.1 三菱電機 スカイリング および 三愛 ドリームセンター Fig. 1.1 Mitsubishi Sky Ring and San-Ai Dream Center.

1. まえがき

大東京の中心――銀座四丁目角にそびえ立つ画期的な光の塔――三愛 ドリームセンター (4 階より 9 階までは三菱電機 スカイリングが使用) は建築様式がすぐれ,世界に珍らしい構想と近代的感覚をとり入れた超 デラッックス な建物で、今や日本の新名所として衆目を集めつつあるが、それにふさわしく完成した同 ヒル の電気設備とその内容について略述する.

2. 変電設備の計画概要

2.1 受電と配電の方式

東京電力日比谷変電所から送電する日比谷第一環線より 22,000 V,50 c/s,二回線 ν -プで受電する.契約電力は常時 1,000 kW,期間常時 200 kW,契約最大電力 1,200 kW である.

図2.1はこの受変電設備の単線接続図である. 受電電圧 22,000 V, これを三相二回線 ループ 受電し, 所要の変圧器容量 1,500 kVA に対し, 独立した 750 kVA 変圧器 2 台を配し, 比較的長期の負荷の変化に対し運用の妙を発揮できるようになっている. 主変圧器は一次側は三角接続で タップ 電圧 23-22-21-20 kV, 二次側は星形接続 420/242 V 三相四線式である. 低圧側負荷は動力負荷約 430 kW, 電灯負荷約 425 kW, ネオン広告灯約 500 kW と大きく3 分割している. 電動機はすべて 400 V 電動機を使用し, ボイラ空気清浄装置ならびに マグネット 操作回路には三相 50 kVA 変圧器 1 台により 210 V に降圧し少数の小形電動機とともに使用する. 各階電灯回路として コントロールセンタ より各分電盤までの幹線は, 三相四線式 420/242 V を供給し, 分岐回路は単相 242V を供給する. 屋上広告灯は, コントロールセンタ から広告灯 キュービクルまで 420 V を供給する.

2.2 変電設備の計画

三菱電機 スカイリッグ および三愛 ドリームセッター の変電設備の計画 に際しては、従来の変電設備より進歩した新しい構想の変電設備 とするために社内に当時三愛 タワー(仮称) 実行委員会を組織して、経済性といかにして狭あいな スペース に所要機器を有効に配置するかにつき十数回にわたり委員会を開催して検討した.

1. 20 kV 回路および 5+ 断器などに対する考え方は従来の ビル 用変電設備と同様である. 20 kV キュービクル は母線および 支持 ガイシ を特殊な設計とし空気 5+ 断器と圧縮空気発生装 置の配置を考慮して 5+ 断器 キュービクル の大きさを大幅に縮少した.

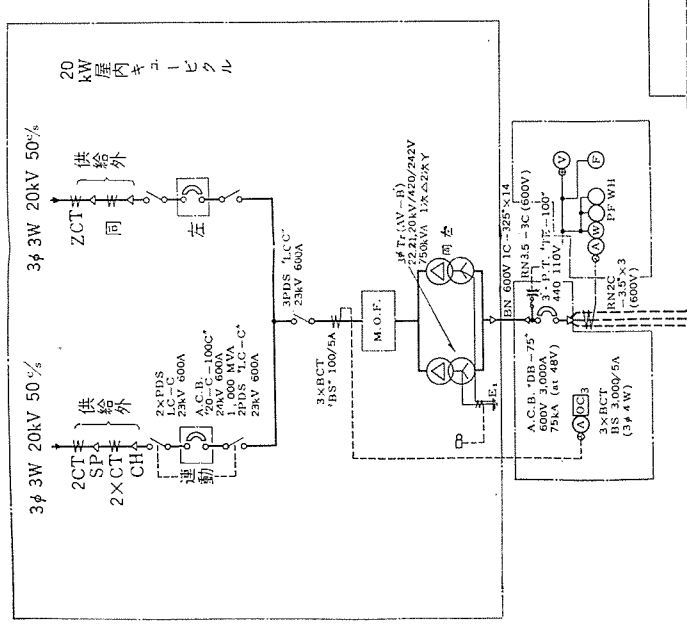
74 (684) * 本社

受変電設備

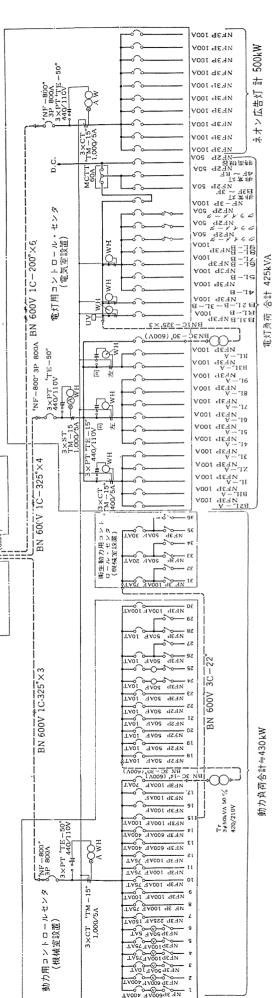
2, 1

図

- 2. 主変圧器は信頼性ありかつ最も スペース の小さい風冷乾式変圧器 (H 種絶縁) を採用し容量は三相 750 kVA 2 台を常時並列に使用し、非常の場合には 750 kVA 1 台として用いる考慮も計った. 二次電圧は 420/242 V の星形接続としてビルの配電方式には新しい三相四線式を採用したのである.
- 3. この ビルで最大容量の単機電動機は $110 \,\mathrm{kW}$ の 9-ボ冷凍機なので $400 \,\mathrm{V}$ 級電動機で計画し、 $20 \,\mathrm{kV}$ より直接 $420/242 \,\mathrm{V}$ に降圧した。中間電圧 $(3 \,\mathrm{kV})$ を経て $210/105 \,\mathrm{V}$ に降圧する機器は省略した。この事実は設備費の節減および電力損失の軽減も大きいが、狭あいなこの ビル の地下電気室では 2%-スの節約による利益は多大であった。
- 4. 100/200 V 級配電方式に比べて 420/242 V 三相四線式の配電方式は資材ならびに経済的に有利である. 最近 ケーブル は 600 V 定格のものを使用するので, いずれの電圧でも同種のケーブルである. 電灯幹線として 420/242 V 三相四線式は 100/200 V 単相三線式に比べて, 電線の銅量は約 1/5, また電動機配線として 420 V は 200 V 三相三線式に比べて銅量は約 1/3 となる.



5. 絶縁物および絶縁方式の進歩により,電動機の設計工作上において,400 V 級と 200 V 級電動機の電圧による難易はない.従来 200 V 級は,一般的に 40 kW 以下に多く使用されているが,倍電圧として 400 V 級を採用しても,価額において両者の間にほとんど差はない.それ以上の容量では 3 kV 級電動機を採用するのが普通であるが,50~200 kW くらいまでは 400 V 級も製作されている.この場合 400 V 級電動機が仕様によっては安価のこともありうる.また,現在ビル用電動機の新しい集中制御方式として好評を得つつある コントロールセンタ は 200 V 級でも 400 V 級でも 600 V 定格のものが使用されているので,200 V 級のものが安価ということはない.むしろ同容量なれば 400 V 級のほうが負荷電流の半減による電流定格の一段小さいものが使用できる利点のため価額は一般的には下回る傾向となり スペース も減少する.



3. 地下変電設備の機器

三菱電機 スカイリッグ および三愛 ドリームセンター は特殊の地形に図 3.1 に示すように $20\,\mathrm{kV}$ キュービクル を第一 グループ および第二 グループ に分割して電気室中央部に設け,変圧器二次 キュービクル は第一 グループ の $20\,\mathrm{kV}$ キュービクル に隣接して設置してある。 コントロールセンタ は第一群 4 面と第三群 9 面は直角に配置して, $20\,\mathrm{kV}$ キュービクル 第一 グループ の後方に設けてある。

3.1 20 kV キュービクルの構成

三菱電機スカイリッグおよび三愛 ドリームセッター の キュービクル の構成 は二つの グループ に分かれ、グループ 間は キュービクル 天井部から ブス ダクト により ブリッジ 状に連継されている。各 グループ はさらに閉鎖 単位 キュービクル に分かれ、配列構成の内訳は下記のとおりである。

第一 グループ

受電 シャ 断器 キュービクル MOF. コンプレッサキュービクル 2 面 1 面

第二 グループ

主変圧器 キュービクル

2面

グループ 間

連継用 ブスダクト

1 組

各単位 ‡ュービクル にはその ‡ュービクル の表面に内容を表示する 定格名板と名称板が付属しており回路構成が明確にされている.

3.2 受電シャ断器キュービクル

この キュービクル は従来の受電 ケーブルキュービクル と シャ 断器 キュ ービクルを合わせたもので、図3.2にその断面を示した。その内部 の裏面下方には受電 ケーブル の末端処理部が納めてあり,ケーブル の 絡端箱と、分岐箱が取り付けられる. また ケーブル 保護 リレー 用 の変流器が取り付けられる. これらの取付品は東京電力より支給 されたものである. 図3.3 は受電 シャ 断器 キュービクル の シャ 断 器側の写真である。また受電用空気 シャ 断器と、これを回路から 切り放すための断路器が シャ 断器の両側に1組ずつはいっている・ 断路器は連動操作式となっていて、受電側のものは必要に応じて 各相単極選択操作の可能なものとなっている. キュービクル に内蔵 される母線は三相三線式相間隔壁形で、キュービクル の天井部に配置 され、異常電圧、事故電流に対して大地絶縁強度の劣化、母線接 続部の電気抵抗変化を生じない安定度の高い構造とし、長期間の 運転においても点検不要のものとしてある. なお キュービクル の大 きさを節減するため母線支持 ガイシ の配置を図3.2のような特殊 なものとしている.

受電 シャ 断器 キュービクル

2×6 台

20-C-100L 形 3 極単投空気 シャ 断器

24,000 V 600 A 圧縮空気操作式

定格 シャ 断容量 1,000 MVA (24 kV において)

定格 シャ 断時間 5 c/s

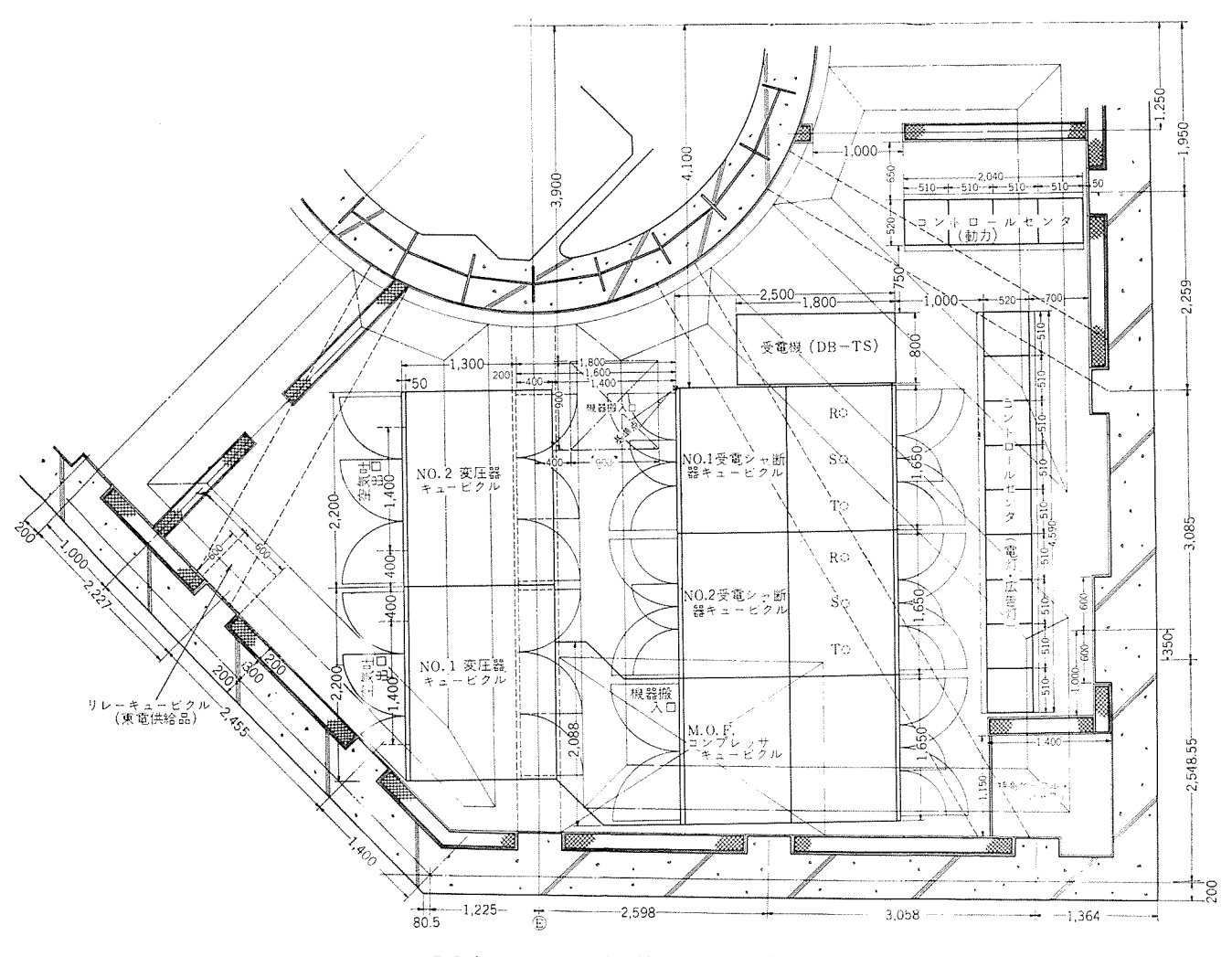


図 3.1 電 気 室 機 器 配 置 図 Fig. 3.1 Arrangement of electric machine room.

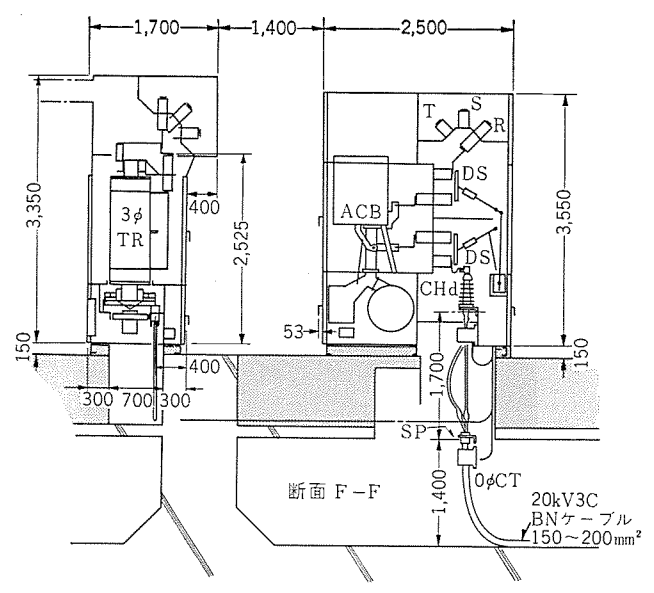


図 3.2 20 kV キュービクル 断面図 (その 1) Fig. 3.2 Cross section of 20 kV cubicle. (No. 1)

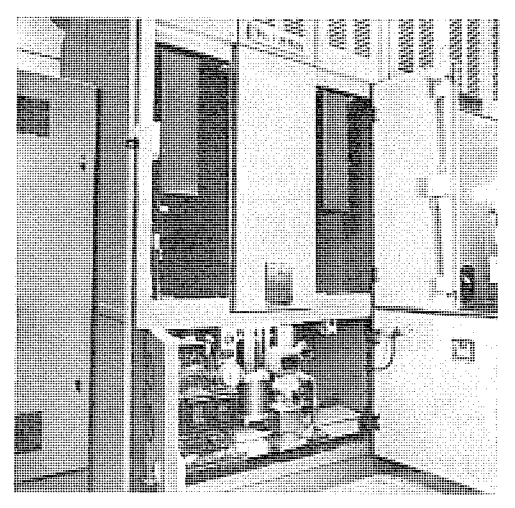


図 3.3 受電 シャ 断器 キュービクル Fig. 3.3 Circuit breaker cubicle of power reception.

LC-C 形 3 極単投断路器

2×2 台

23,000 V 600 A FB 接続

母線および接続導体

2×1 式

幅 1,650×高さ 3,350×奥行 2,500 外形寸法

3.3 M.O.F. コンプレッサキュービクル

この キュービクル の断面は図3.4に示すように電力会社の送電上 の責任分界となる断路器1組,電力取引用計器用変圧変流器1台, (東京電力株式会社支給品) 変流器三相分1組および圧縮空気発 生装置が内蔵されている. この圧縮空気発生装置は空気 シャ 断器 2 台操作用で、主空気 タンク 充気容量だけで、空気 シャ 断器を CO 7回操作できる. 図 3.4 は圧縮空気発生装置の主空気 タンク とコ ンプレッサ の組込状態を示すものである. シャ 断器と接続する空気 管と排水管は キュービクル 中を最短距離で配管されていて配管接続 は リムショイント 方式を採用している.

M.O.F. コンプレッサキュービクル

1 台

3 個

LC-C 形 3 極単投断路器

1 台

23,000 V 600 A FB 接続

BS 形単相変流器 (ブッシング 形)

主変圧器までの ブスダクト

23,000 V 100/5 A 15 VA 3.0 級 過電流強度 250 倍

-1,400--2.500~ エアダクト内法 300×1,400 断面 E-E

図 3.4 20 kV キュービクル 断面図 (その 2) Fig. 3.4 Cross section of 20 kV cubicle. (No. 2)

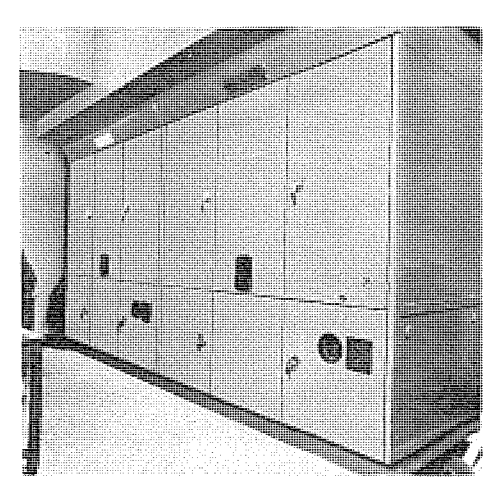


図 3.5 主変圧器 キュービクル 外観 Fig. 3.5 Exterior view of transformer cubicle.

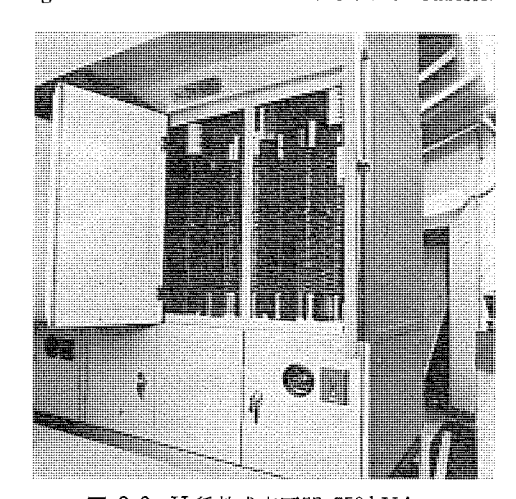


図 3.6 H 種乾式変圧器 750 kVA Fig. 3.6 Class H dry type transformer 750 kVA.

CA-KAA 形圧縮空気発生装置(複交流式) 1 台

 $25 \, kg/cm^2$ 定格圧力

 $10 \, \mathrm{kg/cm^2}$ 供給圧力

空気圧縮機 空冷式,電動機 (2.2kW) 直結駆動形

AC 200 V 三相 50 c/s 操作電圧

400 l 主空気 タンク 容量

取引用 MOF (東京電力株式会社供給品)

幅 1,650×高さ 3,350×奥行 2,500 外形寸法

三菱電機 スカイリング および三愛 ドリームセンター の電気設備・瀬戸・浜田

1 式

3.4 主要圧器 (乾式) キュービクル

この キュービクルは、図 3.5 に外観を示し、図 3.6 はトビラを開いた H 種乾式 750 kVA 主変圧器を示している。ほかに変圧器冷却用 ファンモータ と グラスウール 製 エアクリーナ が付属されている。キュービクル 上部側面に排気口があり、排気 ダクト に接続される。この キュービクル は設置場所が狭あいのため変圧器一次断路器を MOF コンプレッサキュービクル に設け乾式変圧器のみを収納したので、図 3.4 のように奥行を上部母線部で 1,700 本体下部では 1,300 で納めてある。

主変圧器 キュービクル

2×1 台

AV-B 形三相乾式変圧器

2×1 台

定格容量 750 kVA 屋内用H種絶縁風冷式

一次電圧 23-22-21-20 kV

二次電圧

420-242 V

結 線 法

三角——星形三相四線式

周 波 数 50 c/s

乾式変圧器の特長は不燃性,不爆発性と据付面積が少ないことがあげられる。また乾式変圧器はその絶縁構成により,同じ商用周波電圧耐力を有する油入変圧器と比較すると,衝撃電圧耐圧が小さいが、ビルの受電は地下ケーブルによるので外雷に対しては考慮をはらう必要がなく,主として開閉異常電圧だけを考慮すればよく,この種の回路の開閉異常電圧は,回路対地電圧の3.5倍を越えないことが明らかにされているので,この値には十分な裕度をもっている。

3.5 420 V 変圧器二次キュービクル

この $+_3$ ーピクル の内部には信頼度の高い $+_3$ + 断性能の優秀かつ 大容量である DB 形 $+_3$ + 断器および $+_4$ 20 V 用の計器用変圧器を 収納している。この $+_3$ -ピクル の正面には主変圧器 $+_4$ 2×750kVA)の一次側の計測および保護のための計器,継電器のほかに DA 形 故障表示器,模擬母線および模擬断路器を取り付け $+_4$ 20 kV 側の系 統の状況を明らかにしている。

420 V 変圧器二次 キュービクル

DB-75 形三極単投気中 シャ 断器

1 台

600 V 3,000 A 屋内用

低電圧引はずし コイル 付 AC 420 V

電圧引はずし

シャントトリップ

シャ 断容量

75,000 A (480 V において)

DB-75 形 シ+ 断器は絶縁, 導電, 耐弧, 消弧の各材料の進歩と巧妙な構造により従来の低圧 シ+ 断器に比べて, 多くの特長と

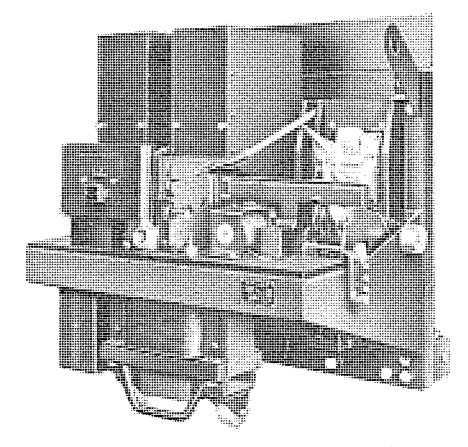


図 3.7 DB-75 形低圧気中 シャ 断器 Fig. 3.7 Type DB-75 low voltage air circuit breaker.

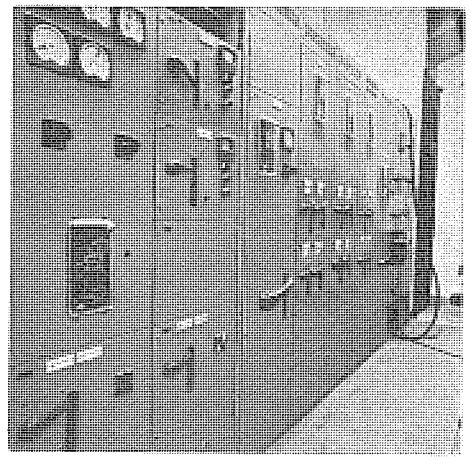


図 3.8 コントロールセンタ (第三群) Fig. 3.8 Control center (group No. 3).

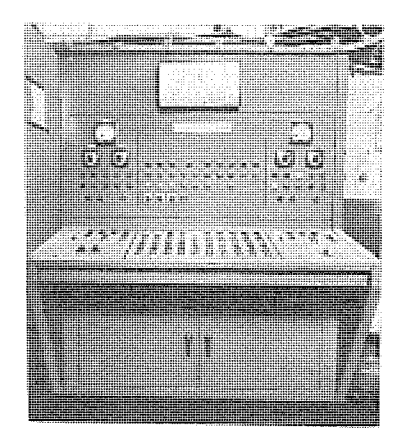


図 3.9 中央動力監視盤 Fig. 3.9 Control power monitor panel.

優秀な性能を有している. その概要はつぎのとおりである.

- (1) 主接触部は銅 204 合金, 電弧 コンタクト には銀母体の焼結 結合を適切に用い、摩耗および損傷の程度は少ない。
- (2) 3 要素特性過電流 シャ 断装置を取り付けることができる. すなわち瞬間引はずし、短時限引はずし、長時限引はずしを 有し回路の状態に応じて適宜電流整定を行なえる.
- (3) 特殊な耐熱性磁器を使用した高性能の消弧装置をもち、 シャ 断特性が良好である.
- (4) 閉鎖3段引出し構造である.

3.6 コントロールセンタ

空調機そのほか多くの電動機の電磁 ジカ 入 レ 起動器と回路保護開閉器箱などは従来電動機の近傍に個々に取り付けられていたが、三菱 スカイリッグ および三愛 ドリームセンター では機械室および電気室が狭あいのため、これらを ユニット にまとめ コットロールセッタ として図 3.8 のように電気室に配置し、さらに電動機群を運転停止するに必要な押し ボタン 類、信号装置その他を取り付けた図 3.9 に示すような中央動力監視盤を機械室の一部に配置し、電動機の中央監理を行なっている。この コットロールセッタ は小形で安全で シャ 断容量の大きい三菱 NF 形 ノーヒューズシャ 断器と、ナイフエッジ 機構の三菱電磁開閉器の組み合わせを基本とし、引出し構造の箱に入れて ユニット 化したものを集合、組み立てて全閉構造完全自立形 キュービクル としたものである。制御装置を集中化することによって、その利点はつぎのとおりである。

- (1) 電動機の中央監視制御が効果的にできる.
- (2) 据付場所が少なく、かつ経済的である.

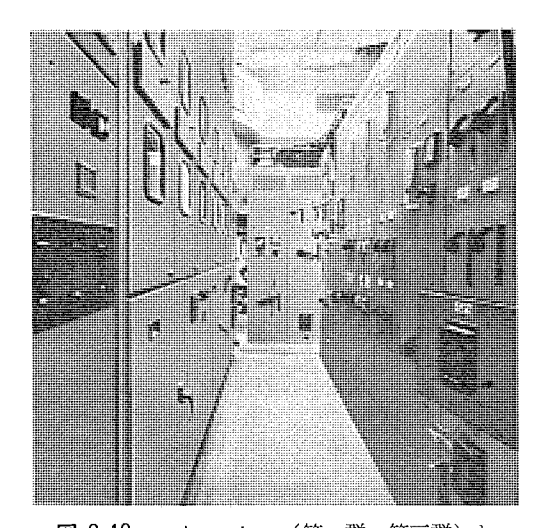


図 3.10 コンプレールセンタ (第一群, 第三群) と 20 kVA キューピクル (向って左側)
Fig. 3.10 Control center (groups No. 1 and No. 3) and 20k VA cubicle (on the left).

- (3) 据付および配線の手数が節約できる.
- (4) 標準品の集成であるから互換性があり、増設変更が容易である.

この コントロールセンタ の第一群と第三群は電気室に設置し、第二群は機械室に設置する。図 3.10 の中央正面に見えるのが第一群 コントロールセンタ の一部で、向って左側は第三群 コントロールセンタ である。第一群の動力用 コントロールセンタ は 420 V 動力引込みから電動機の管制器類を収納してある。コントロールセンタ はすべて両面形として場所の節約をしている。400 V 電動機 17 回路を高さ2,300、奥行520、幅510 のもの4 面に納めている。

200 V 電動機13回線も両面形とし、上記と同じように高さ2,300、 奥行520、幅510のもの2面とし、その左端の表面に主変圧器二 次側の電流計、電圧計、指示電力計、力率計、周波計三相四線式 積算電力計などを取り付けている。

第二群は機械室動力用の コントロールセンタ で $400\,\mathrm{V}$ 電動機を制御するもので、高さ 1,900、奥行 520、幅 510 のもの 1 面を機械室に設置している.

第三群は電灯負荷 $425 \,\mathrm{kVA}$, $**_{770}$ 広告灯 $500 \,\mathrm{kW}$ を制御する コントロールセンタ で,電灯負荷は $420/242 \,\mathrm{V}$ 三相四線式で給電し,三愛電灯,三菱電灯,共用電灯に分割して,積算計量できるよう 配線を考慮している。 この コントロールセンタ は高さ 2,300,奥行 520,幅 510 のもの 7 面とし,前記 $200 \,\mathrm{V}$ 電動機 コントロールセンタ と並立し 9 面として $22 \,\mathrm{kV}$ 9 + 断器 9 キュービクル と対面している。

3.7 蓄電池設備

シャ 断器操作用ならびに停電時非常用直流電源として ネオクラッド 式可搬形蓄電池を設備. 仕様は下記のとおりである.

60 AH/10 h 108 V 54 個

充電器は セレン 整流器で A.C. 三相 200 V 50 c/s

D.C. 100~160 V 6 A 自動定電圧装置付

これらの蓄電池ならびに充電器は、幅 1,000×奥行900×高さ1,400 の同一 τ - λ に納められ、地下 λ 階に設置してある.

4. 機器の搬入と据付

特高関係ならびに コントロールセンタ は図 3.1 のごとく地下 3 階,約 64 m^2 の天井 ハリ 下有効 3.7 m の場所に設置してある。都心銀座 4 丁目という場所柄,トラック の乗入れは夜中の 23 時から翌朝 6

時までに制限され、また建築構造上搬入口開口部は、2.5×1.7 (m) しか得られなかった当 ビル の機器搬入据付について述べる.

建物内唯一の搬入口は建築を初め他業種共有のもので関連業者と十分な打ち合わせを行ない,その間基礎 ベース など機器の受入態勢を整えた.

- 第1日,第2日は電気室の奥に設置する コットロールセッタ ならび に 420 V主変二次 +ュービクル を搬入し所定の位置の壁側に仮置 しあとに持ち込む機器据付作業に便利なようにした.
- 第3日 750 kVA, No. 1 変圧器 キュービクル 下 ワク を トラック 上で開梱し、レッカ 車で チェン づりし地下 3 階へ降ろす。 つぎに上 ワク を降ろし搬入口の位置で上、下 ワク を組み所定の位置に コロ 引きをする。
- 第4日 750 kVA, No. 2 変圧器 キュービクル は No. 1 と同様な 方法で行なう.
- 第5日 シャ 断器 No. 1 キュービクル

まず区分開閉器側下 97 を降ろし搬入口の下部に仮置し、つぎに上 97 を降ろし上、下 97 を組み、所定の位置に仮置する。同様に 97 断器側の下 97 片 97 消弧室などを搬入口の下部で組み立て、所定の位置に 97 引きし、区分開閉器側と組み上げる。この 97 も、97 でルセッタ 同様あとに運ぶ機器の作業に便利なようにできうる限り、壁側に仮置する・

第6日 予備日

第7日 シャ 断器 No. 2 キュービクル No.1 と同様に組み立てる.

- 第8日 M.O.F. コンプレッサキュービクル シャ 断器と同様の順序で、コンプレッサ 下 ワク、上 ワク M.O.F. 側下 ワク、上 ワク を組み立て 定位置に設置する. つぎに 20 kV パスダクト を ワイヤ でつり上げ ながら接続をする。
- 第9日 今までに仮置した機器を、No.2 $_{5+}$ 断器 $+_3$ - $_{5-}$ No. 1 $_{5+}$ 断器 $+_3$ - $_{5-}$ $_{7-}$

ビルジングの機器搬入口として最小限必要な スペース と、その選定 条件としては、つぎの4点が考えられる.

- (1) 梱包のまま搬入作業できる スペース であること. しかも, 工場組み立ててのままで搬入できることが機器のために望ま しい.
- (2) 点検ならびに故障時にどの位置からも他の機器に関係なく引き出せる位置にあること.
- (3) 工事中に他工事の関連のない位置を選ぶこと.
- (4) 運搬車より搬入口までの道程が少なく、十分なる幅員と 足場であること・

などが考えられる・

当 ピル においては特殊な建築構造と立地条件のため上記いずれの条件にも満足していないが、これは建築計画当初に十分に考えるべき問題であると思う.

5. 照明設備

照明方式は全館光天井である。地下 2 階は大梁が中央 コア 部から外周に向って放射状に出ているため、梁間に扇状埋込器具を配置し平均照度は $3,000 \, lx$. 地下 1 階は中央 コア 周囲に、二重円に器具を配置内側と外側の ケイ 光灯器具の間には空調吹出口を設ける。地上 $1\cdot2$ 階は コア 周囲の内円に $110 \, W\times 2$ 灯 ケイ 光灯を扇状に製作し、これを連続して光天井とし、外円には $20 \, W\times 5$ 灯ケイ 光灯を同様に製作し、平均照度は $3,000 \, lx$ である。これらの

ケイ 光灯は扇状埋込形連続器具で、直線の連続器具と異なり環状 の器具は、始めも終りもなく、建築誤差による逃げは器具との間 において調整された.

地上3階は建築構造上大ハリが中央コアより外部に向って出ているため、内円は三角形の形状をした埋込形ケイ光灯器具である。平均照度は2,500 lxである.4階以上は、1階ごとに吹きぬけになっていて、5,7,9階は広い床、4,6,8階はせまい床で、これらはプレキ+ストコンクリートでできており、工場にて24等分した床を現場で組み合わせたものである。照明器具取付インサートおよび配管は工場で行なわれ、配管の接続はアウトレットボックスにして接続している。天井の構造ならびに照明、空調の取り合わせは、図5.4のとおりである。平均照度2,000 lxである。

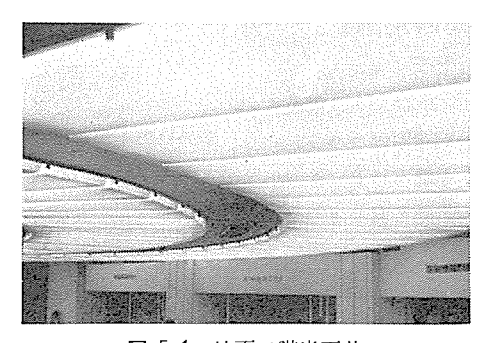


図 5.1 地下二階光天井 Fig. 5.1 Second underground floor luminous ceiling.

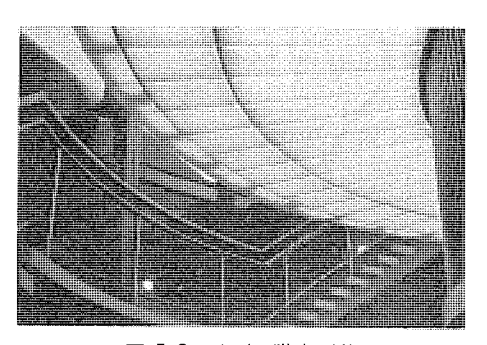


図 5.2 地下一階光天井 Fig. 5.2 First underground floor luminous ceiling.

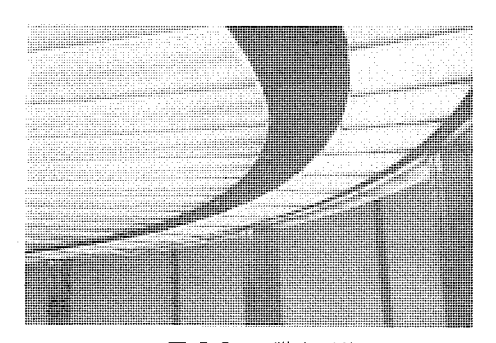


図 5.3 一階光天井 Fig. 5.3 First floor luminuous ceiling.

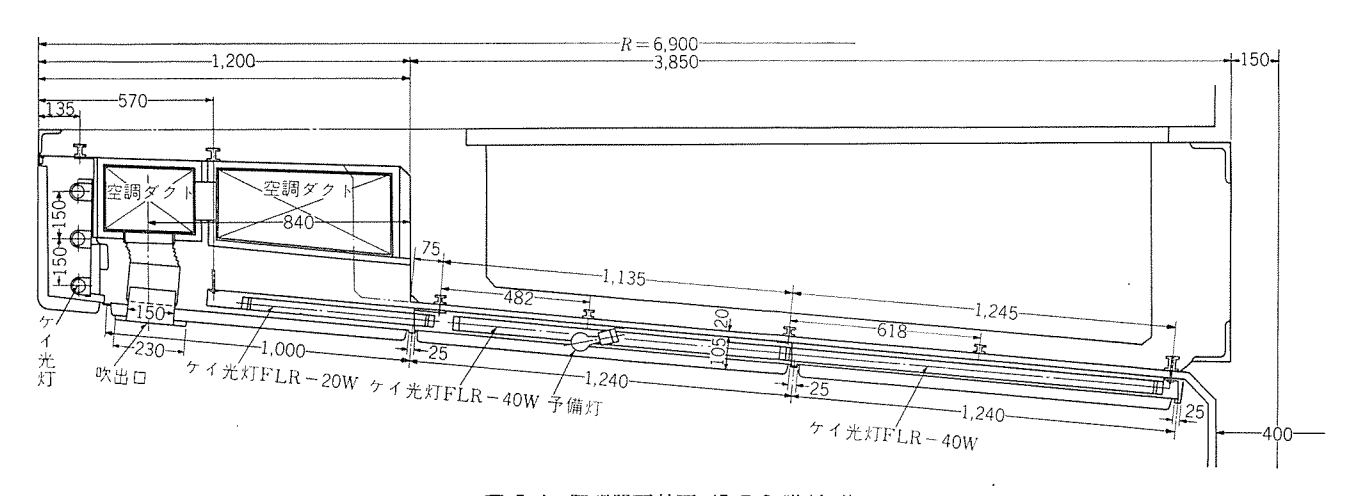


図 5.4 照明器取付図 (5,7,9 階断面)
Fig. 5.4 Lighting fixtures mounting (cross sections ot floors, 5, 7 and 9).

6. 拡 声 設 備

一般放送用拡声装置を地下 3 階より地上 3 階までの三愛 「リーム センターと、4 階より 9 階までの三菱 スカイリング とに分け、それぞれに設ける。これらの増幅器は同一仕様で、電力増幅器 50 W 1 台、マイク 入力 2 回路切換式、レコード 入力 1 回路、テープ 入力 1 回路、サープ 式音楽再生機 1 台、レコードプレーヤ 12 インチ4 スピード1台、テープ 再生増幅器を内蔵する自立形増幅器架である。出力 6 回路は 1 階に 1 回路で、スピーカ 埋込形 $6 \frac{1}{2}$ インチ を中央 コアのアルミリブ壁面に各階 6 個あて設けている。それぞれの増幅器からは全館一斉放送することもできる。

7. 電話交換機設備

使用区域を三愛 「リームセンター と, 三菱 スカイリング とに分ける. 前者の電話交換機は MF-2 形小自動交換装置で, 容量は内線 100回線, 実装 80回線, 局線は 10回線, 自動交換機本体は自立形ローカ 形で, 局線中継台は無 ヒモ 卓上形である. 後者の三菱 スカイリング

には局線自由応答方式自動交換機で局線5回線,内線10回線で, この交換機は交換手の資格がなくても操作できる特長がある.

8. 自動火災警報設備

空気管式および スポット 形で建物の警戒区域を 17 に分け、地下 2 階に P 形 1 級 20 回線用受信盤を設け、隣接して消防署直通の MM 発信機を設備する.

9. む す び

銀座のどまん中に"世界一珍らしい"という キャッチフレーズのもとに、20 ヵ 月の工期をもって完成した当 ビルは、昭和38年1月13日午前零時に開場し、その名を"三愛 ドリームセンター"、4 階以上は"三菱電機 スカイリング"として発足致しましたが、設計ならびに工事期間中、種々熟誠あふれるご指導を賜わった株式会社三愛殿、日建設計工務株式会社殿、ならびに建設関連工事の皆さまに誌上より改めて深く感謝の意を表わす次第であります。

三菱電機スカイリングおよび 三愛ドリームセンターのエレベータ設備

河原四良*

Elevator Installations of Mitsubishi Sky Ring and San-Ai Dream Center

Head Office Shiro KAWAHARA

Two small GL elevators have been installed in a unique building with a cylindrical glass enclosure—the Mitsubishi Sky Ring towering in the busiest corner of Ginza, Tokyo. The elevator shaft and machine rooms together with piping spaces, air ducts and staires are all housed in the same steel framed reinfared cylindrical concrete core of 5.3 m. in inner diameter. Limitted available spaces offered many difficulties. For instance, Mitsubishi had to design newly type GL-21KE small traction machines to meet the need for the particular bank, in addition to other numerous hard problems encountered with.

1. まえがき

本年初め三菱 スカイリッグ が銀座の一角にはなばなしく登場した.総 ガラス 張り円筒形のこの斬新な ビル にはあらゆる建築設備に当社製のものが使用され、エレベータ としては超小形 ギャレスタイプ 2 台が据え付けられた.

このエレベータは、その建物の置かれている環境や使用目的から 当然意匠的な面が重視され、デザインの計画から決定までにはかなりの日時が費された。また特殊建築構造と使用できる スペース が限られているため、設計当初から竣工まで苦心の連続であったといっても過言ではなかった。今回新たに開発した GL-21KE 形超小形 ギャレス 巻上機、および ルミネボタン、リセスボタン などの新製品の採用、など技術的にも内容のある エレベータ である.

2. エレベータの仕様

建物4階以上が三菱 スカイリュク として三菱製品を見ていただく

場であるので、当然 エレベータ も展示品としての性格をもち、エレベータ 仕様の上にもこれが反映されている。

台 数 2台

運転方式 直流可変電圧歯車なし式 ロトトロール 制御

操作方式 2 カーセレクチブコレクチブジューアル

容 量 650 kg 最大定員 10 名

速 度 150 m/min

停止個所 地下2階,地下1階,1階~9階

巻 上 機 GL-21KE 形 (新開発小形巻上機)

直流 21kW (1時間定格)

電動発電機 駆動電動機

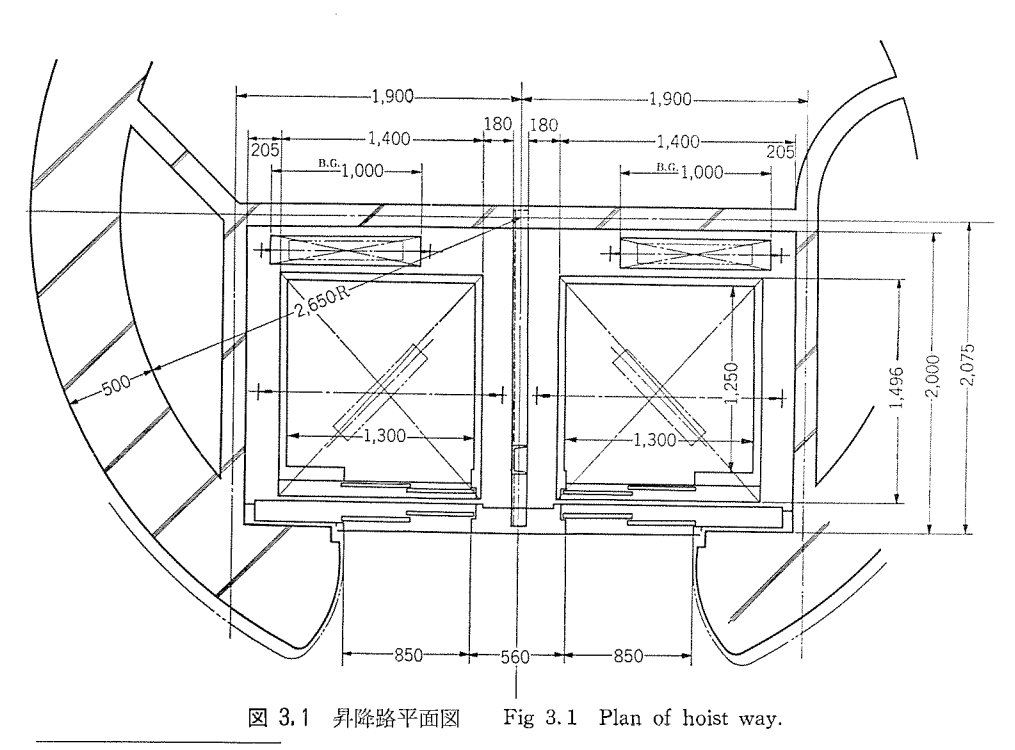
交流 22 kW (連続定格)

発電機 直流 16kW (連続定格)

扉形式 パネルドァ 2 枚開き式

押し ボタン 乗場……ルミネボタン

カゴ……りセスボタン



3. エレベータの据付計画

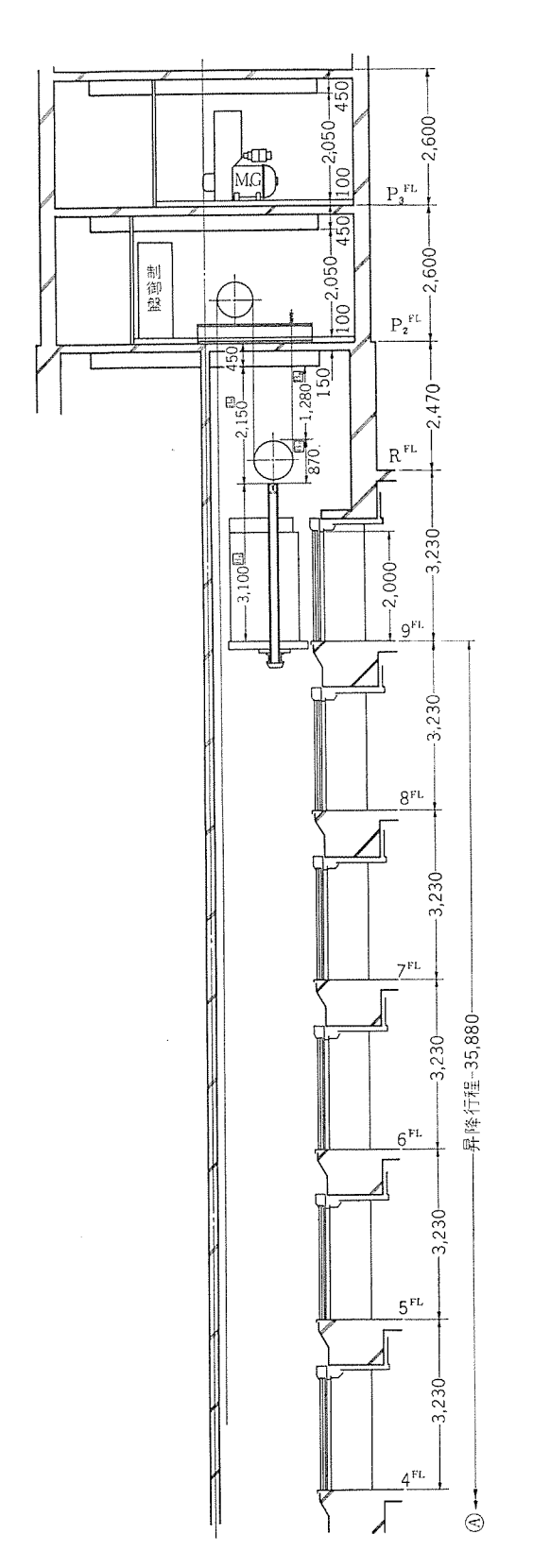
建物の中心に円形のコアがあり、エレベータはそのコアの中に2台並べて据付けることとなり、したがって、円形のコアと角形エレベータ昇降路によって左右に空間が生じるが、これらはパイプおよびダクトスペースとして有効に使用できるように計画した。また、コアの裏側は建物の主階段になっており、機械室は塔屋2階には巻上機および制御盤類、塔屋3階には受電盤、電動発電機を置き、機械室としてそれぞれ独立した形をとるようになった。

参考までに エレベータ 機械の配置を述べると、まず昇降路にお

いては前述のように円形の 37 内部を通るため,若干の弓形の dead space を生じたが,与えられた範囲で,できるだけ大きな 5 室および出入口幅を取ることに留意した.このために,5 には 5 室重量の軽減とにらみ合わせて,13 kg/m のものをこの種の 5 5 の 5 としてははじめて採用した.

つぎに、機械室は建物の構造上やむをえないとはいえ、一般的

にいって エレベータ 機械室としてあまり好ましいものではないが、2 層の機械室のうち下の方に巻上機および制御盤類を設置した。ここに据え付けられた巻上機は、当社が以前より試作研究を行なっていた新開発の超小形歯車なし式巻上機 GL-21KE 形で、この種の小形 エレベータ 用として作られた従来の巻上機に比べて、外形・寸法・重量などが著しく小形化・軽量化されており、しかも



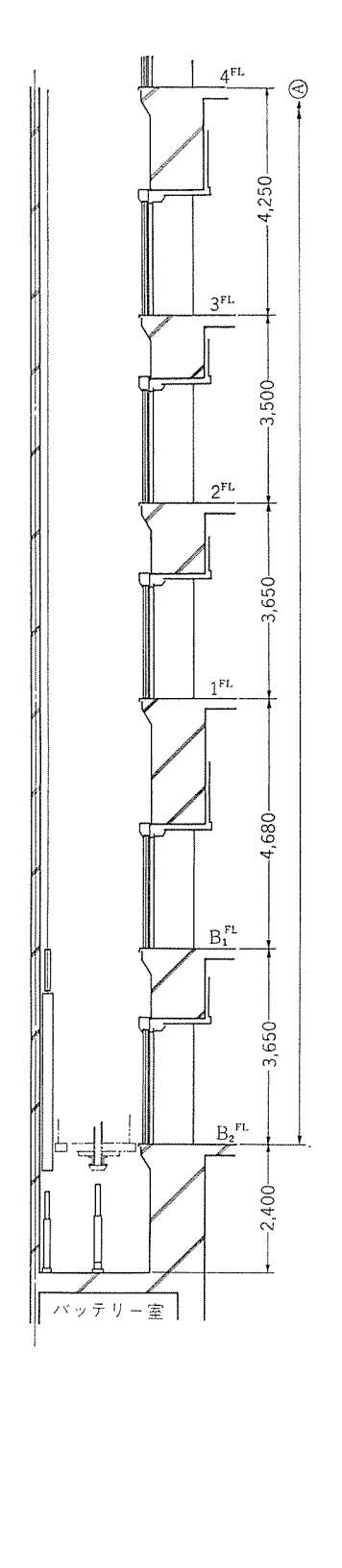


図 3.2 昇降路縦断面 Fig. 3.2 Vertical section of hoist way.

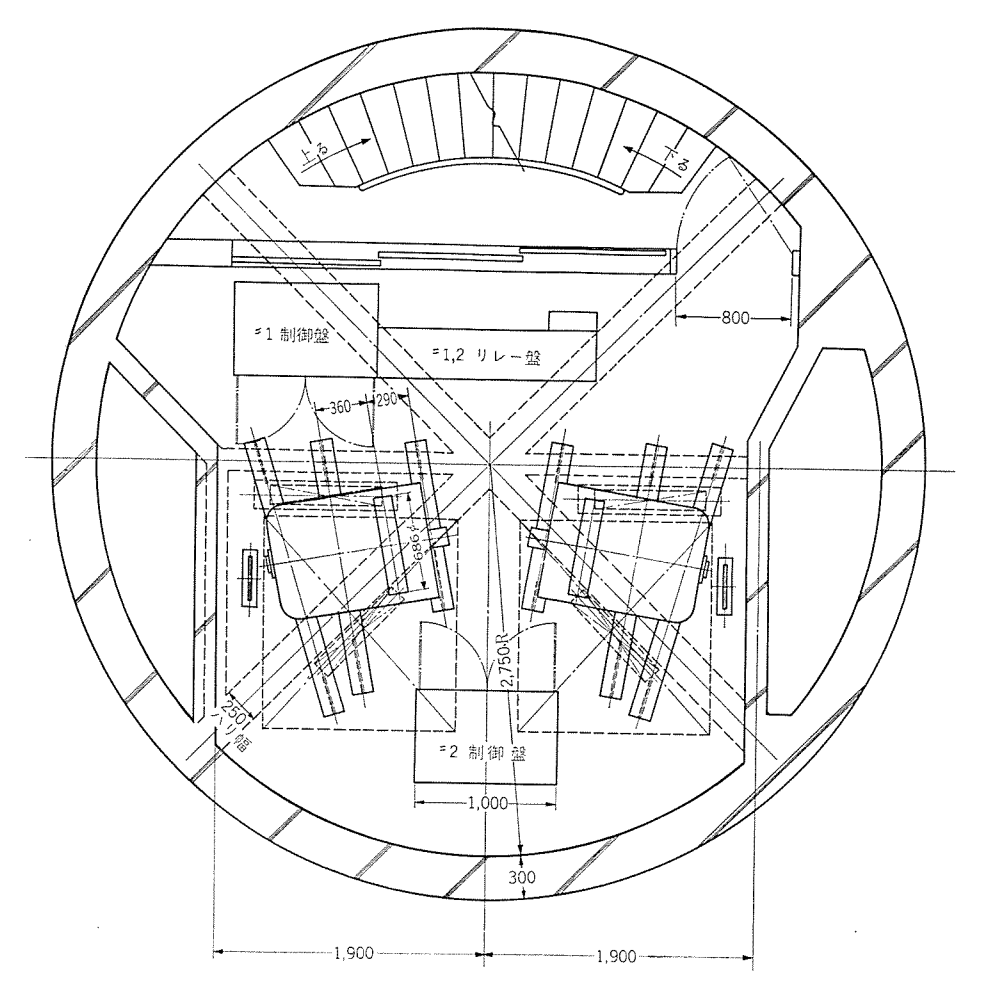


図 3.3 機械平面図 Fig. 3.3 Plan of traction machine room.

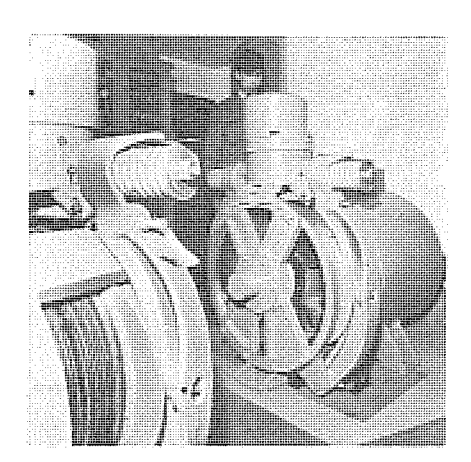


図 3.4 GL-21KE 巻上機 Fig. 3.4 GL-21KE traction machine.

巻上機としての性能はこの建物の特殊性からはげしい使用にも十分耐えるように設計されている。巻上機の据え付けはこの GL-21KE 形の採用により、ほぼ昇降路の投影面積内に納めることができた。

また、安全装置として重要な調速機にも新開発 DG-500 形を採用している。制御盤の据え付けは当初上下の機械室に2分する案もあったが、保守点検の便を考えて下の機械室へまとめて設置した。この結果、下の機械室は階段側の場所を大きく譲歩していただいたにもかかわらず非常に狭く、このため制御盤の裏面の仕切壁に大きな引き戸を設け、常時は閉めておいて仕切壁としての機能をはたし、作業時には開け放すことができるように設備してい

ただいた.

このような据付配置は、関係官庁の特別の理解のもとに採用できたもので、この建物の設備据付の困難さの一端を示しているものといえる。上の機械室には受電盤および電動発電機を置いたが、ほぼ十分な広さを得ることができた・一般にエレベータ機械室が2分される場合には運転状況を直接監視できるように、巻上機と制御盤を一つの機械室にまとめ、電動発電機などを他の機械室へ設置するのが保守上都合がよい。

今度の エレベータ 機械室では、建物の構造上、採光および換気用窓を設けることができず、したがって、エレベータ 機械の発熱量毎時約5,200 kcal に対しては強制換気を行ない、機械室の温度上昇を防ぐようにした。

4, 意 匠

斬新な建物意匠に合わせて,エレベータ 意匠も従来のものに比べて 単純な線の美しさを強調するよう 配慮され,日建設計工務(株)の指 導のもとに建物によく調和するも

のを作ることができた. 乗場は エレベータ のトビラとトビラの摩鋼板 製 フロントパネル にし、トビラ と同色の白色 ラッカ 焼付塗装仕上げである. 乗場まわりの壁仕上げは アルミ の リブが連続的に回わり込み, 乗場天井板の白色 ラッカ 塗装仕上げおよびトビラ・フロントパネルの白色塗装とあいまって、とかくこの種の配置にみられるトンネルの奥に エレベータ があるというような感じにならず、開放的なふんい気に仕上がった.

インジケータは出入口トビラの上部の幕板に設けられ、壁と天井の間を見切る アクセント とし、金梨地 ラッカ 塗装仕上げを施した。インジケータランプ の取り換えなどの作業は、幕板上部の目地にかくさ

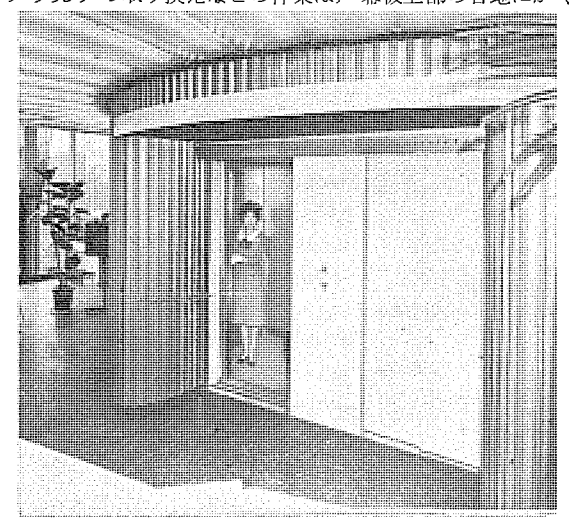


図 4.1 乗場 Fig. 4.1 Landing hall.

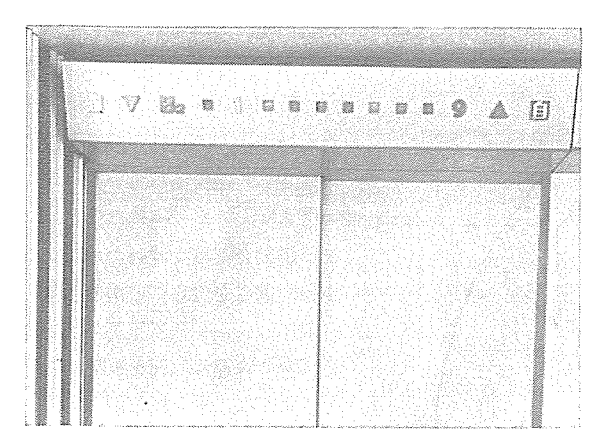


図 4.2 乗場 インジケータ Fig. 4.2 Hall position indicator.

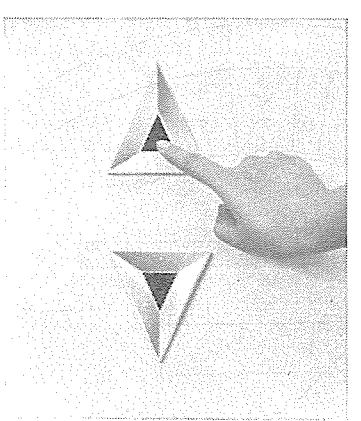


図 4.3 乗場 ボタン (ルミネボタン) Fig. 4.3 Hall buttons (Lumine type)

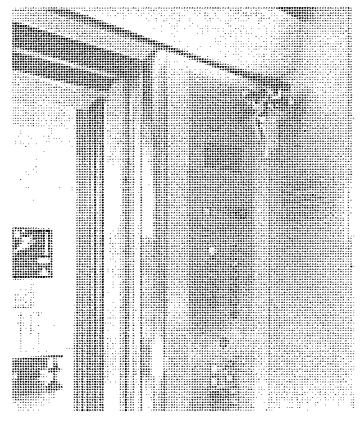


図 4.4 カゴ 操作盤 Fig. 4.4 Car operating station.

れた ネッ゚を取りはずすことにより,乗場側から無理なく行なうことができる. カゴ室内部は,壁・金梨地 ラッカ 塗装仕上げ,天井・白色 ラッカ 塗装仕上げで,高雅な感じを出すとともに, カゴ室照明は カゴ前面に設けられた店内案内板の照明を兼ねるなど単純化を図っている. また, カゴ内に館内放送用 スピーカ を設けてあるが,これは最近の エレペータ の一つの傾向であろう. 押し ボタン は乗場に ルミネボタン, カゴ操作盤に リセスボタン を採用した. これは ボタンを押したさいの ス トローク がきわめて小さく, いわゆる フェザータッチの ボタン で意匠的にも斬新な新製品である.

5. 据 付 工 事

据付工事にあたっては場所が場所だけにまず機器の鍛入からして大変であった。銀座四丁目といえば天下に鳴りひびく繁華の名所,トラックの横づけなどもってのほか,したがって,手で持てる程度の部品は30m以上離れた露路に停めた車から持ち運び,巻上機,制御盤,電動発電機,三方ワクおよびトピラ,カゴの部品など重量物は深夜の搬入となった。

しかも搬入した部品の保管場所がなく, 建築工事に邪魔になら

ない場所を捜さねばならなかったし、時には何度も場所を変えねばならないこともあった。据付担当者の苦労の多くはこの辺にあったかも知れない。

また、実際の据付作業においても場所が狭いため必要以上に手間がかかり、建築工事との取り合いなど神経を使うことが多かった.

6. む す び

以上述べたようにこの $_{\text{LU}}$ の設備計画にあたっては,きわめて限られた空間を $_{\text{DL}}$ に活用するため非常な苦心を払い,また,これなしではとうてい実現不可能であった小形歯車なし巻上機 GL-21KE 形の早期開発に力を注いだ結果,幸いにして好成績を収めることができた.

この種の高速 エレベータ 用巻上機の開発は、今後建物の超高層化と つロア 面積の縮小化を考えればきわめて重要なものであり、今後ますます発展してゆく多種多様の ビル 需要に対応する エレベータ 需要面において、一つの可能性を開拓したものということができる.

| 名 称 | 登録日 | 登録番号 | 考 | 案 | 者 |
|-----------------------------|----------|--------|-------------|-----------|-----|
| 整流子ライザ | 37-12-12 | 708584 | 杉原治 | ž. | |
| 整流子を有する回転電機の保 一談装置 | 37-12-12 | 708585 | 杉原治 | 遂 | |
| 回路シャ斯器 | 37-12-12 | 708586 | 兼本成 | 刚 | |
| ローラ形接触子 | 37-12-12 | 708587 | 吉田太 | 郎・若林 | 延一 |
| トランジスタ定電流装置 | 37-12-12 | 708588 | 三桥 | 站 | |
| 透視欄干を有するエスカレー タの欄干照明装置 | 37-12-12 | 708589 | 武長 | 豊・楫本 | 己敏 |
| トツ極形同期機の極数変換装 置 | 37-12-12 | 708590 | 三油 | 宏 | |
| pag. | 37-12-12 | 708591 | 田附和 | 夫 | |
| 小形変圧器のタップ団換装置 | 37-12-12 | 708592 | {竹内友 閱詞 | 彦・白神 順 | 十九一 |
| 電動式カム制御器 | 37-12-17 | 708781 | 福元鄭 | 男 | |
| 携帯用電気カンナ | 37-12-17 | 708782 | 入江 | 厚 | |
| 回転型放射線照射装置 差助歯車式速度調整装置を同 | 37-12-17 | 708787 | {前田祐 津田栄 | 雄・穏原 一 | 智 |
| 期投入する装置 電動ホイストの巻上げ巻下げ | 37-12-17 | 708790 | 久保田 | 伸夫 | |
| 制限装置 | 37-12-17 | 708791 | 上原利 | 夫 | |

| 名 | 称 | 登録日 | 登録番号 | 岩 | 案 | 者 |
|---------|------|----------|--------|-------------|--------------|-----|
| 真空蒸着装置 | | 37-12-17 | 708792 | 今本 | ĨΕ | |
| タワミ軸継手 | | 37~12~17 | 708793 | 重浦淳 | | |
| 自動干鳥縫ミシ | v | 37-12-18 | 580055 | {三津沢 額積策 | | |
| 計器用制動磁石 | 装置 | 37-12-18 | 580056 | 山県 大坂道 | 穆・瀬良 夫 | 務 |
| 内燃機関点火装 | TI. | 37-12-18 | 580086 | 西山野 | 明 | |
| 内燃機関点火装 | 置 | 37-12-18 | 580087 | 三木隆 | 雄 | |
| 内燃機関点火装 | 置 | 37-12-18 | 580088 | 三木隆 | 雄 | |
| 内燃機関点火装 | Zi . | 37-12-18 | 580089 | 三木隆 | 雄・浅野 | 哲正 |
| 内燃機関点火装 | 置 | 37-12-18 | 580090 | 三木隆 | 魽 | |
| 電子冷却装置 | | 37-12-17 | 708783 | 中原四 | 郎・市川 | 建一 |
| 磁気選鉱機の冷 | 却装置 | 37-12-17 | 708784 | | 悟・柳下 二・山下 | |
| 磁気選鉱機の冷 | 却装置 | 37-12-17 | 708785 | | 二・山下 夫・柳下 | |
| 磁気選鉱機の冷 | 却装置 | 37-12-17 | 708786 | 加藤庸 | 二・山下 夫・脚下 | 優兵衛 |
| 磁気週別機 | | 37-12-17 | 708788 | 山下源 | 一郎・柳 | 下後兵 |

ASIA 自動プログラミングシステム

豊田準三*・中塚正三郎**・梅田義明**

ASIA Automatic Programming System

Research Laboratory

Junzō TOYODA · Shōzaburō NAKATSUKA · Yoshiaki UMEDA

An electronic digital computer MELCOM LD-1 has been developed at Mitsubishi Research Laboratory as a pilot model of MELCOM 1101 F and is now in operation at Osaka University with success.

A programming system ASIA is one produced for trial to go with the above computer and of interpreter type automatic system built to meet the demand of operating with ease on technical problems of comparatively small scale. The ASIA has marked features as given below. (1) Employment of a symbolic code and a relative address translated into binary machine code. (2) Provision of a middle point binary number system.

1. まえがき

そこで、もっと使い易い命令形式で プログラミング ができるよう にする目的で各種の プログラミングシステム が開発されている.

プログラミングシステム には周知のように コンパイラ 形式のものと インタプリタ 形式のものがあり、前者に属するものには非常に高度のものまで考えられており、当所でも MAMA, MUSE システム などが開発されている。これに対して インタプリタ 形式のものは演算速度には重点を置かず、きわめて手軽に、計算機内部についての知識を必要とせずに プログラミング をし、計算機を気軽に使用するのに適した プログラミングシステム で、ここに述べる ASIA システム は後者に属するもので Automatic Symbolic Intereter by Autopint Number System の意である。

2. 概 要

プログラミシグ を容易にするために、この システム は命令形式として シンボリック 表示を一部に用いた相対単 アドレス 方式のものを採用している。また システム の内外で命令の表示形式を変えて、システム の外部では プログラマ にとって取り扱いのやさしい外部用語が用いられるのに対し、自動計算の実行にあたっては、翻訳の容易な形の内部用語のみを扱うようにして、取り扱いの容易さと演算の高速性の両立をはかっている。

この システム で取り扱われる数値は一般の技術計算に十分対処 できる数値範囲と精度が得られると考えられる倍精度中央固定小数点表示のものとなっている.このため演算速度の向上とともに 群演算なども機械用語の場合と同様に行ないうるという利点を有している.

相対番地方式となっているので ASIA 用語で編集されたある プログラム を同じく ASIA 用語で編集された他の プログラム に添付して使用できるのもこの種の インタプリータ としては特長といえるであろう.

以下、各章にわたって ASIA で用いる命令用語、 ASIA システム の構成・動作・問題点などについて述べる.

3, ASIA の 命 令

3.1 命令形式

この システム で扱う命令の形式としては、システム 自体の用途からいっても極力 プログラミング に際する取り扱いの容易なものであることが望まれる。一方、この命令用語は機械語に翻訳されなければならないが、演算速度を上げるためにはこの翻訳が容易にできる形状であることも必要とされる。これらの事柄を考え合わせた結果、ここでは図3.1に示すように命令の機能別に6種類の命令形式を採用した。それぞれの形式について、以下簡単に説明する。

(1) 番地指定のある命令

(1) 番地指定のある命令

(2) 番地指定のない命令

(3) 見出し番号のタイプアウト命令

(4) インデックスレジスタの操作命令

(5) 特殊数値の指定命令

(6) サブルーチンの読込み指令

図 3.1 ASIA 命令形式 Fig. 3.1 Command structure of ASIA.

| 種命令類の | 命 令 | 機能 | 偷考 | 種命令の | 命令 | 機能 | 備 考 |
|----------------|----------------------|---|-------------------------|------|------------------------------------|--|----------------------------------|
| 2542 | last () | 最後に実行した命令の収容番地をタイ プアウトして、手動計算に移る。 | | | frmb()/‡ια‡s‡ι‡υ() | *typ の際の FORMAT (上位) を指 定の番地に求める. | |
| | halt () | 自動計算を中止して手動計算に移る. | - | | rdtp() / " () | #¡α‡s 00~#¡#u までの番地に紙テープ を読みとる。 | |
| 数 | bell () | ベルを 1 回鳴らせる. | - | | jump()/ " () | 無条件に指定番地の命令にとぶ. | |
| 字 | rtna () | a マークの直後の番地の命令にとぶ. | -1 | 命 | jmka()/ " () | この命令の置かれた番地に a マークを 付けて、指定番地の命令にとぶ。 | |
| | rtnb () | b マークの直後の番地の命令にとぶ。 | | 令 | jmkb()/ " () | この命令の置かれた番地に 6マークを 付けて、指定番地の命令にとぶ。 | |
| Ø. | tttb () | t 累算レジスタの内容をタイプアウト して tab 動作をする. | 10進数がタイ ブアウトされ | 番 | sbrt() / " () | 指定番地から始まる機械語で書かれた サブルーチンへとぶ。 | 実行はライン 39 で. |
| な | ttcr () | t レジスタの内容をタイプアウトして CR 動作をする。 | - 3 | 地 | ib(c() / " () | インデックスの増加と分岐. (b)+(d)≤(c)であれば指定番地へとぶ | (b), (d), (c) はそれぞれ, |
| h | tatb | a レジスタの内容をタイプアウトして tab 動作をする. | ~ | 0 | db)c() / " () | インデックスの減少と分較、 (b)−(d)≥(c)であれば指定番地へとぶ | d, c レジスタ の内容を示す |
| 無 | tacr () | a レジスタの内容をタイプアウトして CR 動作をする. | 4 | 制 | ia(ō() / " () | アキュムレータαが負であれば、指定 番地にとぶ。 | |
| 番 | fx/l () | a レジスタ内の固定小数点表示の数を 浮動小数点表示に変える。 | FLORA と の接続に使う | 御 | jt(ō() / " () | アキュムレータ t が負であれば、指定 番地にとぶ。 | |
| 地 | fl/x () | a レジスタ内の浮動小数点表示の数を 固定小数点表示に変える。 | - | 命 | ja:ō()/ " () | アキュムレータ a がゼロでなければ指 定番地にとぶ、 | |
| 命 | astt () | a ステートランプを点灯する. | - 1 | 令 | jt:ō() / " () | アキュムレータがゼロでなければ指定 番地にとぶ。 | |
| 令 | bstt () | b ステートランプを点灯する. | - | " | jsōn() / " () | ブランチスイッチが on であれば, 指 定番地にとぶ. | |
| | cstt () | c ステートランプを点灯する. | - | | stra() / " () | アキュムレータ a の内容を指定番地に ストアする. | |
| | rstt () | 点灯中のステートランプを全部消す. | - | | strt() / " () | アキュムレータtの内容を指定番地に ストアする. | |
| レ | b/t#i () | 転番のb レジスタの内容をt レジスタ に移す。 | | | ab:d()/ " () | アキュムレータ a の内容に 2→10 進変 換を施して指定番地にストアする. | |
| ジ | c/t#i () | #i番のcレジスタの内容をtレジスタ に移す。 | | | cadd()α ₀ #ια#s#ι#μ() | α ₀ をクリヤして指定番地の内容を加 算する。 | α ₀ はアキュ ムレータの指 |
| д | d/t#1 () | #i 番の d レジスタの内容を tレジスタ に移す. | - | | $csbt(\)\alpha_0$ " () | α ₀ をクリヤして指定番地の内容を引く。 | 定を行なう部 分でaまたは t が書かれる. |
| タの | t/b‡į () | t レジスタの内容を 転番の b レジスタ に移す。 | | | caba()α ₀ " () | α ₀ をクリヤして指定番地の内容の絶 対値を加算する。 | (α ₀) はその 内容を示す. |
| 操 | t/c‡; () | t レジスタの内容を 鞋 番の c レジスタ に移す。 | - | 算 | csba()α ₀ " () | α ₀ をクリヤして指定番地の内容の絶 対値を引く。 | |
| 作命 | t/d‡t () | t レジスタの内容を 批 番の dレジスタ に移す. | | 術 | aadd()α ₀ " () | (α₀) に指定番地の内容を加算する. | |
| 令 | t:#i#u () | t レジスタの内容を 執知 に設定する. | | Na | sbtr()α ₀ " () | (α₀) から指定番地の内容を引く. | |
| 特 無殊 番数 | tr‡i‡u () | タイプライタの CR 動作を 耕掘 国行なう、 | # は 10 位の 10 進数で, #u | 诞 | adab()α ₀ " () | (α ₀) に指定番地の内容の絶対値を加 算する。 | |
| 告数 地值 命指 | tb‡į‡ų () | タイプライタの tab 動作を キィギィ 回行 なう. | は1位の10進数. | | $sbab()\alpha_0$ " () | (α ₀) から指定番地の内容の絶対値を 引く. | |
| 令定の | *#### () | 見出し番号である ### タイプアウトをする、 | | 算 | *add()\alpha_0 " () | #iα#s 00~#iα#s#i#u までの番地の内容 を (αο) に加算する. | |
| | cmin()/#1a#s#c#u() | | | | *sbt()α ₀ " () | #iα#s 00~#i#u までの番地の内容を (αο) より引く. | |
| | anin() / " () | 指定の番地とそれに続く一連の番地に c モードでタイプインする。 | | 命 | *aba()\alpha_0 " () | #iα#s 00~#i#u までの番地の内容の絶 対値を (αο) に加算する. | |
| | fxih() / " () | 指定の番地以降に固定小数点10進数を 2 進数に変換してストアする。 | - | 令 | *sba()\alpha_0 " () | #iα#s 00~#i#u までの番地の内容の絶 対値を(αο)から引く. | |
| 番 | hxin() / " () | 指定の番地とそれに続く一連の番地に 固定小数点16進数をストアする。 | | -13 | $mean()\alpha_0 \eta ()$ | #iα#s 00~批批 までの番地の内容の平 均値を求め, αο にもたらす. | |
| 地 | autō() / " () | 指定番地の命令より顧次実行する自動 計算を開始させる命令。 | | | mult()α ₀ " () | 指定番地の内容と (α ₀) との積を α ₀ にもたらす. | |
| | list() / " () | autoと同じ、ただし特定の命令実行で とに異算レジスタの内容をタイプする。 | (a)(t) の順 にタイプする | | $div/($ $)lpha_0$ $''$ $($ $)$ | 指定番地の内容を (α ₀) で割って商を α ₀ にもたらす。 | |
| 指 | bpōn() / " () | 指定番地に収容されている命令にブレ ークポイントを付ける. | BP は自動計 算から手動計 | | vid/()α ₀ " () | (α ₀) を指定番地の内容で割って商を α ₀ にもたらす. | |
| 定 | bpōf() / " () | 指定番地の命令に付いているブレーク ボイントを去る。 | 第への切換を 行なう. | | $axt+()\alpha_0$ " () | a,t 両アキュムレータの内容の積と指 定番地の内容との和を αο に. | |
| の | cmcr()/ " () | 指定番地の命令をタイプアウトして CR 動作を行なう. | 変形されたシステム外部形 | | $sqrt(\)\alpha_0 " (\)$ | | |
| あ | cmtb()/ 4 () | | でタイプアウトされる. | 番 | u: #t#u () | u レジスタの内容を 批ね に設定する. | ##uは2ケタ の10進数で必 |
| る | hxcr() / " () | 指定番地の内容を16進数の形でタイプ アウトしてCR動作を行なう。 | | 地ベー | υ: #ι# _u () | υ レジスタの内容を ##μに設定する. | ず10 と 33 の 間 (両端を含 む) でなけれ |
| 命 | hxtb() / " () | 指定番地の内容を16進数の形でタイプ アウトして tab 動作を行なう. | | ースレジ | w: ##u () | w レジスタの内容を製掘に設定する. | ばならない. |
| 令 | *typ() / " () | #x#s##u~#sa#s 98番地までの内容を 連続的にタイプアウトする. | あらかじめ FOR-MAT | スタ | x: ##u () | x レジスタの内容を 製料 に設定する. | - |
| | pntp() / " () | #α#s 00~#εα#s### 番地までの内容を 紙テープにパンチする。 | を準備する. | の操作 | y: ##u () | y レジスタの内容を 批れ に設定する. | |
| | *clr() / " () | ボテークにハンテする。 #iα#s 00~#iα#s#i#u 番地までのクリヤ する。 | | 指命 | z: ##u () | z レジスタの内容を 批ね に設定する. | - |
| | frma()/ " () | | - | | #() | # の 0~3 に対しライン 10~13 にサ ブルーチンを読み込む。 | # は 0~3 で あること。 |

OPER: オペレーションコード でその命令の機能を連想し易い 4 文字 の英字または英字と記号とより成っている.

I: 後述する番地指定部 ADDR をモデファイ する インデックスレジスタ の番号を指定する部分、1~9 の数字が使用できる。インデックスモデファイ しないときは 0 (ゼロ) を書く、(インデックスレジスタ の数は 9 個となっている。)

ADDR: 浮動番地方式の番地指定部分で, これの詳細は後述する. 英字 1 字とこれに続く 3 ヶ々の 10 進数より成る.

(2) 数字のない無番地命令

OPER: 命令の機能を連想し易い英字と記号と合わせて 4 文字 より成る オペレーションコード・

(3) 見出し番号の タイプァウト 命令

: 見出し番号に関する命令であることを示す記号.

###: 4 fg の 10 進数で示される見出し番号.

(4) インデックスレジスタ の内容の操作命令

OPE: 英字と記号で合計 3 字より成る操作の内容を連想し易い オペレーションコード・

I: 操作を受ける インデックスレジスタ の番号, 1~9 の数字.

(5) 特殊数値の指定命令

OP: 命令機能を連想しやい英字または英字と記号とで構成された オペレーションコード.

##: 指定される特殊数値で 2 ケタ の 10 進数より成る.

(6) サブルーチン の読み込み指令

#: サブルーチン 読み込みのための指令であることを示すと同時に、 対象となる サブルーチン、およびこれを収容する計算機主記憶装置 の絶対番地を指定する 0~3 の数字.

3.2 命令の内・外部形式

この プログラミングシステム では命令の形式を機能別に異にするとか、一部に シンボリック 表示を使うなど、プログラミング を容易にするため の考慮がはらわれていることは上で述べたとおりであるが、このことは他面これらの命令形がそれの記憶や高速度の翻訳などに適したものではないことを意味する.

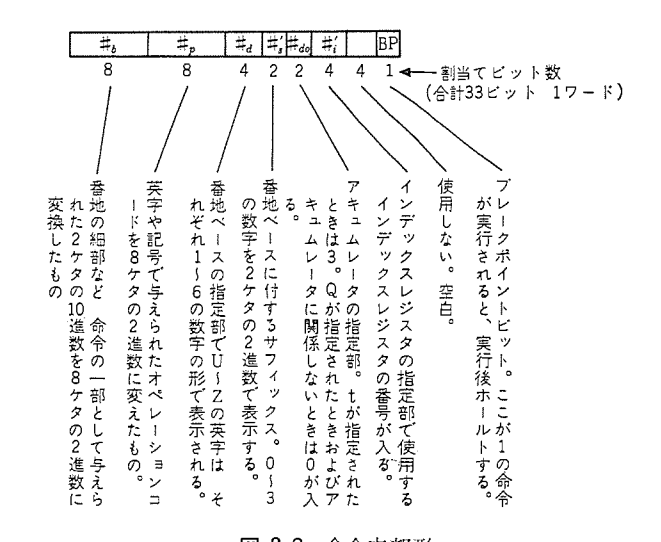


図 3.2 命令内部形 Fig. 3.2 Internal form of command.



図 3.3 アドレス 表示法 Fig. 3.3 Expression of address.

ただ、このように タイプイン のときに翻訳操作の一部ともいえる 変換を行なわせるとたとえば、 フレキソライタ を使って オフライン で作成した テープ を用いた場合など、 タイプライタ 以外の入力装置を使うときに問題が生じることになる.

ASIA では、それのための サブルーチン を使ってこのような入力を取り扱うことになっている.

3.3 アドレス表示方式

たとえば、Z234 と表示された番地に対応する絶対番地は、Z=15 と指定されているときは $(15+2)\times10^2+34=1734$ 番地、Z=25 のとき 2734 番地となる.

一つの α に対する $\#\alpha$ は上のようにその制限範囲内では任意の値が指定できるから、共通の %-ス の上に構成された %-プラム はその相対的な番地関係を保ったまま計算機の主記憶装置内の種々の位置に収容できることになる。このことは、ASIA 用語で書かれた %-プラム の幾つかを接続して他の一つの %-プラム を作ったり、ある %-プラム を他の %-プラム の一部に流用したりすることを非常に簡単なものにすることを意味している。

また、この番地は9個の インデックスレジスタ によって インデックスモ

デファイ することができる.

4. システムの構成と動作

4.1 樽 成

システムの作成にあたっては、それを構成するいろいろのルーチンのうち、各種数値・命令などの形式変換ルーチン、タイプアウトルーチンなど、システムのいろいろな動作で共通に使用されるルーチンがあるが、このようなものについては同じ機能を有するルーチンをシステムの中に何個所も設けることを避け、なるべく一つのルーチンをシステムの各種動作について共通に利用するようになっている。これは限られた主記憶装置の容量に対してこのシステムの占有する番地ができるだけ少なくなるように考慮したものであるが反面、この考え方を極度に推し進めると、ある特定の命令を実行するために用いなければならない何個かのルーチンが、それぞれこの命

| ライン番 号 | ラインの内容・機能など. | | |
|--------|---------------------------------------|-----|----------|
| 0 | 新しい命令の受入れ,インデックス処理,算術演算命令 I の分類 | 実行. | |
| 1 | 浮動・固定小数点表示相互間の変換、無番地命令の分類実行、 | 1番 | |
| 2 | 2 進→10 進の数変換. | 2番 | |
| 3 | 10 進→2 進の数変換、タイプインされた数値情報の受入れ、 | 3番 | イン |
| 4 | 10 進数タイプアウトのためのスケーリングと FORMAT の準備. 他. | 4番 | デッ |
| 5 | 内→外部形の命令形式変換、ストアする番地の制御。 | 5番 | クス |
| 6 | 有番地命令実行のための分類. 外→内部命令形式変換. | 6番 | レジ |
| 7 | 算術演算命令Ⅱの分類と実行。他。 | 7番 | スタ |
| 8 | 出力命令の分類と実行.タイプインモードの分類. | 8番 | , |
| 9 | 平方根の計算. LIST のためのルーチン. | 9番 | |
| 10 | | | ******** |
| 11 | サブルーチン収容のためのライン. | | |
| 12 | データまたはプログラムの記憶にも使用できる. (400 ワード) | | |
| 13 | | | |
| 14 | ASIA によるプログラミングの際にプログラムまたはデータの記 | 憶のフ | ため |
| 15 | に使用できるライン. (2,000 ワード) | - | |
| 1 | | | |

| ~~~ | |
|-----|--|
| 33 | |
| 34 | 定数表. (数値, 命令, エキストラクタ etc.) |
| 35 | |
| 36 | オペレーションコードの英字 → 数字変換のためのテーブル. |
| 37 | |
| 38 | 定数表. (数値, 命令, エキストラクタ etc.) 番地ベースレジスタ. |
| 39 | 入出力のためのライン。サブルーチン実行のためのライン。 |

| 40 | 数定. |
|----|----------------|
| 41 | コマンドレジスタ, |
| 42 | 記憶番地制御レジスタ. |
| 43 | 定数. |
| 44 | コマンドレジスタ. |
| 45 | 定数. aアキュムレータ. |
| 46 | 定数. t アキュムレータ. |
| 47 | 入出力ライン. 他. |
| 48 | エキストラクタ. |
| 49 | 命令番地制御レジスタ. |

| ARI | |
|-------|--------------|
| ARII | |
| ARIII | ala de Marko |
| MQ | 内部演算レジスタ. |
| ID | |
| PN | |

図 4.1 メモリ の割当て図 Fig. 4.1 Memory allocation chart.

令を実行するための最適位置に位置づけされていないため、命令 の実行に要する時間が不当に長くなるおそれが生じる.

ASIA ではこれらの事柄を考え合わせて図 4.1 に示すように合計約 1,500 p-ド の命令や定数などから構成されている.

4.2 動作その他

実際の ∂_{λ} は先にも述べたように、それを構成する個々の ∂_{λ} が互に他の ∂_{λ} の一部または全部をその一部として利用しているため、この ∂_{λ} この ∂_{λ} に区別できるようにはなっていない.

さて、ASIA の動作状態はつぎのような三つの ϵ -ド に大別できる・

すなわち,

- (1) 手動で計算を行なう状態で タイプライタ に与えられた命令は ただちに実行される.
- (2) あらかじめ記憶している プログラム に従って自動的に計算が 実行される状態・
- (3) 自動計算のためにそれに先がけて命令や データ を ストァ する状態で、タイプイン される情報の種類別に四つの種類がある. 以上三つの状態を順に手動計算(マニュアル)モード、自動計算 モード、ストアリングモード とそれぞれ呼ぶことにして、以下これらについて簡単に説明する.

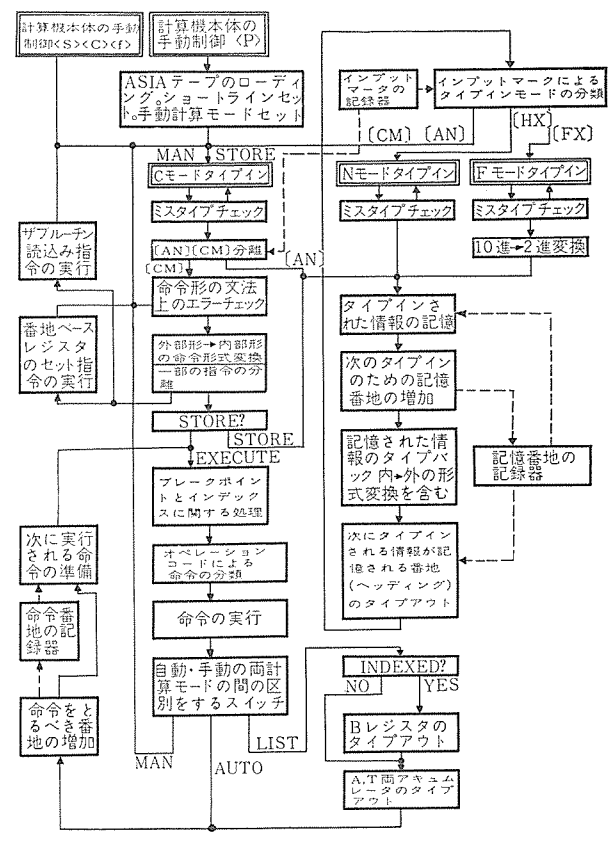


図 4.2 ASIA システム の フローチャート Fig. 4.2 Flow chart of ASIA system.

4.2.1 手動計算モード

この状態では タイプライタ に与えられた命令はただちに翻訳実行に移され、実行後はつぎの命令の タイプイン に備えて再びこれを受け入れる状態で待つ、といった動作を繰り返す。この過程を図によってたどると(図 4.2 参照)、タイプイン された命令は、まず ${}_{2}$ スタイプ の有無、命令の文法上の誤りの有無などが ${}_{2}$ エック され、 ${}_{2}$ ス があれば検出され再度の タイプイン を促す ベル が鳴りもとの タイプイン の状態にもどる。 ${}_{2}$ ス がなければ今 タイプイン されたものが命令であることを確めたうえ、命令の形を内部で記憶するのに都合のよい形に変換する。この間に英字で与えられた ${}_{2}$ の と 進数に、命令の一部として与えられた ${}_{2}$ 0 進数もこれに相当する ${}_{2}$ 進数に変換されるなど、命令 ${}_{3}$ 1 個あたり ${}_{3}$ 1 ${}_{2}$ 1 に形式の統一がなされる。

命令形の統一が終ると、手動計算 モード であることを確認のうえ翻訳実行に移る。 ブレークポイント に関する処理(この場合は無意味)・インデックス に関する処理を行なった後、相対番地方式で表示された番地を絶対番地に変える。

次いで t^{Λ} レーションコード の数値の大小によって命令の分類が行なわれ、その命令に相当する uーチン を呼び出し、実行する。命令の実行にあたって生じる誤り、たとえば tーパフロー や平方根を求めようとする数が負数であることなどは検出され、誤りが生じたことを 27^{2} ライタ で報知する。

このようにして一つの命令の実行が終ると、再び手動計算 モード であることが確認された上でつぎの命令の インプット に備えて最初と同じ $[C]_{mode}$ (MELCOM LD-1 が有する四つの インプットモード、[A], [N], [F], [C] 各 モード の内の一つで、数字は 4 ビット、その他の英字記号は 8 ビットコード で記憶する. $^{2)}$) タイプイン で待つ、以上が動作の 1 サイクル で命令が 1 個 タイプイン されるどとにこの サイクル を繰り返す。

また,このあとに引き続いて述べる各 ϵ --ド間の切換は,必ずこの手動計算 ϵ --ドを経由して行なうことになっている.

4.2.2 ストアリングモード

この動作 E-F は自動計算に備えて命令や F-S を計算機に記憶させるために設けられたもので、記憶させる情報の種類によって四つの異なった E-F があり、それぞれを設定するための命令が実行されることによりこの動作 E-F に入る。これらの命令は手動計算 E-F で設定された場合と自動計算 E-F で設定された場合とで、動作の様子が異なるが、まず手動計算 E-F で設定された場合とついて述べる。情報はいずれの時も S-F で与えられる。

(1) 命令の記憶 (CMIN)

記憶させるべき情報である命令は、手動計算の場合と同じく [C]mode で タイプイン される. この命令の ミスタイプ の チェック、形式 の チェック などの各種 チェック から システム 内部命令形式への変換まで、手動計算の場合とまったく同じ扱いを受ける. 命令形式への変換が終るとストアリングモードであることを確認の上、記憶番地を記憶している レジスタ の指定する番地に形式変換の終った命令をストアする. 続いてつぎに タイプイン される命令が記憶される番地を決定するために記憶番地の レジスタ の内容を 1 ケタ 増加する. さらに、今記憶された命令が オペレータ によって与えられたものと一致していることの確認を助けるために一度記憶した内容を再度外部形に変換して タイプバック する. この後、つぎの命令が ストア される番地を タイプアウト して、つぎの命令の タイプイン に備える態勢

に入り、動作の 1 サイクル を完了する.

つぎつぎと タイプイン される命令は指定された番地以降に、タイプイン された順序に従って記憶される. なお、タイプイン される命令とタイプパック されるそれとでは多少その形式を変えてある.

(2) 名称欄や簡単な コメント などの ストァ (ANIN)

命令と同じく $[C]_{mode}$ で タイプイン される. この場合記憶は常に 倍精度で行なわれるから、タイプイン された情報が 2 語長に納まる か否かの 5 まスタイプ の 5 ま とともに行なわれる. その後、なんら変換操作を受けることなくそのままの形で指定番地に ストァされる. つぎの情報の タイプイン に備えて記憶番地を制御する レジスタ の内容の増加、つぎに タイプイン される情報が記憶される番地 $(\sqrt{5}$ イング) のタイプアウトなどが命令の場合と同じように行なわれる. 記憶番地の増加は命令の場合と異なり 2 の増加が行なわれる がこれは前述したように ストァ が倍精度でなされることによる.

(3) 固定小数点 16 進数の ストァ (HXIN)

 $[N]_{mode}$ ($[C]_{mode}$ と同じく インプットモード の一つで,数字が 4 $\stackrel{.}{_{\circ}}$ ットコード で取り扱われる. 2) で タイプイン された 16 進数はそのままの形で倍精度で ストァ される. $_{2}$ スタイプ の $_{5}$ $_{7}$

(4) 10 進数の ストァ (FXIN)

[F] mode (インラットモードの一つで [N] mode とほぼ同一. 2) で タイ うイン された 10 進数は、上記のような各種の 5 カーク が行なわれた後、10 進→2 進変換 10 ルーチン により 10 とってきた 2 進数は、上の 大田 でまり 2 連数に変換される。このようにしてできた 2 進数は、上の HXIN の場合と同様、記憶番地の制御を行なう レジスタ の指定する番地に ストァ される。既に述べたように、命令以外はすべて借精度で記憶されるから、つぎの数値の タイライン に備えて、記憶番地制御 レジスタ の内容を 2 増加し、続いて タイラバック に移る。この場合は タイラバック は 10 進数で行なわれるから、一度記憶された情報を再び元の 10 進数に変換する操作が行なわれる。10 進数の タイラバック、ヘディング の タイラアウト を行なって 1 サイクル を完了する。

以上、四つの ストアリングモード について、おのおのの モード とその時の システム の入力情報の取り扱い動作について説明したが、先にも述べたようにこれらはいずれも手動計算 モード から設定された場合についてのみ適用できるもので、ストアド・プログラム 方式で自動計算が行なわれているときに設定された場合には、多少上とは異なった動作を行なう。すなわち自動計算 モードで ストアリングモードを設定する命令が実行された場合は、その命令で指定した番地へのみ情報の タイプイン が可能で、一つの情報の ストア を完了すると、インプットモード を設定する命令の実行は終了したものとして、ただちにつぎの命令の実行に移り、手動計算 モード から設定された場合のようにつぎつぎと連続的な インプット を可能とすることはない・

4.2.3 自動計算モード

プログラム とそれのための データ がそれぞれの番地に収容されているとき、ストアドプログラム 方式の自動計算を引き起す $aut\bar{o}$ または list の命令の実行で、この自動計算 t=1 が設定される.

 $aut\bar{o}$ ADDRESS なる命令で自動計算 τ --ド が設定されると,この命令で指定された ADDRESS より最初に実行すべき命令を取り出すと同時に,この ADDRESS は続くつぎの命令を取り出すべき番地を決定する コマンドカウンタ と呼ばれる計数器に入れられる.取り出された命令は,すでに内部形式に変換されているから,

手動計算 モードのときと同じ翻訳・実行 ルーチン により、ただちに翻訳・実行が行なわれる。このようにして一つの命令の実行が終ると、つぎに実行すべき命令の所在番地を得るためにコマンドカウンタの内容を1だけ増加する。次いでこの増加された番地よりつぎに実行すべき命令を取り出して一つのサイクルを完了する。以下モード 切換のための命令、プレークポイント のついた命令の実行や、エラーが検出されるまで、以上のサイクルを繰り返す。

ところで、自動計算 モード を設定した命令が AUTO ではなく、LIST である場合は、命令実行後、コマッドカウンタ の内容を 1 だけ増加するまでに、今実行された命令の 1 ポレーションコード が LIST ADDRESS なる ADDRESS で指定された命令のそれと同じか否かを調べる 1 ルーチッ と同じ場合は、A、T 両 1 キュムレータ の内容を タイプアウト する 1 ルーチッ が加わる。実際には、A・T 両 1 キュムレータ の内容の タイプアウト に先がけて、これの タイプアウト をもたらした命令が ストア されていた番地とその命令が 1 ンデックスモデファイされているときは、それを モデファイ している 1 ンデックスレジスタ の B レジスタ の内容を タイプアウト する動作が加わる。この動作 モードは ASIA で作られた プログラム を、その進行状態を監視しながら計算を行ないたいときに用いて有用なものである。

5. サブルーチン

ASIA システムでは、かぎられた記憶容量をより有効に使用するため、関数 サブルーチン をはじめ、すべての サブルーチン は必要に応じて、必要なものだけを読み込む方式を採用しており、この読み込みが簡便にできるための特別の指令を有している。ただ、関数 サブルーチン のうち非常に使用される機会が多いと思われる平方根 サブルーチン は組み込みとなっており、平方根の計算に限り、とくにサブルーチン を読まなくても実行が可能である。

この システム で使う外付け サブルーチン は、ASIA 用語で書かれたものであってもさしつかえないわけであるが、演算時間の点で不利なため、使用されるひん度の高いものは機械語で書かれたものであることが望ましい。

6. ASIA システムの検討

以上 ASIA ១ステム について,その概要を説明した. 現在,この ១ステム で得られているおもな命令各個の実行に要する演算時間の一覧表を表 6.1 に示す.同種の他の ១ステム のそれに比較して,高速とはいえないが,これらのうちには演算時間の最短化のための考慮が十分はらいつくされていないために,不当に演算時

間を長くしているものもあり、今後これの最短化に努める予定である。その他、現在の システム が有している命令の数と種類・機能などが必要十分なものであるか否か、アキュムレータ をアドレッサブルにしたときの得失、取り扱い数値範囲のせまい固定小数点演算方式で十分実用に対処しうるか、等々の検討は今後の各種 プログラムテスト の結果で判定する他はない。また、このような テスト が進むにつれて、システム 内部の不備な点が表面化することと思われるが、それらはその都度改め、より完全なものにしてゆく予定である。

以上のように、現在ではまだこの システム について決定的な評価ができる段階には至っておらず、ごく少数の テストプログラム の作成・運転経験から、つぎのようなことがいえるにとどまる。まず、プログラミング の容易さは、当然のことながら機械語による場合に比べてはるかにすぐれており、プログラミング の誤りもずっと少ないまた デバッギングも LIST 命令の適切な利用により、容易に行なうことができ、使い易いプログラミングシステムを……、という初期の目的を一応達成できたと考えている。

作成した 52トプログラム の一つは、2 次因数を抽出することによって、高次方程式の根を求めるためのもので、全部で 137 個の命令より成っている。このプログラム によって試みに、幾つかの方程式の根を求めてみた訳であるが、たとえば実根虚根を併有する 4 次方程式については約1分35秒の演算時間で、同じく 8 次方程式の場合は約6分20秒の演算時間(いずれも解の 27プァウトの時間を含む。)で 10 進10 72 程度の精度の解が得られた。

上の演算時間は、アキュムレータをアドレッサブルにするためのサブルーチンを作成・併用して得られたもので、これを用いないものに比べて、10~20%程度演算時間が短縮されている。現在のシステムでは、命令形式の説明の項でわかるように、アキュムレータを番地指定することはできないが、現在の演算速度を維持して、これを可能にすると、問題によってはかなりの高速化ができるものと思われる。

プログラム は表に示すように 30 個の命令から成り、一つの方程式の根の計算と タイプァウト が終ると、 ベル が鳴ってつぎの方程式の根の計算に備えて再び係数 a,b,c の タイプイン を求める状態にもどるように作成されている.

表 6.1 演算所要時間

| | 命 | | | | | 演算所要時間 [dr] |
|----|------|--------------|------|------------|-----|-------------|
| bu | 波 | | | | H. | 3 |
| 群 | 加 渡 | | | | 弈 | 4~5 |
| 乗 | 除 | | | | Ţ | 6~7 |
| 27 | ンドコン | Ь п — | ル (: | テストを台 | (t) | 4 |
| 1 | ン デ | ッ | ŋ | ス関 | 係 | 4~6 |
| 10 | 進 | 数 | Ø | Ш | カ | 10 |
| 邓 | 均 | 値 | Ø | 計 | 37. | 8~10 |
| 本 | 方根の | | | # ! | 算 | 15 |

[dr] は drum revolution の略で 1 dr は約15 m sec に等しい。またインデック スモデファイしたときは上記の値に 1 dr を加算する。

表 6.2 プログラム の例 (2 次方程式の求根)

| コケーション | 命 | 令 | 備考 |
|--------|------|----------------------|---|
| 22000 | bell | | |
| 1 | fxin | /0ze050 | a |
| 2 | fxin | /0 ₁₁ 052 | ь |
| 3 | fxin | /0ze054 | c |
| 4 | csbt | a0u050 | -a |
| 5 | sbtr | a0u050 | -2a |
| 6 | div/ | a011052 | $-b/2a = -\alpha$ |
| 7 | cadd | t021050 | a |
| 8 | div | t0u054 | $c/a = \beta$ |
| 9 | stra | /0 _{tt} 052 | $-\alpha$ |
| 10 | strt | /04054 | β |
| 11 | mult | a0u052 | α^2 |
| 12 | sbtr | a0u054 | $\alpha^2 - \beta$ |
| 13 | cadd | t024052 | -α |
| 14 | stra | /02/050 | $\alpha^2 - \beta = 0$ |
| 15 | ja(ō | /0u024 | D<0? |
| 16 | sqrt | a0u050 | $\sqrt{\alpha^2 - \beta}$ |
| 17 | s!ra | /0 ₁₄ 050 | ,, |
| 18 | sbtr | t02t050 | $-\alpha - \sqrt{\alpha^2 - \beta}$ |
| 19 | tlcr | | |
| 20 | aadd | t02e050 | -α |
| 21 | aadd | t04050 | $-\alpha+\sqrt{\alpha^2-\beta}$ |
| 22 | ttcr | | |
| 23 | jump | 1011000 | Return |
| 24 | tttb | | |
| 25 | csbt | a_{0u}^{000} | $-\alpha^2 + \beta$ |
| 26 | stra | /04/050 | ,,,,,,,,,,,,,,,,,,,,,,,,,,,,,,,,,,,,,,, |
| 27 | sqrt | t011050 | $\sqrt{-\alpha^2+\beta}$ |
| 28 | ttcr | | |
| 29 | jump | 1011000 | Return |

7. む す び

ASIA プログラミングシステム についてその概要を紹介した. 特異な機械性能としての群演算を インタプリタ としも活用できるように、中央固定小数点の数値語形式を採用したのであるが、試験的に行なった プログラミング の結果、プログラミング や デパッギング の容易な取り扱いの易しい プログラミングシステム を……、という初期の目的は一応達成できたものと考えている. しかし、演算時間の最短化の点では検討の余地が残されているので今後の研究課題の一つとなろう. 終りに、夏期実習 テーマとしてこの システムの デパッギング にご協力いただいた大阪大学工学部学生の吉竹氏に厚くお礼申し上げる. (昭 38-1-16 受付)

参考文献

- (1) 豊田準三, 中塚正三郎, 吉江高明ほか: 計数形電子計算機 MELCOM LD-1, 「三菱電機」, 35, No. 5 (昭和 36)
- (2) 中塚正三郎,前田良雄,小林孝二郎:計数形電子計算機入 出力の一方式(1),(2),「三菱電機」35, No. 11, 12(昭 36)

| 年月日 | 寄稿 | 先 | 題 | 名 | 執 | 筆 者 | 所属 | 国 場 | |
|----------|----------------------|--------|---|-----------------------|-------|----------------|-----|-----|---|
| 37-10-27 | 制御工学 ハンドブック | | 列車自動運転制御装置 | | 石田哲爾 | | 40: | 線 | 機 |
| 37-10-30 | 電気学会 75 周年 | | 順序制御 (Sequencial C | ontrol) | 木内 1 | ~ | 長 | | 崎 |
| 37-10-30 | 電気学会 75 周年 | | 鉱山における電力応用 | | 木内 (| 多 | 長 | | 崎 |
| 37-10-31 | 国際照明委員会 (C. | I. E.) | Bibliography: Jan. 1959 ing of Schools and Offi | -Sept. 1962 (Lightes) | 小堀富次區 | 惟 | 本 | | 社 |
| 37–11– 1 | 工業化学 | | 熱分解した イオン 交換樹 学的性質 | 脂の電導性と物理化 | 西崎俊一郎 | 『・草川英昭 | 研 | 究 | 所 |
| 37-11- 7 | 情報管理便覧 | | 企業体研究所における技 | 荷資料の1例 | 小林吉三郎 | IR | 研 | 宪 | 所 |
| 37–11–10 | エレクトロニクスダイジェスト | • | Mn, Mg 系 フェライト の | 製造上の問題点 | 竹内守夕 | ζ | 研 | 究 | 所 |
| 37-11-10 | 電気公論 | | 伊丹変電所向 99 MVA i | 单卷変圧器 | 田村良马 | F | 伊 | | 丹 |
| 37-11-12 | マシナリー | | 数値制御工作機械の使用 | 列とその問題点 | 馬場文ラ | | 鎌 | | 倉 |
| 37–11–13 | 電気計算 | | 最近の水力発電所の配電 | 盤と機器 | 松尾 | 緊・山本潤二 | 神 | | 戸 |
| 37-11-13 | 電気書院 | | 螢光灯の電圧, 周波数特 | 4 : | 小堀富次的 | 隹 | 本 | | 社 |
| 37-11-14 | 照明学会 | | 高効率、緑白色けい光ラ | っプ とその応用 | 小堀富次區 | 隹 | 本 | : | 社 |
| 37-11-15 | 照明学会 | | 三菱電機による日華合弁 | の螢光灯事業開始 | 小堀富次的 | 隹 | 本 | | 社 |
| 37-11-14 | 電気計算 | | 最近の移動用変電所の配 | 電盤と機器 | 小滝喜久二 | - - | 神 | | 戸 |
| 37–11–14 | 電気学会誌時報 | | Huntesston 原子力発電所 | の電気事情 | 加藤又彦 | 奎 | 伊 | | 丹 |
| 37–11–15 | オートメーション | | 光導電 セル の自動制御へ | の応用 | 吉沢達ま | ŧ | 研 | 究 〕 | 所 |
| 37-11-20 | 制御工業 ハンドブック | | 温度制御例(高周波炉) | | 今出昭彦 | | 研 | 究 〕 | 所 |
| 37-11-20 | 制御工業 ハンドブック | | 電気式 マニピュレータ | | 大野栄- | - | 研 | 究) | 所 |
| 37-11-20 | 制御工業 ハンドブック | | 自動電圧電流調整器 | | 今出昭彦 | E | | 究 〕 | |
| 37–11–27 | 日本金属学会誌, 電子顕微鏡学会誌 | | 回転円板を陰極として用 鏡試作製法 | いた透過形電子顕微 | 竹内守ク | (| 研 | 究 〕 | 所 |
| 37-11-28 | 電気学会誌時報 | | トランジスタ の熱抵抗の新測 | 定法 | 加藤又彦 | É | 伊 | 5 | 丹 |
| 37-11-28 | 電気学会誌時報 | | SCR の ダイナミック 試験法 | - | 加藤又彦 | <u> </u> | 伊 | 7 | 丹 |

HK形電磁クラッチ

杉山昌司*•西野宏*

Type HK Electromagnetic Clutches

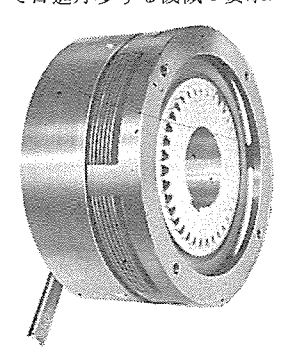
Nagoya Works Shoji SUGIYAMA · Hiroshi NISHINO

The production of machine tools in this country has marked a striking increase for past five years. Worthy of mention is not only quantity increase but also theirs improvement in the performance. Of various factors contributing to this technological advancements, the progress in the application of electromagnetic clutches play a great part. Without these devices automatic operation, remote control and high efficiency of machine tools can never be expected. Mitsubishi has been supplying the market with type JKA electromagnetic switches, establishing a steady foot hold in the circles. Now the Company stands ready to deliver another developments, type HK units, to cope with the rapid advance in the technology of manufacturing.

1. まえがき

最近5年間に,工作機械の生産は実に 10 倍に達し,機械工業はじめ,各種産業の発展に大きく寄与しているが,これら数量的な面ばかりでなく,性能的な面においても,見るべき点がたくさんあるが,その中で電磁クラッチがはたしている割合は大きい.自動化,遠隔操作化,高能率化などをはかり,生産性の高い機械の設計に電磁クラッチを使用することは,今日では常識化しているたとえば,送り機構とか,ならい装置用として,あるいは,スピットルの完全自動化,さらに数値制御用としてなど,これらは,工作機械以外の面でも多方面に応用される.

当社にも、昭和 33 年に、他社に先がけて、国内で最初に発売した JKA 形電磁 クラッチ があり、各方面に広く使用され、非常な好評を博している。しかし、この クラッチ は、構造的に、 軸方向寸法が大きいので、これを小形化し、トルク 性能を向上させて日進月歩する機械の要求に一層マッチした製品を提供するため、



今回新たに開発したのが HK 形電 磁 クラッチ である. この クラッチ の 開発に際しては、まったく新たな 構想の基に、幾多の新機軸を折り 込んで、設計、製作してきたのでここにその概要を紹介する.

図 1.1 HK-5S 形電磁 クラッチ Fig. 1.1 Type HK-5S electromagnetic clutch.

2. 構造,動作

HK 形電磁 クラッチ は、湿式、多板式電磁 クラッチ で、その基本構造は、コイル 静止形、かつクラッチ 作動時に摩擦板が磁化状態になるいわゆる摩擦板磁化形としている。詳細を図 2.1 に示す。

内側 「ライパは,この クラッチ の主体をなし, ヨーク が固定される.この外周には、インポリュートスフライン が設けられ、内側摩擦板、および アマチュア がかみ合っている.この両者は、端部の ストッパで,

動きが制限される。なお、この 0505 には図示のように摩擦板と ボールベアリック部分に給油できる給油穴があり、このため良好な 潤滑性をもつことも、特長の一つに数え上げることができる。

また、磁気 シャヘイ のために、内側 ドライバ は非磁性材料としている.

外側 ドライバ には、数個の爪があり、これに外側摩擦板がかみ合っている。内、外両摩擦板は、ともに数枚から成り、交互に重ねられ、これらの摩擦によって クラッチ の連結動作が行なわれる.

なお,あとに述べるようなすぐれた クラッチ 特性を得るために, 内側摩擦板には特殊化学処理を施して,理想的な表面状態とし, また,外側摩擦板には数個の波打を付け,さらに,両者とも,特 殊な形状にして,潤滑性の向上をはかっている.

トルク は、シャフト に キー で固定される内側 ドライバ から 両摩擦板を経て、一般に、ギャ に ピッと ネジ で取り付けられる外側 ドライバ に、あるいはこの逆の経路で伝達される.

コイル は ハウジング とともに, 玉軸受によって支持し, 常に静止 状態になるようにしてあるが, わずかの トルク による回転を止め るため, 回り止めがある. 磁気回路は, ヨーク, ハウジング, 両摩擦

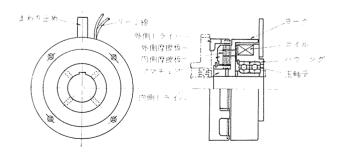


図 2.1 HK 形電磁 クラッチ 構造図 Fig. 2.1 Type HK electromagnetic clutch.



図 2.2 HK 形電磁 クラッチ Fig. 2.2 Type HK electromagnetic clutch.

板、アマチュアによって形成され、コイルが励磁されると、その プルにより、摩擦板部分に摩擦トルクを生じ、従動側とのマッチングが行なわれる。コイルへの給電には リード 線が付属されている。なお、この リード 線とコイルとの接続には、特別な考慮がはらわれているので不当な外力による コイル、 断線の心配がないので、持ち運びとか配線作業が容易に行なえる。

HK 形電磁 クラッチ を, このような構造にした結果, 軸方向寸法は大幅に短縮され,全体として コンパクト にまとめることができた. また摩擦板磁化形のため,かりに,摩擦板が摩耗しても自己調整が行なえるので,このために起こるへい害はまったく除去できる.

3. 仕 様

3.1 種 類

3.2 仕 様

表 3.1 に シングル 形を、表 3.2 に ダブル形 を示す.

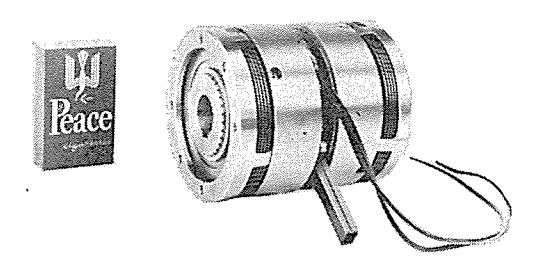
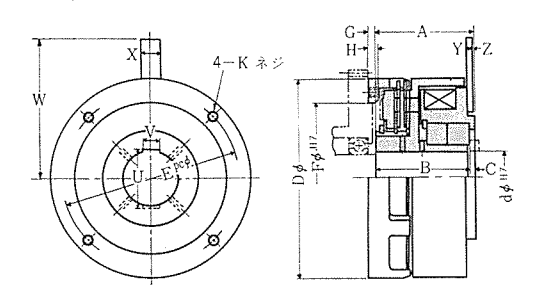


図 3.1 HK-1.2D 電磁 クラッチ Fig. 3.1 Type HK-1.2D electromagnetic clutch.

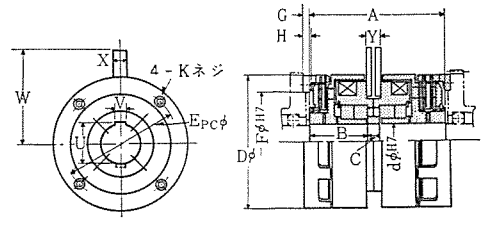
表 3.1 HK 形電磁 クラッチ 仕様(シングル)



(寸法 mm)

| 形 | 名 | HK 0.6S | HK 1.2S | HK 2.5S | HK 5S | HK 10S | HK 20S | HK 40S | HK 80S |
|--------|------------------|------------|------------|------------|----------|-----------|-----------|-----------|-----------|
| 動摩擦トバ | レク (kgm) | 1.2 | 2.5 | 5 | 10 | 20 | 40 | 80 | 160 |
| 人 | 力 (W) | 15 | 19 | 25 | 36 | 41 | 48 | 60 | 100 |
| 電 | 圧 (DCV) | 24 | 24 | 24 | 24 | 24 | 24 | 24 | 24 |
| | dφ | 18 | 22 | 27 | 37 | 47 | 57 | 72 | 87 |
| | $\mathrm{D}\phi$ | 84 | 96 | 114 | 136 | 160 | 195 | 240 | 295 |
| | A | 47.5 | 52 | 61 | 67 | 76 | 88 | 108 | 136 |
| 外 | В | 43.9 | 46.5 | 59 | 64.9 | 73.9 | 85.5 | 104.5 | 131 |
| | С | 3.6 | 5.5 | 2 | 2.1 | 2.1 | 2,5 | 3.5 | 5 |
| 形 | E | 72 | 84 | 100 | 120 | 142 | 175 | 215 | 265 |
| | F | 62 | 74 | 86 | 104 | 126 | 155 | 190 | 235 |
| 1 | G | 2.5 | 3.5 | 4 | 4 | 5 | 6 | 8 | 12 |
| , | H | 5 | 6 | 7 | 7 | 8 | 9 | 11 | 14 |
| \ | K | 5 | 5 | 6 | 6 | 8 | 8 | W3/8 | W1/2 |
| 法 | W | 84 | 90 | 105 | 111 | 122 | 140 | 164 | 189 |
| | X | 12 | 12 | 16 | 16 | 16 | 16 | 20 | 20 |
| | Y | 4 | 4 | 5 | 5 | 5 | 5 | 6 | 6 |
| | Z | 0.5 | 0.5 | 0.5 | 0.5 | 0.5 | 1 | 1 | 2 |
| .a. | U | 19.4 | 23.6 | 28.8 | 39 | 49.2 | 60.5 | 75 | 91 |
| + - | V | 5 | 7 | 7 | 10 | 12 | 15 | 20 | 24 |
| 回転部 GD |)2 (kgdm²) | 0.23 | 0.44 | 1.1 | 2.5 | 5.2 | 14 | 43 | 120 |
| 全 重 1 | it (kg) | 1.6 | 2.3 | 3.5 | 5.5 | 8.6 | 15 | 28 | 58 |

表 3.2 HK 形電磁 クラッチ 仕様 (ダブル)



(寸法 mm)

| 形 | 名 | HK 0.6D | HK 1.2D | HK 25D | HK 5D | HK 10D | НК 20D | HK 40D | HK 80D |
|--------|------------------|------------|------------|-----------|----------|-----------|-----------|-----------|-----------|
| 動摩擦トル | ク (kgm) | 1.2 | 2.5 | 5 | 10 | 20 | 40 | 80 | 160 |
| 入 | カ (W) | 15 | 19 | 25 | 36 | 41 | 48 | 60 | 100 |
| 電 | 圧 (DCV) | 24 | 24 | 24 | 24 | 24 | 24 | 24 | 24 |
| | dφ | 18 | 22 | 27 | 37 | 47 | 57 | 72 | 87 |
| | $\mathrm{D}\phi$ | 84 | 96 | 114 | 136 | 160 | 195 | 240 | 295 |
| 外 | A | 95 | 104 | 122 | 134 | 152 | 176 | 216 | 272 |
| 71 | В | 43.9 | 46.5 | 59 | 64.9 | 73.9 | 85.5 | 104.5 | 131 |
| 形 | С | 7.2 | 11 | 4 | 4.2 | 4.2 | 5 | 7 | 10 |
| 10> | E | 72 | 84 | 100 | 120 | 142 | 175 | 215 | 265 |
| | F | 62 | 74 | 86 | 104 | 126 | 155 | 190 | 235 |
| र्ग | G | 2.5 | 3.5 | 4 | 4 | 5 | 6 | 8 | 12 |
| | H | 5 | 6 | 7 | 7 | 8 | 9 | 11 | 14 |
| 法 | K | 5 | 5 | 6 | 6 | 8 | 8 | W3/8 | W1/2 |
| | w | 83 | 90 | 105 | 111 | 122 | 140 | 164 | 189 |
| | X | 12 | 12 | 16 | 16 | 16 | 16 | 20 | 20 |
| | Y | 9 | 9 | 11 | 11 | 11 | 12 | 14 | 16 |
| + - | U | 19.4 | 23.6 | 28.8 | 39 | 49.2 | 6D.5 | 75 | 91 |
| T - | v | 5 | 7 | 7 | 10 | 12 | 15 | 20 | 24 |
| 回転部 GI | O² (kgdm²) | 0.46 | 0.88 | 2.2 | 5.0 | 10.4 | 28 | 86 | 240 |
| 全 重 1 | 法 (kg) | 3.2 | 4.6 | 7 | 11 | 17.5 | 3O | 56 | 116 |

4. 性 能

4.1 摩擦トルク

電磁 クラッチ を使用するとき、最初に検討すべき事項は負荷を最も経済的に運転するために必要な クラッチトルク を決定することである。これは限られた用途を除いては クラッチ 連結時のすべりトルク をさし、一般に「動摩擦トルク」と呼んでいる。

HK 形電磁 クラッチの摩擦トルク 特性の一例を図 4.1 に示す。電磁摩擦 クラッチ の特質として、摩擦トルク は電気的、機械的要因のために、コイル 励磁と同時に所定のトルク になるのでなく、図のようにやや遅れ、かつ比較的なめらかに増加する。物理的にはこの全過程が動摩擦の状態であるが、前記の目的からして初期の立上り部分や連結寸前のトルク は動摩擦トルク の対象にしないのが当然である。

連結が完了した点における トルク は「静摩擦 トルク」で、これは物理的な定義と一致する. しかし、試験の結果、このままの状

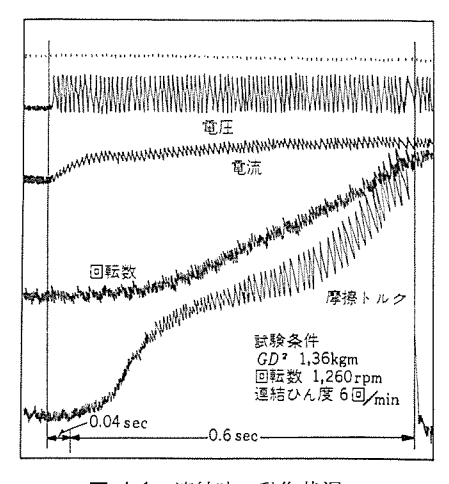


図 4.1 連結時の動作状況 Fig. 4.1 Operating state in coupling.

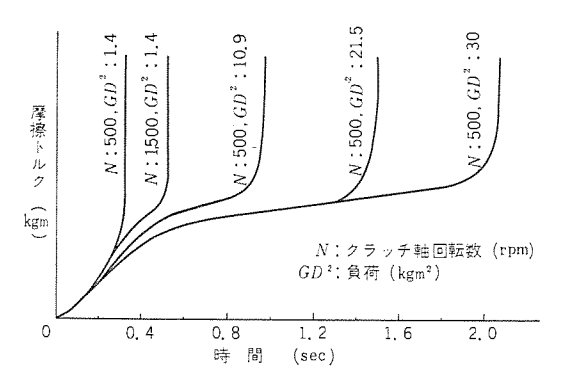


図 4.2 試験条件による摩擦トルクの変化 Fig. 4.2 Changes of friction torque under testing conditions.

態で改めて スリップ をはじめる直前の トルク を測定すると、図に見られる点よりも高い値を示す. これは最近の摩擦理論によれば、連結時における摩擦面の複雑な現象のためと考えられているが、静摩擦 トルク を論ずるとき認識しておくべき事項である.

ところで、図 4.1 はある試験条件の基に取った f=9 である. 一般に同一 25 ッチ ならば、どんな使用条件でも同一の摩擦 1 トルク特性であると思われがちであるが、われわれの試験結果ではその様になっていない。このことはとくに 1 ーザ にとって重要である。図 4.2 に一例を示す.

これらのことは、つぎに述べる連結時間の検討のとき、十分考慮されなければならない。

4.2 動作時間

電磁 クラッチ の大きな機能として 制御要素の役割があるが、この様な用途では クラッチ 連結時間を正確に 算定する必要がある.また、短時間で連結を完了したい時は、クラッチ 選定の規準にもなる.

HK 形電磁 0599 では与えられた試験条件のもとに、一定の品質水準を満足するよう設計、製作してある。図 4.1 では連結時間は 0.6 秒になっている.

動作時間としては、このほか、コイル を励磁したのち実際摩擦トルクが生ずるまでの、いわゆる電気的過渡現象による デッドタイム、すなわち、アマチュア 吸引時間とか、同様な意味での アマチュア 落下時間を考慮する必要があるが、HK 形電磁 クラッチ は特殊な 構造であるから図 4.1 に見られるように、きわめて小さな値になっているから、通常の使用状態では無視してよい。

4.3 残留および空転トルク

クラッチ 開放直後、および、その後の正常空転状態における トルク をおのおの残留 トルク、空転 トルク といい、ともに湿式 クラッチ としては避け得ないものであるが、まったく有害無益の トルク であるから極力小さくしなければならない.

(1) 残留 トルク

HK 形電磁 クラッチ は、構造上、連結時摩擦板が完全に磁化されるにもかかわらず、図 4.3 に見られるように残留 1×10^{-10} めて低く、他の機種でも、大体同一で、クラッチ 開放後 0.5 秒で

動摩擦トルクの 2~4% である. これは、特殊な磁気回磁とか、 摩擦板間の境界油膜により、残留磁気が少ないことによるが、さらに、摩擦板自身の スプリングアクション も残留 トルク に関し大きな 働きをしている.

(2) 空転 トルク

空転 トルク の減少をはかるため、われわれは幾多の試験を行なったが、その一部を述べると、まず空転 トルク が生ずる原因を把握するために、つぎのような条件で試験を実施した.

 A.
 完全乾式の状態
 残留磁気無し

 B.
 " 有り

 C.
 湿式の状態
 " 無し

 D.
 " 有り

この結果を図4.4に示す.このように残留磁気が空転 トルクに 及ぼす影響は僅少であるが, さらに確認のために数 ボルト の逆励 磁電圧を, 与えた時の空転 トルク の変化を測定したが, ほとんど 変化がなかった.これらからして, 油の粘性抵抗が空転 トルク の 大部分を占めていることが理解できる.

つぎに油の粘度(温度)と、空転 トルクの関係を見ると図 4.5 の様になり、油温の低下、すなわち、粘度の増大とともに、空転 トルク も増加する. したがって空転 トルク を論ずるときは必ず温度を考えなければならず、また、低温における クラッチ 使用に対しては、ある程度注意が必要である.

HK 形電磁 クラッチ では、これらの結果に基づき、摩擦板に特殊な表面処理を施し、また、特殊な形状にし、十分な ストローク を与えているので、空転 トルク はきわめて低く、動摩擦 トルク の $0.5\sim1.0\%$ 程度である。一部では、さらに空転 トルク を下げよ、

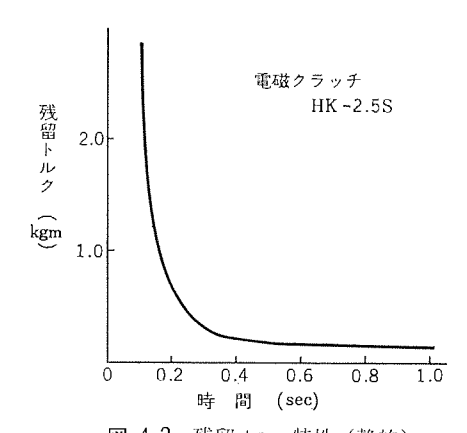


図 4.3 残留トルク 特性 (静的) Fig. 4.3 Residual torque characteristic (static).

図 4.4 試験条件による空転 トルク の比較 Fig. 4.4 Comparison of racing torque under testing condition.

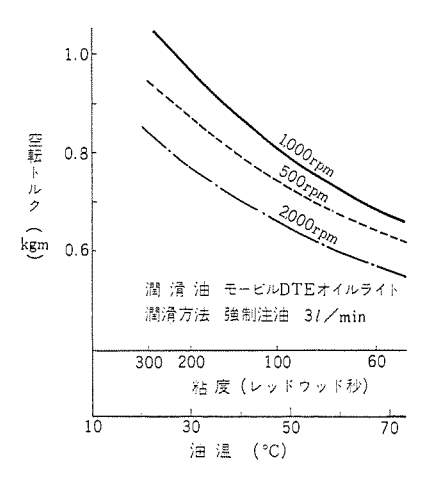


図 4.5 油の粘度による空転 トルク の変化 Fig. 4.5 Changes of racing torque due to the viscosity of oil.

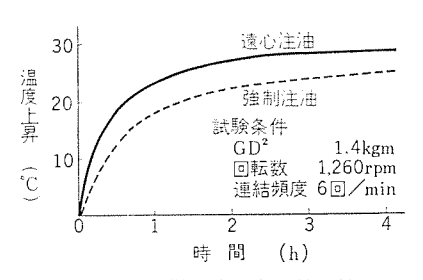


図 4.7 潤滑油温度上昇比較 Fig. 4.7 Comparison of temperature rises of lubricating oil.

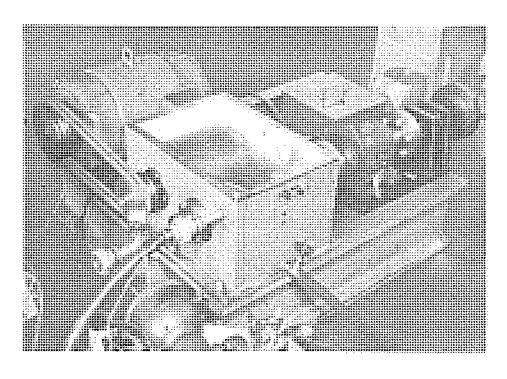


図 4.6 軸心給油裝置外観 Fig. 4.6 Exterior view of shaft center oiling device.

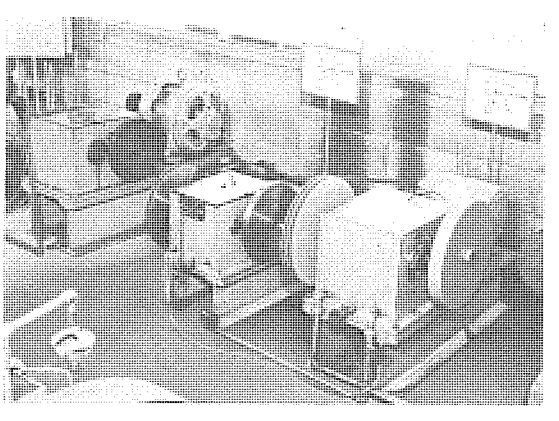


図 4.8 寿命試験装置外観 Fig. 4.8 Exterior view of life test arrangement.

側に潤滑不良の個所が認められた. (このことは連結仕事量が 小さい範囲では問題ない)

これらの現象から、摩擦板の 潤滑(冷却)という点からは、 軸心給油がすぐれていることが 認められる。なお、同様な方法 で、油浴潤滑も行なったが、摩 擦板が外部に露出している関係 で、かなり良い結果を示したが 油温上昇は最も大きかった。

4,4 寿 命

湿式 ラクッチ は一般に,境界 潤滑の状態で使用されるので, 摩耗はほとんどないが,摩擦で トルク を伝達する以上,皆無と はいえない. HK 形電磁クラッチ は多くの機種について寿命試験 を実施しているが、摩耗はきわ めて少なく,したがって摩擦ト ルク の低下もきわめてわずかで ある.

しかし、一般に潤滑油は時間 の経過とともに次第に酸化され、 そのために油性が向上され、あ るいは、微少な摩耗粉が影響し

て摩擦 トルク の低下が考えられるので、潤滑油の保守には十分注意する必要がある。

寿命試験の実施状況を図 4.8 に示す.

5. 使用に際しての問題点

5.1 潤滑油

一般に湿式 クラッチ の潤滑油としては、タービッ 油 1 号または 2 号が使用され、たとえば、<math>E-ビν DTE πν Σ がある. HK 形電磁 μ Σ でもこれを使用すればよい. ただ構造的に電磁 μ Σ の主要部分である. 摩擦板が μ Σ 連結時に 磁化されるので、油中に鉄粉や π Σ などによる摩耗粉が混合しないようにできれば π Σ 80π Σ 100 π Σ 20π Σ 20π Σ 20π Σ 20π Σ 30π Σ 30

5.2 組み込みに際して

図 5.1 は遠心注油を行なう時の取付例である。このように組込時に調整するとか、高い組立精度を要する個所がない。あるいは、内、外径が一体になっていることや、ラグ式外側 ドライバ などとあいまって、現在市場にある製品の内では最も簡便に組み込みが可能である。

なお、ボールベアリング側には 55- を入れ、ベアリングが抜けないようにしなければならない。また、遠心注油を行なうときは、軸側の油穴部分に リング 状の 5 を入れ、油の抵抗を少なくすることが望ましい。

5.3 外側ドライバ

外側 f ライバ を f や などに取り付けるとき、 a もの ほかに f っパピン を使用しなければならない。 構造によってはこの両者を一体に製作した方が有利な場合があり、一例を図 f 5.2 に示す。

という声もあるが、しかし、そのために他の優秀な性能がそこな われることや、摩擦板の強度、寿命などを考えるとき、その利益 はかえって減ぜられると思われる.

4.3 温度上昇

湿式電磁 クラッチ の温度上昇に及ぼす要因とは

- (1) コイルの ジュール 熱
- (2) 空転 トルク によるもの
- (3) ボールペアリング などの機械損
- (4) 連結時の摩擦板のすべりによるもの

があるが、この内(1)(3)は大した値でなく、また、(2)は 摩擦板のすべりによる発熱を奪うために大量の潤滑油(冷却油)を 供給する結果生ずるものであるから、当然、二次的に考えるべき である.

この様に、湿式 25ッチ では連結時の発熱をいかに、合理的に油で冷却するかが一つの大きな眼目になり、その結果、油温が上昇し、ある限界を 1ーパ したならば、2ーラ などによる冷却を考慮すればよい。すなわち、潤滑油が摩擦板部分に十分行き渡るような構造にすべきで、この点、HK 形電磁 25ッチ は理想的に設計してあり、遠心注油を行なえば最も効果的である(図 1.6 参照)

一例として、図 4.7 に遠心注油と、外周からの強制注油による 温度上昇比較を示す。両者はまったく同一条件にて試験したもの である。これによると遠心注油の方が油の温度が高くなっている が、

- (1) 同一条件における空転 トルク は、遠心注油の方が多い. これはそれだけ油のまわりが良いことである.
 - (2) 強制注油の方が摩擦板の温度分布 コウ配が大である.
 - (3) 試験後,摩擦板表面を観察した結果,強制注油では内周

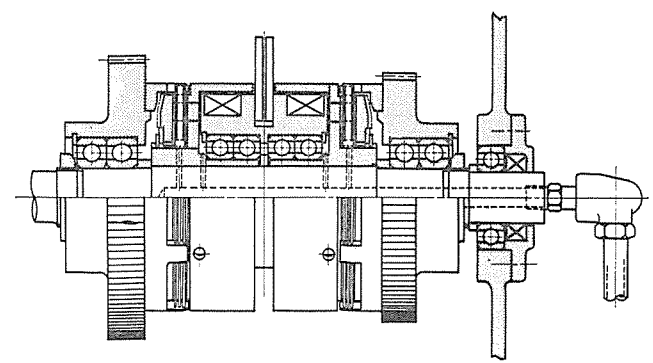


図 5.1 HK 形電磁 クラッチ 取付図 Fig. 5.1. Type HK electromagnetic clutches cross section.

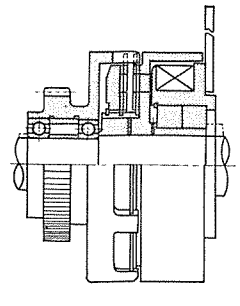


図 5.2 外側 ドライバ を特殊にした例 Fig. 5.2 Example of using special outside driver.

5.4 回り止め

標準は本体に軸方向から ネラ 締付け してあるが、必要に応じ、クラッチ組み 込み後外周から取り付けるようにする こともできる.

5.5 リード線

リード線の長さは要求により任意の 長さのものを取り付ける。また、とく に必要があれば クラッチ 外周近くに端 子板を用意することもできる。

6. 特 長

(1) 外形寸法, とくに軸方向寸法 がきわめて小さい.

機械の クラッチボックス が小形化され、全体として コンパクト な設計が可能となり、さらには機械の重量が軽減され、コストダウン ともなる. 図 6.1 に国内 メーカ の主要寸法の比較を示すが、スリップ

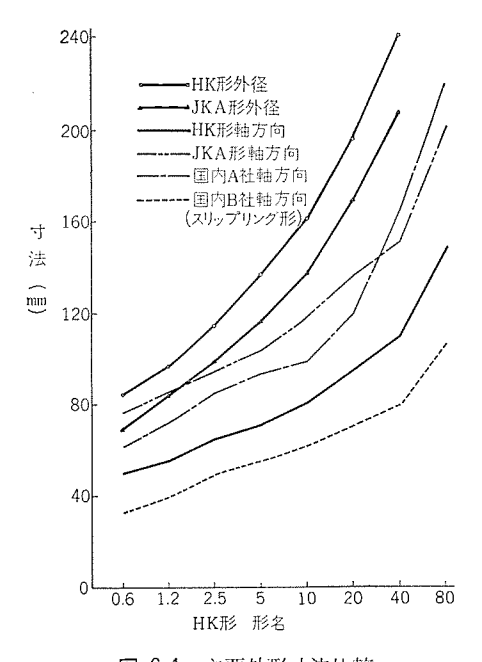


図 6.1 主要外形寸法比較 Fig. 6.1 Comparison of principal outline dimension.

リング 付の電磁 クラッチ と比べると幾分大きいが、ブラシ の摩耗や 摩耗粉による潤滑油の汚染などを考えれば、たいした問題でない。 (2) 信頼性が高く、寿命が長いので半永久的に安心して使用できる。

前述のように遠心注油が簡単にできること、摩擦板に特殊な表面処理が施してあること、また、わずかな摩擦板の摩耗に対して も調整がまったく不用であることなどから、長期にわたり安定した性能が得られる.

(3) 残留,空転 トルク がともにきわめて小さい.

クラッチ 開放とともに残留トルクが急減するので、いわゆる クラッチの切れが非常によく、また、空転 トルク による発熱が少なくなると同時に駆動系の効率が高くなる.

(4) 機械への組み込みが簡単である.

従来見られた現物合せ的組み立ては、まったく不用であり、かつ ブラシ の心配もしなくてよい.

- (5) 消費電力が少ない.
- (6) 保守が容易である.

わずかに潤滑油の定期的取り換えなど、油の清浄化に注意すればよい。

7. む す び

以上 HK 形電磁 クラッチ の概要について 紹介したが, 前項で述べたように多くの 特長 を持っているので, 従来, この種 クラッチで問題になった点はほとんど解決されている.

電磁 クラッチ を各種機械に使用する場合,その一部分としか成り得ないので,宿命的に寸法的な制約を受ける。したがって,理想的にはその機械に最もマッチした寸法の クラッチ を製作するのが好ましいが,標準化,量産化の見地から不可能である。当社は従来から製作している JKA 形電磁 クラッチ(図 7.1 参照)と合わせ,寸法的に異なった二つの機種が完成したので,多くの 2-ザから歓迎され,需要は一段と増大するものと思われる。

なお、今回は HK 形電磁 クラッチ の概略的な紹介に止まったが クラッチ の選択とか、問題点については別の機会に述べたい。

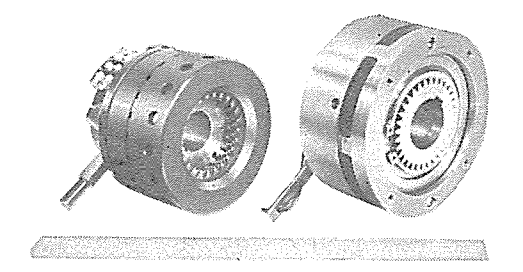


図 7.1 HK 形と JKA 形の比較 Fig. 7.1 Comparison between type HK and type JKA.

参考文献

- (1) 三矢: 工作機械用 JK 形電磁 クラッチ「三菱電機」Vol. 32・No. 3 (1958)
- (2) R. L. Kotnik: Electro-magnetic Disc Clutch [M. Design]
 Aug, 4, (1960)
- (3) 曾田:摩擦と潤滑 岩波全書

UDC 621. 313. 333-71: 621, 574

密閉形水冷却式およびガス冷却式ターボ冷凍機用電動機

新良由幸*•伊藤昭八郎*•酒 向 潔**

Water Cooled and Gas Cooled Hermetic Motor for Turbo-Refrigerators

Nagasaki Works Nagoya Works Yūko SHINRYŌ • Shōh achirō ITŌ Kiyoshi SAKŌ

Increasing demands for air conditioning equipment not only in office buildings but also factories have come to call for special three phase induction motors to drive turbo refrigerators which are mostly installed in small-spaced, underground rooms. Prevention of noise is another requisites to the machines for the purpose. This has brought forth a trend of building the motors into an enclosed type. This article gives descriptions on water cooled and gas cooled hermetic motors for use with turbo refrigerators, going into details of their special construction, cooling system, lubrication, insulating method and electrical characteristics.

1. まえがき

わが国における ビル 建築は、最近とみに活発化し、しかもその設備についても、より高級で エアコンディショニング を完備することが必要条件になってきつつある関係上、冷房用、あるいは暖房用のターボ 冷凍機およびそれを駆動するための特殊な三相誘導電動機の需要が急激に増大してきている.

開放形で サイレンサ を取り付けているものおよび全閉形で クーラ 内蔵の内冷形のもの、両者とも普通一般の三相誘導電動機とは異なり、その外観、構造、特性が特殊であるが、今回はさらに特異な構造の全閉水冷形および ガス 冷形で冷凍機の冷媒が電動機の内部に入り、電動機自体が、一つの密封圧力容器になっているいわゆる ハーメティックタイラ について焦点をしぼり、その概要について述べる.

最近、従来の開放形に代わって ハーメティックタイプ が採用される 傾向の著しい理由としては、前に述べた低騒音であるとともに冷 凍機 ユニット が小形 コンパクト にまとめられること、冷媒の漏れの ないこと、安価に製作できることなどがあげられる.

ハーメティックタイプの ターボ 冷凍機用電動機の容量は、駆動される 冷凍機の経済的製作範囲により定まり、現在は約 200 冷凍 t 以下のものが相当広く実用されている。電圧は 200 V 級、400 V 級 および 6,000 V 級はわりあい少なく、現状は 3,000 V 級に集中している。しかし、ハーメティックタイプの利点はさらに拡大されるすう勢にあり、それに伴って電動機の出力も現在の値よりさらにアップされることも容易に予想され、加うるに将来考えられる配電電圧

の昇圧化も進むとすれば, 6,000 V 級のものもふえ てくる傾向が うかがわれる.

電動機全体を密封の圧力容器とするのが容易なことと、容量の関係および巻線形電動機の使用が困難なため、現状では回転子の形式としては、もっぱら カゴ 形が採用されている。そのため カゴ 形電動機の起動方式が問題になってくる。現状としては、直入起動も行なわれているが、設置場所の電源容量がその突入電流に対して不足していたり、他の電気設備に対する影響を少なくしたいという要求が強い場合、起動補償器による方法か、Y一△ 起動器による方法がその場合場合に応じて、適宜採用されている。さらにまた、電動機の冷却方式も冷媒 サイクル 全体として考慮する必要が生じてくる。なお冷凍機の機能のうえから2極の高速電動機がほとんど大勢を占めている。

2. 水冷却式ハーメチック電動機

2.1 構造および特長

密閉形水冷却式 ターボ 冷凍機用電動機は,圧縮機と増速機を,フレキシブルシャフトを介して結合し,電動機自体が圧縮機部分と一体となって密封容器を形成するような構造になっている。また,この ターボ 冷凍機は,冷凍機全体の据え付面積を極力小さくなるように設計してあり,従来二つに分かれていた コンデンサと クーラ を一つの ケーシング に納めた一体形の コンデンサクーラ にし, その上に電動機をのせ,非常に コンパクト な構造をねらったものであり,その

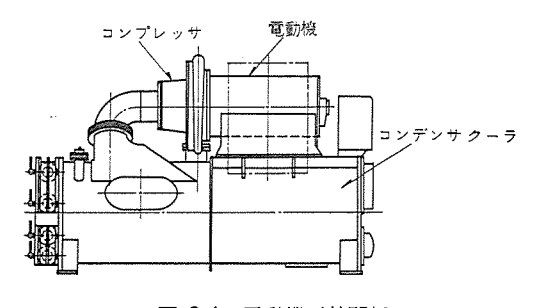


図 2.1 電動機取付関係 Fig. 2.1 A motor coupled to a compressor.

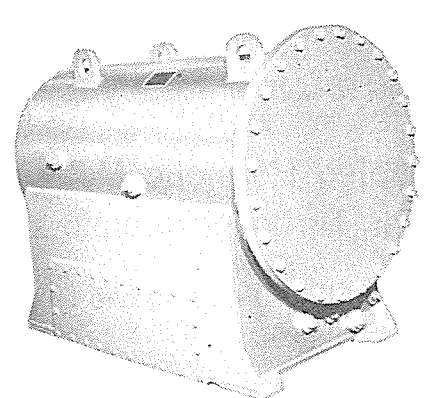


図 2.2 電動機外観 Fig. 2.2 Exterior view of motor.

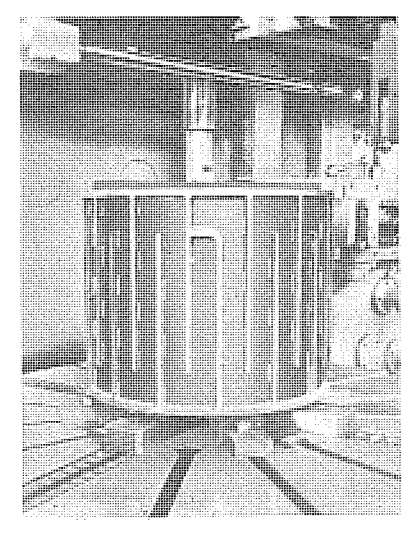


図 2.4 冷却水路 Fig. 2.4 Cooling water passage.



この電動機が駆動する相手側冷凍機は、新三菱重工業株式会社が製作している MTRH 形の密閉形 9-ボ 冷凍機である。その冷凍トッの範囲は、現状では 40 冷凍トッより 100 冷凍トッの範囲で、冷媒には R-113 ($C_2Cl_3F_3$) を使っている。

冷媒 R-113 は、冷却効果が大きく、ガスの比重が大きい上に、能力あたりの デイスプレースメント が大きいので、小容量のものに最適であり、各種冷媒 がス中絶縁耐力が最も高く、他の フッソ 系冷媒と同じく化学的に安定しており、無害、無臭、不燃性で列火爆発のおそれがなく、密閉形に適している.

電動機の外観写真は、図2.2のごときものであり、その外形寸 法図は、図2.3のとおりである。機能上非常に特異な構造になっ ているので、その特異点について説明する。

2.1.1 騒 音

フレーム などの主要な構造部分は、すべて鋼板製で堅固、軽量化をはかると同時に、電動機より発生する騒音を極力低くするよう構造部分の肉厚を検討し、内気循環路に風による共振、共鳴現象が起きないような構造にし、さらに磁気音などの電気的騒音が起きないようなミリ数の組み合わせに留意するなど、十分な考慮をはらっている。実際の製品の騒音レベルは、65 ホンより 70 ホンまでの間に納めている。

2.1.2 冷 却

電動機の冷却には、強制水冷方式を採用している。すなわち 図 2.4 に示すように、固定子鉄心外径全長に当る部分の外 ワク と内 ワク の間を、全円周にわたって製作上容易な構造の ジグザ

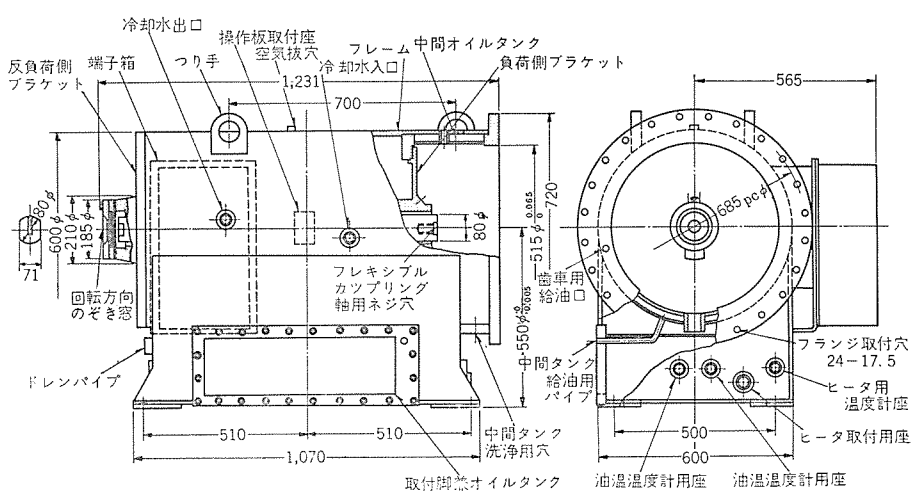


図 2.3 電動機外形寸法図(密閉形 ターボ 冷凍機用水冷式電動機外形寸法図) Fig. 2.3 Outline dimensions of water cooled motor.

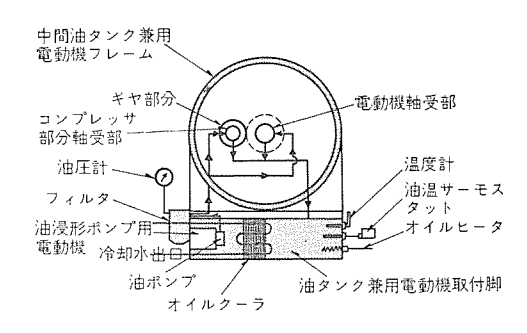


図 2.5 潤滑系統 · Fig. 2.5 Lubricating system.

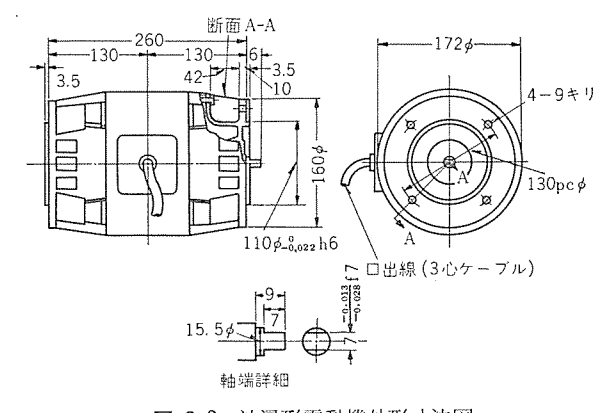


図 2.6 油浸形電動機外形寸法図 Fig. 2.6 Outline dimensions of oil immersed motor.

グの冷却水の通る水路を設け、電動機のコイル、鉄心により発生する熱を冷却水により効果的に持ち運ぶように設計している. さらに電動機の取付脚共用の オイルタンク の一部を内気循環路にし、電動機内の空気を、内部 ファン により循環させ内部温度の均一化をはかっているが、その循環路に冷却 フィン を設けて一層効果を上げるよう考慮してある.

冷却水は、その設置される場所場所の事情に応じて、地下水、河水、水道、2-リック3ワー 水などが用いられるが、電動機を冷却水の最高温度 32°C において、十分余裕のある温度上昇に押えて設計してあるので、いかなる場合でも、問題なく使用できその役目を果してくれる。

2.1.3 潤 滑

電動機の軸受部分および冷凍機のおのおのの潤滑部に必要である潤滑 オイル を貯蔵するための オイルタンク を, 電動機の取付

脚および電動機の フレーム の一部分に取り付けるよう設計している。その潤滑系統は図2.5のようであり、給油および排油を行なうための配管はすべて電動機の内部に納められている。

電動機の取付脚を共用した オイルタンク の内部に、電動機の軸受および冷凍機の潤滑系統に強制給油を行なうため、図 2.6 のような耐油、耐冷媒の特殊構造の油浸形の フランジタイラ の特殊電動機を納め、オイルポンラ を駆動する. この油浸形電動機は、粘性抵抗の大きな冷凍機油中で運転される関係から、流体抵抗が極力小さくなるよう、回転子の エアホール をなくし、ダイカストのエンドリング 部分の突起物を除去、なめらかにするなどの考慮をはらっており、またコイルには、特殊仕様の電線を使い、絶縁には耐油、耐冷媒の絶縁を採用し、構造部分には特殊な ワニス による防 サビ 処理を加えている.

2.1.4 密閉構造

内部については、この状態で冷媒 ガス を封入し、ガス 漏れ試験器により、その漏れの有無を細部にわたって チェック する. その他に真空試験として、電動

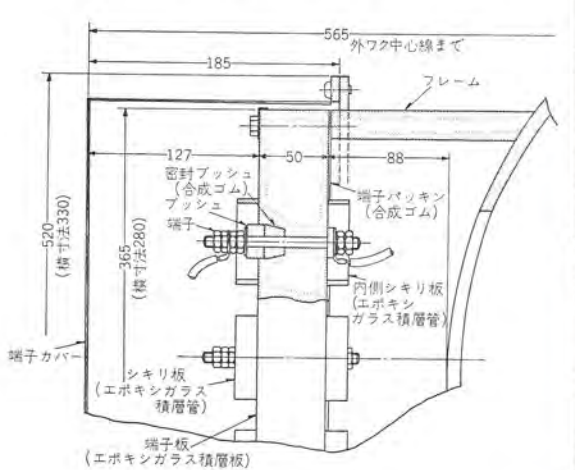


図 2.7 密封端子部分構造 Fig. 2.7 Sealed terminal construction.

機内部および水路を真空 750 mmHg まで下げ、12 時間以上放置したのち、圧力低下が 2 mm 以下であることを確認する.

このような厳密な チェック を行なうことにより、冷凍機の機能低下の原因になる ガス 漏れおよび水漏れを完全に防ぐことができる.

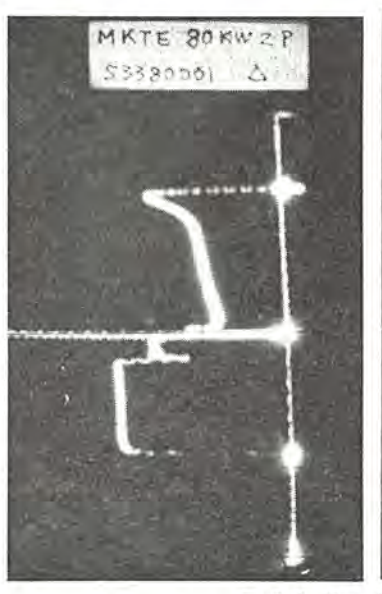
とくに電動機の口出線端子部分は、密封圧力容器である電動 機内部と外部との貫通部分となるために、その密封構造につい ては、図 2.7 のような特殊な構造を採用している.

2.1.5 振動

電動機は 3,000~3,600 rpm の高速機であり、負荷となる ターポプロワ を フレキジプルシャフト および ギヤ を介して、さらに高速な 状態まで加速している。したがって、機械の機能に悪影響を与える振動をできるだけ小さくするために、回転子は入念な バランス をとり、また軸、フランジ 面、フランジハメ 合面、フレーム、ブラケット の ハメ 合面、捉え付面などをきわめて厳密な精度に仕上げるとともに、構造全体もじょうぶに設計し、高速機械に発生する種々の問題が起こらないよう十分な検討を加えている。実際の振動としては、軸受で 8 ミクロン 以下、その他で 14 ミクロン 以下に納まっている。

2.1.6 絶 緣

電動機は、冷凍機側と共通な ケーシング に納められる構造になっているので電動機の コイル および絶縁などは冷媒の R-113 と 潤滑 オイル の温合気体に絶えず浸漬されることになる. したが



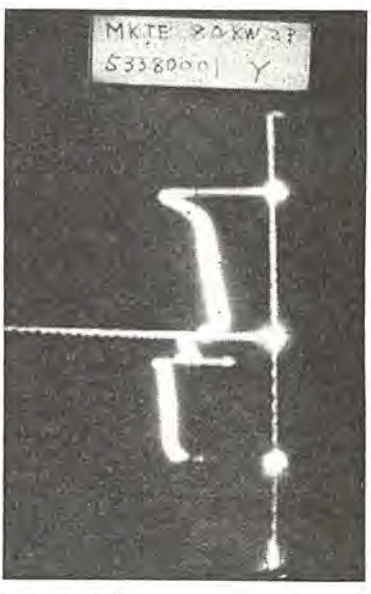


図 2.8 Speed-torque 直視 Fig. 2.8 Visual image of speed torque characteristic.

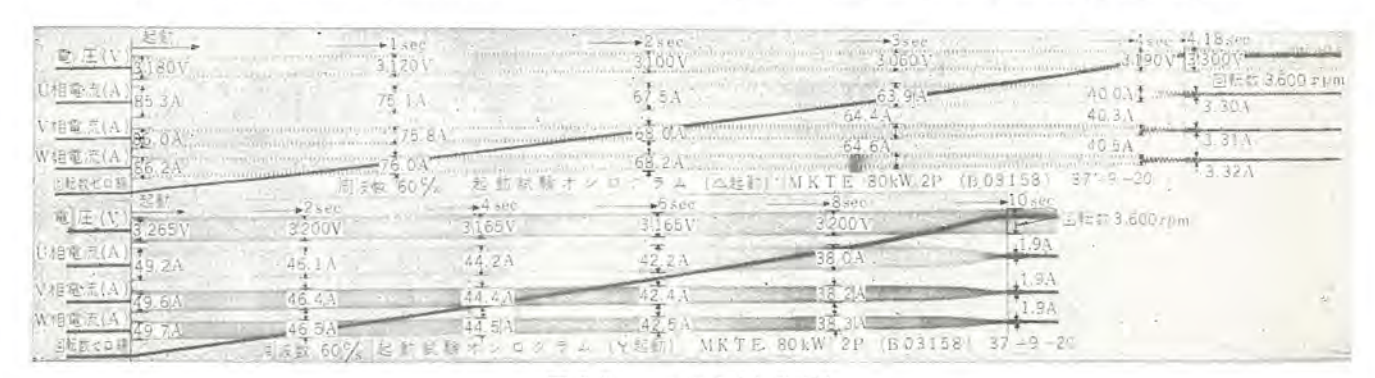


図 2.9 オシロ による起動特性 Fig. 2.9 Oscillogram of starting torque.

表 2.1 80 kW 電動機の特性

| 全 | 負荷を | ř ŁĿ, | 起動特 | 性 | | | |
|---------------------------------------|-------|---------|--------|-------|-------|---------|--|
| 電圧・周波 | 3,000 | J 50c/s | 3,300V | 60c/s | 3,300 | V 50c/s | |
| 全負荷電流 (A) | 11 | 3.0 | 16.3 | | 10 | 5.6 | |
| 効 率 (%) | 9: | 2,6 | 92.3 | | 9: | 2.9 | |
| 力 率 (%) | 9: | 2.5 | 93.0 | | 90 | 0.8 | |
| すべり (%) | | 1.68 | 1.5 | 9 | ļ | 1.40 | |
| 最大出力 (%) | 23 | 3 | 240 | | 28 | l | |
| 停動トルク (%) | 25 |) | 257 | | 30: | 2 | |
| 起動トルク (%) | 15 | 3 | 156 | | 186 | 5 | |
| 起動電流 (A) | 9 | 3.4 | 87.4 | | 10: | 2.8 | |
| 起動電流 (%) | 52 |) | 536 | | 61 | 9 | |
| 温度特性 (冷却木 50 l/min, 冷却木の最高温度 32°C まで) | | | | | | | |
| 電圧・周波 | | V 50c/s | 3,300V | 60c/s | 備 | 考 | |
| 固定子コイル温度上昇(| °C) 6 | 0 | 59 | | 許容コイ | ル温度上昇 | |

表 2.2

| 形式 | ワク番 | 容量 | 極数 | 製作台数 | 冷却方式 | 冷媒種類 |
|------|----------|-----|----|------|------|------|
| MKTE | 600 HS | 110 | 2 | 2 | 水冷却 | R113 |
| " | " | 100 | " | 3 | // | 11 |
| " | " | 90 | " | 13 | " | " |
| " | " | 80 | " | 11 | " | 11 |
| " | " | 75 | " | 1 | " | " |
| " | " | 70 | " | 15 | " | " |
| " | " | 60 | " | 12 | 17 | 11 |
| " | " | 50 | " | 6 | 11 | " |
| HW | 2,800 HS | 60 | 2 | 1 | 水冷却 | R113 |
| HG | 3,600 HS | 130 | 2 | 1 | 冷媒冷却 | RII |

MKTE 600 HS 63 台, HW 2,800 HS 1台, HG 3,600 HS 1台, 計 65 台 昭和 37 年 1 月~38 年 1 月までの製作実績

って、絶縁材料は厳密な実験的うらづけのもとに採用を決定しており、電動機の コイル 自身はもちろんのこと、口出線、パッキン 材、構造部分に使用する樹脂材の選定にも細心の注意をはらっている。

2.2 特性

2.2.1 トルク特性

ターボ 冷凍機用電動機は、電源事情が許せばもちろん ジカ入 レ起動されるが、電源の容量が十分でない場合や、突入電流による他の電気設備への影響を極力きらう場合には、起動補償器によるかあるいは 丫一△ 起動が採用される。現状としては、比較的簡易な 丫一△ 起動による方法が一番多く採用されている.

これらの電動機は、特殊 n3 形の採用により起動 h1 ν 2 が比較的大きいかわりに、起動電流を制限するように設計されており、その代表例として 80 kW、3,300 V、60 c/s の h1 ν 2 特性のものを示す。図 2.8 はその h2 ν 1 特性を、Yの場合およびh20場合について直視装置を使って写真撮影したものであり、図 2.9 はその加速状況を、同様にYの場合h2 ν 3 から明らかなように h2 ν 4 撮影したものである。これらの h2 ν 5 から明らかなように h2 ν 6 などの h1 ν 7 の谷間のない非常に理想的な特性のものが得られている。

このほかの $50\,\mathrm{kW}$ から $110\,\mathrm{kW}$ の範囲の各電動機についても同様な傾向の特性が得られるよう設計を施こしてある.

2.2.2 運転および温度方式特性

 $50 \,\mathrm{kW}$ より、 $110 \,\mathrm{kW}$ まで多量に製作しており、その代表例 として $80 \,\mathrm{kW}$ 2P $3{,}000/3{,}300 \,\mathrm{V}$ の運転および温度特性を表 2.1 にまとめてある.

2.3 仕様および製作実績

2.3.1 仕 様

電動機の容量は $50\,\mathrm{kW}$ から $110\,\mathrm{kW}$ まで あり、電圧 $3,000/3,300\,\mathrm{V}$,周波数は $50/60\,\mathrm{c/s}$ が標準である。現在の形式は

MKTE および HW 形, ワク 番号は 600 HS および 2,800 HS である・

絶縁は $50\,\mathrm{kW}$ から $80\,\mathrm{kW}$ までを A 種絶縁, $90\,\mathrm{kW}$ から $110\,\mathrm{kW}$ までを B 種絶縁としている・

2.3.2 製作実績

37年1月から8年1月までの製作実績は表 2.2 のとおりである. なお、HW 2,800 HS の 60 kW はひとまわり小形化をはかった試作品で実績はまだ1台のみであるが、今後は多数製作されるものと期待される.

3. ガス冷却式ハーメチック電動機

3.1 構造と冷却方式

図 3.1 はチリッグユニットの外観を示し、図 3.2 はその中に納められている圧縮機 ユニットの外観を示す。この圧縮機 ユニットの断面は図 3.3 に示すとおりで、電動機と圧縮機とは増速 ギヤを介して直結され完全な一体構造にまとめられている。図 3.3に見るように コッデッサ で凝縮された冷媒液の一部が電動機上部の 3 個の ノ ズル から注入され、冷媒液の蒸発潜熱により鉄心部および コイルエッド 部を冷却し、ガスとなって チラーにもどる直接冷却方式が採用されている。このため冷却能力はきわめて大きく、電動機は非常に小形化することができる。

このような直接冷却方式の場合,電動機内の発熱量が冷凍 サイクル 内に残るため、しばしば系全体の効率が低下するのではないかということが問題として取り上げられるが、たとえば別系統の水を用いて冷却する場合には電動機内部のガスを循環させるためのファンが必要となり、冷媒ガスは一般に空気よりも相当に重い

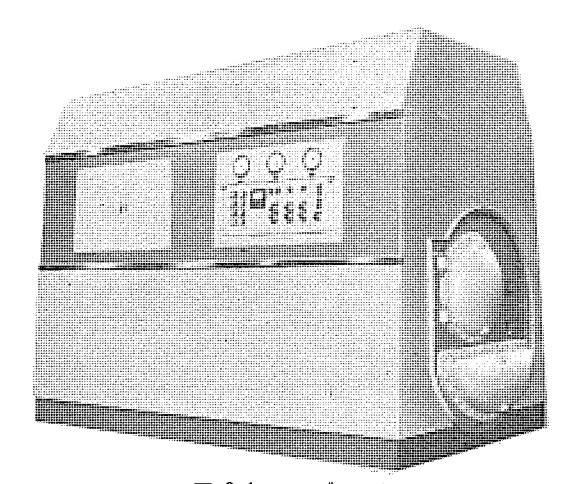


図 3.1 チリングユニット Fig. 3.1 Chilling unit.

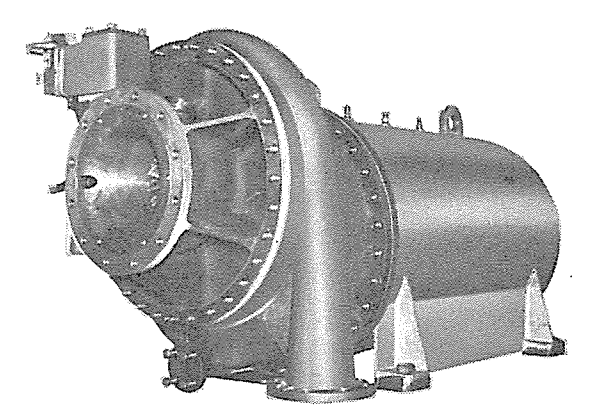


図 3.2 ターボ 圧縮機 Fig. 3.2 Turbo-compressor.

三菱電機技報・Vol. 37・No. 5・1963

ため、その ファン の損失は割合に大きく、したがって効率は両者 ほとんど差がないのが通常である.

電動機の取付足部の 2^{4} - 2^{4} は 1^{4} - 1^{4} - 2^{4} として使用され,その中には 1^{4} -

鉄心は ワニス 焼付による層間絶縁はいっさい行なわず, また打抜きの際に必要な ノッチングオイル としては少量の冷凍機油を用いるなどして,冷媒内に不純物が溶解することを極力防止している.

3.2 絶 縁

密閉形 ターボ 冷凍機用電動機の最大の問題点は絶縁である. 冷

表 3.1 フッソ 系冷媒の電気的性質

| ă | . 号 | , | R-11 | R-12 | R-22 | R-113 | R-114 |
|-------------------------|-----------------|------------|-----------------|---------------------------------|---------------|--|--|
| 分 | 子 | 式 | CCl₃F | CCl ₂ F ₂ | CHClF2 | CCl ₂ F- CClF ₂ | CCl ₂ F ₂ - CCl ₂ F ₂ |
| 沸点 | (latm) | °C | 23.7 | -29.8 | -40.8 | 47.6 | 3.3 |
| 踌 | 電 | 率 | 2.5 | 2.1 | 6.6 | 2.6 | 2.2 |
| 破壞% 60 c/s | | | 10.8 | 14.6 16.75 | 11.8 18.1 | 12.6 17.3 | 19.7 11.6 |
| 絶 約 ×10 ⁵ | 抵抗 MΩ-cm | (液) (気) | 63.6 74.5 | 50.2 71.8 | 83.2 20.6 | 45.5 94.2 | 66.4 148.5 |
| | 媒に対する g/100g | 30°C | 0.013 0.0036 | 0.012 0.0026 | 0.15 0.060 | 0.013 0.0036 | 0.011 0.0026 |
| 피] | 燃 | 性 | なし | なし | なし | なし | なし |

表 3.2 冷媒の予期しない不純物の効果

| 冷 | 媒 | F-12 | F-22 |
|---------|------------|-------|-------|
| 汚れのないもの | MΩ at 25°C | 3,000 | 7,500 |
| 微量の不純物 | MΩ at 25°C | 40 | 40 |

表 3.3 抵抗に及ぼす塩化水素の効果

| 冷 | 媒 | HCl | 重量 % | 抵抗 MΩ at 25°C |
|-----|----|-----|------|--------------------|
| F- | 12 | | 0 | 16×10 ⁸ |
| | | | 0.1 | 4×10 ⁶ |
| F-: | 22 | | 0 | 16 |
| | | | 0.1 | 4 |

表 3.4 冷媒・油の混合液の破壊電圧

| 混合割合 (容積比) | 冷 | 媒の種 | 類 |
|------------|-----------|--------------|-----------|
| 冷媒 : 油 | R-11 | R-113 | R-114 |
| 100 : 0 | 41.7 (kV) | 29.8(kV) | 47.1 (kV) |
| 50 : 50 | 24.3 | 28.2 | 41.1 |
| 0 : 100 | 30.9 | 30.9 | 30.9 |
| 伽 考 | 室温 18° | C, 2.5 mm の類 | 就問ゲキ |

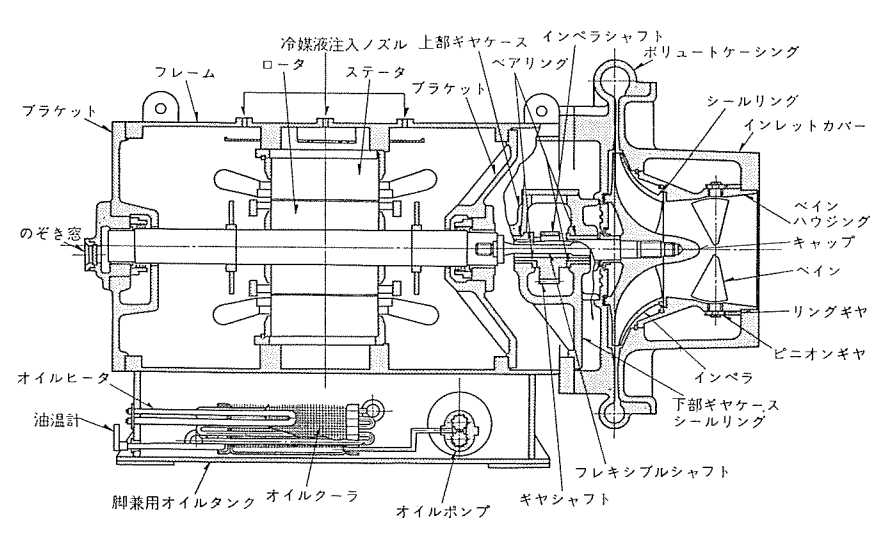


図 3.3 密閉形 9-ボ 圧縮機断面図 Fig. 3.3 Cross section of hermetic turbo compressor.

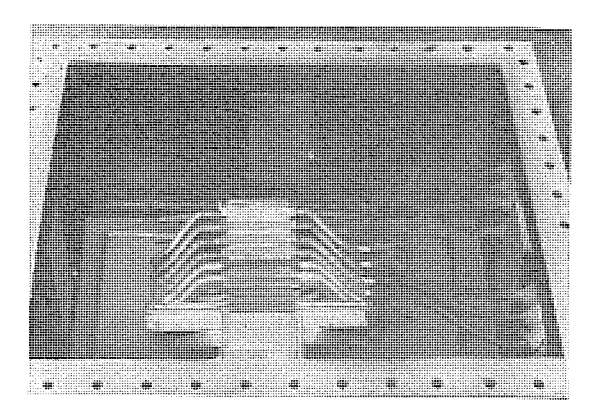


図 3.4 モデルテスト 装置 Fig. 3.4 Model test arrangements.

媒としては、R-11, R-113 および R-114 などがよく用いられるが、これら冷媒の一般的性質として溶解性が非常に強く各種絶縁物に悪影響を及ぼすことが知られている。しかも最近の傾向として電動機電圧に 6,000 V 級が採用される機会がふえてきており、このようなかこくな条件下においても高い信頼度を維持しうる絶縁方式が要求される.

われわれは長期にわたる試作研究の結果現在標準として採用している絶縁方式を確立し、既に多数の電動機に適用して全く事故なく稼働し、その性能は高く評価されている。そこでその研究の一端をここに紹介し、標準絶縁方式の概要について述べる。

3.2.1 冷媒の性質

冷媒の絶縁物に及ぼす影響を考慮するため、絶縁的な面を主体とした冷媒の特性を表3.1 に示す。表に見るように冷媒自体は、かなりすぐれた絶縁性をもっているが、液、ガス いずれの状態においても、きわめて強い溶解性と浸透性をもつため、絶物縁に対して軟化膨潤、発泡、崩壊などの影響を与える。また前記のように純粋な冷媒はすぐれた絶縁性をもっているが、微量の不純物が溶出すると急激に絶縁抵抗が低下することが知られている。一例として表3.2 および表3.3 に Eiseman 氏の結果を示す。冷媒は、それぞれの分子にHを持つものと、持たないものとの代表として R-12 と R-22 が選ばれている。また冷媒と冷凍機油を混合して イオン 化するとすれば、塩化水素が容易に発生するため、塩化水素の添加の効果を表3.3 に示した。

このような絶縁抵抗低下の傾向は、R-11 に おいても見られるが、R-113 および R-114 はこの傾向が少ない.

表 3.4 は冷媒と冷凍機油との混合状態にお ンレットカバー ける 2.5 mm の球間げきを使用して測定され た破壊電圧を示す。 表に見るように油の影響 、 ベィン は R-11 に対してもっとも大きい.

3.2.2 試作研究

上記のような冷媒の諸性質に対し、満足に使用しうる絶縁方式を確立するために図 3.4 に示すような、モデルコアに実物と同じコイルをそう入し、密閉容器内で冷媒に浸漬し端子から電圧が印加しうるような装置を製作した。これにより各種材料の機能と様相とを調査し、電圧も規定の2倍以上を印加して加速試験を行ない、コロナの発生状況とそれによる材料の変化の状況なども調査した.

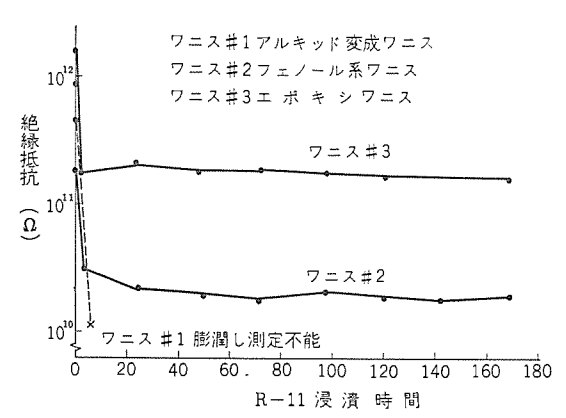


図 3.5 冷媒 R-11 浸漬による ワニス の絶縁抵抗の変化 Fig. 3.5 Changes of insulation resistance of varnish due to immersion in refrigerant R-11.

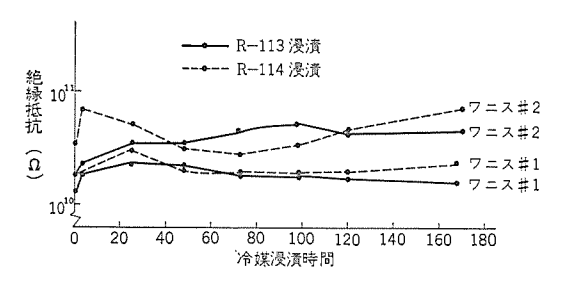


図 3.6 冷媒 R-113 および R-114 浸漬による ワニス の絶縁抵抗の変化

Fig. 3.6 Changes of insulation resistance of varnish due to immersion in refrigerant R-113 & R-114.

表 3.5 冷媒浸漬による機械的強度の変化

| 条件 | 浸漬前 | 浸漬後 | (7日間) | 平均值 | IN. | 観 | +> | ×. |
|--------------|---------|------|-------|-------|---------|------|-----|-------|
| - 種類 | | R-11 | R-113 | R-114 | 215 | 1652 | ひと | T.C. |
| ワニスクロス(kg/mm | | | | | | | | |
| ワニスガラスクロス | / 10.58 | | | | | | | |
| マイカテープ(A) | 5.75 | | 4.29 | 4.69 | R-11には多 | とさす | ιä, | 他異常なし |

表 3.6 冷媒における抽出量 % (7 日浸漬後)

| | R-11 | R-113 | R-114 | 外 観 |
|------------|------|-------|-------|-------------------|
| ワニスクロス | 6.87 | 3.70 | 1.50 | 変化なし |
| ワニスガラスクロス | 4.21 | 1.41 | 0.54 | 変化なし |
| マイカテープ (A) | 6.09 | 4.10 | 0.65 | R-11には侵される, 他異常なし |
| エポキシマイカテープ | 0.11 | 0.02 | 0.02 | 変化なし |
| ワ = ス #1 | 8.92 | 2,96 | 0.39 | R-11に 侵される,他異常なし |
| ワニス#2 | 0.15 | 0.04 | 0 | 変化なし |
| ワニス#3 | 0.32 | 0.01 | 0,01 | 変化なし |

これらの試験は冷媒のみでなく冷凍機油との混合物について も行ない, さらに冷媒の液状, ガス状, いずれの場合について も実施した.

3.2.3 標準絶縁方式

上記のような基礎的な実験から耐冷媒 ワニス として好適なものを開発し、各冷媒に対して満足な性能を持った材料を選定し

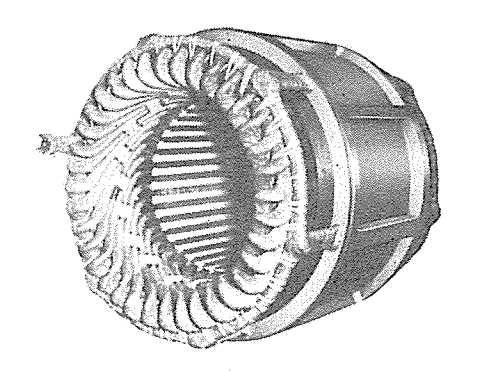


図 3.7 ターボ 冷凍機 R-11 用電動機 コイル 巻線完成後の状況 Fig. 3.7 Completely wound motor stater for turbo-refrigerator.

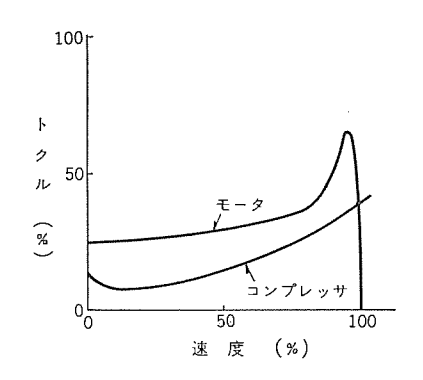


図 3.8 電動機および コンプレッサ の起動時 トルク Fig. 3.8 Starting torque of motor and compressor.

て標準絶縁方式を開発し、さらに前記の モデルテスト によりその 性能を確認して、つぎに示すような方式を確立した.

すなわち、R-11 に対しては、素線に エポキシガラス 二重巻線を使用し、絶縁には、エポキシガラスマイカラッパ、または テーヴ を用い、ワニス には、エポキシワニス を採用し、構造用材料として必要な個所には、メラミンガラス 積層板を用いている.

また、R-113 および R-114 に対しては、 $_{Pll+y}$ $_{Pll+y}$

また口出線には テフロン 絶縁電線を用いており、電動機全体として耐冷媒性、耐油性はもとより、耐熱性も十分備えている。これにより 6kV 級以下の耐冷媒絶縁方式が確立され、いつでも受注に応ずる態勢が整っている.

図 3.7 は R-11 用に使用される電動機の コイル 巻線状態を示すものである.

3.3 起動特性

前述のように電動機はカゴ形を採用するため、とくに大容量機または電源容量の小さいところで使用する場合には、起動が問題となる。密閉形 ターポ 冷凍機に使用される電動機は、2 極の電動機であり、そのトルク 特性は一般に起動後最大トルク 点の寸前までほとんど フラット な形状を示す。図3.8 は電動機の発生トルクとコンプレッサ の要求するトルク の代表例を示す。このため起動トルクが重要なことはもちろんであるが、最大トルク 点寸前での加速トルク を大きくすることも忘れてはならない。

また起動電流を制限する方法としては,起動力率を低下させず, しかも電動機の端子電圧が自由に調整しうる起動補償器方式が理 想的である.したがって問題になるのは電動機の起動 トルク 対起 動電流、すなわち起動力率特性である。

起動力率は起動時の回転子抵抗と短絡 リアクタンス によって支配される. すなわち

$$\cos \varphi_L \cong \frac{r_r}{\sqrt{r_r^2 + x_L^2}} = \frac{1}{\sqrt{1 + \left(\frac{x_L}{r_1}\right)^2}} \cong \frac{T_L}{\sqrt{3 E I_L}} \cdots (3.1)$$

ただし cos p_L: 起動力率

 r_{τ} : 拘束時の回転抵抗

xL: 拘束時の短絡 リアクタンス

 T_L : 拘束 トルク

E: 端子電圧

IL: 拘束電流

したがって、 $\cos \varphi_L$ を大きくするには (x_L/r_τ) をできるだけ 小さくしなければならない.

また最大 トルク 点寸前の トルク は、最大 トルク 点のすべりを大きくすることによって増大することができる。このすべりは

$$ST_{\text{max}} \simeq \frac{r_r'}{r}$$
(3.2)

ただし r_r' : 運転時の回転子抵抗

x: 運転時の短絡 リアクタンス

で与えられるから式(3.1)と式(3.2)とを観察すれば、つぎの

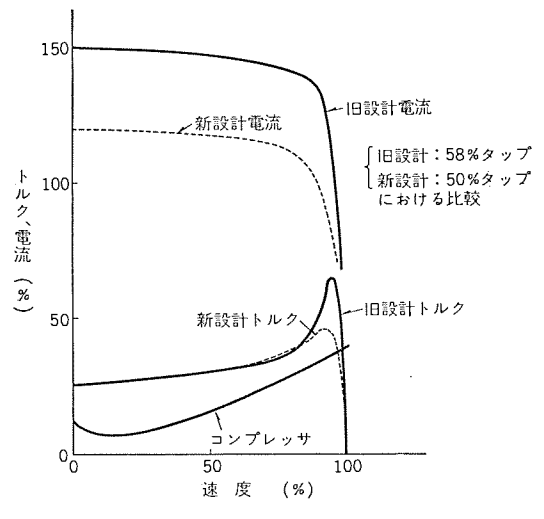


図 3.9 起電特性の改善性 Fig. 3.9 Example of improved starting characteristic.

- ような結論が得られる. すなわち、起動特性を改善するには、
 - (1) 起動時 運転時とも回転子抵抗をなるべく大きくする.
 - (2) 起動時 運転時とも短絡 リアクタンス をなるべく小さくする.

幸いにして、ガス 冷却式密閉形電動機は前記のようにきわめて 大きな冷却能力をもっているため、運転時の回転子抵抗は他の特 性が許す限り相当大きな値にすることができる。そして与えられ た抵抗値に対し表皮効果の大きいミグ形状を選んだ起動時の抵抗 を増大させることが望ましい。

つぎに抵抗が決定すれば、短絡 リアクタンス を小さくすることが 望ましい.このことは全電圧起動時の起動電流を小さくすること とは相反した条件となり、一般に誤解され易いが、起動補償器を 用いる場合には忘れてはならない点である.

このような観点からわれわれは、特殊な クサビ 形 ミグの形状を決定し好成績を収めることができた。図 3.9 は、その一例を示すがほぼ同程度の加速 トルク に対し、起動電流が相当に減少することが認められる。前記の 100 RT 以下の標準品に対しては、電源電圧の変動なども考慮の上 55% タップにおいて、起動電流は定格値の 170 % 以下を保証することができる。またその場合電動機は、15 秒以内で加速しうる・

4. む す び

以上密閉形水冷却式および ガス 冷却式 ターボ 冷凍機用電動機の 概要について述べたが、これらの形の ターボ 冷凍機は今後、さら に飛躍的な需要の増大が予測されるので、今までの製作上の経験 をふみだしにして、特性上さらに コスト の面から一段とすぐれた 製品を作り出すため努力するつもりである。名古屋製作所の水冷却方式のものと、長崎製作所の ガス 冷却方式のものとは構造上大きな差異があるので項を分けて、その特異な構造、冷却方式、潤滑、絶縁方式電動特性について解説した。現在は約 200 冷凍 t 以上の冷凍機にはほとんど ハーメチック 形は製作されておらず、したがって電動機としては巻線形の サイレンサ 付き開放形のもの、あるいは クーラ 付きの全閉内冷形のものが使用されているが、将来、これらの範囲まで拡大される傾向がうかがえるので、逐次大容量のものについても検討続行中であり、さらに研究改善を進めるつもりである。

| 年 月 日 | 主催または開催場所 | 演 題 | 講 演 者 | 所属場所 |
|-------------|-------------------|--------------------------------|-------|------|
| 37-11-17~19 | 電気通信学会全国大会 | 水晶制御 FM 発振器の温度補償 | 小林信三 | 無線機 |
| 37-11-17~19 | 電気通信学会全国大会 | FM 負帰還復調器の最適 つイルタ | 小林信三 | 無線機 |
| 37-11-17~19 | 電気通信学会全国大会 | 同軸形電力分配器 | 川上 昭 | 無線機 |
| 37-11-17~19 | 電気通信学会全国大会 | ASDE (空港地表面探知装置) の改良形の試験結果について | 中司浩生 | 無線機 |
| 37-11-17~19 | 電気通信学会全国大会 | 5GC 位相調整器による連続位相制御 | 近藤輝夫 | 無線機 |
| 37-11-17~19 | 電気通信学会全国大会 | 5GC 位相調整器による自動最適値制御 | 近藤輝夫 | 無線機 |
| 37-11-17~19 | 電気通信学会全国大会 | 単一 チャネル の自動誤字訂正装置 | 竹内康太郎 | 無線機 |
| 37-11-17~19 | 電気通信学会全国大会 | 給合器を用いた導波管切換の一方式 | 尾形陸奥男 | 無線機 |
| 37-11-17~19 | 電気通信学会全国大会 | 列車無線 トンネル 伝播中継器 | 笹田雅昭 | 無線機 |
| 37-11-28 | 品質管理 ゼミナ (応用 コース) | 各種抜取検査 | 市田嵩 | 無線機 |
| 37-12- 3∼ 4 | 東京電力 | 避雷器に関する技術説明 | 永井信夫 | 伊 丹 |
| 37-12- 6 | 規格協会関西支部 | 標準化と品質管理 ぜきナ " 社内規格 " | 小鳥井 繁 | 本 社 |

力 平 衡 形 変 換 器

吉 山 裕 二* · 江 沢 孝 吉*

Force Balance Type Transducer

Research Laboratory

Yūji YOSHIYAMA · Takayoshi EZAWA

Based on the principle of an automatic feedback control system and provided with a very sturdy feedback element of an electromagnet, a force balance type transducer—the most popular detector in the process measurement—can be possessed of high stability and high accuracy. A transducer described herein is one developed by Mitsubishi with a compact and strong permanent magnet of its own product being employed, inductance of stability and high sensitivity for a position detector of a moving part and silicon semi-conductors for the elements of electronic circuits, thus a very compact and high performance unit being made available. All the essential particulars of the transducer are elucidated together and lastly a pressure transducer combined with a Bourdon tube and springs is exemplified.

1. まえがき

プロセス工業の自動制御が近年ますます進展し、計算機制御などの高度かつ複雑な制御方式も研究実用化が進められてきているが、これらの制御機能を遂行させるためには、まず プロセス 諸量を電気的 プロセス 信号に変換する高性能の検出変換器が必要である.

圧力,流量,液位などの プロセス 諸量を電気的統一信号に変換するために,現在もっとも普遍的に用いられている変換器は力平衡形変換器となっている.この変換器の基本原理は米国 Manning Maxwell & Moore 社で開発されたものであるが,わが国でも各電機および計測器 メーカ ともプロセス 変換器としてこの原理のものを採用しているところが多い現状である.

この変換器は変換器自体に自動平衡原理を導入し、堅ろうな電 磁形復元要素を使用することによって、きわめて安定、小形、高 精度かつ応答速度の速い特長をもたせているが、本文で紹介するものは種々の独特の方法を加えて作成したものである。すなわち 電子回路素子はすべて シリコン 半導体を用い、回路自体を高温まで耐えるようにし、電磁石は小形で強力な三菱磁石材料を使用し、また可動 コイル 位置検出に堅ろうかつ高感度の インダクタンス を用いて、たとえば圧力発信器として ブルドン 管と組み合わせても、従来の市販品では見られない寸法に小形化し、性能としての感度、直線性、応答速度ともきわめてすぐれた値をもつようにした.

本文では変換器の変換原理,電磁復元要素,変換器の構成内容, 各部の特性と総合性能,圧力発信器としての例について述べる.

性と総合性能, 圧力発信器として。 2. 変換原理と変換器制御系

 き内にあるので、可動 コイル に働く力は コイル に流れる電流と空 げき磁束密度の積に比例し、この力と スプリング S に加わる力と平 衡する位置で静止する。 したがって増幅器の出力電流が スプリング S に加わる力、すなわち測定すべき プロセス 量に比例する.

可動部分の伝達関数は力と可動 37μ 電流の比で、比例常数 K_M で示され、帰還部に入り、入力信号としての力と帰還信号としての力の二つの差が可動 37μ 振動系により変位として検出される.

図 2.2 の系統図で出力電流 I_0 と入力信号による力 F_i との関係

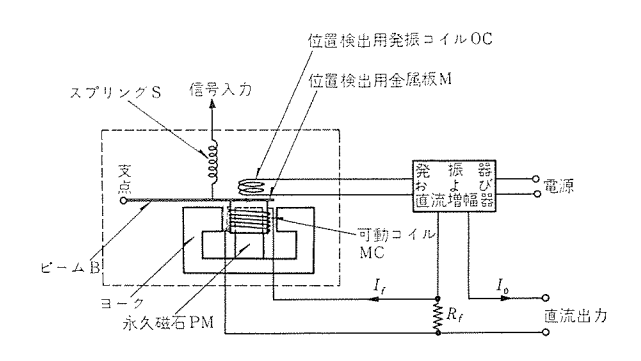


図 2.1 力平衡形変換器原理図 Fig. 2.1 Schematic of force balance type transducer.

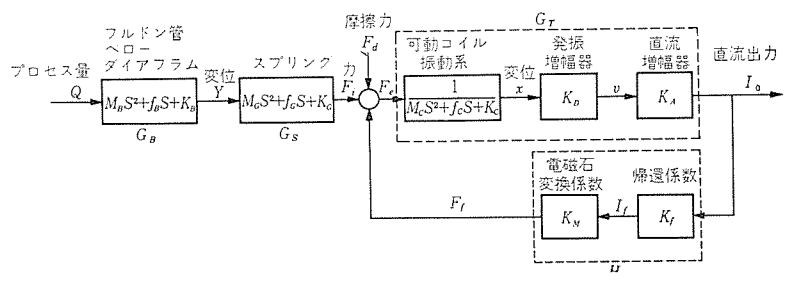


図 2.2 変換器系統図 Fig. 2.2 Block diagram of transducer.

は可動部分の摩擦力 F_d を $rac{r}{c}$ 0 とすると次式で示される.

$$\frac{I_0}{F_i}(S) = \frac{K_D K_A}{M_C S^2 + f_C S + K_C + K_D K_A K_M K_f} \quad \dots (2.1)$$

ただしここで I_0 : 出力電流, F_i : 入力信号による力, K_D : 発振器出力電圧対可動部変位の比, K_A : 直流増幅器の利得, K_f : 帰還部の出入力比, K_M : 可動部の力と帰還電流の比, M_C : 可動部分の重量, f_C : 可動部分の粘性係数, K_C : 可動部分の K_A 常数である。

式 (2.1) より $K_DK_A\gg K_C$ に選択するならば定常状態において

$$\frac{I_0(S)}{F_i} = 1/K_M K_f \cdots (2.2)$$

となり、出力電流と入力信号間の比例性が成立する。また可動部分の負荷摩擦などは2.2の系統図で入力誤差信号に比例する力 F_e に誤差を生ぜしめ、式(2.2) の比例性をそこなわせる。

固有振動数は式(2.2)から次式で示される.

$$f_C = \frac{1}{2\pi} \sqrt{\frac{K_D K_A K_M K_f + K_C}{M_C}} \quad \dots (2.3)$$

以上の諸関係より K_D , K_A , K_M , K_f が大で M_c が小なるほど 感度および応答速度が良好となるが実際には諸常数に制限があり 性能が限定されることになる。このうち感度すなわち検出しうる 入力信号の最低 U^{N_D} は,可動 U^{N_C} 支点の機械的摩擦力 E_d と 可動 U^{N_C} の定格信号に対する力 E_f との比率から決定され,測定すべき測定範囲の下限も感度を指定すると決まることになる.

応答速度は固有振動数と ダッピッグ 係数から制限され、力平衡形変換器単体の固有振動数は式 (2.3) から決まるが、この固有振動数は非常に高くなしうるので、実際上は ブルドッ 管、ベロー などとスプリッグ とから形成される機械的振動系で制限されることになる.

3. 可動コイルの生ずる力と電磁変換部諸常数との関係

可動 コイル の生ずる力は磁石の空げき磁束密度と可動 コイル に流れる電流の積に比例するが、空げき内磁束密度は磁石材料、磁石寸法および空げき寸法から決定され、一方可動 コイル に印加しうる電力は可動 コイル の断面積から決定されるから、測定対象のプロセス 量が スプリッグ で力に変換される範囲を決定すると、その平衡力を生ぜしめる可動 コイル、磁石の寸法が自動的に決まることになる。

この可動 コイル の生ずる力と磁石の諸元間の関係はつぎのようになる.

可動 コイル の生ずる力は次式で示される.

$$F_f = B_g l_c I_f \cdots (3.1)$$

ここで F_f : 可動 コイル の生ずる力 (dyne), B_g : 空げき磁束 密度 (gauss), I_f : 可動 コイル に流れる電流 (ab amp), l_c : 可動 コイル の全長 (cm) である.

また空げきの磁束密度 B_q は次式で与えられる.

$$B_g = H_m L_m / f' L_g \qquad \cdots \qquad (3.2)$$

ここに H_m : 起磁力 (oersted), L_m : 磁石の有効長 (cm), L_g : 空げき長 (cm), f': 磁気抵抗係数 である.

また別の表現式として次式でも与えられる.

$$B_g = B_m A_m / f A_g \qquad \cdots \qquad (3.3)$$

ここで B_m : 磁石内磁束密度 (gauss), A_m : 磁石の有効断面 積 (cm²), A_g : 磁束の有効断面積 (cm²), f: 漏れ係数である. 式 (3.2), (3.3) より次式をうる.

$$B_m/H_m = f A_g L_m/f' L_g A_m \quad \cdots \qquad (3.4)$$

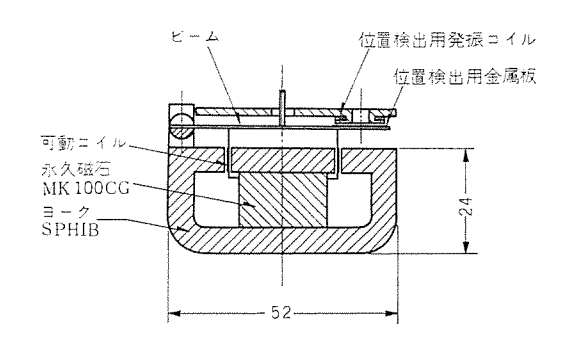


図 3.1 磁石構造 Fig. 3.1 Cross section of electromagnet.

また磁束の有効断面積 A_g , および \Box イル の全長 l_c を各次式のように置換する.

$$A_g = Ch$$
(3.5)

$$l_c = m\eta L_a hC$$
(3, 6)

ここで h: 空げき部分の高さ、C: 空げき部分の平均円周、m: 単位断面積当りの $\Im \Pi$ の巻数、 π : 占積率 である.

式 (3.5), (3.6) および式 (3.4) を (3.1) 積に代入し変形すると 次式をうる。

$$F_f = \sqrt{\frac{\eta}{f f' \rho}} B_m H_m A_m L_m P_W \qquad \cdots (3.7)$$

ここで ρ : 比抵抗, P_{W} : コイル に印加される電力 である.

$$P_W = \eta A_a C \rho \sigma_f^2 \quad \dots \quad (3.8)$$

ここで A_a : 空げき部分の断面積、 σ_f : $\Box I$ の電流密度である. 式 (3.8) の右辺中 $\eta \rho \sigma_f^2$ は常数、 $A_a C$ は空げき部分の体積であるから可動 $\Box I$ に印加しうる電力は空げき部分の体積に比例する

式(3.7),(3.8)の関係から測定すべき力の範囲が決定すると、その力に対応する磁石部分の寸法が決定されることになる。

図 3.1 はこの変換器の磁石部分の断面を示す。磁石材料は三菱 MK-100GC である。磁石の π 本ルギ 乗積曲線と磁石寸法とより式 (3.2), (3.3) を用いて B_g を算出し,式 (3.1) に代入した計算値と π 電流に対する力の実測値は π 0.5% 内の精度でよく合致している。

4. 変換器の構成と各部分の特性

図 4.1 はこの変換器の電気的結線図である。可動 コイル の位置検出は安定な インダクタンス 形を用い,可動 ビーム の先端に アルミハク をはり付け,可動 コイル の移動による アルミハク と検出 コイル 間の空げき変化を検出 コイル の インダクタンス 変化に変換し,シリコントランジスタ を用いた コルピッツ 発振回路の振幅変化に変えている。この振幅変化を シリコンダイオード で整流し,シリコントランジスタ 2 段で直流増幅して最大 $800\,\Omega$ の出力負荷へ $4\sim20\,\mathrm{mA}$ DC の プロセス 統一信号を与え,また出力側と並列に可動 コイル へ帰還している。

4.1 位置検出用発振コイルのインダクタンス

検出 コイル は小形で大きな インダクタンス をうるため、多層巻を使用している。図 3.1 に磁石に対する関係位置および形状を示して

力平衡形変換器・吉山・江沢

ある. アルミハク のない場合の コイル の自己 インダクタンス の計算式は 次式で示される.

$$L_d = K_n \frac{4\pi^2 r_d^2 N_d^2}{l_d} \times 10^{-9}$$
 (H)(4.1)

ただしここで L_a : コイル の インダクタンス, r_a : コイル の中心半径, l_a : コイル の高さ, N_a : コイル の巻数, K_n : 長岡係数である.長岡係数 K_n は多層巻では次式で与えられる.

$$K_n = 1/1 + 0.9 \frac{r_d}{l_d} + 0.32 \frac{t_d}{r_d} + 0.84 \frac{t_d}{l_d}$$
(4.2)

ただし t_d : コイル の幅 である.

各寸法より K_n を求め、さらに式 (4.2) へ代入して求めた計算値と実測値は 2% の精度内で合致している・

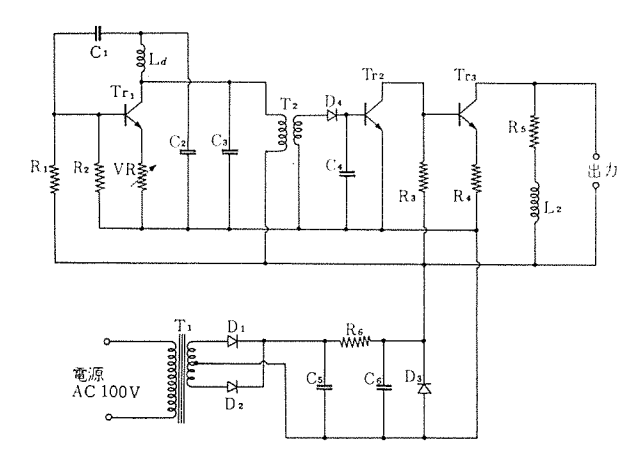


図 4.1 変換器結線図 Fig. 4.1 Electronic circuits of transducer.

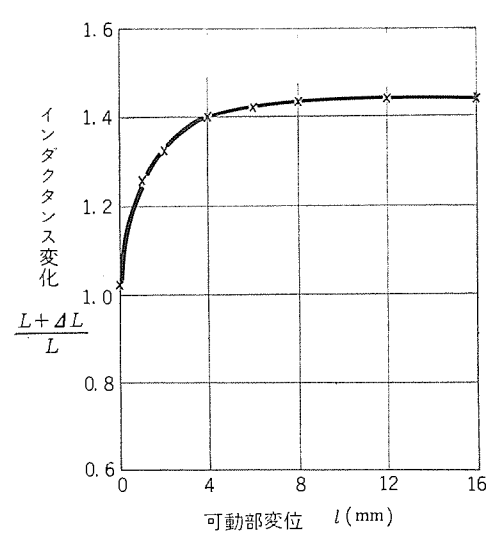


図 4.2 検出 コイルの インダクタンス 変化 Fig. 4.2 Chacteristics of inductance variation in the detector coil.

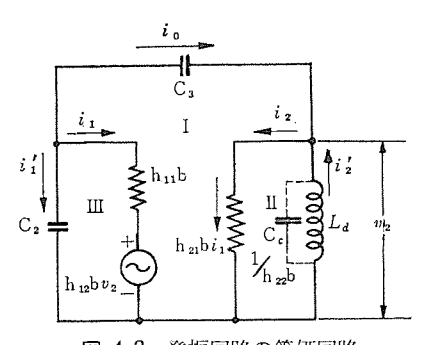


図 4.3 発振回路の等価回路 Fig. 4.3 Equivalent circuits of oscillator.

検出 コイル 端面と アルミハク 間の距離の変化に対する インダクタンス 変化の状態を図 4.2 に示す。特性は対数曲線に近く,距離の小さいところで変化が大きい。

4.2 発振回路

図4.1 の結線図の発振回路部分の等価回路は トランジスタ を h パラメータ を用いて変換すると図4.3 で示される。この等価回路について回路方程式を立て、発振する条件を実数部および虚数部について求めると次式が成立する。

実数部を ゼロ とおいて

$$\frac{L_d}{C_2} \left\{ \left(\frac{h_{12b}h_{21b}}{h_{22b}} + \frac{h_{12b}}{h_{22b}} \right) - \left(\frac{h_{21b}}{h_{22b}} + h_{11b} + \frac{1}{h_{22b}} \right) \right\}
+ \frac{L_d}{C_3} \left(\frac{h_{12b}h_{21b}}{h_{22b}} - h_{11b} \right) + \frac{1}{\omega^2 C_2 C_3 h_{22b}} = 0 \quad \dots \dots (4.3)$$

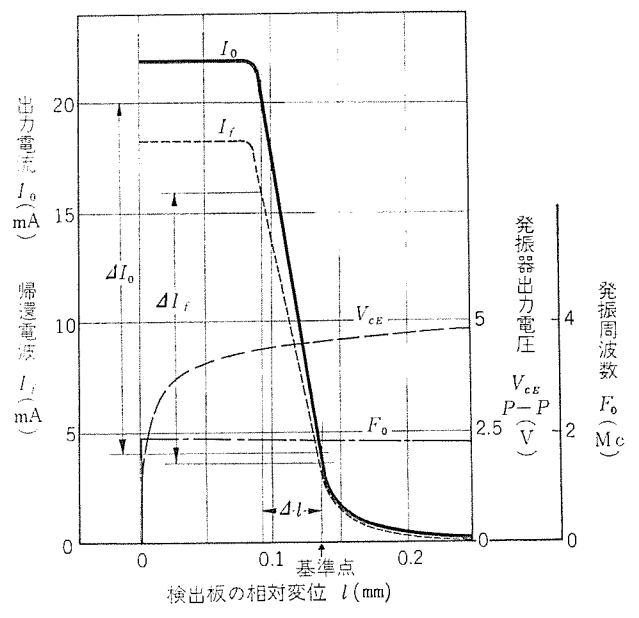


図 4.4 検出板の変位に対する出力電流,帰還電流, 発信器出力電圧,発振周波数との関係

Fig. 4.4 Relation of output current, feedback current of transducer, output voltage of oscillator and frequency of oscillation with deflection of detector.

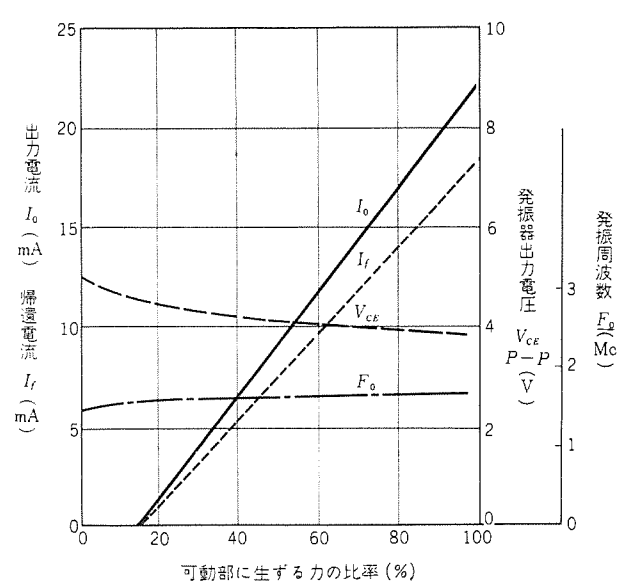


図 4.5 可動部の力と出力電流、帰還電流、発振器出力電圧、発振周波数との関係

Fig. 4.5 Relation of output current, feedback current of transducer, output voltage of oscillator and frequency of oscillation with force of moving coil.

虚数部は

$$\frac{h_{11b}}{h_{22b}} \left(j\omega L_d + \frac{1}{j\omega C_2} + \frac{1}{j\omega C_3} \right) + \frac{L_d}{j\omega C_2 C_3} = 0 \cdot \dots (4.4)$$

式 (4.3), (4.4) より次式が成立する.

$$\begin{split} &\left(\frac{h_{22b}}{C_2C_3h_{11b}} + \frac{C_2 + C_3}{L_1C_2C_3}\right) \left\{ (h_{12b}h_{21b} - h_{11b}h_{22b}) \frac{(C_2 + C_3)^2}{C_2C_3} \right. \\ &\left. + \frac{C_2 + C_3}{C_2} (h_{12b} - h_{21b} - 1) \right\} + \frac{C_2 + C_3}{L_1C_2C_3} = 0 \quad \cdots \cdots (4.5) \end{split}$$

式 (4.5) が発振するための トランジスタ 定数と回路定数間の関係である.

発振周波数は式(4.4)より次式で示される.

$$f_0 = \frac{1}{2\pi} \sqrt{\frac{1}{C_2 C_3} \left(\frac{C_2 + C_3}{L_d} + \frac{h_{22b}}{h_{11b}}\right)} \quad \dots (4.6)$$

使用 トランジスタ の h パラメータ 中 h_{22b} は小さく h_{11b} の 10^{-5} 以下 であるので式 (4.6) の右辺第 2 項は無視できて,発振周波数は同 調回路の共振周波数で決まるとみなしうる.

検出 コイル の インダクタンス 変化に対し発振振幅が変化するのは インダクタンス 変化により Q が変化し, また トランジスタ の電流増幅率 h_{21e} の飽和によるものである.

図4.4は可動 ビーム 検出板の変位に対する発振器出力電圧,発振周波数,出力電流,帰還電流の特性をまとめて示したものである.図4.5は可動 コイル に加わる力の比率に対し,各電圧,電流,周波数を示してある.

5. 総合特性

総合特性としては ブルドン 管、ベロー などの機械的変換部分を含めた プロセス 変換器としての性能と、機械的変換部分を除いた力平衡形変換器単体としての性能の二つに分けて考えられるが、始めに力平衡形変換器単体としての総合性能について述べ、つぎにブルドン管、スプリングと組み合わせて圧力発信器とした場合の例について述べる.

5.1 力平衡形変換器単体の特性

力平衡形変換器単体の場合、入力信号は力であるが、総合性能

表 5.1 性 能 表

| 内 | 容 | 力平衡形変換器単体 | 力平衡形圧力発信器 |
|-----------|------|--------------------------------|--------------------------------|
| 出力 | 信 号 | 4~20 mA. D.C | 4~20 mA. D.C |
| 出力インビーダンス | | 2 008 | 0 008 |
| 直線 | 性 | 0.04% 以内 | 0.06% 以内 |
| 感 | 度 | 0.01% 以上 | 0.01% 以上 |
| 固有振 | 動数 | 320 c/s | 45 c/s |
| 電源電圧変! | 助の影響 | ±10% 変動に対し 0.013% 以内 | ±10% 変動に対し 0.15% 以内 |
| 周囲温度 | の影響 | 40°C で 0.3% 内 60°C で 0.5% 内 | 40°C で 0.3% 内 55°C で 0.5% 内 |
| リップル | 含有率 | 0.63% 以下 | 1.25% 以下 |
| 所 要 | 電力 | 3.2 W | 3.2 W |

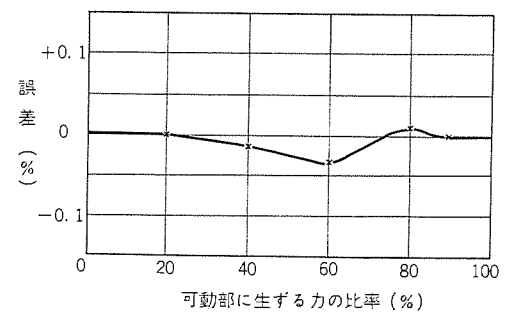


図 5.1 力に対する出力電流の直線性誤差 Fig. 5.1 Error curve of linearity between output current and force.

は $2\sim4$ 節にわたって検討した各部の特性の総合として決定され、列記すると以下のとおりである.

(1) 直線性

可動部にかかる力と出力電流との関係は図4.5に示したが、この特性の直線性からの誤差を示すと図5.1のようになり、誤差は全域にわたって0.035%内である.

(2) 感 度

実測の結果 0.01% 以上はあることが確められた.

(3) 電源電圧変動の影響

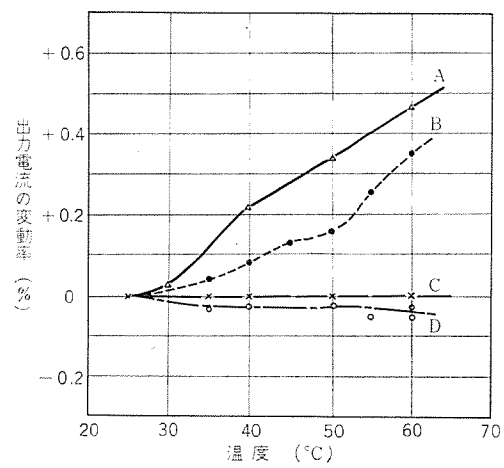
電源電圧が $\pm 10\%$ 変動した時の出力電流に及ぼす影響は実測 の結果,最大誤差が -10% 変動において生じ,-0.0125% 以下である.

(4) 固有振動数

固有振動数は実測値で $320 \, \mathrm{cps}$ をえ、計算でも式 (2.3) において $K_c=0$ とおき、各定数を図 4.4、図 4.5 から求めてえられ、計算値と実測値が 2% 内の精度で合致している.

(5) 温度特性

図 5.2 は各部分および変換器全体の温度による影響を示してある。電子回路のみは 60° C 以上になるまで変化しても出力電流の誤差として 0.05% 以下で、 $\mathfrak{g}_{0.05}$ Dリコントランジスタ 使用の効果が顕著であることを示している。変換器全体としては空げき磁束密度の温度係数、膨張による電磁変換部分の形状変化などにより、 60° C で 0.4% を越える。



- A: 変換器全体の温度特性
- B: 電磁変換部のみの温度変化による影響
- C: 電源回路のみの温度変化による影響
 - : 発振増幅回路のみの温度変化による影響

図 5.2 温度特性 Fig. 5.2 Temperature characteristics.

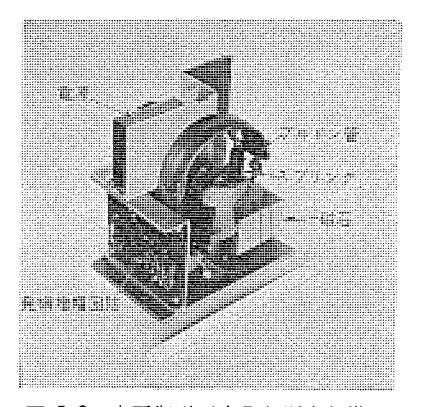


図 5.3 力平衡形圧力発信器内部構造 Fig. 5.3 Interior view of force balance type p.essure transducer.

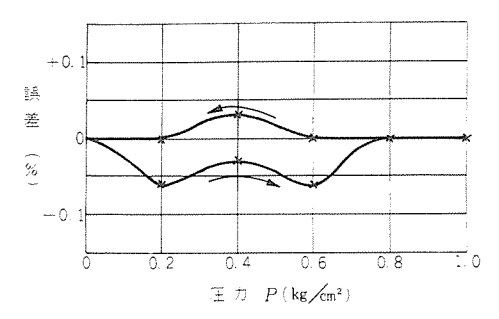


図 5.4 圧力発信器の圧力に対する出力電流の直線性誤差 Fig. 5.4 Error of linearity between output current and pressure in pressure transducer.

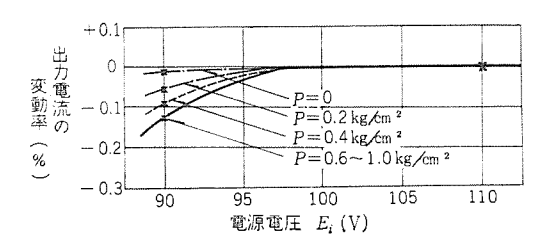


図 5.5 圧力発信器の電源電圧変動による影響 Fig. 5.5 Effect of source voltage variation in pressure transducer.

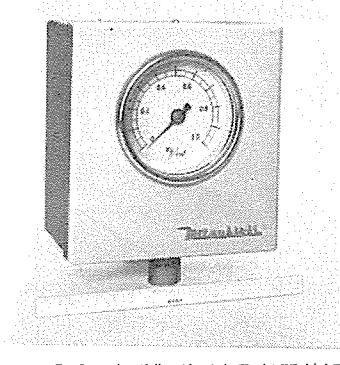


図 5.6 力平衡形圧力発信器外観 Fig. 5.6 Exterior view of force balance type pressure transducer.

(6) ドリフト

点火後8時間以上経過しても ドリフト は認められない.

5.2 圧力発信器としての諸性能

ブルドン管、ベロー、ダイアフラムなどとスプリングの機械的変換部と組み合わせて プロセス変換器とした場合は、精度は機械的変換部の

ヒステリシス、直線性などで制限され、固有振動数も機械的変換部の 固有振動数で制限され、結局総合性能が機械的変換部分の特性で 押えられることになる.しかしこれらの機械的変換部分もよく材 料、構造を選択し、特性を検討すればかなり良好な総合性能を得 る.

図 5.3 は ブルドッ管,スプリッグ と電磁変換部,電子回路を組み合わせて圧力発信器とした例の内部構造を示す写真で,測定圧力範囲は $0{\sim}1$ kg/cm² である。図 5.4 はこの変換器の圧力に対する出力電流の直線性からの誤差を示す特性曲線で ヒステリシス を含めて0.1% 内に入っている。図 5.5 は電源電圧変動の影響を示す特性例で測定圧力により多少変わるが,-10% 変動に対し最大0.15 % 以内である。

表5.1 に各性能を力平衡形変換器単体の場合と比較して一覧表に示してある。図5.6 は全装置の外観で、受圧機構、電磁変換部、電源、発振増幅器すべてが 125×130×80 (mm) の小形 ケース 内に収納されている.

6. む す び

づのta 変換器としての力平衡形変換器が自動平衡原理と堅ろうな電磁形復元要素を使用している理由できわめて安定かつ高精度の性能を持たせうるが、この変換器の制御系と電磁変換可動部の力に及ぼす諸定数間の関係を述べ、必要な復元力を決定すれば自動的に磁石部分の寸法が決まることを示し、変換器の構成内容として磁石に小形で強力な三菱 MK-100GC を使用し、変位検出に安定高感度な インダクタンス 法を用い、また電子回路素子に シリコン半導体を用いて、全寸法としてきわめて小形かつ総合性能としてもすぐれたものになしうることを特性例をあげて示した.

プロセス 計測制御の発展とともに多量に必要とされるこの種変換器への性能向上の要求がますます厳しくなるであろう.

終わりに変換器と開発するにあたり、種々のご指導と有益なご 助言を賜わった社内計測関係のかたがたに対し厚く謝意を表します.

(昭 38-2-12 受付)

参考文献

- (1) Harry R. Karp: Electronic Process Control Systems, Control Engineering. Nov. (1958).
- (2) Werner G. Holzlock: Simplified Equations Speed Moving Coil Design, Control Engineering. May (1961).

技上術上解上說

同 期 機 - I --電力系統における同期機の理論的取り扱い--

林 重 雄*

まえがき

電力系統問題の解析においては同期機の特性を必要とすることが多い. 同期機に限らず多くの電気機器は導電体、磁性体、絶縁体からなる空間的 な構造物であって、そこにおける電磁現象は Maxwell の基本方程式(偏 微分方程式)をそれぞれの問題に応じた条件のもとで解くことによって求 められる。このような複雑な境界条件のもとで偏微分方程式を解くという ことは一般には困難な問題であって、実用的見地からは不必要である場合 が多い。

同期機を電力系統構成回路素子の一つとして取り扱う場合、たとえば系統の安定問題など(低い周波数領域)を検討するときには集中定数回路とし、数式的には常微分方程式として取り扱って十分である。また雷サージ(高い周波数領域)に対してはコイル間、コイルと鉄心間の分布静電容量を考慮しなければならないが、機械の運動方程式には注目する必要はなく同期機の特性はサージ・インビーダンスで表現できる。このように物理現象の解析にあたっては、対象とする問題の本質をどう察し、現象解明に必要な要因を抽出して、適当な近似を行なうことが重要である。

同期機を集中定数回路で表わす方程式は古くから多くの文献に引用され 衆知のものであるが、念のため今一度ことに写しておく。この方程式を基 礎とし、種々の現象に対しそのおのおのの現象の特長に注目してそれに対 する近似式について説明する。

(I) 同期機の基礎方程式においては同期機を集中定数回路としかつ線形近似したときの方程式を導き、それに関連した 2,3 の事項についてしるす。(II) 同期機インビーダンスの周波数特性の項においては現象の周波数領域に注目しその領域での同期機の等価回路を示す。(III) 電力系統につながれたときの同期機の取り扱いにおいては2機ないし多機問題、制御系との関係などについて述べる予定である。

この稿においては比較的低い周波数に対する特性式について論じ,同期 機の高周波特性,サージ特性についてはふれない.

I. 同期機の基礎方程式

同期機を集中定数回路でかつ磁気飽和などの非線形特性を無視 したときの方程式を導き、さらにこれをもとに、磁気飽和の影響 を近似的に導入した等価回路をしるす。

1. 座標変換 (Park の座標と Kron の座標)

三相交流回路の数学的取り扱いにさいしては、対称座標系、 α - β -0 座標系 (Clarke の座標系)、Park の座標系、Kron の座標系など、いろいろの座標系が問題に応じて用いられている。これらの座標系はみかけは異なるがいずれも インピーダンス 行列の対角比を目標としていることでは同じである。

ここでは同期機の解析に密接な関係をもつ

Park の座標系: 同期機の磁軸に固定し, これとともに回転する座標系……同期機の方程式が簡単に表現さ

れる.

Kron の座標系: 同期速度 (一定) で回転する座標系……多期 問題に有利

についてその変換公式を示す.

a, b, c 座標において表わされた電磁量 $\begin{pmatrix} k_a \\ k_b \\ k_c \end{pmatrix}$ を

d–q–0 座標(Prak, Kron の座標系)の量 $\begin{pmatrix} k_0 \\ k_d \\ k_q \end{pmatrix}$ に変換する行列 T^{-1} は、

$$\begin{pmatrix} k_0 \\ k_d \end{pmatrix} = \frac{1}{3} \begin{pmatrix} 1 & 1 & 1 \\ 2\cos\theta & 2\cos\left(\theta - \frac{2\pi}{3}\right) & 2\cos\left(\theta - \frac{4\pi}{3}\right) \end{pmatrix} \begin{pmatrix} k_a \\ k_d \\ -2\sin\theta & -2\sin\left(\theta - \frac{2\pi}{3}\right) & -2\sin\left(\theta - \frac{4\pi}{3}\right) \end{pmatrix} \begin{pmatrix} k_a \\ k_d \\ k_q \end{pmatrix}$$

その逆変換 T は.

$$\begin{pmatrix} k_a \\ k_b \end{pmatrix} = \begin{pmatrix} 1 & \cos \theta & -\sin \theta \\ 1 & \cos \left(\theta - \frac{2\pi}{3}\right) & -\sin \left(\theta - \frac{2\pi}{3}\right) \end{pmatrix} \begin{pmatrix} k_0 \\ k_d \end{pmatrix} \cdots (1.2)$$

$$1 & \cos \left(\theta - \frac{4\pi}{3}\right) & -\sin \left(\theta - \frac{4\pi}{3}\right) \end{pmatrix}$$

である.

Kron の座標は、同期速度で回転する座標系であって、

$$\theta = \omega t - \theta_0 \cdots \cdots (1.3)$$

とおいたものである。 Park の座標系においては、 θ は電機子 a 相 コイル の中心軸と回転子磁軸(N 極)とのなす角度であって、同期速度で回転するとは限らない。 同期速度で回転する軸(Kronの座標軸)との偏差を $\Delta\theta$ とすれば、

$$\theta = \omega t + \Delta \theta + \theta_0 \cdots (1.4)$$

と書くことができる。したがって、Park の変換行列と Kron の変換行列との間の関係は、

$$\frac{1}{3} \begin{pmatrix}
2\cos(\omega t + \Delta\theta + \theta_0) & 2\cos(\omega t + \Delta\theta + \theta_0 - \frac{2\pi}{3}) \\
-2\sin(\omega t + \Delta\theta + \theta_0) & -2\sin(\omega t + \Delta\theta + \theta_0 - \frac{2\pi}{3})
\end{pmatrix}$$

$$\frac{1}{2\cos(\omega t + \Delta\theta + \theta_0 - \frac{4\pi}{3})} \begin{pmatrix}
1 & 0 & 0 \\
0 & \cos \Delta\theta & \sin \Delta\theta
\end{pmatrix}$$

$$-2\sin(\omega t + \Delta\theta + \theta_0 - \frac{4\pi}{3}) \end{pmatrix} = \begin{pmatrix}
0 & \cos \Delta\theta & \sin \Delta\theta
\end{pmatrix}$$

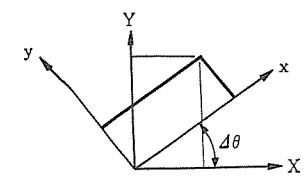
$$\frac{1}{3} \begin{pmatrix}
1 & 1 & 1 \\
2\cos(\omega t + \theta_0) & 2\cos(\omega t + \theta_0 - \frac{2\pi}{3}) & 2\cos(\omega t + \theta_0 + \frac{4\pi}{3})
\end{pmatrix}$$

$$-2\sin(\omega t + \theta_0) & -2\sin(\omega t + \theta_0 - \frac{2\pi}{3}) & -2\sin(\omega t + \theta_0 + \frac{4\pi}{3})
\end{pmatrix}$$

すなわち

である.

技 術 解 説



$$\begin{pmatrix} x \\ y \end{pmatrix} = \begin{pmatrix} \cos \varDelta\theta & \sin \varDelta\theta \\ -\sin \varDelta\theta & \cos \varDelta\theta \end{pmatrix} \quad \begin{pmatrix} X \\ Y \end{pmatrix} \\ \begin{pmatrix} X \\ Y \end{pmatrix} = \begin{pmatrix} \cos \varDelta\theta & -\sin \varDelta\theta \\ \sin \varDelta\theta & \cos \varDelta\theta \end{pmatrix} \quad \begin{pmatrix} x \\ y \end{pmatrix}$$

図 1.1 平面上での回転座標 変換

Park の座標系における電磁量を $k d_r = \begin{pmatrix} k_{or} \\ k_{dr} \\ k_{qr} \end{pmatrix}$

Kron の座標系における電磁量を $k_a = \begin{pmatrix} k_0 \\ k_d \\ k_q \end{pmatrix}$ とすれば、

$$k_d = T_k^{-1} \cdot k_a = T_{\mathcal{A}} \cdot T_r^{-1} k_a = T_{\mathcal{A}} \cdot k_{dr}$$

すなわち

$$\begin{pmatrix} k_0 \\ k_d \\ k_a \end{pmatrix} = \begin{pmatrix} 1 & 0 & 0 \\ 0 & \cos \Delta \theta & -\sin \Delta \theta \\ 0 & \sin \Delta \theta & \cos \Delta \theta \end{pmatrix} \begin{pmatrix} k_{0r} \\ k_{dr} \\ k_{qr} \end{pmatrix} \cdots (1.7)$$

となる。

対称座標成分 i_{a1} , i_{a2} , i_{a0} と d-q-0 座標系における成分 i_d , i_q , i_0 との関連について調べておく. Rotor の回転速度を一定とし、基本波のみをとれば、

 I_{a1} , I_{a2} , I_{a0} は基本波の振幅を示す 両辺に T^{-1} かけて, d-g-0 成分に変換すれば,

$$\begin{pmatrix} i_d \\ i_q \\ i_0 \end{pmatrix} = \begin{pmatrix} \cos \phi_1 & \cos (2t + \phi_2) & 0 \\ \sin \phi_1 & -\sin (2t + \phi_2) & 0 \\ 0 & 0 & \cos (t + \phi_0) \end{pmatrix} \begin{pmatrix} I_{a1} \\ I_{a2} \\ I_{a0} \end{pmatrix} \cdots (1.9)$$

となる。すなわち、正相分は d-q 成分において直流成分となり、 逆相分は 2 倍周波数成分となる。

2. 同期機の基礎方程式

2.1 同期機の方程式

同期機にかぎらず一般に電気機器においては、導体、磁性体、 絶縁体が空間的に配置された構造をもち、電圧、電流、磁束など は時間の関数のみならず空間座標の関数でもある。すなわち、機 器の特性をあらわす方程式は偏微分方程式(Maxwell の方程式) となり、これを与えられた境界条件のもとで解く問題となる。これは実際には困難な問題であり、実用上は集中定数回路(常微分 方程式となる)として取り扱われる。同期機を系統を構成する一つの回路素子と考えるときには十分である。

図 2.1 同期機構造概念図

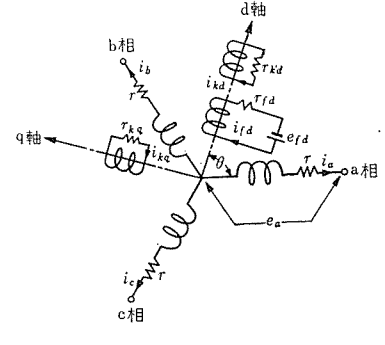


図 2.2 同期機回路概念図

以下に述べる同期機の方程式は Maxwell の方程式において,変位電流 $\left(\frac{\partial \mathbf{D}}{\partial t}: \mathbf{D}\right)$ 電気変位 ,負荷 (ρ) を無視,すなわち分布静電容量の効果を無視し,さらに導体寸法の影響(電機子導体中の eddy current)なども無視して,集中定数として導かれている。さらに鉄心の磁気飽和などの非線形特性は無視し,すべて線形と仮定している.

電圧の式

電機子:

記号

ea: a 相端子電圧

ψα: a 相に鎖交する磁束

ia: a 相電流

a, b, c: 相回転は図 2.1 のとおり

r: 電機子巻線の抵抗

P: 微分演算子 d/dt t: time

界磁:

$$e_{fd} = P\psi_{fd} + r_{fd} + i_{fd} \quad \cdots \qquad (2.2)$$

制動回路:

$$0 = P\psi_{kd} + r_{kd}i_{kd}
0 = P\psi_{kq} + r_{kq}i_{kq}$$

$$(2.3)$$

磁束鎖変の式

電機子:

$$\psi_{a} = -l_{aa}i_{a} - l_{ab}i_{b} - l_{ac}i_{c} + l_{af}di_{fd} + l_{ak}ai_{kd} + l_{akq}i_{kq}$$

$$\psi_{b} = -l_{ba}i_{a} - l_{bb}i_{b} - l_{bc}i_{c} + l_{bf}di_{fd} + l_{bkd}i_{kd} + l_{bbq}i_{kq}$$

$$\psi_{c} = -l_{ca}i_{a} - l_{cb}i_{b} - l_{cc}i_{c} + l_{cf}di_{fd} + l_{cka}i_{kd} + l_{ckq}i_{kq}$$

$$\uparrow C = -l_{ca}i_{a} - l_{cb}i_{b} - l_{cc}i_{c} + l_{cf}di_{fd} + l_{cka}i_{kd} + l_{ckq}i_{kq}$$

 l_{aa} : a 相自已 インダクタンス l_{ab} : a 相,b 相間相互 インダクタンス 他の添字も同様

界磁:

$$\psi_{fd} = -l_{fad}i_a - l_{fbd}i_b - l_{fcd}i_c + L_{ffd}i_{fd} + L_{fkd}i_{kd} + L_{fkd}i_{kq} \cdots (2.5)$$

制動回路:

$$\begin{aligned} & \psi_{kd} \! = \! -l_{kad}i_a \! - l_{kbd}i_b \! - l_{kcd}i_c \! + \! L_{kfd}i_{fd} \! + \! L_{kkd}i_{kd} \! + \! L_{kdkq}i_{kq} \\ & \psi_{kq} \! = \! -l_{kaq}i_a \! - \! l_{kbq}i_b \! - \! l_{kcq}i_c \! - \! L_{kqfd}i_{fd} \! + \! L_{kqkd}i_{kd} \! + \! L_{kkq}i_{kq} \end{aligned}$$

制動回路を一つの コイル で表現することは多少問題点があるが、 簡単のためこうする・

> イ ɔ ヺ ク タ ъ ス の 式 磁束鎖交の式における インタクタンスは

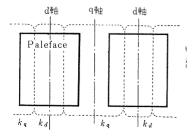


図 2.3 制動回路

界磁の回転角の関数になっている.

電機子自己 インダクタンス:

 L_{aa0} : 定数項 L_{aa2} : 変化分

電機子相互 インダクタンス:

$$l_{ab} = -\left[L_{ab0} + L_{aa2}\cos 2\left(\theta + \frac{\pi}{6}\right)\right]$$

$$l_{bc} = -\left[L_{ab0} + L_{aa2}\cos 2\left(\theta + \frac{\pi}{6} - \frac{2\pi}{3}\right)\right]$$

$$l_{ca} = -\left[L_{ab0} + L_{aa2}\cos 2\left(\theta + \frac{\pi}{6} - \frac{4\pi}{3}\right)\right]$$

$$\cdot \cdot \cdot \cdot \cdot (2.8)$$

回転子自己 インダクタンス:

$$L_{ffd}$$
, L_{kkd} , L_{kkq} は一定

回転子相互 インダクタンス:

固定子(電機子)と回転子との相互 インダクタンス:

$$\begin{aligned} & l_{afd} = l_{fad} = L_{afd} \cos \theta \\ & l_{bfd} = l_{fbd} = L_{afd} \cos \left(\theta - \frac{2\pi}{3}\right) \\ & l_{cfd} = l_{fcd} = L_{afd} \cos \left(\theta - \frac{4\pi}{3}\right) \\ & l_{akd} = l_{kad} = L_{akd} \cos \theta \\ & l_{bkd} = l_{kbd} = L_{akd} \cos \left(\theta - \frac{2\pi}{3}\right) \\ & l_{ckd} = l_{kcd} = L_{akd} \cos \left(\theta - \frac{4\pi}{3}\right) \\ & l_{akq} = l_{kaq} = -L_{akq} \sin \theta \\ & l_{bkq} = l_{kbq} = -L_{akq} \sin \left(\theta - \frac{2\pi}{3}\right) \\ & l_{ckq} = l_{kcq} = -L_{akq} \sin \left(\theta - \frac{4\pi}{3}\right) \end{aligned}$$

2.2 座標変換 (Park 座標系)

前節に示した式(2.1)~(2.10)によって同期機の特性は完全に表示されているわけであるが、このままでは係数に三角関数を含んでいて取り扱いが不便である。そこで適当な変換を用いて係数(インピーダンス)中の三角関数を消去し、定数係数とする。

同期機の自己および相互 $_{70}$ $_{90}$ $_{20}$ が式 $_{20}$ $_{10}$ の形に書けるときには Park の変換式によって、同期機の式は下記のようになる.

電圧の式

電機子:

$$\left. \begin{array}{l} e_d = P\psi_d - ri_d - \psi_q P\theta \\ e_q = P\psi_q - ri_q + \psi_d P\theta \\ e_0 = P\psi_0 - ri_0 \end{array} \right\} \quad \cdots \qquad (2. \ 11)$$

界磁:

$$e_{fd} = P\psi_{fd} + r_{fd}i_{fd}$$
(2.12)

制動回路:

$$\begin{array}{l} 0 = P\psi_{kd} + r_{kd}i_{kd} \\ 0 = P\psi_{kq} + r_{kq}i_{kq} \end{array} \right\} \cdots \cdots (2.13)$$

磁束鎖交の式

電機子:

$$\psi_{d} = -L_{d}i_{d} + L_{afd}i_{fd} + L_{akd}i_{kd}
\psi_{q} = -L_{q}i_{q} + L_{akq}i_{kq}
\psi_{0} = -L_{0}i_{0}$$
.....(2. 14)

界磁:

$$\psi_{fd} = L_{ffd}i_{fd} + L_{fkd}i_{kd} - \frac{3}{2}L_{\alpha fd}i_{d} \cdots \cdots (2.15)$$

制動回路:

$$\psi_{kd} = L_{fkd}i_{fd} + L_{kkd}i_{kd} - \frac{3}{2}L_{\alpha kd}i_{d}
\psi_{kq} = L_{kkqq}i_{kq} - \frac{3}{2}L_{\alpha kq}i_{q}$$
.....(2. 16)

電機子 インダクタンス:

$$L_{d} = L_{aa0} + L_{ab0} + \frac{3}{2} L_{aa2}$$

$$L_{q} = L_{aa0} + L_{ab0} - \frac{3}{2} L_{aa2}$$

$$L_{0} = L_{aa0} - 2L_{ab0}$$

$$(2.17)$$

2.3 単位法による表現

(1) 電機子回路の基準値

電力 P_a , 電圧 e_a , 電流 i_a , 磁束 ψ_a , インダクタンス L_a , インピーダンス Z_a の基準値を定める。これら 6 個の量の間には下記の 4 個の式が成立つ。このうち独立に選定しうるものは 2 個であって,通常同期機の定格容量,定格電圧をとる。

基準値を[]で示すことにする.

$$[P_a] = [VA \ 3 \text{ phase}] = \frac{3}{2} [e_a] [i_a]$$

$$[\psi_a] = [L_a] [i_a]$$

$$[Z_a] = [e_a]/[i_a]$$

$$[Z_a] = 2\pi f[L_a]$$

 $[e_a]$, $[i_a]$ は peak 値をとっている.

(2) 回転子回路の基準値

2.2 節における式において電機子回路と回転子回路の相互インダクタンスは reciprocal でない。単位法でこれが reciprocal になるように回転子回路の基準値を定める。このためには電機子回路と界磁回路の基準量の間につぎの関係があればよい。

$$\frac{L_{afd}[I_{fd}]}{[L_a][i_a]} = \frac{3}{2} \frac{L_{afd}[i_a]}{[L_{fd}][i_{fd}]}$$
 (2. 19)

これより $[P_{fd}]=2\pi f[L_{fd}][I_{fd}]^2=[P_a]$ すなわち,界磁回路の VA base を電機子回路の VA rating に等しくとればよいことに なる.制御回路に対しても同じである.

界磁電流、制動電流の基準値は Lad なる量を定義し、

$$\frac{L_{ad}[i_a]}{[\psi_a]} = \frac{L_{fkd}[i_{kd}]}{[\psi_{fd}]} = \frac{L_{fkd}[i_{fd}]}{[\psi_{kd}]}$$
 (2. 20)

 $L_l = L_d - L_{ad}$: 電機子での漏れ磁束に基づく インダクタンス $L_{aq} = L_q - L_l$

次式によって [ifd], [ikd], [iko] を定める.

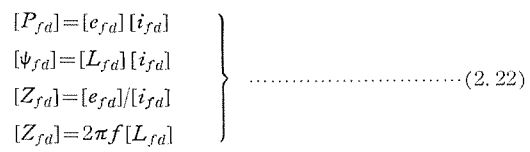
$$L_{afd}[i_{fd}] = L_{ad}[i_a]$$

$$L_{akd}[i_{kd}] = L_{ad}[i_a]$$

$$L_{akg}[i_{kg}] = L_{ag}[i_{kg}]$$

電磁回路諸量の基準値の間には式 (2.18) と同様のつぎの関係式がある.

技 術 解 説



制動回路に対しても同じである.

時間の基準化は次式による.

$$\begin{bmatrix}
t = \frac{1}{2\pi f} \\
\bar{t} = \frac{t}{[t]} = 2\pi f t
\end{bmatrix}$$
.....(2.23)

基準化された量には 一 (bar) をつけて示す

以上に述べた基準値により基準化(単位法による表現)を行な 5 と、同期機の特性を表わす方程式 式 (2.11) \sim (2.16) はつぎ のようになる.

電圧の式

$$\vec{e}_{d} = \vec{P}\vec{\psi}_{d} - r\vec{\iota}_{d} - \vec{\psi}_{q}\vec{P}\theta$$

$$\vec{e}_{q} = \vec{P}\vec{\psi}_{q} - \dot{r}\vec{\iota}_{q} + \vec{\psi}_{d}\vec{P}\theta$$

$$\vec{e}_{0} = \vec{P}\vec{\psi}_{0} + r\vec{\iota}_{0}$$

$$\vec{e}_{fd} = \vec{P}\vec{\psi}_{fd} + r_{fd}\vec{\iota}_{fd}$$

$$0 = \vec{P}\vec{\psi}_{kd} + \vec{r}_{kd}\vec{\iota}_{kd}$$

$$0 = \vec{P}\vec{\psi}_{kg} + \hat{r}_{kg}\vec{\iota}_{kg}$$

$$(2. 24)$$

磁束の式

$$\overline{\psi}_{d} = \overline{x}_{ad}\overline{t}_{fd} + \overline{x}_{ad}\overline{t}_{kd} - \overline{x}_{d}\overline{t}_{d}$$

$$\overline{\psi}_{q} = \overline{x}_{ad}\overline{t}_{kq} - \overline{x}_{d}\overline{t}_{q}$$

$$\overline{\psi}_{0} = -\overline{x}_{0}\overline{t}_{0}$$

$$\overline{\psi}_{fd} = \overline{x}_{ffd}\overline{t}_{fd} + \overline{x}_{ad}\overline{t}_{kd} - \overline{x}_{ad}\overline{t}_{d}$$

$$\overline{\psi}_{kd} = \overline{x}_{ad}\overline{t}_{fd} + \overline{x}_{kkd}\overline{t}_{kd} - \overline{x}_{ad}\overline{t}_{d}$$

$$\overline{\psi}_{kg} = \overline{x}_{kkg}\overline{t}_{kg} - \overline{x}_{ag}\overline{t}_{g}$$

$$(2. 25)$$

回転子軸 トルク は同期機回路にたくわえられている磁気 エネルギの 回転角に関する変化率を計算すれば求まる. その結果次式が得られる.

$$\overline{T} = \overline{\iota}_d \psi_d - \overline{\iota}_d \overline{\psi}_d \quad \cdots \qquad (2.26)$$

トルクの基準値は定格出力、定格速度に相当する トルク をとる.

$$[P_a] = [T][\theta] = [T] \left[\frac{2\pi f}{N} \right]$$

N: 極数の 1/2

以上の式を単純化するためのいくつかの仮定のもとに導かれた ものであるが、多くの実際的な問題を解くには十分役立つもので ある。

2.4 等価回路

同期機の基礎方程式 式 (2.24), (2.25) に対応する等価回路

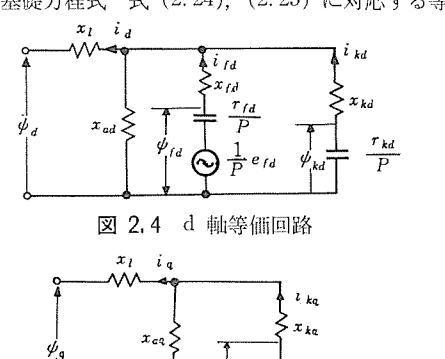


図 2.5 q 軸等価回路

を導く. 以下、基準化された量の-(bar)をはぶく. リアクタンス を漏れ分と相互誘導分とに分けて、

$$x_{d} = x_{l} + x_{ad}$$
 $x_{q} = x_{l} + x_{aq}$
 $x_{ffd} = x_{fd} + x_{ad}$
 $x_{kkd} = x_{kd} + x_{ad}$
 x_{l} : 電機子漏れ リアクタンス
 x_{fd} : 界磁漏れ リアクタンス
 x_{kd} : 制動回路漏れ リアクタンス

とあらわせば、式(2.25)はつぎのようになる.

$$\psi_{d} = -x_{l}i_{d} + x_{ad}(i_{fd} + i_{kd} - i_{d})$$

$$\psi_{fd} = x_{fd}i_{fd} + x_{ad}(i_{fd} + i_{kd} - i_{d})$$

$$\psi_{kd} = x_{kd}i_{kd} + x_{ad}(i_{fd} + i_{kd} - i_{d})$$

$$\psi_{q} = -x_{l}i_{q} + x_{aq}(i_{kq} - i_{q})$$

$$\psi_{kg} = x_{kq}i_{kg} + x_{aq}(i_{kq} - i_{q})$$

$$\psi_{kg} = x_{kq}i_{kg} + x_{aq}(i_{kq} - i_{q})$$

$$(2.28) - a$$

式 (2.24) から

$$\psi_{fd} = \frac{1}{P} e_{fd} - \frac{r_{fd}}{p} i_{fd}$$

$$\psi_{kd} = \frac{r_{kd}}{P} i_{kd}$$

$$(2.28) - 1$$

$$\psi_{kq} = \frac{r_{kq}}{p} i_{kq} \qquad (2, 29) - b$$

となり、つぎの等価回路がえられる.

実回路と等価回路の対応関係は,

磁束 ─→ 電圧(電圧の時間積分(磁束)─→ 電圧) 電流 ─→ 電流

リアクタンス ―→ 抵抗

抵抗の逆数 ―→ キャパシタンス

である.

3. 定常状態

同期速度,正相分基本波のみのときの定常現象を考える。 d-q-0変換を適用した各量は直流分となる.

$$\psi_{d} = x_{ad}i_{fd} - x_{d}i_{d}
\psi_{q} = -x_{q}i_{q}
\psi_{fd} = x_{ffd}i_{fd} - x_{ad}i_{d}
e_{d} = -\psi_{q} - ri_{d}
e_{q} = \psi_{d} - ri_{q}
e_{fd} = r_{fd}i_{fd}$$
(3.1)

定常状態においては、制動回路の電流は0である.

a 相の電圧は、

$$e_a = c_d \cos \theta - e_q \sin \theta$$
(3.2) $t=0$ において、a 相の中心と Rotor の q 軸間のなす角を δ とす

ると,

$$\theta = t + \delta - \frac{\pi}{2}$$

したがって,

$$e_a = e_d \sin(t+\delta) + e_q \sin(t+\delta) \cdots (3.3)$$

a 相の電圧を基準にとり、複素ペクトルで表示すると、

$$\begin{array}{ll}
\widetilde{E}_{a1} = E_{a1} \\
c_a = E_{a1} \cos t
\end{array} \right\} \qquad (3.4)$$

 e_d , e_q の ベクトル 表示は,

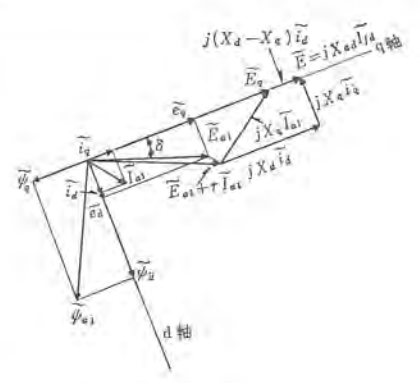


図 3.1 同期機のベクトル 図

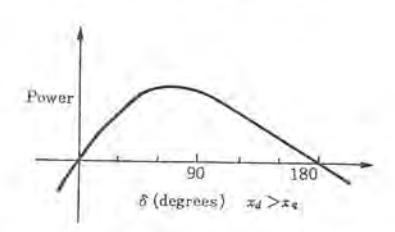


図 3.2 同期機の定常状態における出力-位相角特性

$$\begin{aligned}
\tilde{e}_{d} &= e_{d} \varepsilon^{j \left(\delta - \frac{\pi}{2}\right)} \\
\tilde{e}_{q} &= e_{d} \varepsilon^{j \delta} = j e_{q} \varepsilon^{j \left(\delta - \frac{\pi}{2}\right)}
\end{aligned} \right\} \dots (3.5)$$

複素 ベクトル で表示された電圧,電流,磁束の正相分と,d,q 成分との関係は,

$$\left. \begin{array}{l} \widetilde{E}_{a1} = \widetilde{e}_d + \widetilde{e}_q \\ \widetilde{I}_{a1} = \widetilde{r}_d + \widetilde{r}_q \\ \widetilde{\psi}_{a1} = \widetilde{\psi}_d + \widetilde{\psi}_q \end{array} \right\} \qquad (3.6)$$

電圧, 電流, 磁束の関係は,

$$\tilde{E}_{a1} = j\tilde{\psi}_{a1} - r\tilde{I}_{a1}$$

定常状態を示す方程式 式 (3.1) の複素 ベクトル 表示を行たう

$$E_{fd}$$
= $\tilde{e}_q+r\tilde{\iota}_\eta+jx_d\tilde{\iota}_d$
 $E_{fd}=jx_{ad}\tilde{\iota}_{fd}$: field excitation に比例し
開回路時の端子電圧に相
当する量(内部誘起電圧)

 $0 = \bar{e}_d + r\bar{\iota}_d + jx_0\bar{\iota}_0$

さらにつぎの仮想的な電圧を定義する

 $\widetilde{E}_q = \widetilde{E}_{a1} + (r + jx_q) \, \widetilde{I}_{a1} = \widetilde{e}_q + r t_q + j x_q t_d \cdots (3.8)$ この電圧 \widetilde{E}_q と E_{a1} とのなす角が δ であって、これから電圧、電流の d-q 成分が求まる。

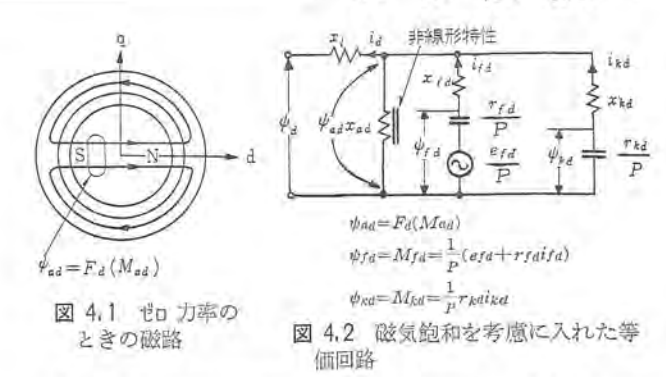
同期機の定常出力は、

$$\begin{split} P &= e_{d}i_{d} + e_{q}i_{q} \\ &= \frac{-re_{d}^{2} + x_{q} \left(F_{fd}e_{d} - e_{q}e_{d}\right) + x_{d}e_{d}e_{q} + r\left(F_{fd}e_{q} - e_{q}^{2}\right)}{x_{d}x_{q} + r^{2}} \\ &= \frac{F_{fd}e(x_{q}\sin\delta + r\cos\delta) - re^{2} + \frac{e^{2}}{2}(x_{d} - x_{q})\sin2\delta}{x_{d}x_{q} + r^{2}} \end{split}$$

 $(e: 端子電圧の大きさ, e \sin \delta = e_d, e \cos \delta = e_q)$ となる.

4. 鉄心磁気飽和の取り扱い方

磁気飽和により、同期機 リアクタンス は非線形特性を呈し、さき



に述べた線形変換は不可能になる。そこで便宜上つぎのように取り扱う。

出発点に d-q-0 座標系で与えられた方程式をとる。飽和は磁 東密度の高い d 軸において生ずるものとし、q 軸における飽和の 影響は考えない。これは飽和の影響を考慮すべき問題においては、 多くの場合発電機の力率は0に近いことより、ほぼ妥当な仮定で ある。

以下、 d 軸回路のみについて述べる.

まず起磁力についての方程式をたてる。電機子回路 d 軸についての起磁力 M_a は、

$$M_{d} = -x_{d}i_{d} + x_{ad}i_{fd} + x_{ad}i_{kd}$$

$$= -x_{l}i_{d} + x_{ad}(-i_{d} + i_{fd} + i_{kd})$$

$$= -x_{l}i_{d} + M_{ad}$$

$$-x_{l}i_{d} + M_{ad}$$

ここで、 $x_l = x_d - x_{ad}$: 漏れ リアクタンス x_{ad} : 相互 リアクタンス 不飽和値、

$$M_{ad} = x_{ad}(-i_d + i_{fd} + i_{kd})$$

 x_{ad} などを便宜上 リアクタンス と呼んでいるが、これは基準化 (normalization) したとき無次元量となっている。上式においては、起酸力 M_{ad} を AT (アンペアターン) とみなせば ターン 数に相等する。界磁、制動回路については、

$$M_{fd} = x_{fd}i_{fd} + M_{ad}$$

 $x_{fd} = x_{ffa} - x_{ad}$
 $M_{kd} = x_{kd}i_{kd} + M_{ad}$
 $x_{kd} = x_{kka} - x_{ad}$

電機子d 軸の磁束は、飽和特性を F_a ()として、

$$\psi_d = -x_l i_d + F_d(M_{ad})$$
(4.2)

漏れ磁束の回路においては飽和は起こらず, 飽和は主磁路(図に示した磁路)においてのみ起こるとした。

界磁, 制動回路においては

$$\psi_{fd} = -x_{fd}i_{fd} + F_d(M_{ad})$$

 $\psi_{kd} = -x_{kd}i_{kd} + F_d(M_{ad})$

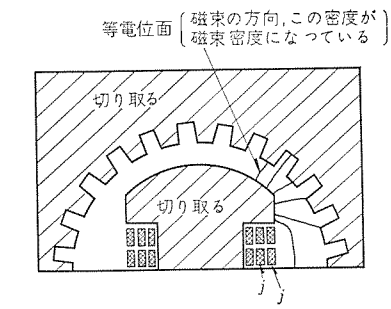
以上総合して、2.4 節において求めた等価回路と同様な図4.2が得られる。

無負荷, 定常状態を考えれば, 式 (4.2) は,

$$\psi_d = F_d(x_{ad}i_{fd})$$

5. 磁束分布の解析法(導電紙法による)

前節までにおいては同期機の特性を、外部からながめた特性を



鉄心部 μ≥∞→ρ≥∞ 切り取る

空ゲキ部 $\mu=\mu_0 \rightarrow \rho=\rho_0$ 導電紙固有抵抗 導 体 部 $\mu=\mu_0 \rightarrow \rho=\rho_0$ 導電紙固有抵抗

導体部 電流源を作るため電極をつける(抵抗 値が変わりこの分だけ誤差となる)

図 5.1 2 極機無負荷時の磁束分布の摸擬

対象とし、集中定数回路として表わした常微分方程式を基礎として討論してきた。しかし、実際の機械は導体、磁性体、絶縁体が空間的に配置され、電圧、電流、磁束などは時間の関数であると同時に、空間的な座標の関数でもある。機械内部の現象を厳密に解こうすれば、Maxwell の方程式 (偏微分方程式)を与えられた境界条件のもとに解かねばならない。この計算技術は現在のところ未確立であって、今後の研究が期待される。

偏微分方程式を解く方法として、現在よく用いられているのは 偏微分方程式を連立定差方程式に書きかえ、それを ディジタル 計算 機を用いて解く方法がある。また、アナログ的な方法として、抵抗 回路網を用いて解く方法、電解液法、導電紙法等がある。ここで は比較的取り扱いの楽な導電紙法をもちいて磁束密度を求める方 法について述べる。

導電性の紙の上に定電流場を作り、この定電流場と同じ形の微分方程式(境界条件もふくめ)で表わされる現象を simulate しようという方法である・

定電流場においてはつぎの式が成り立つ.

$$\operatorname{div} \mathbf{i} = -\frac{\partial \delta}{\partial t} = j$$

i: 電流密度, σ: 電荷, j: 電流源の密度

$$i = -\frac{1}{a} \operatorname{grad} V$$

ρ: 固有抵抗, V: 電位

したがって,

div ρ grad V = -j

2 次元の場合について書けば,

$$\frac{\partial}{\partial x} \left(\frac{1}{\rho} \frac{\partial V}{\partial x} \right) + \frac{\partial}{\partial y} \left(\frac{1}{\rho} \frac{\partial V}{\partial y} \right) = -j(xy) \cdot \cdots \cdot (5.1)$$

となる.

一方,2次元の磁界の方程式は,

磁界の ベクトルポテンシャル A=(0,0,A)

磁束密度を $\mathbf{B} = (Bx, B_y, 0)$

電流密度を i=(0,0,i)

とすると,

$$B_x = \frac{\partial A}{\partial y} \qquad B_y = \frac{\partial A}{\partial x}$$

$$i\!=\!\left(\cot\frac{1}{\mu}\cot\boldsymbol{A}\right)_{\!:}\!=\!-\left\{\!\frac{\partial}{\partial x}\!\left(\!\frac{1}{\mu}\frac{\partial\boldsymbol{A}}{\partial x}\!\right)\!+\!\frac{\partial}{\partial y}\!\left(\!\frac{1}{\mu}\frac{\partial\boldsymbol{A}}{\partial y}\!\right)\!\right\}$$

したがって

$$\frac{\partial}{\partial x} \left(\frac{1}{\mu} \frac{\partial A}{\partial x} \right) + \frac{\partial}{\partial y} \left(\frac{1}{\mu} \frac{\partial A}{\partial y} \right) = -i \cdots (5.2)$$

となり式 (5.2) と式 (5.1) はsったく同形である。したがって、定電流で摸擬できる。式 (5.2) と式 (5.1) の対応関係について述べておく。

$$\rho = \frac{\mu}{\alpha}$$
 $j = \frac{i}{s}$
 $\alpha, s: 変換係数$

磁界のベクトルポテンシャルは,

$$A = \alpha s V$$

したがって、 磁束密度は、

$$B_{x} = \frac{\partial A}{\partial y} = \alpha s \frac{\partial V}{\partial y}$$

$$B_{y} = \frac{\partial A}{\partial x} = \alpha s \frac{\partial V}{\partial x}$$

$$(5.4)$$

すなわち、磁束密度は摸擬装置の上では問題としている方向と、 垂直方向の電位 コウ配として考えられる.

6. む す び

同期機の特性を表わす基礎方程式についてしるした. これらの 式は古くから周知のものであって,多くの文献に見られるとおり のものである. 次回以後この方程式に若干の操作をほどこし,具 体的な問題との関連について述べる予定である.

電力系統素子としての観点と多少趣を異にするが、機器内部の 磁束分布の解析法についても紹介した.この方法は研究所電気第 一研室の河合、岩本両氏の研究になるものである.

(昭 38-3-7 受付)

参考文献

- (1) C. Concordia: Synchronous Machine—Theory and Performance, John Wiely & Sons Inc. (1951)
- (2) F.S. Rothe: An Introduction to Power System Analysis, John Wiely & Sons Inc. (1953)
- (3) 河合, 岩本: 電流場を用いた磁界摸擬, 電連大111(昭37)



Guardistorモータ保護方式の応用

Jahn J. Courtin: Applying the Guardistor Motor Protection System (Westinghouse Engineer, Vol. 22, No. 4-5, July, Sept. 1962, P. 116~118)

従来, 三相 ξ -9 は負荷電流によって動作する装置、すなわち, 熱動過負荷 η_{D-} によって保護するのが普通であった。一般に負荷電流は ξ -9 巻線の温度に比例するが,正確に反映しているものではない。

反復負荷、変動負荷、慣性の大きな負荷、あるいは電源電圧の不平衡などの場合、過負荷 y_{D-} で保護した三相 ϵ —9 はいまだに、しばしば焼損事故を起こしたり、反対に、焼損する危険のないうちに迷惑な ϵ 0 をしたりする。焼損は、単相運転したり、間欠負荷用 ϵ 0 を時間を超過して使用したり、通風装置が故障しても生ずる。しかし Guardistor ϵ 0 は、直接固定子巻線の温度により動作するので、焼損も迷惑な ϵ 1 の も未然に防止できる。

3.7 kW 以下の モータ では、固定子巻線に密着させたり、あるいは、その近くに装着した バイメタル 方式の保護器で焼損を防止することができた。この場合、負荷電流を通す ヒータ を付属しているので、その適用範囲は小容量の モータ に限定される。そこで、より大容量の モータ の熱的保護に対して利点の大きい焼損防止装置が必要とされていたが、この目的にそうものとして、W 社で正の温度係数 (positive-temperature-coefficient) をもつ、いわゆる PTC サーミスタ が作られた。これは アスピリン くらいの大きさの半導体製品である。温度が上昇するとともに、その抵抗値も増加し、かつその接続が離れたときは、危険温度になったときと同じような作用をする独特な特長をもっている。また、小形なので固定子巻線に密着して取り付けることができ、これにより、固定子巻線とサーミスタ の熱的な時間の遅れを最小にすることが可能となった。

およそ 150 kW 以下の標準 モータ は、拘束時を含め、あらゆる 負荷状態に対して、巻線の許容温度上昇値内で保護できる。三相 Guardistor モータ の保護装置は、通常、直列につながれた 3 個の サーミスタ と制御 リレー から成り立っている。また、サーミスタ は固 定子 コイルエンド の各相の コイル の間にそう入されており、ワニス の 含浸および焼付により、巻線と サーミスタ は完全に一体となっている。

サーミスタ と制御 リレー からなる各種の回路を作ることができ、 自動 リセット、あるいは手動 リセット いずれも可能である。また、 危険信号を付けたり、警報装置を付けることもできる。

また、PTC サーミスタ には若干、熱的の遅れがあり、全電圧拘束時、巻線の温度は $25\sim50^{\circ}$ C サーミスタ の定格値を超過するが、この程度は モータ が迷惑な トリップ なしに起動し、また瞬時的な大きな過負荷にも耐えるからむしろ望ましく、また、この程度の超過は モータ の絶縁物に与える影響は無視できる。運転中の過負荷に

おいては定格温度を超えるようなことはない.

つまり、PTC サーミスタは、熱動過負荷 リレー が時間と電流が反 比例するような保護特性を持つのに対し、時間と温度が反比例す るようにした保護特性をもっている。

PTC サーミスタ をさらに直流 モータ や巻線形 モータ などに応用することも目下研究中である。 (名古屋製作所 名地 巍訳)

製紙工業の理想的エネルギ利用

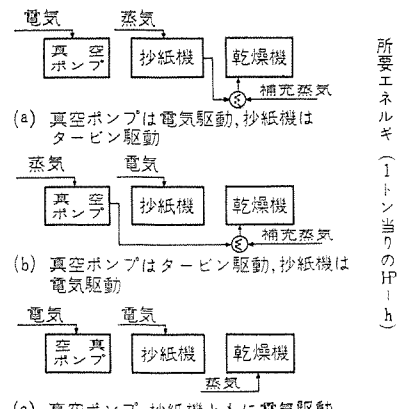
V. S. Buxton and S. J. Compbell: Optimun Energy Utilization in Paper Production (Westinghouse Engineer, Vol. 21, No. 6, November, 1961, P. 171~173)

プロセスの研究が高度に発達し、重要な改良をするためには合理的な考え方の出発点が必要である。製紙工業でのこの出発点はエネルギ系の概念であり、プロセスをエネルギ系として取り扱うことはエネルギの流れの制御の改良、能率向上、生産コストを減少をすることになる。製紙工業のエネルギの90%は真空ポップ、抄紙機駆動ならびに乾燥機に使用される。真空ポップは一般に電動機かあるいは定速度のタービンで駆動される。抄紙機はタービンかあるいは直流発電機 セットの原動機として交流電動機を使用する電気制御方式で駆動される。乾燥機の蒸気は直接ポイラから取るか、あるいはタービン駆動のときはタービンの排気蒸気から供給される。

製紙工業の エネルギ 消費は一般には 図1 に示すように蒸気と電力系が別の系統となっている。この方式は適当に使用すれば有効に設備費の回収が可能である。しかし蒸気あるいは電力の コスト に変動があったり、生産量あるいは生産速度に変化があったときは流動性が少なく、したがってトン当りの コスト が増すことになる。

したがってよりよい研究ということは プロセス を エネルギ 消費系 として考えることであり、それによって時間、季節、生産量、速度の変化に対しても流通性のある方式となる。その結果としてタービンと電動機を一軸に結合する形式が考えられる。この方式による二つの エネルギ の流れの説明が 図2に示されている。タービンに結合された電動機は利用しうる蒸気、排気蒸気の要求、抄紙機あるいは真空ポンプ駆動の エネルギ 量によって発電機あるいは電動機として動作する。図1と図2には動力 エネルギ の流れのみを示している。

製紙工業で現在二三の方式が採用されている. MIDWESTERN 工場では数年間抄紙機の原動機として, 同期電動機と定速度 タービンの結合したものが用いられてきた. 別の所では真空 ポップ の駆動に同期電動機に結合した定速度 タービン を使用している. NEW ENGLAND の高速の電気 セクショナルドライブ 抄紙機では原動機として全方式のものを使用している. しかしこの設備は一般には知られていないし, またその工場以外では理解されていない.



(c) 真空ポンプ,抄紙機ともに電気駆動 図 1 蒸気と電気の動力源が別 々の系統である従来の形式

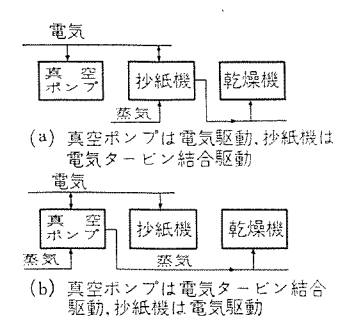


図 2 蒸気 タービンと電動機 を一軸に結合して動力源と する新しい形式

1,400 r 全エネルギ 1.300 1.200 1.100 1.000 乾燥蒸気 900 300 真空ボンプ駆動 200 抄紙機駆動 100 0 1,250 2 500 抄紙速度 (FPM)

図 3 抄紙機の代表的な 所要 エネルギ

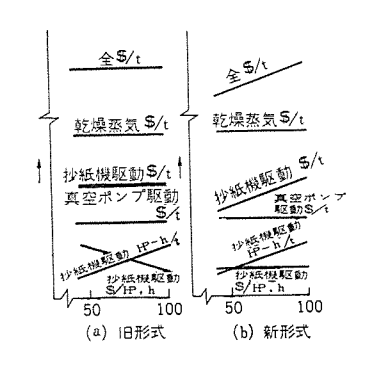


図 4 両形式の所要 エネルギ ならび に費用の比較

利 点

この結合方式の原動機の速度は普通は同期電動機によって決定され、s-ビッは z+y-スト z-スト 調整器で制御されて運転される. したがって s-ビッは z-ガースト z-スト z-ガーズ での圧力が一定に保持され必要な場合には交流電動機は動作することにもなる.

プロセス 用の蒸気の必要量が減少した場合、タービンバルブはエキジースト へゅず で一定圧力を保持しようとして動作し、同期電動機は 負荷に応じた動力供給のために原動機として動作する。この形式 により冬一夏間の熱源の変動および他の抄紙機が停止したりあるいは起動した場合、蒸気の費用を微細に制御することが可能となる。

交流電源あるいは蒸気のいずれかがなくなってもどちらかの原動機で負荷をおうことができる。また抄紙機の場合どちらかが利用できれば、保修のために機械を動かすことができる。低い速度でしかも生産トン数が変わらぬ場合は自動的に原動機の負荷は減少するが、乾燥蒸気の必要量はあまり変わらない。このような場合には同期電動機は発電機として動作し、蒸気の エネルギ を回収することになる。

この方式は短時間の過負荷に応じうる固有の能力を持っている。また蒸気による生産トン数の増加あるいは機械速度の増加のいずれかの形で生産量を増加させうる最大の融通性を持っている。

代表的な例として紙幅 200 in 抄紙速度 2,500 FPM で1日 300 hン の紙の乾燥に時間当り 55,000 lbs の蒸気を必要とする抄紙機を考える。この場合機械の動力源ならびに必要な蒸気はすべて タービン 原動機で供給される。機械は稼働時の 50% は 1/2 速度で運

転し、残りの 50% は最高速度で運転し、それぞれの所要馬力は 1,250 HP, 2,500 HP である。この場合生産トン数は同じであり、その必要な蒸気ならびに真空ポップの負荷は大体一定である。

機械への エネルギ は 図 3 に示すように機械の速度に比例する. この場合の エネルギ の調査をしてみると 1/2 速度ならびに最高速度の時の生産量に対する トン 当りの費用はほんど一定という結果になっている. これは抄紙機への HP/h 入力が抄紙速度に比例するという事実に対する考慮が不十分であるから生ずることである. すなわち図 4 (a) に示すように (\$/HP·h)×(HP·h/t)=一定 となっている.

sービッと同期電動機を結合した方式では、抄紙機が 1/2 速度で運転していても同期電動機は発電機となり、sービッは全負荷の掛ったままになっている。 その結果 HP-h 当りの費用は一定であり、生産量 1 トッ当りの費用は機械速度に比例することになる。 図 4 (b) に示すごとく、\$/HP-h は一定で(\$/HP-h)×(HP-h/t)=一定×(HP-h/t) となる。

gービン 定格容量の 1/2 の同期電動機(この例の時は $1,250~\mathrm{HP}$)を追加することにより、もし 1年に $165~\mathrm{H}$ 間 1/2 速度で運転すれば、 $3,7\times10^6~\mathrm{kW-h}$ の電力を発生する。この電力は運転費用を増すことなく発電されるので、電力量を kW 当り $5~\mathrm{z}_{\mathrm{IV}}$ とすれば年間 18,500 \$ の節約

となる. これは 1/2 速度で生産する時は紙 1 トン 当り 0.37 \$ の節 約となる.

制 御

普通には装置の速度は同期電動機によって決定される。したがって ターピン は エキゾーストへッダ の圧力を一定に保持するように バックプレッシャ 調整器によって制御される。同期電動機は ターピン を動作させていてもいなくても普通の起動器で電動機として始動させうる。発電機として始動する場合には運転者は電源に投入する前に電源母線と同期させるために ターピン の速度と電動機界磁を調節する。

またいずれの電動機も抄紙を行なっている機械から任意に除去させることができる. 瞬間変動を少なくするために運転者は除去される機械の負荷がなくなるように蒸気 パルブ を調節する必要がある.

もし抄紙機が同期電動機を運転しないで稼働される場合には、 タービンには定速度調整器が必要である。カバナは常に同期電動機の同期速度よりやや高めに調節される。

発電機 tット が同期電動機のみで駆動される場合は タービンブレード のかくはん作用で タービン の温度が上昇する. 温度検出器で タービン の温度を監視し、もしその限界点に達すると警報を出すようになっている. その場合運転者は タービン に冷却蒸気を通す.

パックプレッシャ 調整器は同期電動機を過負荷にしないように操作すべきである。過負荷になると過負荷保護装置が動作し、同期電動機をシャ 断し抄紙機に急激な変動を与えることになる。同期電動機に負荷制限器が取り付けてあり、パックプレッシャ 調整器の値を修正し同期電動機の負荷を所定値になるように制御する。



■ オーストラリヤ向け 330 kV 変圧器完成

当社が オーストラリヤ New South Wales 電力局より受注し、鋭意 製作中であった 330 kV 145 MVA 単巻変圧器 7 台の中、3 台が このほど完成し、客先検査官立会での工場試験も好成績で終了し、オーストラリヤへ向けて出荷される運びとなった。他の4 台も近日中に完成される予定である。この変圧器は、シドニー 市周辺の 330 kV 超高圧送電網の一環であるシドニーウエスト 変電所に設置され、三相2 パンクと予備器 1 台を形成することとなるが、この パンク容量は 435 MVA という記録的な大容量となる。おもな仕様はつぎのとおりである。

単相 50 サイクル 油入自冷 送油風冷式 外鉄形 単巻 負荷時 タップ 切換器付き SR SUB 形

一次 330 √ 3 kV 145 MVA

二次 138.6/√3 kV±10% 125 MVA

三次 16 kV 25 MVA

この変圧器の一次側は、誘導試験 565 kV、衝撃試験 1,300 kV という高い試験電圧に異常なく耐え、この点当社としては、将来の超々高圧変圧器への貴重な経験を得たことになる。またこの変圧器に使用された負荷時タップ切換器は、このほど当社が技術提携を行なった、西独 MR(Maschinen Fabrik Reinhausen)社製のものである。これらの変圧器は当社のオーストラリヤ向け輸出の第1号となるわけであるが、それがこのような記録的製品であったことは今後のオーストラリヤでの受注活動において、きわめて大きい意義を有するものと考えられる。



工場において誘導試験中の オーストラリヤ向け 145 MVA 単巻変圧器

■ 電源開発伊予変電所納め 99,000 kVA 単巻変圧器 完成

中国と四国の超高圧送電網を連系する中四連絡線の四国側変電 所となる電源開発伊予変電所に、当社で製作した 99,000 kVA 単 巻変圧器が設置され、各種の送電テストを終り、好調に運転を続けている。この変圧器は、中国の 220 kV、四国の 187 kV 両超高圧系を結ぶもので、これらの両系統はともに直接々地系であるため単巻変圧器の使用が可能となった。この場合、いわゆる COratio はわずか 15% にすぎず、したがって線路容量 99 MVA にかかわらず、等価自己容量は三次巻線を含めても 27 MVA 程度で、単巻変圧器の経済性を十分に発揮している。また、187 kV 側に生8.5 kVの負荷時電圧調整を行なうために、別置二鉄心形 4,500 kVA 負荷時電圧調整器が設置されているが、これに使用されている URA-3 形負荷時 タップ 切換器は、負荷開閉器が乾式であるため油の汚損などの問題のない、保守のきわめて簡単なものである。この変電所の完成により、中国側広島変電所を通して、中国、四国、九州、関西地区の電力広域運営が可能となったわけで、その意義は大きいものがある。単巻変圧器のおもな仕様はつぎのとおりである。

三相 60 サイクル 屋外用油入自冷式 外鉄形 SR 形

一次 220 kV 99 MVA

二次 187 kV 99 MVA

三次 15.4 kV 25 MVA

■ 日新製鋼市川工場連続亜鉛メッキ用誘導炉

今回完成した誘導炉は、メッキタンクの内張寸法 2.9×2.4×2.0 m (深さ) 亜鉛容量 100 t 電力 400 kW, 溶解タンクの内張寸法 1.0×1.5×1.1 m (深さ) 亜鉛容量 10 t 電力 200 kW である. この炉は日新製鋼大阪工場の 120 t 炉に引き続き 2 台目で、昭和33 年に完成した1号炉は現在にいたるまで無事故で亜鉛鉄板の生産に貢献している. 今回の炉は、誘導加熱 ユニットが湯を入れたまま容易に取り換えられるよう、炉体が傾動できるようになっている. 楊の温度制御は電圧調整器によって電圧を制御する. 電源を on off すると、誘導加熱部の二次回路に発生する電磁力のため二次回路を形成する耐火物に機械的ショックがかかり、その寿命を短くする. 今回の炉では、たとえ保温電力におとす場合でも、電源を



連続亜鉛 メッキタンク (調整中)

フラッシュ

切ることなく行なえる.

連続亜鉛 メッキ 用の亜鉛 タンクとしては、今まで鉄 ナベが多く使用されてきたが、鉄ナベは熱効率悪く、寿命短く、ドロス の発生が多く、いろいろの欠点がある. 誘導炉を使用する場合の特長はつぎに示すとおりである.

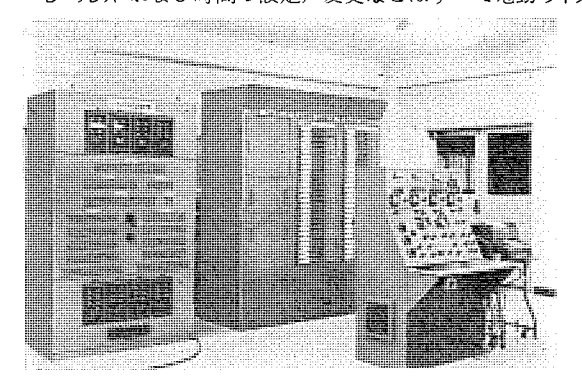
- 1. 必要に応じて大電力を投入して加熱能力を増大させることができる. (誘導加熱 ユニット の数を増加して行なう)
- 2. 温度制御が容易で、生産量に追ずいして、敏感に自動制御することができる.
- 3. 炉内の溶湯の温度差が少なく 120 t 炉で $\pm 5^{\circ}\text{C}$ 以内である。(これは誘導加熱方式であるため, 炉内の溶湯が 120 t されているからである)
- 4. 炉の寿命が非常に長く、日新製鋼大阪工場に納入したものはすでに4年半経過したが、その間亜鉛鉄板の生産を中止したことはなく、まだまだ使えそうである. (耐火材は中性であるから、亜鉛の溶湯と反応しない).

なお亜鉛は、溶融温度こそ低いが、その溶湯は渗透しやすく、なかなか取り扱いにくいものであるが、当社は独自の方法によって、120 t もの大形溶解 タンク の内張りと、誘導加熱部の築炉を行ない、信頼を得ている。

■ 超高圧電力研究所納め ディジタル・シーケンス制御装置完成

このたび、超高圧電力研究所に納入した \mathfrak{p} — \mathfrak{r} 大いス 制御装置は、超高圧電力用 \mathfrak{p} + 断器や変圧器を試験するための各種設備を定められた \mathfrak{p} — \mathfrak{r} かったいなこの種の制御装置に比べて、安定度、精度においてすぐれており、とくに位相制御が高精度に制御できる。また操作方法や \mathfrak{r} — \mathfrak{p} 処理装置などとの接続を考慮した点でこの種の試験設備としてはわが国で初めての製品であり、各関係方面の注目をひいた画期的なものである。特長は

- 1. 論理要素として、外乱に対して強い高信頼性の トランジスタ NOR 要素を使用している.
- 2. 位相制御を1度の単位で制御することができ、出力素子としてきわめて高速 スイッチング のできる シリコン 制御整流素子を用いている.
- 3. シーケンス および時間の設定、変更などはすべて電動 タイプラ



シーケンス 制御装置 (左 シーケンスボード 出力端子盤 中央 デイジタル 制御盤 右 制御卓と電動 タイプライタ)

 au_9 で行ない,必要に応じて印字および au_0 を作ることができる. au_0 を行なうは後日同一 au_0 で試験を行なう場合には,この au_0 を au_0 で読み込ませて設定することができる.

おもな仕様は

- 1. シーケンスの設定 電動 タイプライタ および パンチテープ・
- 2. 時間設定範囲 0.01 秒~99.99 秒 (0.01 秒~199.99 秒とすることもできる).
- 3. 位相設定範囲 1度~360度
 - 制御要素数 シーケンス 制御要素

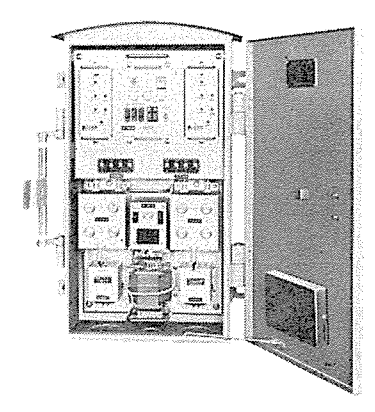
シーケンス 制御要素 50 要素 位相制御要素 3 要素

5. 出力素子 リレーおよび シリコン 制御整流素子

■ 国鉄新幹線列車無線トンネル用 全トランジスタ化 UHF 中継増幅器完成

国鉄新幹線列車無線はトンネル内で安定な通信を確保するためにトンネル内に導波線路を敷設するが、1km 以上の長大トンネルでは 導波線の伝送損失を補償するために中継機を適当な間隔にそう入 して増幅する必要がある。このほどこれを完成し、モデル線区の弁 天山トンネルで国鉄当局関係者立会の上で実用試験を実施して好成 績を収めた。

この中継機は内 j— λ 9 と呼ばれ,全ト β 2 への UHF 帯増幅器 2 台(上り方向および下り方向)と警報,制御,電源部などからなり,幅 370、奥行 200,高さ 700 の防滴形きょう体に収容し,ト λ 1 内器材坑に設置される. 全半導体のため信頼度が高く,電力消費量もわずか 6 W にすぎない. 全線の長大 ト λ 2 に設備される数量は約 δ 100 台の予定である.



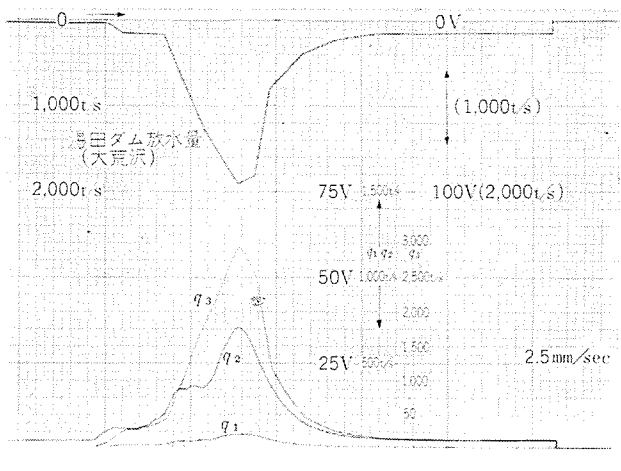
国鉄新幹線列車無線 トンネル 用全 トランジスタ UHF 中継増 幅器

■ 洪水予報に新威力(北上川洪水計算機完成)

東北地方建設局納めの北上川洪水計算機がこのほど完成した.この計算機は、北上川の特異な水理現象の解明、5 大 $\frac{1}{9}$ の合理的な統合操作、洪水予報の時間短縮と精度向上などを目的としたハイブリッドシステムを取り入れたアナログ 形電子計算機でアナログ 計算機8架、雨量関数発生器1架を中心に入出力装置として、さん孔タイプライタ、光電式 $\frac{1}{9}$ 一月 のさん孔 $\frac{1}{9}$ 一月 で作成、ディジタル 量として耐量関数発生器に与え、ここで記憶 $\frac{1}{9}$ 一日 変換されアナログ



図 1 洪水計算機



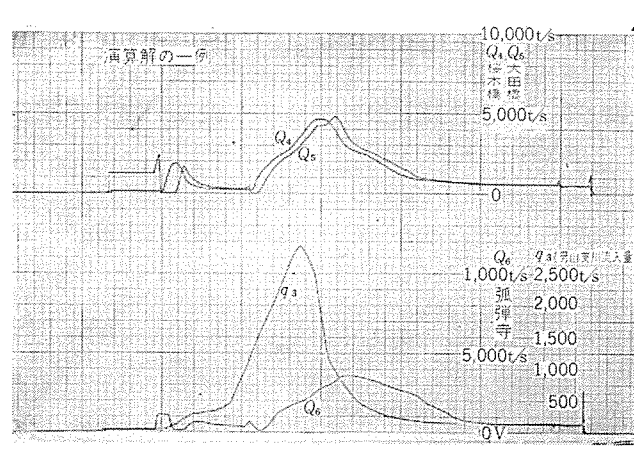


図 2 洪水解析の一例

計算機に多 チャネル の時間関数として並列に供給される. 支川計算は ユニットグラフ 法で,本川計算は運動と連続の両式を 7 区間の非線 形階差方程式になおすといった大がかりな計算を行なうものであり,こういった河川の組織的な計算を行なう大形の専用電子計算機としては本邦最初の実用機であり,今後の梅雨期および台風期の活躍が期待される.

アナコン 本体のおもな構成は

| 演算增幅器 | 47 台 |
|-------------|------|
| ポテンショメータ | 96 台 |
| 関数発生器 | 20 台 |
| 関数乗算器 | 7 台 |
| 平方根発生器 | 7 台 |
| ユニットグラフ 発生器 | 24 台 |

などよりなり,支川計算を当社独得の ユニットグラフ 発生器を使用することにより簡略化し,新方式の雨量関数発生器の採用, アナログ 計算機と雨量関数発生器の連動制御方式など多くの特長を有している.

■ 磁気誘導形トルク計 MK 430 形完成

このトルク計は動力伝達軸にかかるトルク量を計測し、電気信号として伝送する計測器で高い測定精度、十分な信頼度、および取り扱い保守の容易さにおいて在来のトルク計に比べ格段の進歩をとげたものである。

伝達軸にかかるトルク量は軸の ネジレ 角に比例するが、このトルク 計はこのネジレ 角を磁気誘導方式で測定する。回転子はネジレ 角によって磁気抵抗が変わるように作られた磁性体 リングより成り、これを囲んで円環状 コア および コイル から成る固定子が取り付けられている。回転子および固定子で作られる磁気回路の抵抗が変わると、固定子の イスダクタンス が変化し、これによる ブリッジ の不平衡 出力を検出することにより、軸の ネジレ すなわちトルクを測定することができる。

おもな特長は

- 1. 在来のトルク計の弱点であった スリップリング がないため、これによる故障がなくなり、保守が簡単化し測定精度が高くかつ安定になった。
- 2. スリップリングがないため非常な高速回転における測定が可能となった.
- 3. 出力が大きいため増幅器が簡単になり取り扱いが容易になった。
- 4. 原動機の全トルク,負荷への伝達トルク,あるいは変速機の損失などあらゆるトルク測定に適用できる.

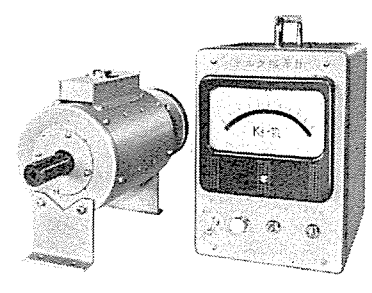
おもな仕様は

- 1. 構成 トルク 検出部および指示部
- 2. 測定範囲(フルスケール) MK 430-F 形 0.02, 0.05, 0.1 kgm

MK 430-S 形 0.2, 0.5, 1 kgm

MK 430-M形 2, 5, 10 kgm

- 3. 測定精度 誤差 ±1.5% 以下
- 4. 回 転 数 最高約 15,000 rpm
- 5. 過負荷耐量 150%



MK 430 形 トルク 指示計

図インド国鉄向けメータ・ゲージ用52 t 交流機関車 18 両を受注

当社を窓口とする新三菱重工業,日立製作所,東京芝浦電気との連合体「日本 グループ」は昨年5月初め国際入札を行なって以来,英国 グループ (AEI 社, EE 社),欧州 グループ (フランス 中心の連合体),セシロン (スイス 中心の連合体)を競争相手として激しい受注交渉を行ない,とりわけポパール工場 (英国の AEI 社との技術提携により建設されたインド政府直営の重電機工場)を足がかりとする



英国 ブループ の受注運動は非常に活発で最後までせり合ったが、内地側との緊密な連絡と現地関係各位の絶大な協力のもとすぐれた技術仕様と誠意をもっての折衝により昨年秋受注内定されるにいたったが、この間中印国境動乱が起こり緊急事態宣言発令の影響を受けて資金計画の変更がなされたため契約が遅れ、このたびようやく完成車 18 両とその付属品1式の受注契約を結ぶことができた。

現在インドにおける 25 kV,50 c/s 単相交流電化は主要国策として110 万の国鉄従業員をパックに第三次 5 カ年計画へと引き続き進展中であるが、日本 グループ製交流機関車は第 1 回目受注 10 両がカルカッタ・ニューデリ間の主要幹線に昭和 36 年春以来好成績で就役中であり、次いで第 2 回目受注の カルカッタ 郊外線用 28 両については第 1,2 両目が本年 3 月上旬発送されたのに引き続いて製作中であるが、3 度目として今回インド南東部マドラス 地区用として 18 両を受注したもので昭和 39 年には現地で運転開始の予定になっている。

なおこの機関車のおもな特長はつぎのとおりである.

- 1. 小形軽量ながら 1,200 kW の連続定格出力を有し 1,450 t の貨物列車をけん引して 5/100 の上り コウ配を 30 km/h 以上の速度で、平 タン線で 60 km/h 以上の速度で、また 500 t の旅客列車をけん引して平 タン線を 80 km/h 以上の速度で連続運転することができる.
- 2. 1 台車 1 モータ式とし高粘着性を発揮できる引張り装置を備え 1,450 t の貨物列車を 5/100 の上り コウ配で容易に引き出すことができる.
- 3. 1,200 kW の大出力に対し狭い車両限界と 52 t の制限に収めるため シリコン 整流器, 低圧 タップ 切換方式を採用するなどのほか,高温多湿のかこくなインド 気候条件を克服するための設計くふうが加えられている.

4. 機関車要目

電 気 方 式 単相 50 c/s 25 kV

様 式 シリコン 整流器式

軸 配 置 BB (1 台車1モータ式)



運転整備重量 52 t

車 体 寸 法 11,750(長さ)×2,550(幅)×3,019(高さ)(mm)

固定軸距 2,206 mm 車 輪 径 865 mm

連 続 定 格 出力 1,200 kW, 引張力 12.5 t

速度 34.5 km/h.

変 圧 器 外鉄形送油風冷式

連続定格 1,800 kVA

整 流 器 風冷 シリコン 整流器

主電動機 脈流直巻 6極 台車装荷形

(2 台) 最弱界磁 45%F

連続定格 600 kW, 1,000 V, 650 A, 755rpm

駆動装置 2段歯車減速、WN ギャカップリング

歯車比 21/22×15/49=1:3.42

制 御 装 置 非重速,変圧器二次側 タップ切換制御

永久並列接続弱界磁制御

制御電圧 DC 110 V

補助回転機 単相 220 V コンデンサ 付誘導電動機

ただし空気圧縮機, 真空 ポップ 用は脈流 110 V

ブレーキ 装置 列車貫通用真空 ブレーキ

単車用空気 ブレーキ, 手ブレーキ

■ 奥多摩工業株式会社納め 12 t 産業用電気機関車 受注

奥多摩工業株式会社納めの 12 t 電気機関車1両を受注した.この機関車は作業合理化の一翼としての大量運搬用電気機関車で,とりあえず1両製作するが今後さらに同形の機関車が1両製作される予定である。おもな特長としては

- 1 パンタグラフ の上下操作は空気式としたこと
- 2 主電動機は丸形 ヨーク で電機子 コイル は普通の波形とし従来の インボリュートコイル をやめて全体として小形軽量としたこと
 - 3 自動連結器であること
- 4 空気 ブレーキ 装置は入換 ブレーキ 方式で鉱車にも空気 ブレーキ 装置が使用できること、

などである.

主要諸元

電 気 方 式 DC 500 V

定格出力 80 kW

定格速度 14.4 km h

定格か引力 1,945 kg

制 御 方 式 手動直接制御

ブレーキ 方 式 入換 ブレーキ, 電気 ブレーキ (非常用)

および手動 ブレーキ

車 体 全 長 5,920 mm

車 体 幅 1,313 mm

車 体 高 さ 1,650 mm

固定軸距離 1,800 mm

車 輪 径 840 mm

歯 車 比 6.79

連 結 装 置 ウイリソン 式自動連結器



冷蔵庫トビラの開放装置

考案者 木 下 忠 男

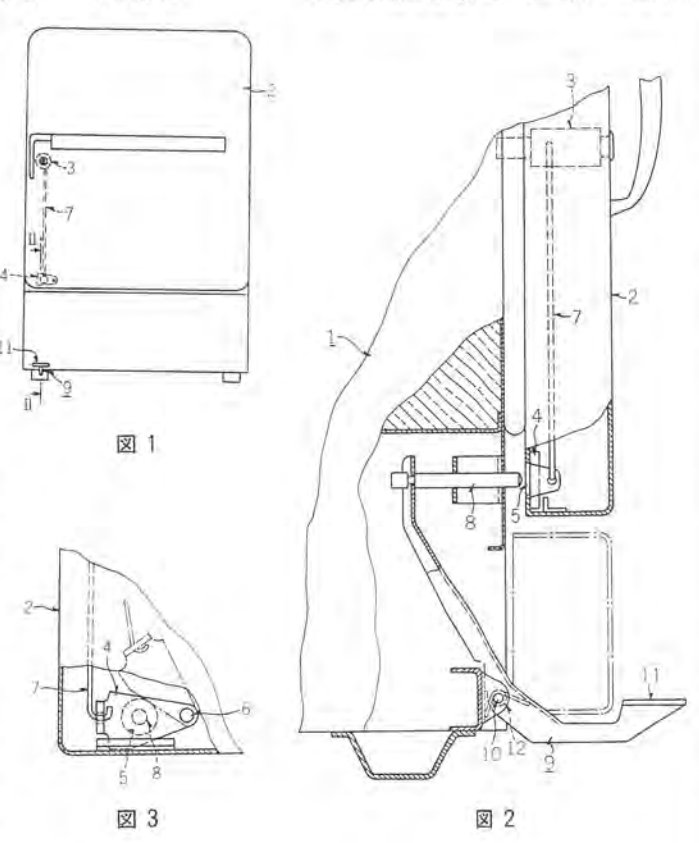
この考案は ペタル の踏下げにより トピラ の開放を行なり冷蔵庫 トピラ の開放装置に関するものである。

図において(1) は冷蔵庫箱体,(2) は開閉トピラで,このトピラにはこれを上記箱体へ錠止する ガギ 装置(3) が設けられている。(4)は上記トピラ(2)の背面にあけられた穴(5) を開閉自在に閉そくするそく片で,このそく片はトピラ内において軸(6)により回動自在に枢着されている。(7) は上記カギ装置(3) と

そく片(4)間に介装され カff 装置とそく片を連動させ る連結 カシ で、上記 カギ 装置 (3) の施錠作動時に上記 そく片(4)を回動してトピラ(2)の穴(5)を開放する ようになされている。(8) は上記箱体(1) に進退自在に 装着された押出 カンで、この押出 カンの先端は上記 トビ ラの穴(5) すなわちそく片(4) に対応するようになさ れている。(9) は上記箱体の下部に軸 (10) により枢着 され一端に設けた足掛部 (11) を箱体外部に突出させた ペタルで、このペタルの内方端は上記押出カシ(8)の内方端 と係合し、ペタルの踏み下げ時に上記押出カン(8)を上記 そく片 (4) に衝合させて トヒラ (2) を開放方向に押し出 すようになされている。(12) は上記軸(10) に巻装され 上記 ペタル (9) を反踏み下げ方向に付勢するひねり パネ である.いま、トピラ(2)を開放しようとしてペタル(9)を 踏み下げると、 ペタル は押出 カン (8) を箱体外部に突出 させるので、押出 か の先端はそく片(4)と衝合しト ビラ(2) を開放方向へ押し出す. しかして錠装置 (3) に よって トピラ (2) を閉合位置に施錠すると、錠装置はそ の作動に伴い連結 カン(7)を介してそく片(4)を回動し トピラ(2)の穴(5)を開放するから、この状態においては ペタル (9) を踏み下げても突出する押出 かい (8) は穴 (5) を貫通して トピラ 内部に無抵抗に没入するから、トピラ に

は押出かの力が加えられず、したがってトピラは開かない。

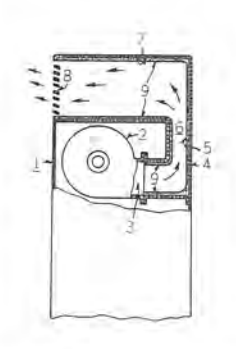
この冷蔵庫トピラの開放装置は、カギ装置(3)によりトピラ(2)を閉合位置に施錠した状態で間違ってペタル(9)を踏み下げても、トピラ(2)にはまったく力が加わらないので、従来のようにペタル踏み下げにより突出する押出かの衝撃を受けてトピラが変形したり、またペタル装置を破損するおそれがないものである。 (実用新案登録第558013号)(倉屋記)



空気調和装置

この考案は空気調和装置の ずか (6) を送風機 (2) の送気口 (3) から外籍 (1) の吹出口 (8) に至るまでに 90 度ずつ 2回 にわたって折曲げて通風路の延長をはかると共にその内面に全面的に吸音材 (9) を貼着したものである。

従って、送風機の運転時の騒音は空気吹出口(8)に至るまでに、その殆んどが ダクト 内で吸収されるので、空気調和装置の欠点とするこの騒音をおおむね防止することができた。また上記通風路の延長と共に、外箱の天井壁内側(7)における ダクトの容積を外箱後壁(4)の内側(5)におけるそれより大きくす



考案者 河 合 照 男

ることにより、送風機(2)の送気口(3)から送り出された空気の風速をこの境界部分で減衰させて、吹出口(8)の各部分における吹出空気の風速をほぼ均一にすることもできた。 (実用新案登録第564315号)

(倉屋記)

次号予定

三菱電機技報 Vol. 37 No. 6

○インド 国鉄納め第二次 イグナイトロン 電気機関車

○パラメトロン 式低速度 データ 伝送装置

○ケイ 素鋼板の交流磁化時性と ウズ 電流異常

ONC 形 コットロールセンタ

○パラメトリック 増幅器の液体窒素冷却による雑音指数の改善

○同時 ロービング 角度誤作検出装置 GTR-3 形

○航空機用交流電源の電圧調整器

〇化学加工

○三菱電機 スカイリング および三菱 ドリームセンター の空気調和設備

○7イクロ 波用気球空中線

つジアリルフタレート 樹脂成形材料

○高温燃料電池

○三菱 マイクロテレビ 6P-125

○寒冷地向け電気機器用金属材料の低温試験

○環状 プラズマ の電磁圧縮の実験

○低磁界における Overhauser 効果の実験

○技術解説:電車自動運転装置

三菱電機技報編集委員会

委員長 1/8 毅 平 村 副委員長 宗 常任委員 安 藤 # 北 111 无口 小烟富次雄 11 高井得一郎 11 中 野 光 雄 馬 場 文 夫 11 田 栄 111 郎 岩 原 寬 大 野 孝 片 岡 高 示 本 11 樫 俊 弥 篠 崎 善 助 加 直 壶 12 推 31 前 H 祐 井 徳 面 樹

(以上 50 音順)

昭和38年5月22日印刷 昭和38年5月25日発行 「禁無断転載」 定価1部 金100円(送料別)

編集兼発行人

東京都千代田区丸の内2丁目12番地 /// 号/

印刷所

東京都新宿区市谷加賀町1丁目 大日本印刷株式会社

東京都新宿区市谷加賀町1丁目 高 橋 武 夫

行 所 発

> 三菱電機株式会社内「三菱電機技報社」 東京都千代田区丸の内2丁目12番地(三菱電機ビル内)

(電) 東京 (212) 大代表 6111

元 発 売

> 東京都干代田区神田錦町3の1 株式会社オーム社書店 電話 (291) 0915 · 0916 撥替東京 20018

本社 営業所 研究所 製作所 工場 所在地

東京都千代田区丸の内2丁目 12 番地 (電) 東京 (212) (三菱電機ビル内) 太

田区丸の内2丁目12番地 (電)東京(212)大代表 6111

神町 58 番 地 (天神ビル内) (75) 代表 6231

大阪市北区堂島北町8番地1(電)大阪(312)大代表1231

大阪市北区堂島北町8番地1(電)大阪(312)大代表1231

名古屋市中区広小路通り2の4(電)本局(23)大代表6231

名 古 屋 市 中 村 区 広 非 町 3 丁 目 88 番 地 (大名古屋ビル内) (電) 名古屋 (56) 大代表 (5311)

幌市北二条西4丁目1番地(北海道ビル内)) 料 幌 (6) 大 代 表 9111

(価台市大町4丁目175番地 (新価台ビル内) (電) 価台 (2) 代表 6101

富山市総曲輪 490 の3(明治生命館内)(電)富山(3)代表3151

広島市八丁堀 63 番地 (昭和ビル内) (電)広島 (2) 4411~8

高松市房町1丁目4番地(第一生命ピル内) (電)高松(2)代表5021·4416(直通)

東京都千代田(三菱電機ビル3階)

東京商品営業所 大阪営業所 大阪商品営業所 名古屋営業所

* 商品部

福岡営業所

札侧營業所 仙台营業所

饮 川 觉 恭 所 広島營業所

高松営業所

小倉出張所 静岡出張所

岡山出聯所

神戸製作所

長 斷 出 張 所 金沢出張所 北九州市小倉区京町10 丁目 281 番地(電)小倉(52) 8234 静岡市七間町9番地 10 (電) 静岡 (53) 代表 9186 岡山市上石非174番地(岡山会館4階) (電) 岡山 (4) 0331~2

展崎市江戸町30 (電) (2) 0293 金沢市田丸町55番地1 (電) 金沢(3) 6213

尼崎市南清水字中野 80 番地 (電) 大阪 (481) 大代表 8021 92 商品研究所

伊丹製作所 長崎製作所 名古屋製作所 福岡製作所 福山製作所 姬路製作所 相模製作所 勝 岡 製 作 所 中連川製作所 和歌山製作所

郡山製作所 群馬製作所 無線機製作所 北伊丹製作所

大船製作所

鎌倉製作所 京都製作所 鎌倉製作所東京「場 札幌修理工場

神戸市兵庫区和田崎町3丁目 (電) 兵庫(67)代表 5041 尼 崎 市 南 清 水 字 中 野 80 番 地 (電) 大 阪 (481) 8021 伊 丹 局 代 表 2481 長崎市平戸小屋町 122 番地 (電) 長崎(3) 代表 3101 名古屋市東区矢田町 18 丁月1番地(電)名古屋(73)代表1531 福 岡 市 今 宿 青 木 690 番地 (電) 福岡 (88) 代表 0431 福山市沖野上町 6 丁目 709 番地 (電) 福山 (2) 代表 2800 姫路市千代田町840番地 (電)姫路(23)大代表1251 相 模 原 市 小 山 字 久 保 2 2 4 の 2 2 4 (電) 相 模 原 (7) 代 表 3 2 3 1 ・ 3 2 4 1 障 間 市 小 鹿 110 番 地 (電) 静 間 (3) 0141~0145 中津川市駒場928番地2 (電)中津川2121~8 和 歌 山 市 岡 町 91 番 地 (電) 和歌山 (3) 代表 1275 鎌倉市大船 800 番地 (電) 大船 (6) 代表 2121 郡山市字境橋町1番地 (電) 郡山(2) 1220~1223 群馬県新田郡尾島町大字岩松 (電)尾島270番太田3981番 800番地 尼崎市南清水字中野 80 番地 (電) 大阪 (481) 大代表 8021 伊丹市大鹿字主ケ池1番地(電)伊丹大代表 5131 鎌倉市上町屋 325番地(電)大船(6)大代表 4141 京都府乙訓郡長岡町大字馬場小字図所1(電)高槻(5)1607神足401 東京都世田谷区池尻町 437 (電) 東京 (414) 代表 8111

東京都世田谷区池尻町 305 (電) 東京 (421) 4783 札幌市北二条東12丁目 98 番地 (電) 札幌 (2) 3976

122 (732)



20, 000 %

超音波電源としての高周波発電機 完成

昭和 28 年に、わが国最初の高周波誘導加熱用 10,000 c/s 機を製作した当社が、その後も順調に続々と各種定格の開発を進め、今回また超音波電源用として 20,000 c/s 機を完成した.

- 電動発電機の特性.
- 1. 大容量のものが安価にできる.
- 2. 出力周波数は電源周波数により安定し、変動 が少ない.
- 3. 発電機内部 インピーダンス が小さい.
- 4. 発電機の並列運転が可能, 真空管式に比べ消耗部品がほとんどないので維持費が非常に安く, 運転確実で故障発生率が少なく, 稼働率が高い.
- 応用例.
- 1. 振動を利用するもの.
 - (a) 切削, 研摩, 穴明け.
 - (b) 鋳物の結晶の微細化.
 - (c) 溶接.

- 2. キヤピテーション を利用するもの.
 - (a) 洗浄, 油落し.
 - (b) メッキ, つや出し.
 - (c) ハンダ 付け, スズメッキ.
 - (d) サビ 落し、ピックリング など.
- 3. その他に 10,000 c/s, 3,000 c/s, 1,000 c/s の ものは, 溶解, 鍛造加熱, 表面焼入, ロウ付 けなど.
- 発電機定格仕様.

出力

25 kVA

周波数

20,000 c/s

電圧

400/800 V

電流

62.5/31.25A

力率

10

相数

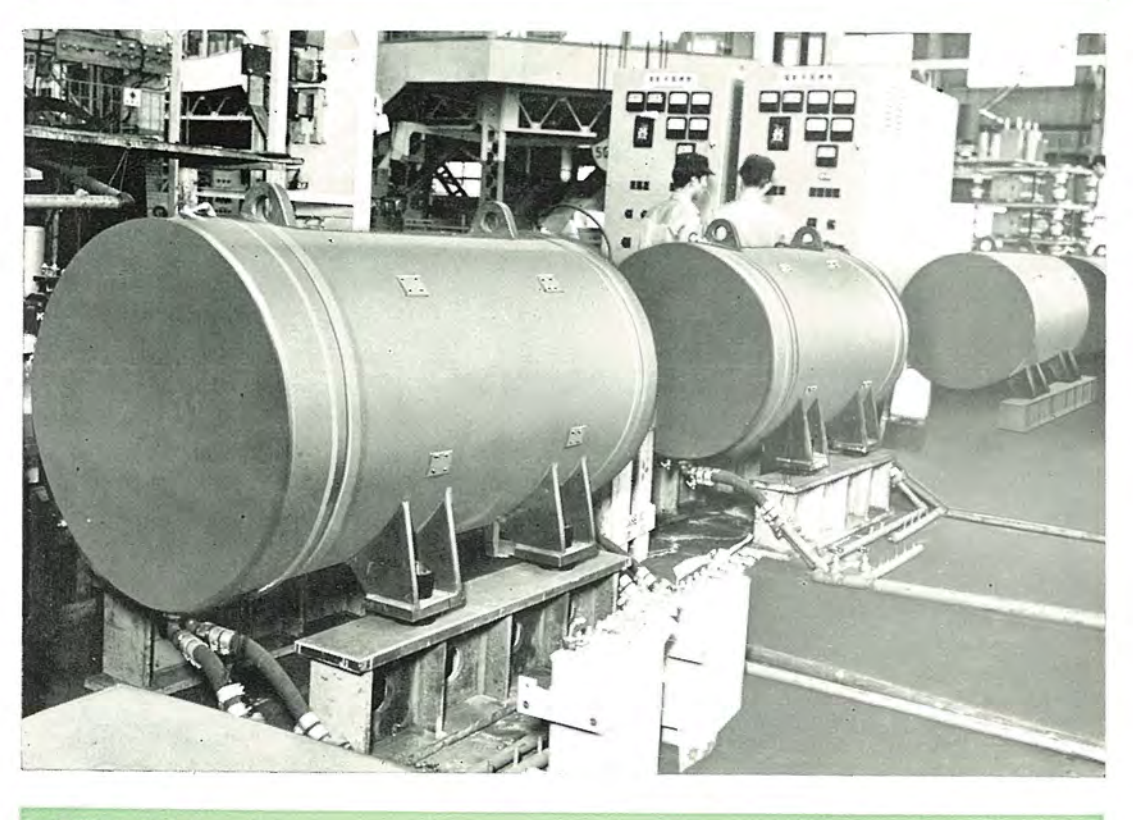
1

回転数

3,600 rpm

絶縁

H 種絶縁



写真向って左より

形式 SJM 形 出力 41.7 kVA 電圧 400/800 V 周波数 10,000 c/s

形式 SJM 形 出力 25 kVA 電圧 400/800 V 周波数 20,000 c/s 形式 SJM 形 出力 50 kVA 電圧 400/800 V 周波数 3,000 c/s

